

การเปรียบเทียบคุณภาพซอฟต์แวร์จากการทำแอสเป็กทีฟทอริง  
ด้วยจำนวนโค้ดโคลนที่แตกต่างกัน



นางสาวธนาภรณ์ กังพานิชกุล

จุฬาลงกรณ์มหาวิทยาลัย

CHULALONGKORN UNIVERSITY

วิทยานิพนธ์นี้เป็นส่วนหนึ่งของการศึกษาตามหลักสูตรปริญญาวิทยาศาสตรมหาบัณฑิต

สาขาวิชาการพัฒนาซอฟต์แวร์ด้านธุรกิจ ภาควิชาสถิติ

คณะพาณิชยศาสตร์และการบัญชี จุฬาลงกรณ์มหาวิทยาลัย

ปีการศึกษา 2556

ลิขสิทธิ์ของจุฬาลงกรณ์มหาวิทยาลัย

บทคัดย่อและแฟ้มข้อมูลฉบับเต็มของวิทยานิพนธ์ตั้งแต่ปีการศึกษา 2554 ที่ให้บริการในคลังปัญญาจุฬาฯ (CUIR)

เป็นแฟ้มข้อมูลของนิสิตเจ้าของวิทยานิพนธ์ ที่ส่งผ่านทางบัณฑิตวิทยาลัย

The abstract and full text of theses from the academic year 2011 in Chulalongkorn University Intellectual Repository (CUIR) are the thesis authors' files submitted through the University Graduate School.

A COMPARISON OF SOFTWARE QUALITY FROM ASPECT REFACTORING WITH  
DIFFERENT AMOUNT OF CODE CLONE

Miss Thanaporn Kungpanichkul



จุฬาลงกรณ์มหาวิทยาลัย

CHULALONGKORN UNIVERSITY

A Thesis Submitted in Partial Fulfillment of the Requirements  
for the Degree of Master of Science Program in Business Software Development

Department of Statistics

Faculty of Commerce and Accountancy

Chulalongkorn University

Academic Year 2013

Copyright of Chulalongkorn University

หัวข้อวิทยานิพนธ์

การเปรียบเทียบคุณภาพซอฟต์แวร์จากการทำแอสเป็กรี  
แพคทอริงด้วยจำนวนโค้ดโคลนที่แตกต่างกัน

โดย

นางสาวธนาภรณ์ กังพานิชกุล

สาขาวิชา

การพัฒนาซอฟต์แวร์ด้านธุรกิจ

อาจารย์ที่ปรึกษาวิทยานิพนธ์หลัก

รองศาสตราจารย์ ดร.อัษฎาพร ทรัพย์สมบูรณ์

คณะพาณิชยศาสตร์และการบัญชี จุฬาลงกรณ์มหาวิทยาลัย อนุมัติให้รับวิทยานิพนธ์  
ฉบับนี้เป็นส่วนหนึ่งของการศึกษาตามหลักสูตรปริญญามหาบัณฑิต

.....คณบดีคณะพาณิชยศาสตร์และการบัญชี  
(รองศาสตราจารย์ ดร.พสุ เดชะรินทร์)

คณะกรรมการสอบวิทยานิพนธ์

.....ประธานกรรมการ  
(ผู้ช่วยศาสตราจารย์ ดร.สมจारी ปรียานนท์)

.....อาจารย์ที่ปรึกษาวิทยานิพนธ์หลัก  
(รองศาสตราจารย์ ดร.อัษฎาพร ทรัพย์สมบูรณ์)

.....กรรมการ  
(ผู้ช่วยศาสตราจารย์ ดร.จันทร์เจ้า มงคลนาวิน)

.....กรรมการภายนอกมหาวิทยาลัย  
(ผู้ช่วยศาสตราจารย์ ดร.วรลักษณ์ วงศ์โดยหวัง ศิริเจริญ)

ธนาภรณ์ กังพานิชกุล : การเปรียบเทียบคุณภาพซอฟต์แวร์จากการทำแอสเป็กกรีแพคทอริงด้วยจำนวนโค้ดโคลนที่แตกต่างกัน. (A COMPARISON OF SOFTWARE QUALITY FROM ASPECT REFACTORING WITH DIFFERENT AMOUNT OF CODE CLONE) อ.ที่ปรึกษาวิทยานิพนธ์หลัก: รศ. ดร.อัมภพร ทรัพย์สมบูรณ์, 204 หน้า.

การโปรแกรมเชิงแอสเป็กถูกเสนอเพื่อแก้ไขปัญหาโค้ดกระจายและโค้ดพันกันในซอร์สโค้ดของซอฟต์แวร์ สามารถส่งผลให้คุณภาพซอฟต์แวร์ดีขึ้น งานวิจัยนี้จึงศึกษาแนวทางการใช้การโปรแกรมเชิงแอสเป็กสำหรับปรับปรุงซอฟต์แวร์เชิงวัตถุด้วยการทำแอสเป็กกรีแพคทอริง โดยมุ่งสนใจปัญหาโค้ดกระจายที่ทำให้เกิดโค้ดซ้ำกันภายในหลายคลาส จึงเลือกจัดการเมทอดคอลที่ซ้ำกันในหลายคลาสด้วยแอสเป็ก และพิจารณาผลจากการใช้แอสเป็กสำหรับจัดการเมทอดคอลในจำนวนซ้ำของเมทอดคอลที่แตกต่างกัน โดยประเมินคุณภาพของซอฟต์แวร์หลังทำแอสเป็กกรีแพคทอริง จากการรวบรวมค่ามาตรวัดของมาตรวัดเชิงวัตถุและมาตรวัดเชิงแอสเป็ก ผลมาตรวัดเชิงวัตถุพบว่าจากมาตรวัดซีเคทั้งหมด 6 มาตรวัด มีเพียง 3 มาตรวัดที่ได้รับผลกระทบจากการทำแอสเป็กกรีแพคทอริง ได้แก่ มาตรวัดคัพปลิงบิทวินออบเจกต์คลาส มาตรวัดเรสปอนซ์ฟอร์อะคลาส และมาตรวัดแลคคอปโคฮีชันอินเมทอด โดยมาตรวัดเรสปอนซ์ฟอร์อะคลาส แสดงให้เห็นว่าคุณภาพซอฟต์แวร์ปรับปรุงดีขึ้น และปัจจัยที่ส่งผลต่อมาตรวัดเรสปอนซ์ฟอร์อะคลาส ได้แก่ จำนวนซ้ำของเมทอดคอลและจำนวนคลาสที่สามารถจัดการเมทอดคอลทั้งหมด ขณะที่มาตรวัดเชิงแอสเป็กทั้งหมด 10 มาตรวัด มีทั้งหมด 7 มาตรวัดที่ได้รับผลกระทบจากการทำแอสเป็กกรีแพคทอริง แต่ปัจจัยที่ส่งผลให้ค่ามาตรวัดเปลี่ยนแปลงไม่ได้เกิดจากจำนวนซ้ำของเมทอดคอลที่จัดการด้วยแอสเป็ก หากเป็นปัจจัยอื่นๆแตกต่างกันไปในแต่ละมาตรวัดของมาตรวัดเชิงแอสเป็ก เช่น จำนวนแอตไวซ์ที่อิมพลิเมนต์ภายในแอสเป็ก จำนวนแอตไวซ์ที่เข้ามาขัดขวางการทำงานของคลาส จำนวนคลาสที่แอสเป็กสามารถเข้าไปขัดขวางการทำงาน เป็นต้น นอกจากนี้ยังพบว่าทั้งมาตรวัดเชิงวัตถุและมาตรวัดเชิงแอสเป็กแสดงให้เห็นว่าลักษณะของเมทอดคอลที่จัดการด้วยแอสเป็กสามารถส่งผลต่อมาตรวัดที่เกี่ยวข้องกับคัพปลิงและปรับปรุงคุณภาพซอฟต์แวร์ให้ดียิ่งขึ้น

ภาควิชา สถิติ

ลายมือชื่อนิสิต .....

สาขาวิชา การพัฒนาซอฟต์แวร์ด้านธุรกิจ

ลายมือชื่อ อ.ที่ปรึกษาวิทยานิพนธ์หลัก .....

ปีการศึกษา 2556

# # 5381801326 : MAJOR BUSINESS SOFTWARE DEVELOPMENT

KEYWORDS: ASPECT-ORIENTED PROGRAMMING / ASPECT REFACTORING /

SOFTWARE QUALITY / OBJECT-ORIENTED METRICS / ASPECT-ORIENTED METRICS

THANAPORN KUNGPANICHKUL: A COMPARISON OF SOFTWARE QUALITY FROM ASPECT REFACTORING WITH DIFFERENT AMOUNT OF CODE CLONE.  
ADVISOR: ASSOC. PROF. ASSADAPORN SAPSOMBOON, 204 pp.

Aspect-oriented programming is an approach to solve code scattering and code tangling which help improve software quality. This research was to find a guideline in using Aspect-oriented programming to improve object-oriented software using aspect refactoring process with a focus on code scattering problem with duplicated code in several classes. The aspect refactoring process used in this research covers extracting different number of duplicated method calls in various classes into aspects resulting in several versions of software. CK Object-oriented metrics and Aspect-oriented metrics (AO) were used as software metrics on software versions applying aspect refactoring. The result showed that only three out of six CK metrics, Coupling Between Object classes (CBO), Response For a Class (RFC) and Lack of Cohesion in Methods (LCOM), were affected from aspect refactoring. Only RFC metric showed that software quality was improved as the number of duplicated codes grows or the number of classes affected by aspect refactoring grows. Considering AO metric, only seven out of ten AO metrics were affected from aspect refactoring. However, it cannot be concluded that the number of duplicated method calls affect the AO metrics. The number of advices implemented in aspect, the number of advices interrupt in classes and the number of classes interrupted by aspects were factors affect the AO metrics. In addition, the metric from OO and AO metrics concerning coupling from method calls indicate an improved software quality from aspect refactoring.

Department: Statistics

Student's Signature .....

Field of Study: Business Software  
Development

Advisor's Signature .....

Academic Year: 2013

## กิตติกรรมประกาศ

วิทยานิพนธ์นี้จะสำเร็จลุล่วงและสมบูรณ์ไปได้ด้วยดี ผู้วิจัยต้องขอกราบขอบพระคุณรองศาสตราจารย์ ดร.อัษฎาพร ทรัพย์สมบูรณ์ อาจารย์ที่ปรึกษาวิทยานิพนธ์เป็นอย่างยิ่งที่ได้สละเวลาให้คำปรึกษาและคำแนะนำต่างๆ ตลอดจนแนวทางในการทำงานวิจัยรวมถึงการตรวจแก้วิทยานิพนธ์ฉบับนี้ให้จนเสร็จสมบูรณ์ และขอขอบพระคุณผู้ช่วยศาสตราจารย์ ดร.สมจारी ปรียานนท์ ประธานกรรมการวิทยานิพนธ์ และผู้ช่วยศาสตราจารย์ ดร.จันทร์เจ้า มงคลนาวิน กรรมการวิทยานิพนธ์ ที่กรุณาให้คำแนะนำและแก้ไขรูปแบบงานวิจัย รวมถึงการปรับปรุงเนื้อหาของวิทยานิพนธ์ฉบับนี้ให้สมบูรณ์ และขอขอบพระคุณผู้ช่วยศาสตราจารย์ ดร.วรลักษณ์ วงศ์โดยหวัง ศิริเจริญ กรรมการภายนอกมหาวิทยาลัย ที่ช่วยชี้แนะพร้อมให้คำแนะนำงานวิจัยลุล่วงไปได้ด้วยดี

ขอบคุณเพื่อนๆ ที่ให้คำปรึกษาและให้กำลังใจในการทำวิทยานิพนธ์ และสุดท้ายผู้วิจัยกราบขอบพระคุณคุณพ่อ คุณแม่ และพี่สาวที่เข้าใจและคอยมอบกำลังใจเสมอมา ทำให้ผู้วิจัยสามารถทำวิทยานิพนธ์ฉบับนี้ได้สำเร็จลุล่วง



จุฬาลงกรณ์มหาวิทยาลัย  
CHULALONGKORN UNIVERSITY

## สารบัญ

หน้า

บทคัดย่อภาษาไทย.....	ง
บทคัดย่อภาษาอังกฤษ.....	จ
กิตติกรรมประกาศ.....	ฉ
สารบัญ.....	ช
สารบัญตาราง.....	ญ
สารบัญภาพ.....	ณ
บทที่ 1 บทนำ.....	1
1.1 ความเป็นมาและความสำคัญของปัญหา.....	1
1.2 วัตถุประสงค์ของงานวิจัย.....	3
1.3 ขอบเขตของการวิจัย.....	3
1.4 ขั้นตอนดำเนินงานวิจัย.....	4
1.5 ข้อจำกัดของการวิจัย.....	4
1.6 คำจำกัดความที่ใช้ในการวิจัย.....	4
1.7 ประโยชน์ที่คาดว่าจะได้รับ.....	5
บทที่ 2 การทบทวนวรรณกรรม.....	6
2.1 บทนำ.....	6
2.2 คอนเซิร์น (Concern).....	6
2.3 การโปรแกรมเชิงแอสเป็ก (Aspect-Oriented Programming).....	9
2.4 แอสเป็กไมน์นิ่ง (Aspect Mining).....	12
2.5 แอสเป็กรีแฟคทอริง (Aspect Refactoring).....	15
2.6 คุณภาพซอฟต์แวร์ (Software Quality).....	25
2.7 งานวิจัยที่เกี่ยวข้อง.....	38
บทที่ 3 ระเบียบวิธีวิจัย.....	42
3.1 บทนำ.....	42
3.2 ตัวแปรสำคัญที่ศึกษา.....	42
3.3 แนวทางการศึกษาและการทดสอบสมมติฐาน.....	45
3.4 ประชากรและหน่วยตัวอย่าง.....	47

3.5 เครื่องมือการดำเนินการ .....	49
3.6 แนวทางการดำเนินงานวิจัย .....	49
3.7 ประเด็นของความถูกต้อง (Validity) และความน่าเชื่อถือ (Reliability) ของข้อมูลที่เก็บ .....	65
3.8 กรอบการวิเคราะห์ข้อมูล .....	66
บทที่ 4 ผลการวิเคราะห์ข้อมูล .....	67
4.1 บทนำ .....	67
4.2 ผลการทำแอสเป็กทีฟทอริง .....	67
4.2.1 การจัดการเมทีอดคอลซ้ากันทั้งหมดด้วยแอสเป็ก .....	73
4.2.2 การตรวจสอบความถูกต้องของเจสอตตรอว์ทัง 12 เวอร์ชัน .....	83
4.2.3 การเก็บรวบรวมค่ามาตรวัดของซอฟต์แวร์ก่อนและหลังทำแอสเป็กทีฟทอริง .....	86
4.3 ผลการวิเคราะห์ข้อมูลเบื้องต้น .....	90
4.3.1 ผลการวิเคราะห์ข้อมูลสถิติเชิงพรรณนาจากมาตรวัดเชิงวัตถุ .....	91
4.3.2 ผลการวิเคราะห์ข้อมูลสถิติเชิงพรรณนาจากมาตรวัดเชิงแอสเป็ก .....	97
4.4 การเปรียบเทียบค่ามาตรวัดเชิงวัตถุ .....	104
4.5 การเปรียบเทียบค่ามาตรวัดเชิงแอสเป็ก .....	134
4.6 การอภิปรายผลและการศึกษาเพิ่มเติม .....	173
4.6.1 ปัจจัยที่ส่งผลต่อค่ามาตรวัดเรสปอนซ์ฟอว์อะคลาสจากการทำแอสเป็กทีฟทอริง .....	175
4.6.2 ผลของรูปแบบลักษณะเมทีอดคอลต่อค่ามาตรวัดจากการทำแอสเป็กทีฟทอริง .....	181
4.6.3 การเปรียบเทียบผลมาตรวัดระหว่างมาตรวัดเชิงวัตถุและมาตรวัดเชิงแอสเป็ก .....	183
บทที่ 5 สรุปผลการวิจัย .....	188
5.1 บทนำ .....	188
5.2 สรุปผลการวิจัย .....	188
5.2.1 ผลการเปรียบเทียบมาตรวัดเชิงวัตถุของซอฟต์แวร์ที่ปรับปรุงด้วยการทำแอสเป็กทีฟทอริงโดยจัดการจำนวนซ้าของเมทีอดคอลแตกต่างกัน .....	190
5.2.2 ผลการเปรียบเทียบมาตรวัดเชิงแอสเป็กของซอฟต์แวร์ที่ปรับปรุงด้วยการทำแอสเป็กทีฟทอริงโดยจัดการจำนวนซ้าของเมทีอดคอลแตกต่างกัน .....	191
5.2.3 ผลการวิเคราะห์คุณภาพซอฟต์แวร์จากการทำแอสเป็กทีฟทอริงที่จัดการจำนวนซ้าของเมทีอดคอลแตกต่างกัน .....	193



5.3 การนำงานวิจัยไปประยุกต์ใช้.....	197
5.4 ข้อจำกัดของงานวิจัยและข้อเสนอแนะ .....	198
รายการอ้างอิง .....	199
ประวัติผู้เขียนวิทยานิพนธ์ .....	204



จุฬาลงกรณ์มหาวิทยาลัย  
CHULALONGKORN UNIVERSITY

## สารบัญตาราง

หน้า

ตารางที่ 2.1	แบบจำลองคุณภาพเอโอเอสคิวเอเอ็มโอ (AOSQUAMO) ของ Kumar และคณะ (2009) .....	28
ตารางที่ 2.2	ข้อแตกต่างของนิยามระหว่างมาตรวัดเชิงวัตถุและมาตรวัดเชิงแอสเป็ก .....	35
ตารางที่ 2.3	ความสัมพันธ์ระหว่างมาตรวัดเชิงวัตถุและคุณภาพซอฟต์แวร์ ของ Kulkarni, Kalshetty และ Arde (2010).....	36
ตารางที่ 2.4	ความสัมพันธ์ระหว่างมาตรวัดเชิงแอสเป็กและคุณภาพซอฟต์แวร์ ของ Sirbi และ Kulkarni (2013).....	37
ตารางที่ 3.1	มาตรวัดเชิงวัตถุของ Chidamber และ Kemerer (1993) และองค์ประกอบของ โปรแกรมที่ใช้สำหรับพิจารณาค่ามาตรวัด .....	44
ตารางที่ 3.2	รายละเอียดของซอฟต์แวร์เจสอตตรอร์ เวอร์ชัน 7.1 .....	48
ตารางที่ 3.3	รายละเอียดเม็ท็อดคอลที่จัดการด้วยแอสเป็ก .....	53
ตารางที่ 3.4	ช่วงค่าของจำนวนซ้ำเม็ท็อดคอลที่ใช้เลือกหน่วยตัวอย่าง .....	57
ตารางที่ 3.5	ผลลัพธ์ลิสเม็ท็อดที่ได้จากการคัดกรองแยกตามช่วงค่าจำนวนซ้ำ .....	58
ตารางที่ 3.6	ลิสเม็ท็อดและจำนวนซ้ำเม็ท็อดคอลสำหรับทำแอสเป็กรีแฟคทอริง .....	59
ตารางที่ 3.7	รายละเอียดการแก้ไขซอร์สโค้ดของเจสอตตรอร์ เวอร์ชัน 7.1.....	63
ตารางที่ 4.1	ลิสเม็ท็อดและจำนวนซ้ำเม็ท็อดคอลสำหรับทำแอสเป็กรีแฟคทอริง .....	67
ตารางที่ 4.2	จำนวนรูปแบบของลักษณะเม็ท็อดคอลในแต่ละจำนวนซ้ำของเม็ท็อดคอล.....	73
ตารางที่ 4.3	เวอร์ชันของเจสอตตรอร์ที่จัดการจำนวนซ้ำของเม็ท็อดคอลแตกต่างกันด้วยแอสเป็ก ..	74
ตารางที่ 4.4	เวอร์ชันของเจสอตตรอร์และจำนวนซ้ำของเม็ท็อดคอลที่จัดการด้วยแอสเป็ก .....	91
ตารางที่ 4.5	ข้อมูลสถิติเชิงพรรณนาของเจสอตตรอร์ เวอร์ชัน 7.1 .....	92
ตารางที่ 4.6	ข้อมูลสถิติเชิงพรรณนาของเจสอตตรอร์ เวอร์ชัน 1 .....	92
ตารางที่ 4.7	ข้อมูลสถิติเชิงพรรณนาของเจสอตตรอร์ เวอร์ชัน 2 .....	92
ตารางที่ 4.8	ข้อมูลสถิติเชิงพรรณนาของเจสอตตรอร์ เวอร์ชัน 3 .....	93
ตารางที่ 4.9	ข้อมูลสถิติเชิงพรรณนาของเจสอตตรอร์ เวอร์ชัน 4 .....	93
ตารางที่ 4.10	ข้อมูลสถิติเชิงพรรณนาของเจสอตตรอร์ เวอร์ชัน 5 .....	94
ตารางที่ 4.11	ข้อมูลสถิติเชิงพรรณนาของเจสอตตรอร์ เวอร์ชัน 6 .....	94
ตารางที่ 4.12	ข้อมูลสถิติเชิงพรรณนาของเจสอตตรอร์ เวอร์ชัน 7 .....	94
ตารางที่ 4.13	ข้อมูลสถิติเชิงพรรณนาของเจสอตตรอร์ เวอร์ชัน 8 .....	95
ตารางที่ 4.14	ข้อมูลสถิติเชิงพรรณนาของเจสอตตรอร์ เวอร์ชัน 9 .....	95



ตารางที่ 4.42 รายชื่อคลาส 14 คลาสของเจฮอตตรอร์ เวอร์ชัน 10 ที่ค่ามาตรฐาน RFC เปลี่ยนแปลง.....	120
ตารางที่ 4.43 รายชื่อคลาส 21 คลาสของเจฮอตตรอร์ เวอร์ชัน 11 ที่ค่ามาตรฐาน RFC เปลี่ยนแปลง.....	121
ตารางที่ 4.44 รายชื่อคลาส 43 คลาสของเจฮอตตรอร์ เวอร์ชัน 12 ที่ค่ามาตรฐาน RFC เปลี่ยนแปลง.....	122
ตารางที่ 4.44 รายชื่อคลาส 43 คลาสของเจฮอตตรอร์ เวอร์ชัน 12 ที่ค่ามาตรฐาน RFC เปลี่ยนแปลง (ต่อ) .....	123
ตารางที่ 4.45 จำนวนคลาสที่สามารถจัดการเมทีอดคอลข้างกันทั้งหมดด้วยแอสเป็ก ของเจฮอตตรอร์แต่ละเวอร์ชัน .....	129
ตารางที่ 4.46 รายชื่อคลาส 3 คลาสของเจฮอตตรอร์ เวอร์ชัน 12 ที่ค่ามาตรฐาน LCOM เปลี่ยนแปลง.....	130
ตารางที่ 4.47 มาตรฐานเชิงแอสเป็กซึ่งมีคลาสที่ค่ามาตรฐานเปลี่ยนแปลง หลังทำแอสเป็กรีแฟคทอริง.....	134
ตารางที่ 4.48 มาตรฐานเชิงแอสเป็กของแอสเป็กหลังทำแอสเป็กรีแฟคทอริง (พิจารณาเฉพาะไฟล์แอสเป็ก).....	135
ตารางที่ 4.49 ค่ามาตรฐาน WOM ของแอสเป็กในเจฮอตตรอร์ทั้ง 12 เวอร์ชัน หลังทำแอสเป็กรีแฟคทอริง.....	136
ตารางที่ 4.50 รายชื่อคลาส 2 คลาสของเจฮอตตรอร์ เวอร์ชัน 3 ที่ค่ามาตรฐาน CMC เปลี่ยนแปลง .....	141
ตารางที่ 4.51 รายชื่อคลาส 1 คลาสของเจฮอตตรอร์ เวอร์ชัน 4 ที่ค่ามาตรฐาน CMC เปลี่ยนแปลง .....	141
ตารางที่ 4.52 รายชื่อคลาส 8 คลาสของเจฮอตตรอร์ เวอร์ชัน 8 ที่ค่ามาตรฐาน CMC เปลี่ยนแปลง .....	141
ตารางที่ 4.53 รายชื่อคลาส 2 คลาสของเจฮอตตรอร์ เวอร์ชัน 12 ที่ค่ามาตรฐาน CMC เปลี่ยนแปลง .....	142
ตารางที่ 4.54 ค่ามาตรฐาน CMC ของแอสเป็กในเจฮอตตรอร์ทั้ง 12 เวอร์ชัน หลังทำแอสเป็กรีแฟคทอริง.....	142
ตารางที่ 4.55 รายชื่อคลาส 2 คลาสของเจฮอตตรอร์ เวอร์ชัน 3 ที่ค่ามาตรฐาน CBM เปลี่ยนแปลง.....	145

ตารางที่ 4.56 รายชื่อคลาส 1 คลาสของเจฮอตตรอร์ เวอร์ชัน 4 ที่ค่ามาตรวัด CBM เปลี่ยนแปลง.....	146
ตารางที่ 4.57 รายชื่อคลาส 8 คลาสของเจฮอตตรอร์ เวอร์ชัน 8 ที่ค่ามาตรวัด CBM เปลี่ยนแปลง.....	146
ตารางที่ 4.58 รายชื่อคลาส 2 คลาสของเจฮอตตรอร์ เวอร์ชัน 12 ที่ค่ามาตรวัด CBM เปลี่ยนแปลง.....	147
ตารางที่ 4.59 ค่ามาตรวัด CBM ของแอสเป็กในเจฮอตตรอร์ทั้ง 12 เวอร์ชัน หลังทำแอสเป็กรีแฟคทอริง.....	147
ตารางที่ 4.60 ค่ามาตรวัด CDA ของแอสเป็กในเจฮอตตรอร์ทั้ง 12 เวอร์ชัน หลังทำแอสเป็กรีแฟคทอริง.....	149
ตารางที่ 4.61 รายชื่อคลาส 2 คลาสของเจฮอตตรอร์ เวอร์ชัน 1 ที่ค่ามาตรวัด CAE เปลี่ยนแปลง	151
ตารางที่ 4.62 รายชื่อคลาส 5 คลาสของเจฮอตตรอร์ เวอร์ชัน 2 ที่ค่ามาตรวัด CAE เปลี่ยนแปลง	151
ตารางที่ 4.63 รายชื่อคลาส 9 คลาสของเจฮอตตรอร์ เวอร์ชัน 3 ที่ค่ามาตรวัด CAE เปลี่ยนแปลง	152
ตารางที่ 4.64 รายชื่อคลาส 11 คลาสของเจฮอตตรอร์ เวอร์ชัน 4 ที่ค่ามาตรวัด CAE เปลี่ยนแปลง.....	152
ตารางที่ 4.65 รายชื่อคลาส 9 คลาสของเจฮอตตรอร์ เวอร์ชัน 5 ที่ค่ามาตรวัด CAE เปลี่ยนแปลง	153
ตารางที่ 4.66 รายชื่อคลาส 6 คลาสของเจฮอตตรอร์ เวอร์ชัน 6 ที่ค่ามาตรวัด CAE เปลี่ยนแปลง	153
ตารางที่ 4.67 รายชื่อคลาส 10 คลาสของเจฮอตตรอร์ เวอร์ชัน 7 ที่ค่ามาตรวัด CAE เปลี่ยนแปลง.....	154
ตารางที่ 4.68 รายชื่อคลาส 12 คลาสของเจฮอตตรอร์ เวอร์ชัน 8 ที่ค่ามาตรวัด CAE เปลี่ยนแปลง.....	154
ตารางที่ 4.68 รายชื่อคลาส 12 คลาสของเจฮอตตรอร์ เวอร์ชัน 8 ที่ค่ามาตรวัด CAE เปลี่ยนแปลง (ต่อ).....	155
ตารางที่ 4.69 รายชื่อคลาส 2 คลาสของเจฮอตตรอร์ เวอร์ชัน 9 ที่ค่ามาตรวัด CAE เปลี่ยนแปลง	155
ตารางที่ 4.70 รายชื่อคลาส 23 คลาสของเจฮอตตรอร์ เวอร์ชัน 10 ที่ค่ามาตรวัด CAE เปลี่ยนแปลง.....	156
ตารางที่ 4.71 รายชื่อคลาส 26 คลาสของเจฮอตตรอร์ เวอร์ชัน 11 ที่ค่ามาตรวัด CAE เปลี่ยนแปลง.....	157
ตารางที่ 4.72 รายชื่อคลาส 44 คลาสของเจฮอตตรอร์ เวอร์ชัน 12 ที่ค่ามาตรวัด CAE เปลี่ยนแปลง.....	158

ตารางที่ 4.72 รายชื่อคลาส 44 คลาสของเจฮอตตรอร์ เวอร์ชัน 12 ที่ค่ามาตรวัด CAE เปลี่ยนแปลง (ต่อ) .....	159
ตารางที่ 4.73 รายชื่อคลาส 1 คลาสของเจฮอตตรอร์ เวอร์ชัน 1 ที่ค่ามาตรวัด RFM เปลี่ยนแปลง	161
ตารางที่ 4.74 รายชื่อคลาส 9 คลาสของเจฮอตตรอร์ เวอร์ชัน 3 ที่ค่ามาตรวัด RFM เปลี่ยนแปลง	161
ตารางที่ 4.75 รายชื่อคลาส 11 คลาสของเจฮอตตรอร์ เวอร์ชัน 4 ที่ค่ามาตรวัด RFM เปลี่ยนแปลง .....	162
ตารางที่ 4.76 รายชื่อคลาส 1 คลาสของเจฮอตตรอร์ เวอร์ชัน 5 ที่ค่ามาตรวัด RFM เปลี่ยนแปลง	162
ตารางที่ 4.77 รายชื่อคลาส 6 คลาสของเจฮอตตรอร์ เวอร์ชัน 6 ที่ค่ามาตรวัด RFM เปลี่ยนแปลง	163
ตารางที่ 4.78 รายชื่อคลาส 10 คลาสของเจฮอตตรอร์ เวอร์ชัน 7 ที่ค่ามาตรวัด RFM เปลี่ยนแปลง .....	163
ตารางที่ 4.79 รายชื่อคลาส 12 คลาสของเจฮอตตรอร์ เวอร์ชัน 8 ที่ค่ามาตรวัด RFM เปลี่ยนแปลง .....	164
ตารางที่ 4.80 รายชื่อคลาส 2 คลาสของเจฮอตตรอร์ เวอร์ชัน 9 ที่ค่ามาตรวัด RFM เปลี่ยนแปลง	164
ตารางที่ 4.81 รายชื่อคลาส 14 คลาสของเจฮอตตรอร์ เวอร์ชัน 10 ที่ค่ามาตรวัด RFM เปลี่ยนแปลง .....	165
ตารางที่ 4.82 รายชื่อคลาส 16 คลาสของเจฮอตตรอร์ เวอร์ชัน 11 ที่ค่ามาตรวัด RFM เปลี่ยนแปลง .....	166
ตารางที่ 4.83 รายชื่อเมทอดที่ทำงานตอบสนองต่อคลาส ChopRoundRectangleConnector ..	169
ตารางที่ 4.84 เวอร์ชันของเจฮอตตรอร์จัดเรียงตามจำนวนคลาสที่สามารถจัดการเมทอดคอลข้างกัน ทั้งหมดด้วยแอสเป็ก .....	176
ตารางที่ 4.85 สมมติฐานของการเปรียบเทียบค่ามาตรวัด RFC หลังทำแอสเป็กที่แพคทอริงที่มีจำนวน คลาสที่สามารถจัดการด้วยแอสเป็กแตกต่างกัน .....	177
ตารางที่ 4.85 สมมติฐานของการเปรียบเทียบค่ามาตรวัด RFC หลังทำแอสเป็กที่แพคทอริงที่มีจำนวน คลาสที่สามารถจัดการด้วยแอสเป็กแตกต่างกัน (ต่อ) .....	178
ตารางที่ 4.86 การทดสอบการแจกแจงของข้อมูลค่ามาตรวัด RFC ของคลาส 442 คลาส จากเจฮอตตรอร์แต่ละเวอร์ชัน .....	179
ตารางที่ 4.87 ค่า Asymp. Sig. (1-tailed) ที่ได้จากสถิติทดสอบ วิลคอกซัน ไซน์-แรนค์ เทสต์ ของค่ามาตรวัด RFC .....	180
ตารางที่ 4.88 การเปรียบเทียบผลการทำแอสเป็กที่แพคทอริงต่อค่ามาตรวัดระหว่างมาตรวัดเชิงวัตถุ และมาตรวัดเชิงแอสเป็กที่มีนิยามคล้ายกัน .....	184

ตารางที่ 4.89 การเปรียบเทียบผลการทำแอสเปีร์แฟคทอริงต่อคุณภาพซอฟต์แวร์ระหว่างมาตรวัด  
 เชิงวัตถุและมาตรวัดเชิงแอสเปีร์ที่มีนิยามคล้ายกัน ..... 186

ตารางที่ 5.1 สรุปผลการทำแอสเปีร์แฟคทอริงจากการพิจารณาด้วยมาตรวัดเชิงวัตถุ ..... 188

ตารางที่ 5.2 สรุปผลการทำแอสเปีร์แฟคทอริงจากการพิจารณาด้วยมาตรวัดเชิงแอสเปีร์ ..... 189

ตารางที่ 5.3 ผลคุณภาพซอฟต์แวร์จากการทำแอสเปีร์แฟคทอริงพิจารณาด้วยมาตรวัดเชิงวัตถุ . 193

ตารางที่ 5.4 ผลคุณภาพซอฟต์แวร์จากการทำแอสเปีร์แฟคทอริงพิจารณา  
 ด้วยมาตรวัดเชิงแอสเปีร์ ..... 195



## สารบัญภาพ

หน้า

รูปที่ 2.1 ลักษณะโค้ดการจัดกระจายของครอสคัทตั้งคอนเซิร์น ของ Laddad (2003).....	7
รูปที่ 2.2 ลักษณะโค้ดพันกันของครอสคัทตั้งคอนเซิร์น ของ Laddad (2003) .....	8
รูปที่ 2.3 ตัวอย่างการบันทึกล็อกของคลาส ShoppingCart ของ Laddad (2003).....	8
รูปที่ 2.4 การอิมพลีเมนต์การบันทึกล็อกด้วยเม็ท้อดคอล ของ Laddad (2003).....	9
รูปที่ 2.5 การอิมพลีเมนต์การบันทึกล็อกด้วยแอสเป็ก ของ Laddad (2003).....	10
รูปที่ 2.6 การปรับปรุงซอฟต์แวร์ด้วยการโปรแกรมเชิงแอสเป็กดัดแปลงจากงานวิจัย ของ Kellens, Mens, และ Tonella (2007).....	11
รูปที่ 2.7 กระบวนการวิฟวิง ของ Cavallaro และ Miraz (2010).....	12
รูปที่ 2.8 การใช้เทคนิคเอ็กซ์แทรคเม็ท้อดคอล ของ Laddad (2003).....	16
รูปที่ 2.9 ตัวอย่างเม็ท้อดคอลซ้ำภายในคลาส ของ Laddad (2003).....	17
รูปที่ 2.10 ตัวอย่างการสร้างแอสเป็ก พอยท์คัทและแอดไวซ์ ของ Laddad (2003) .....	18
รูปที่ 2.11 การกำหนดเม็ท้อดคอลที่ต้องการให้ทำงานภายในแอดไวซ์ ของ Laddad (2003).....	18
รูปที่ 2.12 ตัวอย่างการแก้ไขพอยท์คัทด้วยโวลต์การ์ด ของ Laddad (2003).....	18
รูปที่ 2.13 ตัวอย่างคลาส Account หลังทำแอสเป็กกรีแพคทอริง ของ Laddad (2003).....	19
รูปที่ 2.14 ตัวอย่างการจัดการข้อยกเว้นที่ซ้ำกันภายในคลาส LibraryDelegate ของ Laddad (2003) .....	20
รูปที่ 2.15 ตัวอย่างการใช้เทคนิคเอ็กซ์แทรคเอ็กซ์เซ็พชั่นแฮนเดิ้ลลิง ของ Laddad (2003).....	21
รูปที่ 2.16 เทคนิคเอ็กซ์แทรคบิกินนิง/เอนออฟเม็ท้อดของ Binkley และคณะ (2006).....	22
รูปที่ 2.17 เทคนิคเอ็กซ์แทรคบิฟอร์/ออฟเตอร์คอล ของ Binkley และคณะ (2006) .....	23
รูปที่ 2.18 เทคนิคเอ็กซ์แทรคคอนดิชันนอล ของ Binkley และคณะ (2006).....	24
รูปที่ 2.19 เทคนิคพรีรีเทิร์น ของ Binkley และคณะ (2006).....	24
รูปที่ 2.20 เทคนิคเอ็กซ์แทรคแรพเพอร์ ของ Binkley และคณะ (2006) .....	25
รูปที่ 2.21 ตัวอย่างลำดับชั้นการรับทอด ของ Aggarwal และคณะ (2006).....	31
รูปที่ 2.22 ตัวอย่างคลาสไดอะแกรม ของ Aggarwal และคณะ (2006).....	32
รูปที่ 3.1 แสดงตัวอย่างการซ้ำของเม็ท้อดคอล ของ Laddad (2003).....	43
รูปที่ 3.2 แนวทางการดำเนินงานวิจัย.....	50
รูปที่ 3.3 ผลลัพธ์จากการใช้เครื่องมือเอฟไอเอ็นที (FINT) .....	51
รูปที่ 3.4 ตัวอย่างรายชื่อคลาสและเม็ท้อดที่ภายในมีการเรียกใช้งานเม็ท้อด grow() .....	52
รูปที่ 3.5 ตัวอย่างเม็ท้อดคอลที่อยู่ในตอนต้นหรือตอนท้ายของเม็ท้อด .....	54



รูปที่ 3.6 ตัวอย่างเมที่อดคอลลที่อยู่ในตอนต้นหรือตอนท้ายของคอนสตรัคเตอร์คลาส.....	55
รูปที่ 3.7 ตัวอย่างเมที่อดคอลลที่อยู่ก่อนหรือหลังการกำหนดค่าแอตทริบิวต์ของคลาส.....	56
รูปที่ 3.8 การแก้ไขระดับการเข้าถึงของเมที่อด fireAreaInvalidated .....	60
รูปที่ 3.9 การแก้ไขการประกาศตัวแปร .....	61
รูปที่ 3.10 การแก้ไขซอร์สโค้ดของคลาส DefaultDrawing .....	62
รูปที่ 3.11 การแก้ไขซอร์สโค้ดของคลาส ConnectionStartHandle.....	62
รูปที่ 3.12 ขั้นตอนการทำแอสเป็กริแพคทอริง .....	64
รูปที่ 4.1 คลาสแม่ AbstractFigure และคลาสลูก ImageFigure ภายในลำดับชั้นคลาสเดียวกัน....	68
รูปที่ 4.2 ตัวอย่างลักษณะเมที่อดคอลลที่เรียกใช้งานเมที่อดจากภายในคลาสโดยตรง .....	69
รูปที่ 4.3 ตัวอย่างลักษณะเมที่อดคอลลที่เรียกใช้งานเมที่อดผ่านชื่อคลาสโดยตรง .....	69
รูปที่ 4.4 คลาส Geom มีการอิมพลิเมนต์เมที่อด grow().....	70
รูปที่ 4.5 ตัวอย่างลักษณะเมที่อดคอลลที่เรียกใช้งานเมที่อดผ่านตัวแปรอ็อบเจกต์ .....	70
รูปที่ 4.6 คลาสแม่ AbstractSelectedAction และคลาสลูก GroupAction ในลำดับชั้นคลาส .....	71
รูปที่ 4.7 ตัวอย่างลักษณะเมที่อดคอลลที่เรียกใช้งานเมที่อดผ่านตัวแปรอ็อบเจกต์ของคลาสแม่ .....	71
รูปที่ 4.8 การประกาศตัวแปรอ็อบเจกต์ labels ไว้ในคลาสแม่ AbstractSelectedAction .....	72
รูปที่ 4.9 ตัวอย่างลักษณะเมที่อดคอลลที่เรียกใช้งานเมที่อดผ่านตัวแปรอ็อบเจกต์ที่เป็นพารามิเตอร์ .....	72
รูปที่ 4.10 ตัวอย่างเมที่อดคอลลที่เรียกใช้งานเมที่อดจากชื่อคลาสโดยตรง .....	74
รูปที่ 4.11 ตัวอย่างลักษณะเมที่อดคอลลที่เรียกใช้งานเมที่อดจากภายในคลาสโดยตรง .....	75
รูปที่ 4.12 การสร้างพอยท์คัทและแอตไวซ์.....	76
รูปที่ 4.13 การเก็บค่าตัวแปรอ็อบเจกต์สำหรับนำมาเรียกใช้งานเมที่อด changed().....	76
รูปที่ 4.14 การใช้ไวลด์การ์ดปรับปรุงพอยท์คัท .....	77
รูปที่ 4.15 ตัวอย่างลักษณะเมที่อดคอลลที่เรียกใช้งานเมที่อดผ่านตัวแปรอ็อบเจกต์ และอาร์กิวเมนต์เป็นตัวแปรอ็อบเจกต์ .....	77
รูปที่ 4.16 การเก็บค่าตัวแปรอ็อบเจกต์ drawing มาไว้ในแอสเป็กริ .....	78
รูปที่ 4.17 การเก็บค่าตัวแปรอ็อบเจกต์ undoManager สำหรับส่งเป็นอาร์กิวเมนต์ในเมที่อดคอลล .....	79
รูปที่ 4.18 การจัดการเมที่อดคอลลที่เรียกใช้งานเมที่อด addUndoableEditListener() ด้วยแอสเป็กริ .....	79
รูปที่ 4.19 การใช้ไวลด์การ์ดปรับปรุงพอยท์คัท .....	80
รูปที่ 4.20 ตัวอย่างลักษณะเมที่อดคอลลที่เรียกใช้งานเมที่อดผ่านตัวแปรอ็อบเจกต์ ที่เป็นพารามิเตอร์ .....	81

รูปที่ 4.21 การเก็บตัวแปรอ็อบเจกต์ที่เป็นพารามิเตอร์ของเมทอดภายในแอสเป็ก .....	82
รูปที่ 4.22 การจัดการเมทอดคอลที่เรียกใช้งานเมทอด addToSelection() ด้วยแอสเป็ก.....	82
รูปที่ 4.23 ผลลัพธ์ของฟังก์ชันอัปเดตเส้นเชื่อมระหว่างรูปทรง.....	83
รูปที่ 4.24 การกำหนดจุดพักภายในเมทอด updateConnection ของคลาส.....	84
รูปที่ 4.25 การกำหนดจุดพักภายในแอดไวซ์ changedExecution ของแอสเป็ก.....	84
รูปที่ 4.26 รายละเอียดตัวแปรของการทำงานเมทอด updateConnection ภายในคลาส.....	85
รูปที่ 4.27 รายละเอียดตัวแปรของการทำงานแอดไวซ์ changedExecution ภายในแอสเป็ก .....	86
รูปที่ 4.28 ตัวอย่างไฟล์ Build.xml สำหรับเก็บรวบรวมค่ามาตรวัดเชิงวัตถุ.....	87
รูปที่ 4.29 ไฟล์ HTML แสดงค่ามาตรวัดเชิงวัตถุของแต่ละคลาสภายในโปรเจก.....	88
รูปที่ 4.30 ตัวอย่างไฟล์ Build.xml สำหรับเก็บรวบรวมค่ามาตรวัดเชิงแอสเป็ก .....	89
รูปที่ 4.31 ไฟล์ไมโครซอฟท์เอกซ์เซลแสดงค่ามาตรวัดเชิงแอสเป็กของแต่ละคลาสภายในโปรเจก ..	90
รูปที่ 4.32 ค่าเฉลี่ยของมาตรวัด WMC ของเจฮอตตรอร์ว้แต่ละเวอร์ชัน ที่จัดการจำนวนซ้ำเมทอดคอลแตกต่างกัน .....	105
รูปที่ 4.33 ค่าเฉลี่ยของมาตรวัด DIT ของเจฮอตตรอร์ว้แต่ละเวอร์ชัน ที่จัดการจำนวนซ้ำเมทอดคอลแตกต่างกัน .....	106
รูปที่ 4.34 ค่าเฉลี่ยของมาตรวัด NOC ของเจฮอตตรอร์ว้แต่ละเวอร์ชัน ที่จัดการจำนวนซ้ำเมทอดคอลแตกต่างกัน .....	107
รูปที่ 4.35 ค่าเฉลี่ยของมาตรวัด CBO ของเจฮอตตรอร์ว้แต่ละเวอร์ชัน ที่จัดการจำนวนซ้ำเมทอดคอลแตกต่างกัน .....	109
รูปที่ 4.36 ซอร์สโค้ดของคลาส AttributeKey ที่มีการเรียกใช้งานเมทอด changed().....	111
รูปที่ 4.37 แอ็สเตรคคลาส AbstractFigure ที่อิมพลีเมนต์เมทอด willChange() และ changed() .....	112
รูปที่ 4.38 ซอร์สโค้ดบางส่วนของคลาส ODGPathFigure .....	113
รูปที่ 4.39 คลาส DuplicateAction .....	114
รูปที่ 4.40 คลาส ResourceBundleUtil .....	114
รูปที่ 4.41 ค่าเฉลี่ยของมาตรวัด RFC ของเจฮอตตรอร์ว้ 12 เวอร์ชัน ที่จัดการจำนวนซ้ำเมทอดคอลแตกต่างกัน .....	124
รูปที่ 4.42 คลาส ImageFigure .....	125
รูปที่ 4.43 คลาส ODGPathFigure .....	126
รูปที่ 4.44 คลาส AttributeKey ที่มีการเรียกใช้งานเมทอด changed() .....	127

รูปที่ 4.45 คลาส DragHandle ที่มีการเรียกใช้งานเมทอด changed().....	128
รูปที่ 4.46 ค่าเฉลี่ยของมาตรวัด LCOM ของเจฮอตตรอร์ว้แต่ละเวอร์ชัน ที่จัดการจำนวนข้่าเมทอดคอลแตกต่ากััน .....	131
รูปที่ 4.47 คลาส MoveToFrontAction .....	132
รูปที่ 4.48 คลาส CopyAction .....	133
รูปที่ 4.49 ค่าเฉลี่ยของมาตรวัด WOM ของเจฮอตตรอร์ว้แต่ละเวอร์ชัน ที่จัดการจำนวนข้่าเมทอดคอลแตกต่ากััน .....	136
รูปที่ 4.50 ค่าเฉลี่ยของมาตรวัด DIT ของเจฮอตตรอร์ว้แต่ละเวอร์ชัน ที่จัดการจำนวนข้่าเมทอดคอลแตกต่ากััน .....	138
รูปที่ 4.51 ค่าเฉลี่ยของมาตรวัด NOC ของเจฮอตตรอร์ว้แต่ละเวอร์ชัน ที่จัดการจำนวนข้่าเมทอดคอลแตกต่ากััน .....	139
รูปที่ 4.52 ค่าเฉลี่ยของมาตรวัด CFA ของเจฮอตตรอร์ว้แต่ละเวอร์ชัน ที่จัดการจำนวนข้่าเมทอดคอลแตกต่ากััน .....	140
รูปที่ 4.53 ค่าเฉลี่ยของมาตรวัด CMC ของเจฮอตตรอร์ว้แต่ละเวอร์ชัน ที่จัดการจำนวนข้่าเมทอดคอลแตกต่ากััน .....	143
รูปที่ 4.54 คลาส UngroupAction ที่มีค่ามาตรวัด CMC ลดลงหลังทำแอสเป็กรั๊แฟคทอริง .....	144
รูปที่ 4.55 คลาส CloseAction ที่มีค่ามาตรวัด CMC คงเดิมหลังทำแอสเป็กรั๊แฟคทอริง .....	144
รูปที่ 4.56 ค่าเฉลี่ยของมาตรวัด CBM ของเจฮอตตรอร์ว้แต่ละเวอร์ชัน ที่จัดการจำนวนข้่าเมทอดคอลแตกต่ากััน .....	148
รูปที่ 4.57 ค่าเฉลี่ยของมาตรวัด CDA ของเจฮอตตรอร์ว้แต่ละเวอร์ชัน ที่จัดการจำนวนข้่าเมทอดคอลแตกต่ากััน .....	150
รูปที่ 4.58 ค่าเฉลี่ยของมาตรวัด CAE ของเจฮอตตรอร์ว้แต่ละเวอร์ชัน ที่จัดการจำนวนข้่าเมทอดคอลแตกต่ากััน .....	160
รูปที่ 4.59 ค่าเฉลี่ยของมาตรวัด RFM ของเจฮอตตรอร์ว้แต่ละเวอร์ชัน ที่จัดการจำนวนข้่าเมทอดคอลแตกต่ากััน .....	167
รูปที่ 4.60 คลาส ChopRoundRectangleConnector และตำแหน่งเมทอดคอลท้ังหมด .....	168
รูปที่ 4.61 แอสเป็กรั๊แฟคทอริงสำหรับจัดการเมทอดคอลภายในคลาส ChopRoundRectangleConnector	170
รูปที่ 4.62 ค่าเฉลี่ยของมาตรวัด LCO ของเจฮอตตรอร์ว้แต่ละเวอร์ชัน ที่จัดการจำนวนข้่าเมทอดคอลแตกต่ากััน .....	171
รูปที่ 4.63 คลาส DefaultDrawing ก่อนและหลังการทำแอสเป็กรั๊แฟคทอริง .....	172

รูปที่ 4.64 ผลจากการจัดการเมทีอดคอลที่มีลักษณะการเรียกใช้งานเมทีอด ผ่านตัวแปรอ็อบเจกต์คลาส.....	182
รูปที่ 4.65 ผลจากการจัดการเมทีอดคอลที่มีลักษณะการเรียกใช้งานเมทีอดผ่าน ตัวแปรอ็อบเจกต์ที่เป็นพารามิเตอร์.....	182



## บทที่ 1

### บทนำ

#### 1.1 ความเป็นมาและความสำคัญของปัญหา

คุณภาพซอฟต์แวร์ (Software quality) เป็นเรื่องสำคัญที่ต้องคำนึงถึงในการพัฒนาซอฟต์แวร์ ไอเอสโอ/ไออีซี 9126 (ISO/IEC 9126) เป็นมาตรฐานของคุณภาพซอฟต์แวร์ได้นำเสนอแบบจำลองคุณภาพซอฟต์แวร์ที่ประกอบด้วย 6 ลักษณะเฉพาะ ได้แก่ ความสามารถเชิงฟังก์ชัน (Functionality) ความเชื่อถือได้ (Reliability) ความสามารถการใช้งานง่าย (Usability) ประสิทธิภาพ (Efficiency) ความสามารถการบำรุงรักษา (Maintainability) และความสามารถในการเคลื่อนย้าย (Portability) ปัจจุบันซอฟต์แวร์มีขนาดใหญ่และมีความซับซ้อนมาก รวมถึงการแข่งขันทางการตลาดที่สูงทำให้เกิดการเปลี่ยนแปลงความต้องการ (Requirement) ของซอฟต์แวร์บ่อยครั้ง ดังนั้นซอฟต์แวร์ที่มีคุณภาพดีกว่าจะสามารถปรับปรุงให้ตรงกับความต้องการได้ง่าย (Kumar, Grover and Kumar, 2009) เพื่อเพิ่มคุณภาพซอฟต์แวร์จึงมีผู้คิดค้นและนำเสนอแนวทางสำหรับพัฒนาซอฟต์แวร์ด้วยการโปรแกรมเชิงวัตถุ (Object-oriented programming) โดยใช้แนวคิดของอ็อบเจกต์ แต่การพัฒนาด้วยการโปรแกรมเชิงวัตถุยังทำให้เกิดปัญหาโค้ดกระจัดกระจาย (Code scattering) คือการเกิดโค้ดซ้ำกันในหลายคลาส และปัญหาโค้ดพันกัน (Code tangling) คือการทำงานของโค้ดที่เกี่ยวข้องกับหลายคอนเซ็ปต์รวมกันอยู่ในคลาสเดียว การเกิดโค้ดซ้ำกันในหลายคลาสหรือโค้ดโคลน (Code clone) ภายในซอร์สโค้ดของซอฟต์แวร์เกิดจากการอิมพลิเมนต์ของฟังก์ชันหนึ่งซึ่งเป็นฟังก์ชันสำคัญที่จำเป็นต้องมีในหลายคลาส เช่น การบันทึกล็อก (Logging) การอนุญาตและการพิสูจน์ตัวตน (Authorization and Authentication) และการตรวจหาและจัดการข้อยกเว้น (Exception detection and handling) เป็นต้น ฟังก์ชันเหล่านี้ทำให้เกิดโค้ดโคลน เรียกว่า ครอสคัตติ้งคอนเซ็ปต์ (Crosscutting concern) (Ahuja and Goel, 2008; Kapsler, 2009; Laddad, 2003b) ปัญหาดังกล่าวจะส่งผลทำให้ซอฟต์แวร์ยากต่อการทำความเข้าใจ การบำรุงรักษา และการนำกลับมาใช้ใหม่

Kiczales และคณะ (1997) จึงนำเสนอการโปรแกรมเชิงแอสเป็กต์ (Aspect-oriented programming) สำหรับช่วยอิมพลิเมนต์ครอสคัตติ้งคอนเซ็ปต์ด้วยการใช้แอสเป็กต์ (Aspect) ซึ่งการโปรแกรมเชิงแอสเป็กต์สามารถช่วยแก้ไขปัญหาโค้ดกระจัดกระจายได้ ดังนั้นจึงมีการนำเสนอกระบวนการสำหรับปรับปรุงซอฟต์แวร์เชิงวัตถุเดิมโดยการนำการโปรแกรมเชิงแอสเป็กต์เข้ามาช่วยปรับปรุงด้วยกระบวนการแอสเป็กต์รีแฟกตอริง (Aspect refactoring) เป็นกระบวนการสำหรับปรับปรุงซอร์สโค้ดจากการจัดการครอสคัตติ้งคอนเซ็ปต์เป็นแอสเป็กต์ (Vidal et al., 2009) หลังจากมีการนำเสนอการโปรแกรมเชิงแอสเป็กต์เป็นแนวทางในการพัฒนาซอฟต์แวร์จึงทำให้มีผู้ศึกษาเปรียบเทียบคุณภาพซอฟต์แวร์ระหว่างซอฟต์แวร์ที่พัฒนาด้วยการโปรแกรมเชิงวัตถุกับซอฟต์แวร์ที่พัฒนาด้วยการโปรแกรมเชิงแอสเป็กต์ โดยประเมินด้วยชุดมาตรวัดที่แตกต่างกันไปดังนี้ Kulesza และคณะ (2006) ใช้ชุดมาตรวัดที่ดัดแปลงจากมาตรวัดเชิงวัตถุสามารถแบ่งมาตรวัดตามคุณลักษณะของ

ซอฟต์แวร์ดังนี้ การแยกคอนเซิร์น (Separation of concern - SoC) คัพปลิง (Coupling) โคฮีชัน (Cohesion) และขนาด (Size) ขณะที่ Kumar และคณะ (2007) ประเมินจากความสามารถในการเปลี่ยนแปลงจากผลกระทบของการเปลี่ยนแปลง (change impact) และมาตรวัดเชิงแอสเป็กของ Ceccato และ Tonella (2004) ส่วน Mguni และ Ayalew (2013) ใช้ชุดมาตรวัดสองชุดสำหรับการประเมินคุณภาพซอฟต์แวร์ ได้แก่ ชุดมาตรวัดระดับคอนเซิร์น (Concern level metrics) และชุดมาตรวัดความซับซ้อนทางโครงสร้าง (Structural Complexity Metrics) ถึงแม้หลายงานวิจัยจะประเมินคุณภาพซอฟต์แวร์จากชุดมาตรวัดที่แตกต่างกัน แต่ผลของงานวิจัยแสดงให้เห็นว่าการพัฒนาซอฟต์แวร์ด้วยการโปรแกรมเชิงแอสเป็กช่วยทำให้ความสามารถการบำรุงรักษาของซอฟต์แวร์ดีขึ้น เมื่อเทียบกับการพัฒนาซอฟต์แวร์ด้วยการโปรแกรมเชิงวัตถุ นอกจากนี้งานวิจัยในอดีตยังศึกษาข้อดีของการพัฒนาซอฟต์แวร์ด้วยการโปรแกรมเชิงแอสเป็กโดยเปรียบเทียบจากเวลาที่ใช้พัฒนา พบว่าการจัดการครอสคัตติ้งคอนเซิร์นที่ทำให้เกิดโค้ดโคลนซ้ำกันมากกว่า 36 ตำแหน่งหรือมีส่วนของโค้ดซ้ำกันในหลายคลาสทั้งหมด 36 ตำแหน่ง การอิมพลีเมนต์ครอสคัตติ้งคอนเซิร์นดังกล่าวด้วยแอสเป็กจะใช้เวลาในการพัฒนาเร็วกว่าการอิมพลีเมนต์ด้วยการโปรแกรมเชิงวัตถุ (Hanenberg, Kleinschmager and Walter, 2009)

จากงานวิจัยข้างต้นได้พิจารณาเพียงแค่เวลาที่ใช้ในการพัฒนาแต่การตัดสินใจนำแอสเป็กมาใช้ควรพิจารณาคุณภาพซอฟต์แวร์ร่วมด้วย โดยผลการเปรียบเทียบคุณภาพซอฟต์แวร์ของการใช้การโปรแกรมเชิงแอสเป็กที่กล่าวไว้ในงานวิจัยในอดีตยังไม่ได้ศึกษาความแตกต่างระหว่างคุณภาพซอฟต์แวร์จากการนำแอสเป็กมาใช้สำหรับจัดการโค้ดโคลนที่เกิดขึ้นภายในซอร์สโค้ด ผู้วิจัยจึงสนใจศึกษาแนวทางการใช้การโปรแกรมเชิงแอสเป็กที่เหมาะสมสำหรับปรับปรุงซอฟต์แวร์เดิมที่พัฒนาด้วยการโปรแกรมเชิงวัตถุด้วยกระบวนการแอสเป็กรีแฟกตอริง โดยมุ่งสนใจการแก้ไขเพียงลักษณะของปัญหาโค้ดที่กระจายตัวทำให้เกิดจำนวนซ้ำของโค้ดโคลนแตกต่างกัน ดังนั้นเพื่อควบคุมลักษณะของครอสคัตติ้งคอนเซิร์นที่จัดการให้มีความคล้ายกันมากที่สุดและมีจำนวนซ้ำของโค้ดที่หลากหลาย ผู้วิจัยจึงสนใจการจัดการครอสคัตติ้งคอนเซิร์นที่มีลักษณะเมทอดคอล (Method Call) โดยเปรียบเทียบจากการจัดการจำนวนซ้ำของเมทอดคอลที่แตกต่างกันเพื่อแนะนำการใช้การโปรแกรมเชิงแอสเป็กที่เหมาะสม

มาตรวัดซอฟต์แวร์ (Software metric) สามารถนำมาใช้ประเมินคุณภาพซอฟต์แวร์ โดยการโปรแกรมเชิงวัตถุได้มีการนำเสนอชุดมาตรวัดซอฟต์แวร์ไว้หลากหลาย เช่น มาตรวัดซีเค (CK metric) (Chidamber and Kemerer, 1993) และมาตรวัดเอ็มโอโอดี (MOOD metric) (Abreu, 1995) เป็นต้น และการโปรแกรมเชิงแอสเป็กมีหลายงานวิจัยที่นำเสนอชุดมาตรวัดเช่นกันโดยส่วนใหญ่ปรับปรุงจากมาตรวัดเชิงวัตถุ เช่น มาตรวัดของ Ceccato และ Tonella (2004) และ มาตรวัดของ Sant'Anna และคณะ (2003) เป็นต้น เนื่องจากงานวิจัยนี้ปรับปรุงซอฟต์แวร์เดิมที่พัฒนาด้วยการโปรแกรมเชิงวัตถุ และผู้วิจัยยังไม่พบงานวิจัยที่บอกความแตกต่างอย่างชัดเจนจากการใช้มาตรวัดเชิงวัตถุและมาตรวัดเชิงแอสเป็กสำหรับวัดคุณภาพซอฟต์แวร์ที่ปรับปรุงด้วยการใช้การโปรแกรมเชิงแอสเป็ก งานวิจัยนี้จึงเลือกใช้ทั้งมาตรวัดเชิงวัตถุและมาตรวัดเชิงแอสเป็กสำหรับประเมินคุณภาพซอฟต์แวร์

ดังนั้นงานวิจัยนี้จึงปรับปรุงซอฟต์แวร์เชิงวัตถุด้วยการทำแอสเป็กต์ทอริง โดยแก้ไขซอร์สโค้ดด้วยการจัดการเมทอดคอลที่ซ้ำกันด้วยแอสเป็กต์ เพื่อพิจารณาผลของการทำแอสเป็กต์ทอริงจากจำนวนซ้ำของเมทอดคอลที่แตกต่างกัน โดยพิจารณาคุณภาพซอฟต์แวร์หลังทำแอสเป็กต์ทอริงจากการเก็บรวบรวมค่ามาตรวัดของชุดมาตรวัดทั้งหมดสองชุด ได้แก่ มาตรวัดเชิงวัตถุ (Object-oriented metrics) และมาตรวัดเชิงแอสเป็กต์ (Aspect-oriented metrics) เพื่อเป็นแนวทางในการแนะนำลักษณะของโค้ดที่เหมาะสมต่อการปรับปรุงซอฟต์แวร์ให้มีคุณภาพด้วยกระบวนการแอสเป็กต์ทอริง

## 1.2 วัตถุประสงค์ของงานวิจัย

1. เพื่อเปรียบเทียบมาตรวัดเชิงวัตถุของซอฟต์แวร์ที่ปรับปรุงด้วยการทำแอสเป็กต์ทอริงจากจำนวนโค้ดโคลนที่แตกต่างกัน
2. เพื่อเปรียบเทียบมาตรวัดเชิงแอสเป็กต์ของซอฟต์แวร์ที่ปรับปรุงด้วยการทำแอสเป็กต์ทอริงจากจำนวนโค้ดโคลนที่แตกต่างกัน
3. เพื่อวิเคราะห์คุณภาพซอฟต์แวร์จากการทำแอสเป็กต์ทอริงด้วยจำนวนโค้ดโคลนที่แตกต่างกัน

## 1.3 ขอบเขตของการวิจัย

1. งานวิจัยนี้สนใจศึกษาการปรับปรุงซอฟต์แวร์ด้วยการโปรแกรมเชิงแอสเป็กต์ จากกระบวนการแอสเป็กต์ทอริงเพื่อจัดการเมทอดคอลที่ซ้ำภายในซอร์สโค้ดของซอฟต์แวร์เชิงวัตถุ โดยซอฟต์แวร์เชิงวัตถุพัฒนาด้วยภาษาจาวา (Java) ส่วนการโปรแกรมเชิงแอสเป็กต์เลือกใช้ภาษาแอสเป็กเจ (AspectJ)
2. การปรับปรุงซอฟต์แวร์ด้วยการทำแอสเป็กต์ทอริงจะสนใจจัดการเมทอดคอลที่ซ้ำกันด้วยแอสเป็กต์ โดยการอิมพลิเมนต์การเรียกใช้งานเมทอดทำให้เกิดเมทอดคอลซ้ำกันในหลายคลาส
3. การค้นหาเมทอดคอลและจำนวนซ้ำของเมทอดคอลที่เกิดขึ้นภายในซอร์สโค้ดของซอฟต์แวร์จะใช้เทคนิคสำหรับกระบวนการแอสเป็กต์ไมนิง (Aspect mining) เทคนิคที่เลือกใช้คือแฟน-อินอะนาไลซิส (Fan-in analysis) เป็นเทคนิคสำหรับพิจารณาเมทอดคอลที่ซ้ำกันภายในซอฟต์แวร์
4. มาตรวัดคุณภาพซอฟต์แวร์ที่นำมาใช้ประเมินคุณภาพซอฟต์แวร์ งานวิจัยนี้ได้เลือกใช้ชุดมาตรวัดทั้งหมด 2 ชุดมาตรวัด ได้แก่ มาตรวัดเชิงวัตถุของ Chidamber และ Kemerer (1993) ทั้งหมด 6 มาตรวัด และมาตรวัดเชิงแอสเป็กต์ของ Ceccato และ Tonella (2004) ทั้งหมด 10 มาตรวัด

#### 1.4 ขั้นตอนดำเนินงานวิจัย

1. ศึกษารายละเอียดเกี่ยวกับการโปรแกรมเชิงแอสเป็กและการทำแอสเป็กรีแฟคทอริง
2. ศึกษารายละเอียดเกี่ยวกับการวัดคุณภาพซอฟต์แวร์สำหรับซอฟต์แวร์ที่พัฒนาด้วยการโปรแกรมเชิงวัตถุและซอฟต์แวร์ที่พัฒนาด้วยการโปรแกรมเชิงแอสเป็ก
3. ศึกษาเครื่องมือที่ใช้ประกอบในการทำวิจัย
4. ออกแบบการทดลองเพื่อศึกษาคุณภาพซอฟต์แวร์จากการทำแอสเป็กรีแฟคทอริงเพื่อจัดการเมทอดคอลในจำนวนซ้ำของเมทอดคอลที่แตกต่างกันด้วยแอสเป็ก
5. เลือกซอฟต์แวร์ที่จะเป็นกรณีศึกษาสำหรับนำมาใช้ในการทดลองเพื่อตอบวัตถุประสงค์ของงานวิจัย
6. ทดลองตามที่ได้ออกแบบไว้
7. วิเคราะห์ผลการทดลอง
8. จัดทำเอกสารสรุปการวิจัย

#### 1.5 ข้อจำกัดของการวิจัย

1. เนื่องจากงานวิจัยนี้ศึกษาการจัดการครอสคัทติ้งคอนเซิร์นเฉพาะลักษณะเมทอดคอล โดยเกิดการซ้ำกันของเมทอดคอลภายในหลายคลาส ผลการทดลองที่ได้จึงอาจไม่สามารถอ้างอิงกับการจัดการครอสคัทติ้งคอนเซิร์นในลักษณะอื่นๆ เช่น ลักษณะกลุ่มของคำสั่ง (Statement) เป็นต้น
2. เนื่องจากงานวิจัยนี้ศึกษาการพัฒนาซอฟต์แวร์ด้วยการโปรแกรมเชิงแอสเป็กโดยใช้ภาษาแอสเป็กเจ ผลการทดลองที่ได้จึงไม่สามารถอ้างอิงกับการพัฒนาด้วยภาษาโปรแกรมเชิงแอสเป็กภาษาอื่น เพราะโครงสร้างภาษาอาจมีความซับซ้อนแตกต่างกัน ซึ่งอาจทำให้ผลคุณภาพซอฟต์แวร์ที่ได้แตกต่างกันออกไป
3. เนื่องจากข้อจำกัดของภาษาแอสเป็กเจ ทำให้ไม่สามารถจัดการเมทอดคอลที่ซ้ำกันภายในซอฟต์แวร์ทั้งหมดได้ เช่น เมทอดคอลที่อยู่ภายในคำสั่งเงื่อนไข (Conditional statement) เป็นต้น จำนวนซ้ำของเมทอดคอลที่เลือกจัดการด้วยแอสเป็กในงานวิจัยนี้จึงนับเฉพาะเมทอดคอลที่สามารถจัดการด้วยแอสเป็กได้เท่านั้น

#### 1.6 คำจำกัดความที่ใช้ในการวิจัย

1. คอนเซิร์น (Concern) หมายถึง ความต้องการ (Software Requirement) ที่สามารถตอบสนองต่อความต้องการของสเตคโฮลเดอร์ (Stakeholder) คอนเซิร์นสามารถประกอบด้วยหนึ่งความต้องการหรือหลายความต้องการที่สอดคล้องกัน (Hilliard, 2002; Laddad, 2003b; Sutton and Rouvellou, 2002)
2. ครอสคัทติ้งคอนเซิร์น (Crosscutting concern) หมายถึง คอนเซิร์นที่ไม่สามารถอิมพลีเมนต์ด้วยคลาสหรือเมทอดชัดเจนได้ การอิมพลีเมนต์ครอสคัทติ้งคอนเซิร์นจะทำให้เกิดโค้ดกระจายหรือโค้ดซ้ำกันอยู่ในหลายคลาส และทำให้มีโค้ดที่ตอบสนองต่อหลายคอนเซิร์นรวมอยู่ในคลาสเดียวกัน (Bhatti, 2008; Ceccato et al., 2006; Yuen, 2009)



3. โค้ดโคลน (Code clone) หมายถึง ส่วนของโค้ดที่เหมือนกันหรือคล้ายกันกับส่วนของโค้ดอื่นภายในซอร์สโค้ด ประเภทของโค้ดโคลนสามารถจำแนกได้เป็น (1) ความเหมือนกันของข้อความ (Textual Similarity) และ (2) ความเหมือนกันของฟังก์ชัน (Functional Similarity) โค้ดโคลนจะมีผลต่อคุณภาพซอฟต์แวร์ด้านความสามารถการบำรุงรักษา (Kamiya, Kusumoto and Inoue, 2002; Roy and Cordy, 2007)
4. การโปรแกรมเชิงแอสเป็ก (Aspect-oriented programming) หมายถึง การโปรแกรมที่ช่วยแก้ไขปัญหาโค้ดกระจายและโค้ดพันกัน โดยจัดการครอสคัทตั้งคอนเซิร์นด้วยการสร้างแอสเป็ก (Laukkanen, 2008)
5. แอสเป็กไมนิง (Aspect mining) หมายถึง กระบวนการสำหรับค้นหาครอสคัทตั้งคอนเซิร์นที่มีในซอร์สโค้ดของซอฟต์แวร์ เพื่อให้ได้ครอสคัทตั้งคอนเซิร์นที่เหมาะสมสำหรับจัดการเป็นแอสเป็ก (Vidal et al., 2009)
6. แอสเป็กรีแฟคทอริง (Aspect refactoring) หมายถึง กระบวนการสำหรับจัดการครอสคัทตั้งคอนเซิร์น โดยการจัดการโค้ดที่เกี่ยวข้องกับครอสคัทตั้งคอนเซิร์นให้เป็นแอสเป็กด้วยการใช้โครงสร้างภาษาของการโปรแกรมเชิงแอสเป็ก (Vidal et al., 2009)
7. คุณภาพซอฟต์แวร์ (Software quality) หมายถึง คุณลักษณะทั้งหมดของซอฟต์แวร์ที่สามารถตอบสนองต่อความพึงพอใจและความต้องการของผู้ใช้ หากนำคุณลักษณะต่างๆมารวมไว้ในซอฟต์แวร์จะช่วยเพิ่มสมรรถภาพของซอฟต์แวร์ให้มีอายุการใช้งานที่นาน (Lifetime performance) (Fitzpatrick, 1996; Panovski, 2008)
8. มาตรวัดซอฟต์แวร์ (Software metric) หมายถึง กลุ่มข้อกำหนดสำหรับอธิบายการวัด (Measurement) โดยค่าตัวเลขที่ได้จะบ่งชี้ถึงคุณลักษณะของซอฟต์แวร์ โดยสามารถพิจารณาผ่านแบบจำลองเพื่อคาดคะเนความต้องการทรัพยากรของซอฟต์แวร์และคุณภาพซอฟต์แวร์ (Fenton and Pfleeger, 1998)

## 1.7 ประโยชน์ที่คาดว่าจะได้รับ

1. เพื่อเป็นแนวทางในการพัฒนาซอฟต์แวร์ด้วยการโปรแกรมเชิงแอสเป็กจากการปรับปรุงซอร์สโค้ดด้วยกระบวนการแอสเป็กรีแฟคทอริง โดยพิจารณาจำนวนโค้ดโคลนที่เกิดขึ้นเนื่องจากการอิมพลิเมนต์ครอสคัทตั้งคอนเซิร์นและลักษณะโค้ดที่เหมาะสมต่อการจัดการด้วยแอสเป็ก โดยสามารถใช้ประโยชน์จากการโปรแกรมเชิงแอสเป็กและปรับปรุงคุณภาพซอฟต์แวร์ให้ดียิ่งขึ้น
2. ช่วยพัฒนาองค์ความรู้ที่เกี่ยวข้องกับการทำแอสเป็กรีแฟคทอริงสำหรับพัฒนาซอฟต์แวร์ด้วยการโปรแกรมเชิงแอสเป็ก

## บทที่ 2

### การทบทวนวรรณกรรม

#### 2.1 บทนำ

การนำเสนอวรรณกรรมในอดีตที่เกี่ยวข้องมีจุดประสงค์เพื่อรายงานความเป็นมา ความหมาย ทฤษฎี และงานวิจัยในอดีตสำหรับใช้เป็นแนวทางในการศึกษาเปรียบเทียบคุณภาพซอฟต์แวร์จากการทำแอสเปกทีฟแพคทอริงด้วยจำนวนโค้ดโคลนที่แตกต่างกัน ประกอบด้วยหัวข้อย่อย คือ (1) คอนเซิร์น (Concern) (2) การโปรแกรมเชิงแอสเปก (Aspect-Oriented Programming) (3) แอสเปกไมนิ่ง (Aspect Mining) (4) แอสเปกทีฟแพคทอริง (Aspect Refactoring) (5) คุณภาพซอฟต์แวร์ (Software Quality) และ (6) งานวิจัยที่เกี่ยวข้อง

#### 2.2 คอนเซิร์น (Concern)

ปัจจุบันหลายงานวิจัยได้ให้นิยามคำว่า คอนเซิร์น (Concern) ไว้หลากหลายดังนี้ Hilliard (2002) กล่าวว่าคอนเซิร์นเป็นสิ่งที่สนใจที่เกี่ยวข้องกับการพัฒนาซอฟต์แวร์ โดยการดำเนินงานหรือคุณลักษณะของสิ่งที่สนใจมีความสำคัญต่อสเตคโฮลเดอร์ (Stakeholder) Sutton และ Rouvellou (2002) กล่าวว่าคอนเซิร์นเป็นสิ่งที่สนใจในซอฟต์แวร์ สามารถกำหนดด้วยกลุ่มของความต้องการ (Requirement) ที่สอดคล้องกัน

Laddad (2003) กล่าวว่าคอนเซิร์นเป็นความต้องการ (Requirement) หรือสิ่งที่ควรพิจารณาเพื่อให้บรรลุเป้าหมายของซอฟต์แวร์

Kaur และ Johari (2009) กล่าวว่าคอนเซิร์นเป็นความต้องการเชิงฟังก์ชัน (Functional requirement) และความต้องการที่ไม่ใช่เชิงฟังก์ชัน (Non-functional requirement) ที่สามารถตอบสนองต่อความต้องการของสเตคโฮลเดอร์

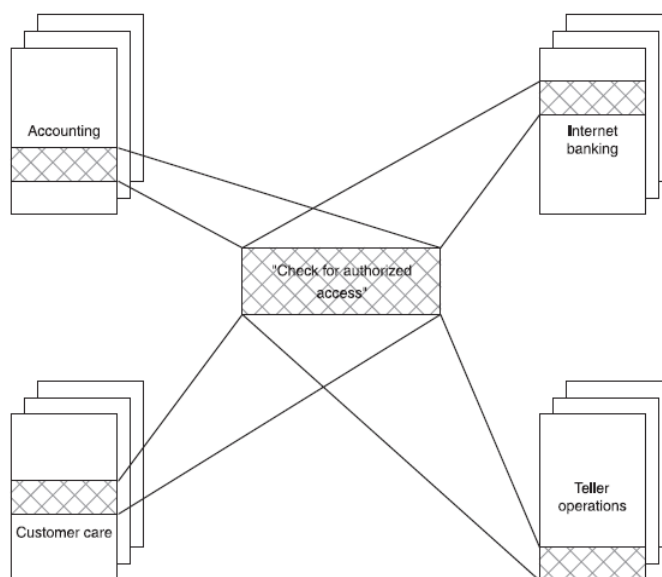
ดังนั้นงานวิจัยนี้จึงกำหนดนิยามของคำว่าคอนเซิร์น คือ ความต้องการ (Requirement) ที่สามารถตอบสนองต่อความต้องการของสเตคโฮลเดอร์ โดยคอนเซิร์นประกอบด้วยหนึ่งความต้องการหรือหลายความต้องการที่สอดคล้องกัน ความต้องการดังกล่าวสามารถแบ่งเป็นความต้องการเชิงฟังก์ชัน (Functional requirement) และความต้องการที่ไม่ใช่เชิงฟังก์ชัน (Non-functional requirement) (Hilliard, 2002; Kaur and Johari, 2009; Laddad, 2003b; Sutton and Rouvellou, 2002)

การพัฒนาซอฟต์แวร์ด้วยการโปรแกรมเชิงวัตถุ ทุกอ็อบเจกต์ (Object) หรือ แพคเกจ (Package) ของอ็อบเจกต์สามารถรองรับการทำงานเพื่อตอบสนองความต้องการเชิงฟังก์ชัน และเนื่องด้วยการพัฒนาซอฟต์แวร์ต้องตอบสนองต่อหลายความต้องการเชิงฟังก์ชัน ทำให้การอิมพลีเมนต์ (Implement) คอนเซิร์นประเภทหนึ่งไม่สามารถอิมพลีเมนต์ด้วยคลาสหรือเมทอดเดียวได้ ผลจากการอิมพลีเมนต์คอนเซิร์นทำให้เกิดปัญหาโค้ดกระจุกกระจายหรือเกิดโค้ดซ้ำกันอยู่ในหลายคลาส นอกจากนี้ทำให้คลาสหรือเมทอดที่รับผิดชอบการทำงานของคอนเซิร์นหลักมีคอนเซิร์นประเภทอื่น

รวมอยู่ด้วย เรียกคอนเซิร์นนประเภทนี้ว่า ครอสคัทตั้งคอนเซิร์น (Crosscutting concern) (Marin, Deursen and Moonen, 2007) การอิมพลีเมนต์ครอสคัทตั้งคอนเซิร์นจึงทำให้เกิดโค้ดกระจัดกระจาย (Code Scattering) และ โค้ดพันกัน (Code Tangling) (Laddad, 2003b) ดังนี้

(1) โค้ดกระจัดกระจาย (Code Scattering)

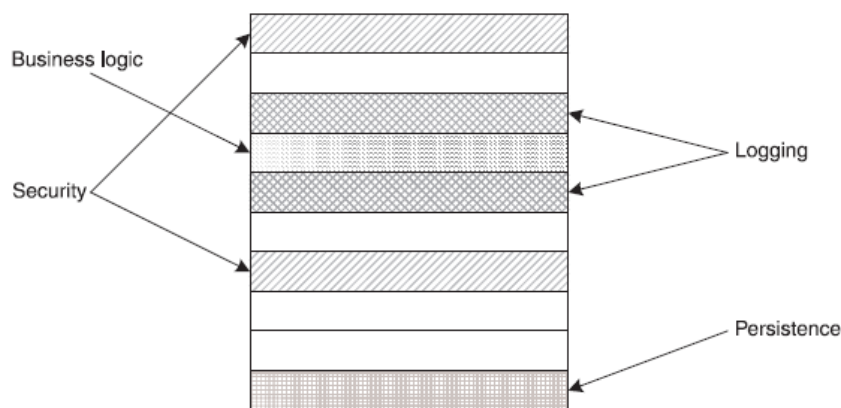
โค้ดกระจัดกระจายเกิดเมื่อส่วนของโค้ดที่เกี่ยวข้องกับครอสคัทตั้งคอนเซิร์นมีตำแหน่งทำงานซ้ำกันอยู่ในหลายคลาส จากรูปที่ 2.1 แสดงตัวอย่างซอฟต์แวร์ธนาคารและการอิมพลีเมนต์ครอสคัทตั้งคอนเซิร์น ได้แก่ การตรวจสอบสิทธิ์การเข้าใช้งานซอฟต์แวร์ (Authorization) เพื่อตรวจสอบสิทธิ์ผู้ใช้งานสำหรับการเข้าใช้บริการจากคลาสต่างๆ การอิมพลีเมนต์การตรวจสอบสิทธิ์การเข้าใช้งานทำให้เกิดโค้ดที่เกี่ยวข้องกระจัดกระจายอยู่ในหลายคลาส โดยเป็นคลาสที่เกี่ยวข้องกับคอนเซิร์นหลัก ดังนี้ การบัญชี (Accounting) การทำธุรกรรมทางการเงินผ่านอินเทอร์เน็ต (Internet banking) การบริการลูกค้าสัมพันธ์ (Customer care) และ การดำเนินการรับฝาก - ถอนเงิน (Teller operation)



รูปที่ 2.1 ลักษณะโค้ดกระจัดกระจายของครอสคัทตั้งคอนเซิร์น ของ Laddad (2003)

(2) โค้ดพันกัน (code tangling)

โค้ดพันกันเกิดเมื่อคลาสหนึ่งมีการทำงานของโค้ดที่เกี่ยวข้องกับหลายคอนเซิร์นรวมอยู่ภายในคลาสเดียวกัน จากรูปที่ 2.2 แสดงตัวอย่างของคลาสที่อิมพลีเมนต์หลายคอนเซิร์นรวมอยู่ภายในคลาสเดียว คอนเซิร์นที่อิมพลีเมนต์ ได้แก่ ตรรกะที่เกี่ยวข้องกับธุรกิจ (Business logic) การบันทึกล็อก (Logging) ความปลอดภัย (Security) และเพอร์ซิสเทนซ์ (Persistence)



รูปที่ 2.2 ลักษณะโค้ดพันกันของครอสคัทตั้งคอนเซิร์น ของ Laddad (2003)

ตัวอย่างของครอสคัทตั้งคอนเซิร์น (Ahuja and Goel, 2008) ได้แก่

(1) การบันทึกล็อก (Logging) เป็นการบันทึกรายละเอียดของการทำงานภายในซอฟต์แวร์ การบันทึกล็อกจึงมีเป้าหมายเพื่อสร้างความเข้าใจในพฤติกรรมของซอฟต์แวร์ ทดสอบซอฟต์แวร์ (Software testing) และการดีบั๊ก (Debugging) การบันทึกล็อกต้องแทรกคำสั่ง (Statement) เอาไว้หลายตำแหน่งในเมทอดของคลาสทำให้เกิดโค้ดซ้ำกันในหลายตำแหน่ง การบันทึกล็อกจึงเป็นครอสคัทตั้งคอนเซิร์น (Ahuja and Goel, 2008) ตัวอย่างการอิมพลิเมนต์การบันทึกล็อก ดังรูป 2.3 ภายในคลาส ShoppingCart ทั้งเมทอด addItem และ removeItem จะมีคำสั่งของการบันทึกล็อกแทรกอยู่ภายในเมทอด โดยการบันทึกล็อกจะไม่เกี่ยวข้องกับการทำงานฟังก์ชันหลักของเมทอด ดังนั้นส่งผลให้การบันทึกล็อกกระจัดกระจายหรือซ้ำกันในหลายเมทอดของคลาสและมีโค้ดที่ไม่ได้เกี่ยวข้องกับการทำงานฟังก์ชันหลักรวมอยู่ (Laddad, 2003b)

```
import java.util.*;
import java.util.logging.*;
public class ShoppingCart {
    static Logger logger = Logger.getLogger("trace");
    private List items = new Vector();
    public void addItem(Item item) {
        logger.log(Level.INFO,"ShoppingCart", "addItem", "Entering");
        items.add(item);
    }
    public void removeItem(Item item) {
        logger.log(Level.INFO,"ShoppingCart", "removeItem", "Entering");
        items.remove(item);
    }
}
```

รูปที่ 2.3 ตัวอย่างการบันทึกล็อกของคลาส ShoppingCart ของ Laddad (2003)

(2) การติดตาม (Tracing) เป็นการติดตามระหว่างที่ซอฟต์แวร์กระทำการเพื่อให้ทราบโลจิกคอลโฟลว์ (Logical flow) ของซอฟต์แวร์ โดยการติดตามส่งผลทำให้ทราบถึงปัญหาที่เกี่ยวข้องกับฟังก์ชันและปัญหาสมรรถภาพของซอฟต์แวร์ การติดตามจึงต้องพิมพ์คำสั่งทุกข้อความที่มีในทูลโปรแกรม (Component) ของซอฟต์แวร์ (Ahuja and Goel, 2008)

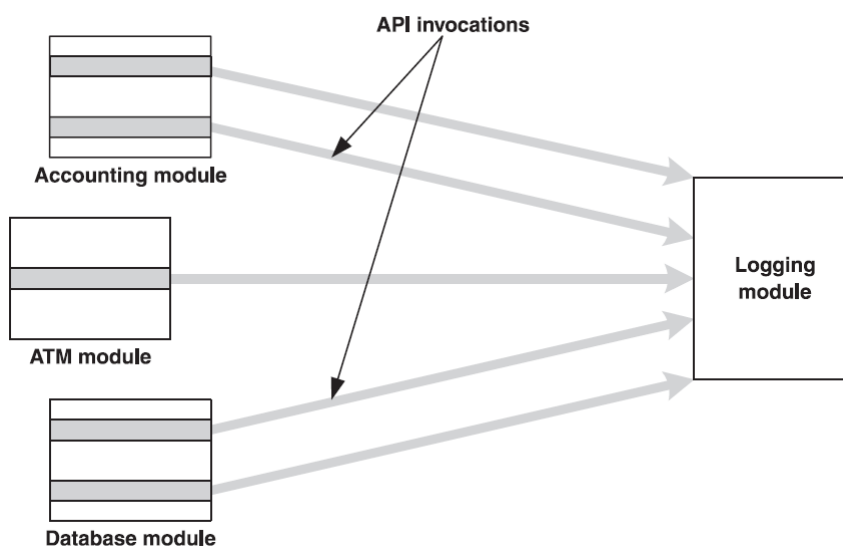
(3) การอนุญาตและการพิสูจน์ตัวตน (Authorization and Authentication) โดยการพิสูจน์ตัวตนเป็นกระบวนการที่ดำเนินการเพื่อตรวจสอบและพิสูจน์ว่าผู้ใช้สามารถเข้าถึงและใช้งานระบบได้ ดังนั้นการพิสูจน์ตัวตนจะดำเนินการก่อน ส่วนการอนุญาตเป็นกระบวนการที่ทำหลังจากผู้ใช้งานสามารถเข้าใช้งานระบบได้ โดยการอนุญาตจะเป็นกระบวนการที่ควบคุมบทบาทของผู้ใช้งานว่าฟังก์ชันไหนของระบบที่ผู้ใช้งานสามารถเข้าถึงและใช้งานได้ (Ahuja and Goel, 2008)

(4) การตรวจหาและการจัดการข้อยกเว้น (Exception Detection and Handling) โดยข้อยกเว้น (Exception) เป็นพฤติกรรมของซอฟต์แวร์ที่บ่งบอกว่าโอเปอเรชันไม่สามารถดำเนินการได้สำเร็จลุล่วง สามารถกำหนดด้วยการจัดการข้อยกเว้นว่าจะกู้คืนการดำเนินการโอเปอเรชันใหม่หรือเลือกที่จะไม่สนใจข้อยกเว้นดังกล่าว ดังนั้นโค้ดที่ใช้สำหรับการตรวจหาและการจัดการข้อยกเว้นจึงรวมอยู่กับโค้ดฟังก์ชันการทำงานหลัก (Ahuja and Goel, 2008)

(5) แคชซิง (Caching) เป็นการเก็บข้อมูลที่มีการเข้าถึงบ่อยครั้งในหน่วยความจำ เพื่อลดจำนวนครั้งของการเรียกใช้งานข้อมูลจากดาต้าเบสโดยตรงและทำให้สมรรถภาพของซอฟต์แวร์ปรับปรุงดีขึ้น (Ahuja and Goel, 2008)

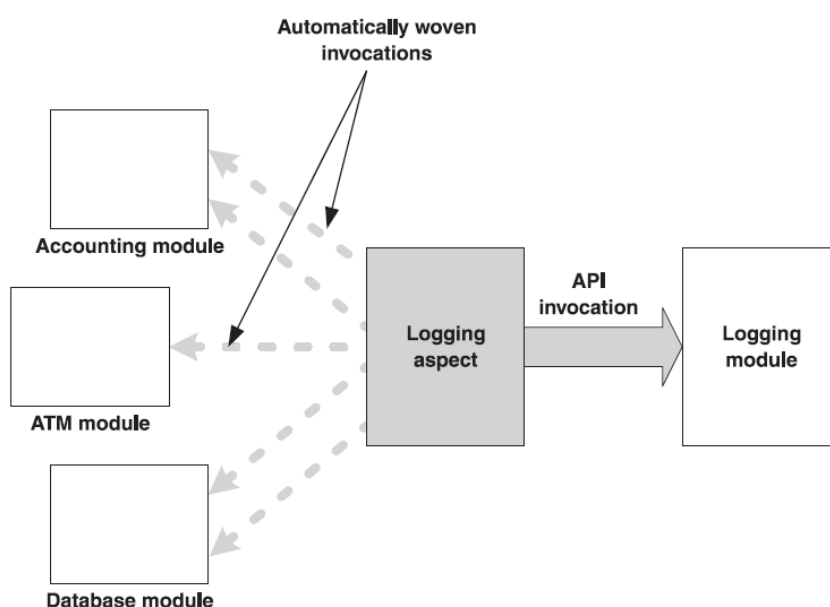
### 2.3 การโปรแกรมเชิงแอสเป็ก (Aspect-Oriented Programming)

การอิมพลีเมนต์บางฟังก์ชันด้วยการโปรแกรมเชิงวัตถุส่งผลให้เกิดปัญหาโค้ดกระจัดกระจาย (Code scattering) ตัวอย่างดังรูปที่ 2.4 การอิมพลีเมนต์ฟังก์ชันการบันทึกล็อกภายในคลาสต่างๆ ด้วยการกำหนดเมธอดคอลสำหรับเรียกใช้งานฟังก์ชันการบันทึกล็อก จึงทำให้เกิดเมธอดคอลซ้ำๆกันที่เรียกใช้งานฟังก์ชันการบันทึกล็อกอยู่ภายในเมธอดของคลาสต่างๆ (Laddad, 2003b)



รูปที่ 2.4 การอิมพลีเมนต์การบันทึกล็อกด้วยเมธอดคอลของ Laddad (2003)

Kiczales และคณะ (1997) นำเสนอการโปรแกรมเชิงแอสเป็กสำหรับช่วยแก้ไขข้อบกพร่องที่กระจาย โดยจัดการครอสคัทตั้งคอนเซิร์นด้วยการสร้างยูนิตใหม่ที่แยกออกมาจากคลาสเรียกว่าแอสเป็ก (Aspect) (Laukkanen, 2008) จากปัญหาดังรูปที่ 2.4 ข้างต้น สามารถนำการโปรแกรมเชิงแอสเป็กเข้ามาช่วยอิมพลีเมนต์การบันทึกล็อกด้วยการสร้างแอสเป็ก และกำหนดตำแหน่งการทำงานของซอฟต์แวร์ที่ต้องการให้ดำเนินการบันทึกล็อก เช่น เมื่อทุกเมทอดทำงาน (Execute method) จะกำหนดให้ตำแหน่งดังกล่าวเกิดการบันทึกล็อก เป็นต้น โดยภายในแอสเป็กจะเป็นผู้รับผิดชอบในการเรียกใช้งานฟังก์ชันการบันทึกล็อกแทน ทำให้ช่วยลดปัญหาเมทอดคอลที่ซ้ำกันภายในคลาสต่างๆ และทำให้การขึ้นต่อกันระหว่างคลาสฟังก์ชันหลักและคลาสบันทึกล็อกลดลง ดังรูปที่ 2.5

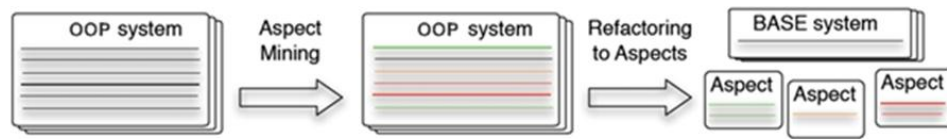


รูปที่ 2.5 การอิมพลีเมนต์การบันทึกล็อกด้วยแอสเป็ก ของ Laddad (2003)

การนำการโปรแกรมเชิงแอสเป็กมาประยุกต์ใช้กับซอฟต์แวร์เดิมที่พัฒนาด้วยการโปรแกรมเชิงวัตถุด้วยหลักการรีเ็นจิเนียริง (Reengineering) ประกอบด้วย 2 ขั้นตอนตามลำดับ (Ceccato et al., 2006) ดังรูปที่ 2.6

(1) แอสเป็กไมนิง (Aspect mining) เป็นกระบวนการสำหรับค้นหาครอสคัทตั้งคอนเซิร์นที่มีในซอฟต์แวร์ เพื่อให้ได้ครอสคัทตั้งคอนเซิร์นที่เหมาะสมสำหรับจัดการเป็นแอสเป็ก (Vidal et al., 2009)

(2) แอสเป็กรีแฟคทอริง (Aspect refactoring) เป็นกระบวนการสำหรับจัดการครอสคัทตั้งคอนเซิร์น โดยจัดการโค้ดที่เกี่ยวข้องกับครอสคัทตั้งคอนเซิร์นด้วยการใช้แอสเป็ก โครงสร้างภาษาของการโปรแกรมเชิงแอสเป็ก ได้แก่ แอสเป็ก (Aspect) จอยน์พอยท์ (Join point) พอยท์คัท (Pointcut) แอดไวซ์ (Advice) และอินโทรดักชัน (Introduction) (Vidal et al., 2009)



รูปที่ 2.6 การปรับปรุงซอฟต์แวร์ด้วยการโปรแกรมเชิงแอสเป็ก  
ดัดแปลงจากงานวิจัยของ Kellens, Mens, และ Tonella (2007)

แอสเป็กเจ (AspectJ) เป็นภาษาโปรแกรมเชิงแอสเป็กภาษาแรกและเป็นที่ยอมรับ โดยเป็นภาษาที่พัฒนาขยายมาจากภาษาจาวาจึงสามารถนำมาใช้พัฒนาร่วมกับซอฟต์แวร์ที่พัฒนาด้วยภาษาจาวาได้ (Kiczales et al., 2001) อีคลิปส์-เอเจดีที (Eclipse-AJDT) เป็นเครื่องมือที่รองรับสำหรับการโปรแกรมด้วยภาษาแอสเป็กเจ สามารถระบุกฎสำหรับการวิฟวิง (Weaving rule) เป็นการระบุตำแหน่งการทำงานของซอฟต์แวร์ที่ต้องการให้โค้ดที่เกี่ยวข้องกับครอสคัตต์ตั้งคอนเซิร์นทำงานสามารถกำหนดด้วยการใช้โครงสร้างต่างๆ ดังนี้

(1) แอสเป็ก (Aspect) เป็นยูนิตจำเพาะ (Modularization unit) สำหรับอิมพลีเมนต์ครอสคัตต์ตั้งคอนเซิร์น โดยภายในแอสเป็กมีโค้ดระบุกฎวิฟวิงสำหรับทั้งครอสคัตต์แบบไดนามิก (Dynamic) และสแตติก (Static) ครอสคัตต์แบบไดนามิกเป็นการระบุพฤติกรรมใหม่ที่เพิ่มเข้ามาหรือแทนที่การดำเนินการของซอฟต์แวร์ ส่วนครอสคัตต์แบบสแตติกไม่กระทบพฤติกรรมของซอฟต์แวร์ แต่เป็นการปรับเปลี่ยนโครงสร้างของซอฟต์แวร์ เช่น การเพิ่มแอตทริบิวต์หรือเมธอดให้กับคลาส เป็นต้น ภายในแอสเป็กจะมีพอยท์คัท แอดไวซ์ อินโทรดักชัน และการประกาศตัวแปร แอสเป็กจึงมีลักษณะคล้ายกับคลาสของการโปรแกรมเชิงวัตถุ (Laddad, 2003b)

(2) จอยน์พอยท์ (Join point) คือตำแหน่งใดๆที่อยู่ในการดำเนินการของซอฟต์แวร์ เป็นตำแหน่งที่ระบุเพื่อให้แอสเป็กเข้าไปขัดขวางการทำงานของซอฟต์แวร์ และทำงานตามโค้ดที่กำหนดภายในแอสเป็กแทน ตัวอย่างจอยน์พอยท์ เช่น การเรียกใช้งานเมธอด การดำเนินการเมธอด และการกำหนดค่าแอตทริบิวต์ เป็นต้น (Laddad, 2003b)

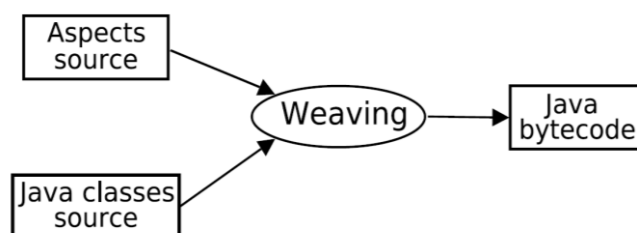
(3) พอยท์คัท (Pointcut) เป็นโครงสร้างสำหรับนำจอยน์พอยท์หรือกลุ่มของจอยน์พอยท์มาใช้โดยกำหนดและสร้างไว้ภายในแอสเป็ก อีกทั้งภายในพอยท์คัทสามารถเก็บค่าในตำแหน่งจอยน์พอยท์ที่ระบุเพื่อนำค่าดังกล่าวมาใช้ในแอดไวซ์ พอยท์คัทสามารถจำแนกได้ดังนี้ พอยท์คัทสำหรับเมธอด พอยท์คัทสำหรับแอตทริบิวต์หรือฟิลด์ พอยท์คัทสำหรับการจัดการข้อยกเว้น พอยท์คัทสำหรับคอนโทรลโฟลว์ (Cavallaro and Miraz, 2010; Laddad, 2003b)

(4) แอดไวซ์ (Advice) แอดไวซ์จะมีลักษณะคล้ายเมธอดของการโปรแกรมเชิงวัตถุ เป็นส่วนสำหรับระบุโค้ดที่ต้องการให้ทำงานเมื่อซอฟต์แวร์ดำเนินการมาถึงจอยน์พอยท์ที่กำหนดไว้ด้วยพอยท์คัท โดยโค้ดดังกล่าวอาจเป็นส่วนที่เพิ่มหรือแทนที่การดำเนินการของซอฟต์แวร์ สามารถกำหนดด้วยประเภทของแอดไวซ์ ดังนี้ แอดไวซ์ประเภทปีฟอร์ (Before) สำหรับกำหนดให้โค้ดภายในแอดไวซ์ทำงานก่อนพอยท์คัทที่กำหนด แอดไวซ์ประเภทอาฟเตอร์ (After) สำหรับกำหนดให้โค้ด

ภายในแอตไวซ์ทำงานหลังพอยท์คัทที่กำหนด และแอตไวซ์ประเภทอะราวด์ (Around) สำหรับกำหนดให้โค้ดภายในแอตไวซ์ทำงานแทนที่พอยท์คัทที่กำหนด (Laddad, 2003b)

(5) อินโทรดัคชัน (Introduction) หรือ การประกาศอินเตอร์-ไทป์ (Inter-type declarations) เป็นคำสั่งสำหรับครอสคัทตั้งแบบสแตติก (Static crosscutting) โดยคำสั่งจะปรับเปลี่ยนคลาส อินเตอร์เฟส และแอสเป็กภายในซอร์สโค้ด การปรับเปลี่ยนจะไม่กระทบพฤติกรรมของซอฟต์แวร์ เช่น การแก้ไขลำดับชั้นคลาส การเพิ่มแอตทริบิวต์หรือฟิลด์ใหม่ให้กับคลาส การเพิ่มเมทอดใหม่ให้กับคลาส เป็นต้น (Cavallaro and Miraz, 2010; Laddad, 2003b)

แอสเป็กจะสามารถจัดการครอสคัทตั้งคอนเซิร์นด้วยการสร้างแอสเป็ก เริ่มต้นโดยการนำโค้ดที่เกี่ยวข้องกับครอสคัทตั้งคอนเซิร์นออกจากตำแหน่งเดิมภายในคลาส และระบุจอยน์พอยท์ด้วยการสร้างพอยท์คัทเพื่อกำหนดไปยังตำแหน่งจอยน์พอยท์ และนำโค้ดที่เกี่ยวข้องกับครอสคัทตั้งคอนเซิร์นมาไว้ในแอตไวซ์ของแอสเป็ก ทั้งคลาสและแอสเป็กที่สร้างจะถูกคอมไพล์เป็นจาวาไบต์โค้ด (Java bytecode) ด้วยแอสเป็กเจคอมไพเลอร์ (AspectJ compiler) โดยภายในไบต์โค้ด โค้ดที่อยู่ภายในแอตไวซ์ของแอสเป็กจะถูกนำเข้าไปแทรกตามตำแหน่งที่ระบุไว้ด้วยพอยท์คัท กระบวนการดังกล่าวจะเรียกว่าวีฟวิง (Weaving) โดยจะมีแอสเป็กวีฟเวอร์ (Aspect Weaver) เป็นตัวรวมการทำงานระหว่างคลาสและแอสเป็ก ดังรูปที่ 2.7 (Cavallaro and Miraz, 2010; Filman et al., 2005)



รูปที่ 2.7 กระบวนการวีฟวิง ของ Cavallaro และ Miraz (2010)

นอกจากนี้ยังมีภาษาโปรแกรมเชิงแอสเป็กสำหรับนำมาพัฒนาร่วมกับภาษาโปรแกรมอื่นๆ ได้แก่ แอสเป็กซี (AspectC) แอสเป็กซี++ (AspectC++) แอสเป็กเอส (AspectS) แจสโค (JasCo) และไฮเปอร์เจ (HyperJ) เป็นต้น (Singh and Gill, 2012) นอกจากนี้ภาษาโปรแกรมเชิงแอสเป็กยังมีการนำเสนอกรอบแนวคิด (Framework) สำหรับพัฒนาด้วยการโปรแกรมเชิงแอสเป็กมากมาย ได้แก่ เจเอซี (JAC) เจบอสเอโอพี (JBoss AOP) สปริง (Spring) และแอสเป็กเวิร์คซ์ (AspectWerkz) เป็นต้น (Pawlak, Seinturier and Retailié, 2005)

## 2.4 แอสเป็กไมนิง (Aspect Mining)

แอสเป็กไมนิง (Aspect Mining) เป็นกระบวนการสำหรับค้นหาครอสคัทตั้งคอนเซิร์นภายในซอร์สโค้ดของซอฟต์แวร์ เพื่อให้ได้ครอสคัทตั้งคอนเซิร์นที่สามารถจัดการด้วยแอสเป็ก (Vidal et al., 2009) และเนื่องจากการค้นหาครอสคัทตั้งคอนเซิร์นด้วยตนเองค่อนข้างยากเพราะปัจจุบันซอฟต์แวร์มีขนาดใหญ่และมีความซับซ้อน ประกอบกับต้องมีความรู้เกี่ยวกับฟังก์ชันการทำงานของซอฟต์แวร์ จึงทำให้การค้นหาภายในซอร์สโค้ดด้วยตนเองอาจเกิดแนวโน้มความผิดพลาด (error-



prone) ดังนั้นจึงมีหลายงานวิจัยนำเสนอเทคนิคหรือเครื่องมือสำหรับช่วยค้นหาครอสส์ที่ตึงคอนเซิร์นที่มีในซอฟต์แวร์ (Bhatti, 2008)

ช่วงต้นของแอสเป็กไมน์นิ่งส่วนใหญ่เป็นแนวคิดของการพัฒนาเครื่องมือสำหรับช่วยผู้พัฒนาค้นหา (Browsing) และนำทาง (Navigating) ภายในซอร์สโค้ดเพื่อวิเคราะห์หาครอสส์ที่ตึงคอนเซิร์น โดยบางเครื่องมือเป็นการวิเคราะห์คำศัพท์ (Lexical analysis) และบางเครื่องมือใช้แนวคิดการค้นหาอิงรูปแบบ (Type-based search) ตัวอย่างของเครื่องมือ ได้แก่ แอสเป็กเบราร์เซอร์ (Aspect Browser) (Griswold, Kato and Yuan, 1999) แอสเป็กไมน์นิ่งทูล (Aspect Mining Tool – AMT) (Hannemann and Kiczales, 2001) และคอนเซิร์นกราฟ (Concern graphs) (Robillard and Murphy, 2002) เป็นต้น

ต่อมาจึงมีหลายงานวิจัยพยายามพัฒนาแนวคิดแอสเป็กไมน์นิ่งให้มีความอัตโนมัติมากขึ้น สำหรับการวิเคราะห์ซอร์สโค้ดและค้นหาครอสส์ที่ตึงคอนเซิร์น โดยนำเสนอเทคนิคแอสเป็กไมน์นิ่งต่างๆ (Kellens, Mens and Tonella, 2007) ดังนี้

Breu และ Krinke (2004) นำเสนอเทคนิคเอ็กซีคิวชันแพทเทิร์น (Execution patterns) สำหรับค้นหาครอสส์ที่ตึงคอนเซิร์นโดยวิเคราะห์จากลำดับของเหตุการณ์ (Event trace) ที่สามารถแสดงถึงพฤติกรรมของซอฟต์แวร์ และความสัมพันธ์ระหว่างการดำเนินการ (Execution relation) ที่เกิดจากการเรียกใช้งานเมทอด จากการพิจารณาความสัมพันธ์ระหว่างการดำเนินการจะสามารถค้นหาแบบของการเรียกใช้งานเมทอดที่เกิดขึ้นซ้ำกันได้

Tonella และ Ceccato (2004) นำเสนอเทคนิคไดนามิกอะนาไลซิส (Dynamic analysis) พิจารณาครอสส์ที่ตึงคอนเซิร์นโดยพิจารณาจากลำดับการดำเนินงาน (Execution trace) ที่สร้างขึ้นมาจากการรันซอฟต์แวร์ ทำให้ทราบลำดับของเมทอดที่ทำงาน ต่อมาจึงวิเคราะห์ลำดับการทำงานของเมทอดด้วยการวิเคราะห์แบบฟอร์มอลคอนเซ็ปต์ (Formal concept analysis) ผลลัพธ์ที่ได้ทำให้สามารถนำมาใช้พิจารณาเมทอดที่เป็นครอสส์ที่ตึงคอนเซิร์น

Tourwe และ Mens (2004) นำเสนอเทคนิคไอดีเอ็นทีไฟเออร์อะนาไลซิส (Identifier analysis) โดยนำการวิเคราะห์แบบฟอร์มอลคอนเซ็ปต์ (Formal concept analysis) มาพิจารณา กฎเกณฑ์การตั้งชื่อของคลาสและเมทอด กำหนดให้คลาสและเมทอดเป็นอ็อบเจกต์ (Object) และค่าที่ติดตามจากชื่อคลาสและเมทอดเป็นแอตทริบิวต์ (Attribute) เช่น อ็อบเจกต์ คือคลาส QuotedCodeConstant แอตทริบิวต์คือ 'Quoted' 'Code' และ 'Constant' กลุ่มของคลาสหรือเมทอดที่ใช้แอตทริบิวต์ร่วมกันมากที่สุดจะพิจารณาเป็นครอสส์ที่ตึงคอนเซิร์น

Shepherd และ Pollock (2005) และ He และ Bai (2005) นำเสนอการค้นหาครอสส์ที่ตึงคอนเซิร์นด้วยเทคนิคคลัสเตอร์ริง (Clustering) เริ่มต้นจากการกำหนดให้แต่ละเมทอดอยู่ในคลัสเตอร์ที่แตกต่างกัน จากนั้นคลัสเตอร์ที่มีความเหมือนกันโดยพิจารณาจากค่าระยะห่าง (distance) หากค่าระยะห่างระหว่างคลัสเตอร์น้อย คลัสเตอร์จะถูกรวมกันเป็นคลัสเตอร์ใหม่ Shepherd และ Pollock (2005) ใช้คำนวณค่าระยะห่างจากการตัดคำของชื่อเมทอดและพิจารณาคำที่ชื่อเมทอดใช้ร่วมกัน ส่วน He และ Bai (2005) พิจารณาค่าระยะห่างจากความสัมพันธ์สเตติกไดเรกอินโวลูชัน (Static Direct Invocation Relationship - SDIR) โดยค่าระยะห่างสามารถแสดงความสัมพันธ์ระหว่าง

เมทอด หากมีค่าระยะห่างน้อยแสดงว่าเมทอดถูกเรียกใช้งานด้วยกันบ่อยครั้ง แต่หากค่าระยะห่างสูงแสดงว่าเมทอดไม่ค่อยถูกเรียกใช้งานร่วมกัน

Shepherd และคณะ (2004) และ Bruntink และคณะ (2004) นำเสนอเทคนิคสำหรับค้นหาครอสคัทตั้งคอนเซิร์น โดยใช้การค้นหาโคลน (Clone) Shepherd และคณะ (2004) จะใช้การค้นหาโคลนแบบพีดีจี (PDG) พิจารณาจากกราฟการขึ้นต่อกันของโปรแกรม (Program dependency graph – PDG) ภายในกราฟจะแทนแต่ละคำสั่ง (Statement) ด้วยโหนด และแทนความสัมพันธ์ของการขึ้นต่อกันระหว่างคำสั่งด้วยเส้นเชื่อมระหว่างโหนด Bruntink และคณะ (2004) จะใช้การค้นหาโคลนแบบเอเอสที (AST) โดยแสดงซอร์สโค้ดในรูปแบบแอบสเตรคชันแทกซ์ทรี (Abstract syntax tree - AST) จากนั้นค้นหาครอสคัทตั้งคอนเซิร์นภายในแอบสเตรคชันแทกซ์ทรีจากซัพทรีที่มีความเหมือนกัน

Marin, Deursen และ Moonen (2007) นำเสนอเทคนิคแฟน-อินอะนาไลซิส (Fan-in analysis) เป็นเทคนิคสำหรับค้นหาครอสคัทตั้งคอนเซิร์นโดยพิจารณาจากปัญหาโค้ดกระจายโดยประเมินจากจำนวนการเรียกใช้งานเมทอดซึ่งอิมพลีเมนต์ฟังก์ชันที่เกี่ยวข้องกับครอสคัทตั้งคอนเซิร์น ดังนั้นค่าแฟน-อินเมตริก (fan-in metric) จึงเป็นค่าที่แสดงจำนวนการถูกเรียกใช้งานของเมทอด โดยการเรียกใช้งานมาจากคลาสอื่นๆภายในซอร์สโค้ดของซอฟต์แวร์ ค่าแฟน-อินเมตริกจึงใช้เป็นตัวชี้วัดสำหรับปัญหาโค้ดกระจาย หากค่าแฟน-อินเมตริกมีค่าสูงสามารถพิจารณาว่าเกิดปัญหาโค้ดกระจายและโค้ดดังกล่าวเป็นครอสคัทตั้งคอนเซิร์น กล่าวคือมีฟังก์ชันเหมือนกันกระจายซ้ำกันอยู่ในหลายคลาส ดังนั้นค่าแฟน-อินที่สูงจึงสามารถจัดการด้วยแอสเป็ก ตัวอย่างคอนเซิร์นประเภทนี้ ได้แก่ การบันทึกล็อก (Logging) การติดตาม (Tracing) การตรวจสอบเงื่อนไขก่อนหรือหลัง (Pre- and post- condition check) และการจัดการข้อยกเว้น (Exception handling) เป็นต้น เทคนิคแฟน-อินอะนาไลซิสประกอบด้วย 3 ขั้นตอน (Marin et al., 2007) ดังนี้

#### 1. การคำนวณค่าแฟน-อินของเมทอดทั้งหมด

การคำนวณค่าแฟน-อินของแต่ละเมทอดพิจารณาจากจำนวนการเรียกใช้งานเมทอดดังกล่าว โดยค่าแฟน-อินจะพิจารณาเมทอดที่เป็นพอลิมอร์ฟิก (Polymorphic) ด้วย ดังนั้นการพิจารณาค่าแฟน-อิน หากมีการเรียกใช้งานเมทอด M จากหลายคลาสที่แตกต่างกัน จะพิจารณาค่าแฟน-อินจากตำแหน่งทั้งหมดที่เรียกใช้งานเมทอด M และกรณีที่มีเมทอด M เป็นแอบสเตรคเมทอด (Abstract Method) ที่ถูกเรียกใช้งานจากคลาส A และคลาส C สามารถพิจารณาค่าแฟน-อินของเมทอด M มีค่าเท่ากับ 2

#### 2. การคัดกรองผลลัพธ์เมทอด

เมื่อคำนวณค่าแฟน-อินของเมทอดทั้งหมดเรียบร้อยแล้ว ขั้นตอนนี้เป็นการคัดกรองผลลัพธ์เมทอดบางส่วนออกไปเพื่อให้ได้เมทอดที่เหมาะสมสำหรับเป็นครอสคัทตั้งคอนเซิร์น โดยพิจารณาจาก (1) เมทอดที่มีค่าแฟน-อินสูงกว่าค่าเธรโซลด์ (Threshold) โดย Marin, Deursen และ Moonen (2007) แนะนำว่าส่วนใหญ่จะกำหนดค่าเธรโซลด์เท่ากับ 10 (2) เมทอดที่เกี่ยวข้องกับการเข้าถึงแอตทริบิวต์ของคลาส ได้แก่ เมทอดประเภทเกตเตอร์ (Getter) และเซตเตอร์ (Setter) จะไม่พิจารณาเป็นครอสคัทตั้งคอนเซิร์น (3) เมทอดที่เกี่ยวข้องกับยูทิลิตี้ (Utility) เช่น เมทอด toString() จะไม่พิจารณาเป็นครอสคัทตั้งคอนเซิร์นเช่นกัน

### 3. การวิเคราะห์ผลลัพธ์เมทอด

การพิจารณาผลลัพธ์เมทอดทั้งหมดเพื่อเลือกครอสคัทตั้งคอนเซิร์นที่เหมาะสม โดยพิจารณาเมทอดที่มีค่าแฟน-อินสูง และพิจารณาดำเน่งการเรียกใช้งานเมทอดดังกล่าวจากคลาสต่างๆเพื่อให้สามารถจัดการด้วยพอยท์คัทของภาษาแอสเป็กเจ็ทได้ เช่น ตำแหน่งการเรียกใช้งานของเมทอดมักเกิดขึ้นในตอนต้นหรือตอนท้ายของเมทอด และตำแหน่งการเรียกใช้งานเมทอดเกิดขึ้นภายในหลายๆเมทอดที่มีชื่อเมทอดคล้ายกัน เป็นต้น

นอกจากนี้ Marin, Deursen และ Moonen (2007) ยังได้พัฒนาเครื่องมือชื่อเอฟไอเอ็นที (FINT) สำหรับรองรับการใช้เทคนิคแฟน-อินอะนาไลซิสเพื่อค้นหาครอสคัทตั้งคอนเซิร์นด้วยเครื่องมือดังกล่าวสามารถนำมาใช้งานร่วมกับโปรแกรมอีคลิปลส์ (Eclipse) โดยเครื่องมือเอฟไอเอ็นทีพิจารณาจากซอร์สโค้ด (Source code) ของโปรเจก (Project) แพคเกจ (Package) และคลาส (Class) โดยพิจารณาและคำนวณค่าแฟน-อินของแต่ละเมทอดอัตโนมัติ พร้อมทั้งแสดงผลรัยรายชื่อของเมทอดที่ถูกเรียกใช้งานจากคลาสต่างๆ

## 2.5 แอสเป็กรีแฟคทอริง (Aspect Refactoring)

รีแฟคทอริง (Refactoring) เป็นกระบวนการหรือกลุ่มเทคนิคสำหรับจัดเรียงโค้ดใหม่โดยยังคงพฤติกรรมเดิมของซอฟต์แวร์เอาไว้ (Laddad, 2003a)

แอสเป็กรีแฟคทอริง (Aspect refactoring) หรือรีแฟคทอริงเชิงแอสเป็ก (Aspect-oriented refactoring) สามารถแบ่งออกเป็น 3 ประเภทใหญ่ๆ (Almasri and Albayouk, 2006) ได้แก่

(1) Refactoring to aspects (OO -> AO) เป็นการปรับปรุงโค้ดที่พัฒนาด้วยการโปรแกรมเชิงวัตถุด้วยการใช้โครงสร้างของแอสเป็กเข้ามาปรับปรุง โดยการนำโค้ดที่เกี่ยวข้องกับครอสคัทตั้งคอนเซิร์นมาไว้ในแอสเป็ก

(2) AO -> AO Refactorings เป็นการปรับปรุงโครงสร้างภายในของแอสเป็ก

(3) Aspect-aware Refactorings เป็นการปรับปรุงแอสเป็กให้ยังคงพฤติกรรมเดิมของซอฟต์แวร์และทำงานได้อย่างถูกต้อง เมื่อมีการรีแฟคทอริงส่วนของโค้ดที่พัฒนาด้วยการโปรแกรมเชิงวัตถุ

สำหรับงานวิจัยนี้เลือกกล่าวถึงแอสเป็กรีแฟคทอริงประเภท Refactoring to aspects (OO -> AO) เพียงอย่างเดียว แอสเป็กรีแฟคทอริงในงานวิจัยนี้จึงเป็นกระบวนการสำหรับช่วยจัดเรียงโค้ดโดยจัดการครอสคัทตั้งคอนเซิร์นด้วยการใช้แอสเป็ก ส่งผลทำให้ซอฟต์แวร์ง่ายต่อการทำความเข้าใจและบำรุงรักษาซอฟต์แวร์ รวมถึงแก้ไขปัญหาคัดกระจายและโค้ดพันกันได้ (Laddad, 2003b; Vidal et al., 2009) การทำแอสเป็กรีแฟคทอริงในงานวิจัยในอดีตนำเสนอเทคนิคต่างๆเอาไว้ดังนี้

Laddad (2003) นำเสนอเทคนิคแอสเป็กรีแฟคทอริงที่สามารถนำมาใช้จัดการครอสคัทตั้งคอนเซิร์น โดยมีเทคนิคหลายรูปแบบ ได้แก่

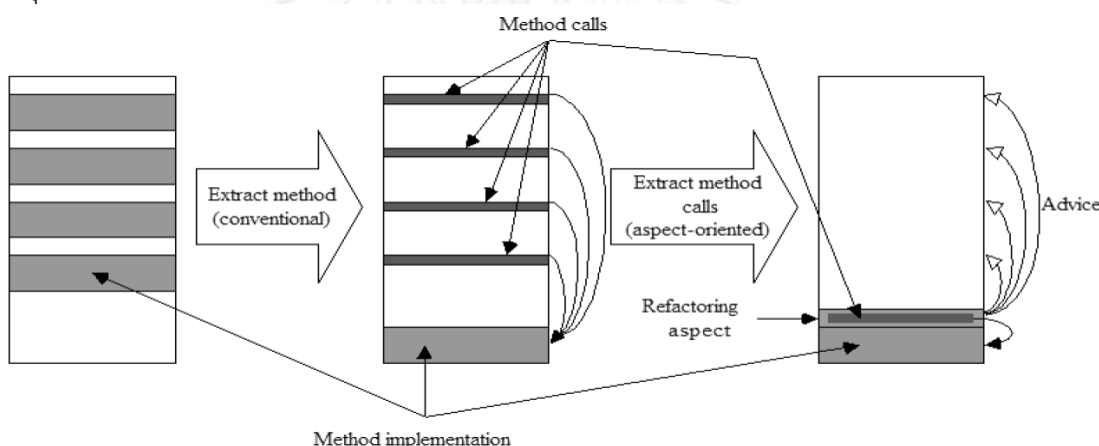
- (1) เทคนิคเอ็กซ์แทรคเมทอดคอล (Extract method call)
- (2) เทคนิคเอ็กซ์แทรคเอ็กซ์เซ็พชั่นแฮนเดิ้ลลิ่ง (Extract exception handling)
- (3) เทคนิคเอ็กซ์แทรคคอนเคอร์เรนซีคอนโทรล (Extract concurrency control)

- (4) เทคนิคเอ็กซ์แทรคเวิร์คเกอร์อ็อบเจกต์ครีเอชัน (Extract worker object creation)
- (5) เทคนิครีเพลสอาร์กิวเมนต์ทริกเกิลบายวอร์มโฮล (Replace argument trickle by wormhole)
- (6) เทคนิคเอ็กซ์แทรคอินเตอร์เฟสอิมพลีเมนเทชัน (Extract interface implementation)
- (7) เทคนิครีเพลสโอเวอร์ไรด์วิทแอดไวซ์ (Replace override with advice)
- (8) เทคนิคเอ็กซ์แทรคเลซีอินิเชียไลเซชัน (Extract Lazy initialization)
- (9) เทคนิคเอ็กซ์แทรคคอนแทรคเอนฟอร์สเมนต์ (Extract contract enforcement)

ในที่นี้จะขอกล่าวถึงเทคนิคแอสเป็กต์ออริจิง 5 เทคนิคที่สำคัญดังนี้

- (1) เทคนิคเอ็กซ์แทรคเมธอดคอล (Extract method call)

เทคนิคนี้สามารถนำมาใช้เพิ่มเติมจากการรีแฟคทอริ่งเดิมของการโปรแกรมเชิงวัตถุ ได้แก่ เอ็กซ์แทรคเมธอด (Extract Method) โดยเอ็กซ์แทรคเมธอดเป็นการดึงส่วนของโค้ดที่ซ้ำกันหลายที่ออกมาไว้ในเมธอดและแทนที่ส่วนของโค้ดเดิมด้วยเมธอดคอล การใช้เทคนิคเอ็กซ์แทรคเมธอดคอลของการทำแอสเป็กต์ออริจิงเป็นส่วนเพิ่มเติมดังรูปที่ 2.8 โดยในรูปทางขวาสุดหลังจากการทำแอสเป็กต์ออริจิง เมธอดคอลที่ซ้ำกันถูกนำออกมาไว้ในแอดไวซ์ของแอสเป็กต์ และกำหนดให้พอยท์คัทระบุตำแหน่งไปยังตำแหน่งเดิมที่เมธอดคอลเคยทำงานแทน



รูปที่ 2.8 การใช้เทคนิคเอ็กซ์แทรคเมธอดคอล ของ Laddad (2003)

ตัวอย่างคลาส Account ที่มีเมธอดคอลซ้ำกันภายในคลาสสามารถแสดงได้ดังรูปที่ 2.9 สามารถนำเทคนิคเอ็กซ์แทรคเมธอดคอลมาปรับปรุงโค้ดโดยมีขั้นตอนดังนี้

```

package banking;
import java.security.AccessController;
public class Account {
    private int _accountNumber;
    private float _balance;
    public Account(int accountNumber) {
        _accountNumber = accountNumber;
    }
    public int getAccountNumber() {
        AccessController.checkPermission(new BankingPermission("accountOperation"));
        return _accountNumber;
    }
    public void credit(float amount) {
        AccessController.checkPermission(new BankingPermission("accountOperation"));
        _balance = _balance + amount;
    }
    public void debit(float amount) throws InsufficientBalanceException {
        AccessController.checkPermission(new BankingPermission("accountOperation"));
        if (_balance < amount) {
            throw new InsufficientBalanceException("Insufficient total balance");
        } else {
            _balance = _balance - amount;
        }
    }
    public float getBalance() {
        AccessController.checkPermission(new BankingPermission("accountOperation"));
        return _balance;
    }
    public String toString() {
        return "Account: " + _accountNumber;
    }
}

```

รูปที่ 2.9 ตัวอย่างเมธอดคอลล์ภายในคลาส ของ Laddad (2003)

1) เพิ่มแอสเป็กต์และกำหนดพอยท์คัทที่สามารถระบุถึงจอยน์พอยท์ทั้งหมด โดยจอยน์พอยท์เป็นตำแหน่งการทำงานของซอฟต์แวร์ที่ต้องการให้เม็ที่อดคอลทำงาน ต่อมาสร้างแอดไวซ์สำหรับพอยท์คัทดังกล่าว โดยระบุว่าต้องการให้โค้ดภายในแอดไวซ์ดำเนินการก่อน หลัง หรือแทนที่การทำงานของซอฟต์แวร์ ขั้นตอนนี้ยังไม่ระบุโค้ดการทำงานภายในแอดไวซ์ สามารถกำหนดได้ดังรูปที่ 2.10

```
private static aspect PermissionCheckAspect {
    private pointcut permissionCheckedExecution() :
        (execution(public int Account.getAccountNumber())
         || execution(public void Account.credit(float))
         || execution(public void Account.debit(float) throws InsufficientBalanceException)
         || execution(public float Account.getBalance()))
        && within(Account) ;
    before() : permissionCheckedExecution() {}
}
```

รูปที่ 2.10 ตัวอย่างการสร้างแอสเป็กต์ พอยท์คัทและแอดไวซ์ ของ Laddad (2003)

2) เพิ่มฟังก์ชันของครอสคัทตั้งคอนเซิร์นภายในแอดไวซ์ ในกรณีนี้คือเพิ่มเม็ที่อดคอลที่ต้องการจัดการภายในแอดไวซ์ ดังรูปที่ 2.11 จากนั้นให้นำเม็ที่อดคอลที่ซ้ำกันทั้งหมดออกจากภายในคลาส

```
before() : permissionCheckedExecution() {
    AccessController.checkPermission(new BankingPermission("accountOperation"));
}
```

รูปที่ 2.11 การกำหนดเม็ที่อดคอลที่ต้องการให้ทำงานภายในแอดไวซ์ ของ Laddad (2003)

3) แก้ไขพอยท์คัทให้ครอบคลุมมากขึ้นด้วยการใช้ไวลด์การ์ด (Wildcard) ดังรูปที่ 2.12 เพื่อให้ง่ายต่อการเพิ่มหรือแก้ไขฟังก์ชันของซอฟต์แวร์ในภายหลัง

```
private pointcut permissionCheckedExecution() :
    (execution(public * Account.*(..))
     && !execution(String Account.toString()))
     && within(Account);
```

รูปที่ 2.12 ตัวอย่างการแก้ไขพอยท์คัทด้วยไวลด์การ์ด ของ Laddad (2003)

หลังจากจัดการเมทอดคอลภายในคลาส Account ด้วยเทคนิคเอ็กซ์แทรคเมทอดคอลของ แอสเป็กรีแฟคทอริง จะได้คลาส Account ที่จัดเรียงโค้ดใหม่เรียบบร็อยดังรูปที่ 2.13

```

package banking;
import java.security.AccessController;
public class Account {
    private int _accountNumber;
    private float _balance;
    public Account(int accountNumber) {
        _accountNumber = accountNumber;
    }
    public int getAccountNumber() {
        return _accountNumber;
    }
    public void credit(float amount) {
        _balance = _balance + amount;
    }
    public void debit(float amount) throws InsufficientBalanceException {
        if ( _balance < amount) {
            throw new InsufficientBalanceException("Insufficient total balance");
        } else {
            _balance = _balance - amount;
        }
    }
    public float getBalance() { return _balance; }
    public String toString() {
        return "Account: " + _accountNumber;
    }
    private static aspect PermissionCheckAspect {
        private pointcut permissionCheckedExecution() :
            (execution(public * Account.*(..))
            && !execution(String Account.toString()))
            && within(Account);
        before() : permissionCheckedExecution() {
            AccessController.checkPermission(new BankingPermission("accountOperation"));
        }
    }
}

```

รูปที่ 2.13 ตัวอย่างคลาส Account หลังทำแอสเป็กรีแฟคทอริง ของ Laddad (2003)

## (2) เทคนิคเอ็กซ์แทรคเอ็กซ์เซ็ปชันแฮนเดิลลิ่ง (Extract exception handling)

การจัดการข้อยกเว้น (Exception handling) เป็นครอสคัทตั้งคอนเซ็ปชันที่มีอยู่ในหลายคลาส โดยมีโครงสร้างคือบล็อกของ try/catch ที่ไม่สามารถจัดการได้ด้วยการรีแฟคทอริงแบบเดิมของโปรแกรมเชิงวัตถุ ตัวอย่างการจัดการข้อยกเว้นที่ซ้ำกันในคลาสสามารถแสดงได้ดังรูปที่ 2.14

```
public class LibraryDelegate {
    private LibrarySession _session;
    public LibraryDelegate() throws LibraryException { init(); }
    private void init() throws LibraryException {
        try {
            LibrarySessionHome home = (LibrarySessionHome)ServiceLocator.getInstance().
                getRemoteHome("Library", LibrarySessionHome.class);
            _session = home.create();
        } catch (ServiceLocatorException ex) {
            throw new LibraryException(ex);
        } catch (CreateException ex) {
            throw new LibraryException(ex);
        } catch (RemoteException ex) {
            throw new LibraryException(ex);
        }
    }
    public void addBook(BookTO book) throws LibraryException {
        try {
            _session.addBook(book);
        } catch (RemoteException ex) {
            throw new LibraryException(ex);
        }
    }
    public void removeBook(BookTO book) throws LibraryException {
        try {
            _session.removeBook(book);
        } catch (RemoteException ex) {
            throw new LibraryException(ex);
        }
    }
}
```

รูปที่ 2.14 ตัวอย่างการจัดการข้อยกเว้นที่ซ้ำกันในคลาส LibraryDelegate  
ของ Laddad (2003)



จากตัวอย่างบล็อก try/catch ที่ซ้ำกันภายในคลาส LibraryDelegate สามารถจัดการด้วยการดึงบล็อกดังกล่าวออกมาเขียนไว้ในแอสเป็ก ตัวอย่างแอสเป็กที่อิมพลีเมนต์การจัดการข้อยกเว้น ดังรูปที่ 2.15

```
aspect LibraryExceptionHandler {
    declare soft : RemoteException
        : call(* *.*(..) throws RemoteException) && within(LibraryDelegate);
    declare soft : ServiceLocatorException
        : call(* *.*(..) throws ServiceLocatorException) && within(LibraryDelegate);
    declare soft : CreateException
        : call(* *.*(..) throws CreateException) && within(LibraryDelegate);
    after() throwing(SoftException ex) throws LibraryException
        : execution(* LibraryDelegate.*(..) throws LibraryException)
        && within(LibraryDelegate) {
            throw new LibraryException(ex.getWrappedThrowable());
        }
}
```

รูปที่ 2.15 ตัวอย่างการใช้เทคนิคเอ็กซ์แทรคเอ็กซ์เซ็ปชันแฮนเดิลลิง ของ Laddad (2003)

#### (3) เทคนิคเอ็กซ์แทรคคอนเคอร์เรนซีคอนโทรล (Extract concurrency control)

การอิมพลีเมนต์การควบคุมภาวะพร้อมกัน (Concurrency control) สามารถทำให้เกิดโค้ดซ้ำกันในหลายเมทอด ตัวอย่างของการควบคุมภาวะพร้อมกัน ได้แก่ แพทเทิร์นสำหรับบล็อกการอ่าน-เขียน (Read-write lock pattern) เป็นต้น สำหรับเมทอดการอ่านข้อมูล ก่อนการอ่านข้อมูลทุกครั้งต้องเรียกใช้งานการล็อกการอ่านและเมื่ออ่านข้อมูลสำเร็จจึงยกเลิกการล็อกการอ่าน ส่วนเมทอดการแก้ไขข้อมูล ก่อนการแก้ไขข้อมูลทุกครั้งต้องเรียกใช้งานการล็อกการเขียนและเมื่อแก้ไขข้อมูลสำเร็จจึงยกเลิกการล็อกการเขียนเช่นเดียวกัน (Laddad, 2003a)

#### (4) เทคนิคเอ็กซ์แทรคอินเตอร์เฟสอิมพลีเมนเทชัน (Extract interface implementation)

กรณีที่หลายคลาสอิมพลีเมนต์อินเตอร์เฟสสามารถทำให้เกิดโค้ดซ้ำภายในคลาส ในกรณีที่ภายในคลาสอินเตอร์เฟสไม่ได้สร้างการอิมพลีเมนต์โดยปริยาย (Default implement) เอาไว้ ทำให้คลาสเหล่านั้นต้องกำหนดการอิมพลีเมนต์ของเมทอดที่รับมาจากอินเตอร์เฟสเอง สามารถจัดการได้ด้วยการใช้อินเทอร์ดั๊กชันหรือการประกาศอินเตอร์-ไทป์ (Laddad, 2003a)

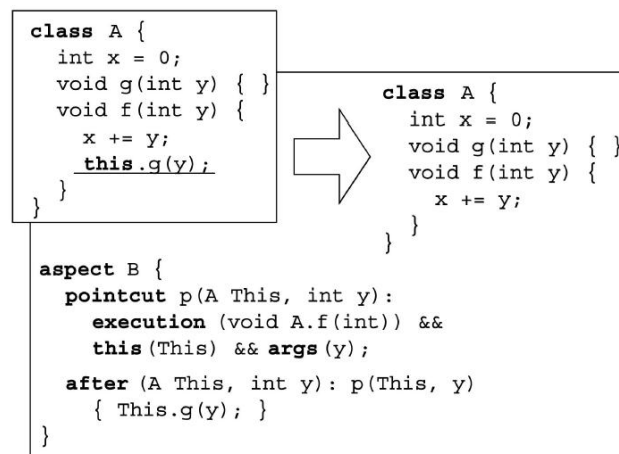
## (5) เทคนิคเอ็กซ์แทรคคอนแทรคเอนฟอร์สเมนต์ (Extract contract enforcement)

เป็นเทคนิคสำหรับจัดการโค้ดที่เกี่ยวข้องกับการตรวจสอบเงื่อนไขทั้งเงื่อนไขแบบก่อนและหลัง (pre-condition และ post-condition) โดยเป็นเงื่อนไขสำหรับตรวจสอบค่าของพารามิเตอร์ที่รับเข้ามาและค่าที่ส่งคืนกลับไปของเมทอด การจัดการโค้ดดังกล่าวสามารถจัดการโดยนำมาไว้ในแอสเป็ก (Almasri and Albayouk, 2006; Laddad, 2003a)

นอกจากนี้ Binkley และคณะ (2006) ได้นำเสนอเทคนิคสำหรับการทำแอสเป็กกรีแพคทอริงไว้เช่นกัน โดยนำเสนอเทคนิคสำหรับการครอสคัทติ้งคอนเซิร์นนที่มีลักษณะเมทอดคอล มีทั้งหมด 6 เทคนิค (Binkley et al., 2006) ดังนี้

## (1) เทคนิคเอ็กซ์แทรคบีกินนิง/เอนออฟเมทอด (Extract Beginning/End of Method)

ตำแหน่งเมทอดคอลที่ต้องการจัดการอยู่ในตอนต้นหรือตอนท้ายของเมทอด จากรูปที่ 2.16 ภายในคลาส A และเมทอด f() จะมีเมทอดคอล this.g(y) อยู่ในตอนท้ายของเมทอด สามารถจัดการเมทอดคอลด้วยการสร้างแอสเป็กและแอดไวซ์ประเภทอาฟเตอร์ (After) จากนั้นกำหนดพอยท์คัท p โดยระบุตำแหน่งจอยน์พอยท์ไปยังการดำเนินการของเมทอด f() ดังนั้นเมื่อซอฟต์แวร์ดำเนินการมาถึงเมทอด f() และดำเนินการเมทอดเสร็จสิ้น โค้ดภายในแอดไวซ์ของแอสเป็กคือ เมทอดคอล this.g(y) จึงทำงาน พารามิเตอร์ y ที่ต้องใช้ภายในแอดไวซ์จะได้จากการระบุ arg() ภายในพอยท์คัท ดังนั้นในกรณีเมทอดคอลอยู่ในตอนต้นของเมทอดสามารถจัดการโดยการเปลี่ยนเป็นแอดไวซ์ประเภทบีฟอว์ (Before)

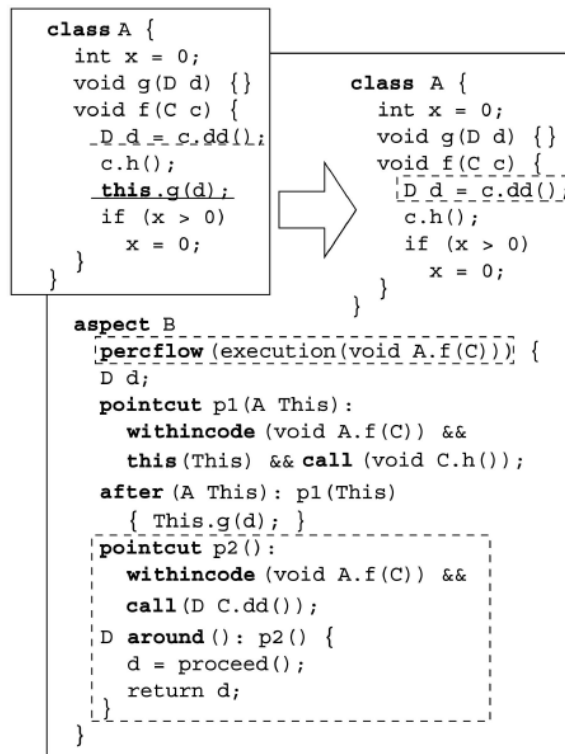


รูปที่ 2.16 เทคนิคเอ็กซ์แทรคบีกินนิง/เอนออฟเมทอดของ Binkley และคณะ (2006)

## (2) เทคนิคเอ็กซ์แทรคบีฟอว์/อาฟเตอร์คอล (Extract before/after Call)

ตำแหน่งเมทอดคอลที่ต้องการจัดการอยู่ก่อนหรือหลังเมทอดคอลอื่นๆ จากรูปที่ 2.17 ภายในคลาส A และเมทอด f() มีเมทอดคอล this.g(d) โดยตำแหน่งอยู่หลังเมทอดคอล c.h() สามารถจัดการเมทอดคอลดังกล่าวด้วยการสร้างแอสเป็กและแอดไวซ์ประเภทอาฟเตอร์ จากนั้นกำหนดพอยท์คัท p1 โดยระบุตำแหน่งจอยน์พอยท์ไปยังการเรียกใช้งานเมทอด c.h() ดังนั้นเมื่อซอฟต์แวร์ดำเนินการมาถึง c.h() หลังจากเรียกใช้งาน c.h() เสร็จสิ้น โค้ดภายในแอดไวซ์ของแอสเป็ก

คือ เมธอดคอล this.g(d) จึงทำงาน พอยท์คัท p2 และ percfow เป็นการกำหนดเพื่อเก็บค่าของตัวแปร d ที่ต้องใช้เป็นพารามิเตอร์สำหรับเมธอดคอล This.g(d) ที่อยู่ในแอตไวซ์ของพอยท์คัท p1

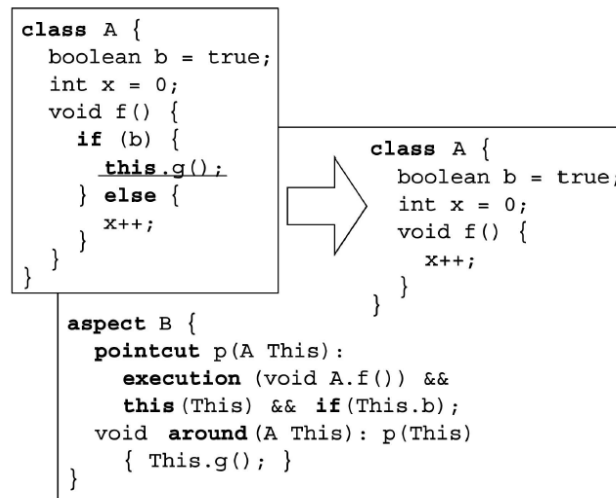


รูปที่ 2.17 เทคนิคเอ็กซ์แทรคทีฟ/ออฟเทรคคอล ของ Binkley และคณะ (2006)

### (3) เทคนิคเอ็กซ์แทรคคองดิชันนอล (Extract Conditional)

ตำแหน่งเมธอดคอลที่ต้องการจัดการอยู่ภายใต้คำสั่งเงื่อนไข (Conditional statement) จากรูปที่ 2.18 ภายในคลาส A และเมธอด f() จะมีเมธอดคอล this.g() โดยตำแหน่งอยู่ภายใต้คำสั่งเงื่อนไข if(b) เป็นจริง สามารถจัดการเมธอดคอลด้วยการสร้างแอสเป็กและแอตไวซ์ประเภทอะราวด์ (Around) เพื่อให้ทำงานแทนที่เมธอด f() และกำหนดพอยท์คัท p โดยระบุตำแหน่งจอยน์พอยท์ไปยังการดำเนินการของเมธอด f() พร้อมทั้งกำหนดเงื่อนไข if(This.b) ดังนั้นเมื่อซอฟต์แวร์ดำเนินการมาถึงเมธอด f() และเงื่อนไข if(This.b) เป็นจริง โค้ดภายในแอตไวซ์ของแอสเป็กคือ เมธอดคอล this.g() จึงทำงานแทนที่โค้ดภายในเมธอด f()

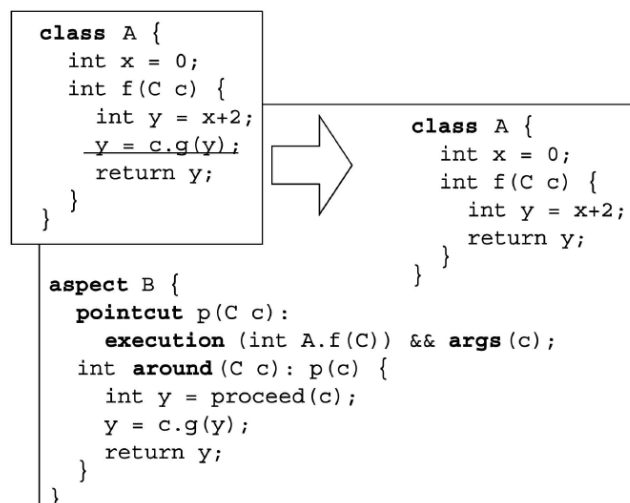
กรณีที่เปลี่ยนแปลงตำแหน่งของคำสั่ง x++ ให้อยู่ด้านนอกเงื่อนไข if(b) แสดงว่าไม่ว่าผลของเงื่อนไขเป็นจริงหรือเท็จต้องทำงานคำสั่ง x++ เสมอ แก้ไขได้ด้วยการเพิ่มคำสั่ง proceed() ไว้ในตอนท้ายของแอตไวซ์ เพื่อให้ดำเนินการคำสั่งที่มีในเมธอด f()



รูปที่ 2.18 เทคนิคเอ็กซ์แทรคคอนดิชันนอล ของ Binkley และคณะ (2006)

(4) เทคนิคพรีรีเทิร์น (Pre Return)

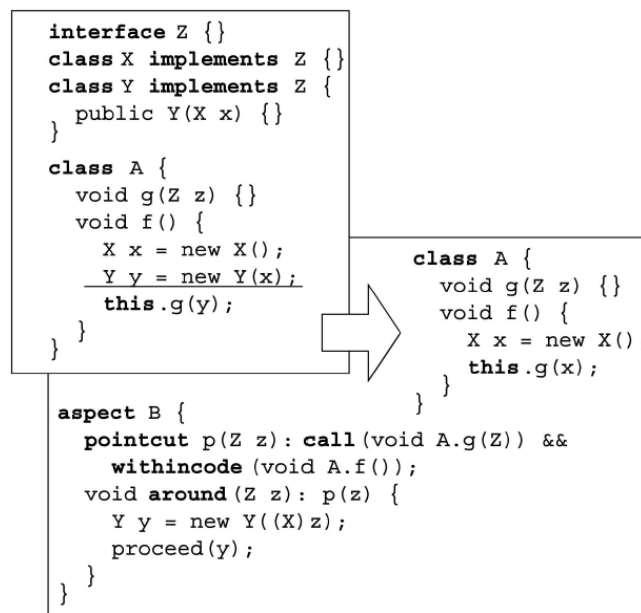
ตำแหน่งเมทอดคอลลที่ต้องการจัดการอยู่ก่อนคำสั่งรีเทิร์น (Return statement) จากรูปที่ 2.19 ภายในคลาส A และเมทอด f() มีเมทอดคอลล  $y = c.g(y)$  โดยตำแหน่งอยู่ก่อนคำสั่งรีเทิร์น สามารถจัดการเมทอดคอลลด้วยการสร้างแอสเป็กและแอดไวซ์ประเภทอะรราวด์ จากนั้นกำหนดพอยท์คัท p โดยระบุตำแหน่งจอยน์พอยท์ไปยังการดำเนินการเมทอด f() ดังนั้นเมื่อซอฟต์แวร์ดำเนินการมาถึงเมทอด f() โค้ดภายในแอดไวซ์ของแอสเป็กจึงทำงาน โดยมีคำสั่ง `proceed(c)` เพื่อให้ดำเนินการโค้ดภายในเมทอด f() ก่อนและเมื่อดำเนินการเสร็จสิ้นจึงเก็บค่าด้วยตัวแปร  $y$  ของแอสเป็ก และนำตัวแปร  $y$  มาใช้ในเมทอดคอลล  $y = c.g(y)$  และส่งค่า  $y$  คืน ดังนั้นคำสั่งในแอดไวซ์จึงเปลี่ยนแปลงค่า  $y$  ที่รับมาจากเมทอด f()



รูปที่ 2.19 เทคนิคพรีรีเทิร์น ของ Binkley และคณะ (2006)

## (5) เทคนิคเอ็กซ์แทรกแรพเพอร์ (Extract Wrapper)

โค้ดที่ต้องการจัดการอยู่ในแพทเทิร์นแรพเพอร์ (Wrapper pattern) จากรูปที่ 2.20 ภายในคลาส A และมีเมทอด f() จะมีโค้ด `Y y = new Y(x)` โดยอ็อบเจกต์ x จะถูก y ห่อหุ้มไว้ก่อนส่งไปเป็นพารามิเตอร์ในเมทอดคอล this.g(y) สามารถจัดการด้วยการสร้างแอสเป็กและแอตไวซ์ประเภทอะราวด์ จากนั้นกำหนดพอยท์คัท p โดยระบุตำแหน่งจอยน์พอยท์ไปยังการดำเนินการเมทอด g() ภายในแอตไวซ์กำหนดด้วยโค้ดที่ต้องการจัดการคือ `Y y = new Y(x)` และคำสั่ง `proceed()`



รูปที่ 2.20 เทคนิคเอ็กซ์แทรกแรพเพอร์ ของ Binkley และคณะ (2006)

## (6) เทคนิคเอ็กซ์แทรกเอ็กซ์เซ็ปชันแฮนเดิลลิ่ง (Extract Exception Handling)

โค้ดที่ต้องการจัดการคือบล็อกของการจัดการข้อยกเว้น (Exception handling block) เช่นเดียวกับเทคนิคเอ็กซ์แทรกเอ็กซ์เซ็ปชันแฮนเดิลลิ่ง ของ Laddad (2003)

## 2.6 คุณภาพซอฟต์แวร์ (Software Quality)

การกำหนดนิยามของคำว่าคุณภาพ (Quality) เป็นเรื่องยากเนื่องจากการตัดสินคุณภาพของผลิตภัณฑ์หนึ่งๆขึ้นอยู่กับความคิดและความคาดหวังของแต่ละบุคคลที่ต้องการจากผลิตภัณฑ์ ดังนั้นคำว่าคุณภาพจึงมีความหมายและมุมมองที่แตกต่างกันไป โดยหลายงานวิจัยให้คำนิยามของคำว่าคุณภาพดังนี้

- Garvin (1984) แสดงนิยามของคุณภาพในมุมมองต่างๆ ดังนี้
  - มุมมองของผู้ใช้งาน คุณภาพคือการผลิตที่ตรงกับวัตถุประสงค์ที่ผู้ใช้งานต้องการ
  - มุมมองของผู้ผลิต คุณภาพคือการผลิตที่สามารถผลิตออกมาได้ตรงและสอดคล้องกับข้อกำหนดคุณลักษณะที่ต้องการ

มุมมองของผลิตภัณฑ์ นักเศรษฐศาสตร์จะพิจารณาคุณภาพของผลิตภัณฑ์โดยดูจากผลกระทบต่อค่าใช้จ่าย เช่น คุณภาพจะสูง หากค่าใช้จ่ายสูง เป็นต้น

มุมมองของมูลค่าผลิตภัณฑ์ คุณภาพขึ้นอยู่กับจำนวนเงินที่ผู้ใช้เต็มใจที่จะจ่าย

- Kan (2002) กล่าวว่าคุณภาพเป็นแนวคิดหลายมุมมองที่ประกอบด้วยสิ่งที่สนใจและคุณลักษณะคุณภาพของสิ่งที่สนใจ ดังนั้นคนจึงให้นิยามคุณภาพแตกต่างกันตามสิ่งที่สนใจของแต่ละคน
- Stamelos และ Sfetsos (2007) กล่าวว่าคุณภาพประกอบด้วยกลุ่มลักษณะเฉพาะ (Feature) สำหรับตอบสนองต่อความต้องการของผู้ใช้และสร้างความพึงพอใจแก่ผู้ใช้นอกจากนี้หากผลิตภัณฑ์มีคุณภาพดีจะไม่เกิดความบกพร่องในผลิตภัณฑ์
- ไอเอสโอ 8402 (ISO 8402) กล่าวว่าคุณภาพคือกลุ่มลักษณะเฉพาะของผลิตภัณฑ์หรือบริการที่ส่งผลต่อความพึงพอใจและความต้องการของผู้ใช้ (Panovski, 2008)

นอกจากนี้หลายงานวิจัยได้ให้นิยามของคำว่า คุณภาพซอฟต์แวร์ (Software quality) เอาไว้ดังนี้

- Ince (1994) กล่าวว่าคุณภาพซอฟต์แวร์สัมพันธ์กับกลุ่มปัจจัยคุณภาพ (Quality factor) เป็นสิ่งที่นักพัฒนาคิดว่ามีความสำคัญต่อซอฟต์แวร์ที่ผลิตแต่ผู้ใช้งานไม่ได้ตระหนักถึง ดังนั้นจึงควรมุ่งกลุ่มปัจจัยคุณภาพมาพิจารณาร่วมด้วยในข้อกำหนดความต้องการ (Requirement Specification)
- Fitzpatrick (1996) กล่าวว่าคุณภาพซอฟต์แวร์คือกลุ่มลักษณะเฉพาะที่ต้องการในซอฟต์แวร์เพื่อช่วยเพิ่มสมรรถภาพของซอฟต์แวร์ให้มีอายุการใช้งานที่นาน (Lifetime performance)
- ไอเอสโอ/ไออีซี 9126 (ISO/IEC 9126) กล่าวว่าคุณภาพซอฟต์แวร์คือความสามารถของซอฟต์แวร์ที่สามารถตอบสนองความพึงพอใจของผู้ใช้ในการใช้งานตามที่กำหนด (ISO/IEC9126-1, 2001)

- Immonen (2009) กล่าวว่าคุณภาพซอฟต์แวร์คือความสามารถที่จะตอบสนองต่อความคาดหวังของผู้ใช้ โดยต้องใช้ทรัพยากรและมีระดับความซับซ้อนของระบบที่เหมาะสม คุณภาพซอฟต์แวร์สามารถประเมินได้โดยประกอบด้วย 2 ปัจจัย (Elish and Alshayeb, 2012) ได้แก่

(1) คุณลักษณะภายนอกของคุณภาพ (External quality attribute) เป็นคุณลักษณะที่สามารถวัดได้โดยอ้อม โดยคุณลักษณะภายนอกส่วนใหญ่ผู้ใช้งานซอฟต์แวร์เป็นผู้พิจารณา เช่น ความสามารถในการบำรุงรักษา และความน่าเชื่อถือ เป็นต้น

(2) คุณลักษณะภายในของคุณภาพ (Internal quality attribute) เป็นคุณลักษณะที่สามารถวัดได้โดยตรง โดยคุณลักษณะภายในส่วนใหญ่ผู้พัฒนาซอฟต์แวร์เป็นผู้พิจารณา ดังนั้นคุณลักษณะภายในจึงสามารถพิจารณาจากซอร์สโค้ดของผลิตภัณฑ์ซอฟต์แวร์ได้โดยตรง เช่น จำนวนบรรทัดของโค้ด เป็นต้น

### 2.6.1 แบบจำลองคุณภาพซอฟต์แวร์ (Software quality model)

เนื่องจากคุณภาพซอฟต์แวร์สามารถประเมินจากคุณลักษณะภายนอกหลาย ๆ ลักษณะ ประกอบกัน ดังนั้นเพื่อสร้างความเข้าใจและสามารถวัดคุณภาพของผลิตภัณฑ์ซอฟต์แวร์ จึงมีการสร้างแบบจำลองเพื่อแสดงความสัมพันธ์ระหว่างคุณลักษณะ (Characteristic) ดังนั้นแบบจำลองคุณภาพซอฟต์แวร์ (Software quality model) จึงแสดงกลุ่มคุณลักษณะและความสัมพันธ์ระหว่างคุณลักษณะ เพื่อใช้เป็นเกณฑ์สำหรับการกำหนดความต้องการทางคุณภาพและเพื่อประเมินคุณภาพซอฟต์แวร์ (ISO/IEC9126-1, 2001) แบบจำลองคุณภาพซอฟต์แวร์สามารถจำแนกได้เป็น 2 กลุ่ม ได้แก่ (1) แบบจำลองเชิงลำดับชั้น (Hierarchical quality model) และ (2) แบบจำลองไม่เป็นเชิงลำดับชั้น (Non-Hierarchical quality model) โดยมีการนำเสนอแบบจำลองเชิงลำดับชั้นเป็นจำนวนมาก ได้แก่ แบบจำลองของ McCall (McCall, Richards and Walters, 1977) แบบจำลองของ Boehm (Boehm, Brown and Lipow, 1978) แบบจำลองคุณภาพ FURPS ที่นำเสนอโดย Grady และ HP (Grady and Caswell, 1987) และแบบจำลองคุณภาพไอเอสโอ/ไออีซี 9126 (ISO/IEC 9126) (ISO/IEC9126-1, 2001) เป็นต้น (Kumar, 2012)

แบบจำลองคุณภาพไอเอสโอ/ไออีซี 9126 เป็นแบบจำลองที่พัฒนาเพื่อเป็นมาตรฐานของแบบจำลองคุณภาพซอฟต์แวร์ เนื่องจากแบบจำลองที่นำเสนอในอดีตมีค่อนข้างมาก ไอเอสโอ/ไออีซี เจทีซี (ISO/IEC Joint Technical Committee : JTC) จึงพัฒนาแบบจำลองที่นำความคิดเห็นของคนส่วนใหญ่มาใช้เพื่อพัฒนาให้เกิดเป็นแบบจำลองที่สามารถใช้เป็นมาตรฐาน และพัฒนาขยายมาจากแบบจำลองเดิมที่นำเสนอไว้ โครงสร้างของแบบจำลองคุณภาพไอเอสโอ/ไออีซี 9126 ประกอบด้วยคุณลักษณะ (Characteristic) และคุณลักษณะย่อย (Sub-characteristic) โดยคุณลักษณะย่อยสามารถพิจารณาจากมาตรวัด (Metrics) หรือตัวชี้วัด (Indicator) และเนื่องจากแบบจำลองคุณภาพไอเอสโอ/ไออีซี 9126 เป็นแบบจำลองที่นำเสนอมาสำหรับพิจารณาซอฟต์แวร์เชิงวัตถุ ดังนั้น Kumar และคณะ (2009) จึงนำเสนอแบบจำลองคุณภาพเอไอเอสคิวเอเอ็มไอ (AOSQUAMO) เป็นแบบจำลองที่ปรับปรุงมาเพื่อพิจารณาซอฟต์แวร์เชิงแอสเป็ก โดยปรับปรุงมาจากแบบจำลองคุณภาพไอเอสโอ/ไออีซี 9126 โดยเพิ่มคุณลักษณะย่อยทั้งหมด 4 ลักษณะ ได้แก่ ความสามารถการนำกลับมาใช้ใหม่ (Reusability) ความซับซ้อน (Complexity) ความสามารถการลดจำนวนโค้ด (Code-reducibility) และสภาพเป็นส่วนจำเพาะ (Modularity) แบบจำลองคุณภาพเอไอเอสคิวเอเอ็มไอสามารถแสดงได้ดังตารางที่ 2.1

ตารางที่ 2.1 แบบจำลองคุณภาพเอไอเอสคิวเอเอ็มโอ (AOSQUAMO)  
ของ Kumar และคณะ (2009)

ประเภทคุณภาพ	คุณลักษณะ	คุณลักษณะย่อย
Quality Software Product	Functionality	Suitability
		Accuracy
		Interoperability
		Security
		Compliance
		<b>Reusability</b>
	Reliability	Maturity
		Fault Tolerance
		Recoverability
	Usability	Understandability
		Learnability
		Operability
		<b>Complexity</b>
	Efficiency	Time Behavior
		Resource Utilization
		<b>Code-reducibility</b>
	Maintainability	Analyzability
		Changeability
		Stability
		Testability
Portability	<b>Modularity</b>	
	Adaptability	
	Replaceability	
	Installability	
		Co-Existence



แบบจำลองคุณภาพเอไอเอสคิวเอเอ็มไอมีคุณลักษณะทั้งหมด 6 ลักษณะ ดังนี้

(1) ฟังก์ชันการทำงาน (Functionality) คือ ความสามารถของผลิตภัณฑ์ซอฟต์แวร์ที่รองรับฟังก์ชัน โดยสามารถตอบสนองต่อความต้องการเมื่อใช้งานซอฟต์แวร์ภายใต้สภาพแวดล้อมหรือเงื่อนไขที่ระบุ

(2) ความเชื่อถือได้ (Reliability) คือ ความสามารถของผลิตภัณฑ์ซอฟต์แวร์ที่สามารถคงระดับสมรรถภาพของซอฟต์แวร์ โดยซอฟต์แวร์สามารถทำงานสำเร็จบรรลุผลได้ภายใต้เงื่อนไขและช่วงเวลาทีระบุ

(3) ความสามารถใช้งานง่าย (Usability) คือ ความสามารถของผลิตภัณฑ์ซอฟต์แวร์ในการทำความเข้าใจ การเรียนรู้และใช้งานซอฟต์แวร์ รวมถึงสามารถดึงดูดความสนใจของผู้ใช้งานได้เมื่อใช้งานภายใต้เงื่อนไขที่ระบุ หรือความพยายาม (Effort) ที่ต้องการเพื่อใช้งานผลิตภัณฑ์ซอฟต์แวร์

(4) ประสิทธิภาพ (Efficiency) คือ ความสามารถของผลิตภัณฑ์ซอฟต์แวร์ที่มีสมรรถภาพ ผู้ใช้งานสามารถใช้งานซอฟต์แวร์ได้สำเร็จบรรลุผลด้วยจำนวนทรัพยากรที่เหมาะสมภายใต้เงื่อนไขที่กำหนด

(5) ความสามารถการบำรุงรักษา (Maintainability) คือ ความสามารถของผลิตภัณฑ์ซอฟต์แวร์ที่สามารถแก้ไขได้ โดยการแก้ไขซอฟต์แวร์จะต้องมีความถูกต้อง การปรับปรุงที่ทำให้ซอฟต์แวร์ดีขึ้น และสามารถปรับตัวรองรับหากเกิดการเปลี่ยนแปลงของสภาพแวดล้อม ความต้องการ และข้อกำหนดเชิงฟังก์ชัน

(6) ความสามารถการถ่ายโอน (Portability) คือ ความสามารถของผลิตภัณฑ์ซอฟต์แวร์ที่สามารถเปลี่ยนย้ายซอฟต์แวร์จากสภาพแวดล้อมหนึ่งไปยังสภาพแวดล้อมอื่น ๆ ได้

แบบจำลองคุณภาพเอไอเอสคิวเอเอ็มไอมีคุณลักษณะย่อยทั้งหมด 25 ลักษณะซึ่งกำหนดเข้ากับคุณลักษณะดังตารางที่ 2.1 แสดงข้างต้น โดยขอยกนิยามของคุณลักษณะย่อยมาเพียงบางส่วนที่สนใจศึกษาในงานวิจัยนี้ ได้แก่

(1) ความสามารถการนำกลับมาใช้ใหม่ (Reusability) คือ ความสามารถของผลิตภัณฑ์ซอฟต์แวร์ที่สามารถนำฟังก์ชันและโค้ดที่มีอยู่กลับมาใช้ใหม่

(2) ความสามารถในการทำความเข้าใจ (Understandability) คือ ความสามารถของผลิตภัณฑ์ซอฟต์แวร์ที่ผู้ใช้สามารถทำความเข้าใจถึงวิธีการใช้งานได้อย่างเหมาะสมสำหรับแต่ละภารกิจและเงื่อนไขการใช้

(3) ความซับซ้อน (Complexity) คือ ความซับซ้อนของซอฟต์แวร์ สามารถจำแนกเป็น ความซับซ้อนของโค้ด (Code complexity) เป็นความซับซ้อนที่เกิดจากแอตทริบิวต์ เมทอด และแอตไวจ์ เป็นต้น และความซับซ้อนของการปฏิสัมพันธ์ (Interaction complexity) เป็นความซับซ้อนที่เกิดจากการปฏิสัมพันธ์ระหว่างคลาส-คลาส แอสเป็ก-แอสเป็ก และคลาส-แอสเป็ก

(4) ความสามารถการทดสอบ (Testability) คือ ความสามารถของผลิตภัณฑ์ซอฟต์แวร์ที่สามารถนำมาตรวจสอบความสมเหตุสมผล

## 2.6.2 มาตรการวัดซอฟต์แวร์ (Software metric)

จากแบบจำลองคุณภาพซอฟต์แวร์ที่แสดงถึงคุณลักษณะภายนอกและความสัมพันธ์ระหว่างคุณลักษณะในรูปแบบของแบบจำลองเชิงลำดับชั้น Fenton และ Pfleeger (1998) กล่าวว่าไว้ว่ามาตรวัดซอฟต์แวร์สามารถใช้วัดคุณลักษณะภายในของคุณภาพเพื่อประเมินคุณลักษณะภายนอกได้ (Elish and Alshayeb, 2012) ดังนั้นเพื่อประเมินคุณภาพของผลิตภัณฑ์ซอฟต์แวร์จึงนำมาตรวัดซอฟต์แวร์มาใช้สำหรับวัดคุณภาพ โดยมาตรวัดซอฟต์แวร์มีหลายงานวิจัยให้คำนิยามเอาไว้ดังนี้

Mills (1988) กล่าวว่ามาตรวัดซอฟต์แวร์สามารถนำมาใช้วัดผลิตภัณฑ์ซอฟต์แวร์และกระบวนการของซอฟต์แวร์ เพื่อช่วยประมาณค่าใช้จ่าย ตารางงาน และคุณภาพของซอฟต์แวร์ ข้อมูลที่ได้จากมาตรวัดซอฟต์แวร์สามารถนำไปจัดการและควบคุมการพัฒนาซอฟต์แวร์ให้ได้ซอฟต์แวร์ที่ปรับปรุงดีขึ้น

Ordonez และ Hadded (2008) กล่าวว่ามาตรวัดซอฟต์แวร์เป็นตัวชี้วัดเชิงปริมาณที่สามารถบ่งบอกถึงคุณลักษณะของส่วนโปรแกรม ระบบ และกระบวนการได้

มาตรวัดซอฟต์แวร์สามารถจำแนกออกเป็นมาตรวัดสำหรับผลิตภัณฑ์ (Product metrics) และมาตรวัดสำหรับกระบวนการ (Process metrics) โดยมาตรวัดสำหรับผลิตภัณฑ์จะสามารถวัดผลิตภัณฑ์ซอฟต์แวร์ที่ได้จากในขั้นตอนต่างๆของการพัฒนาซอฟต์แวร์ เช่น ความต้องการ (Requirement) หรือซอฟต์แวร์ที่นำไปติดตั้ง เป็นต้น ส่วนมาตรวัดสำหรับกระบวนการสามารถวัดกระบวนการที่เกิดขึ้นระหว่างการพัฒนาซอฟต์แวร์ เช่น เวลาที่ใช้พัฒนาโดยรวม ประเภทของระเบียบวิธีที่ใช้ และระดับประสบการณ์ของผู้พัฒนา เป็นต้น โดยประเภทมาตรวัดที่สนใจในงานวิจัยนี้คือมาตรวัดสำหรับผลิตภัณฑ์เพื่อนำไปวัดคุณภาพของผลิตภัณฑ์ซอฟต์แวร์ เนื่องจากการพัฒนาด้วยการโปรแกรมเชิงแอสเป็กเป็นการพัฒนาที่ขยายมาจากการโปรแกรมเชิงวัตถุ มาตรวัดซอฟต์แวร์ที่สนใจจึงได้แก่ มาตรวัดเชิงวัตถุ (Object-oriented metrics – OO metrics) และมาตรวัดเชิงแอสเป็ก (Aspect-oriented metrics – AO metrics) มีรายละเอียดดังนี้

- **มาตรวัดเชิงวัตถุ (Object-oriented metrics – OO metrics)**

การวัดคุณภาพซอฟต์แวร์สำหรับซอฟต์แวร์ที่พัฒนาด้วยการโปรแกรมเชิงวัตถุ Chidamber และ Kemerer (1993) ได้นำเสนอชุดมาตรวัดซีเค (CK metrics) สำหรับวัดคุณภาพของการออกแบบเชิงวัตถุ โดยมาตรวัดซอฟต์แวร์ที่นำเสนอมีดังนี้ (Aggarwal et al., 2006; Rosenberg and Hyatt, 1996)

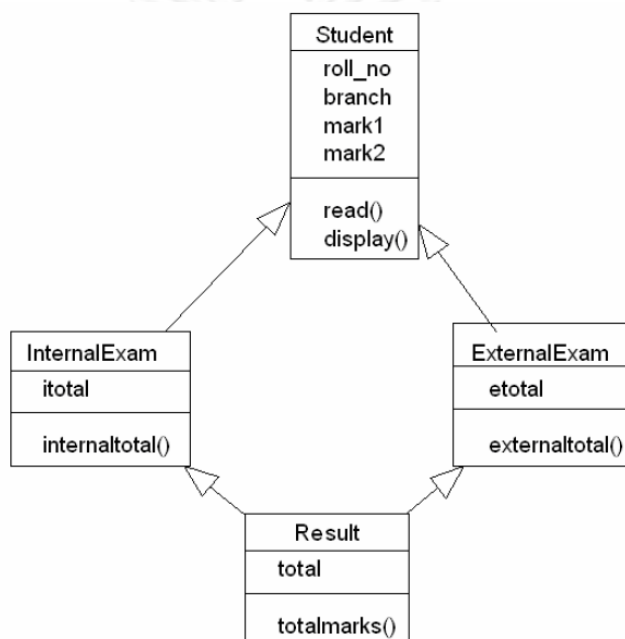
- (1) **เวทเทตเมทีออดเปอคลาส (Weighted Method per Class - WMC)**

มาตรวัด WMC คือจำนวนเมทีออดที่อิมพลีเมนต์ภายในคลาส หรือผลรวมความซับซ้อนของทุกเมทีออดภายในคลาส โดยความซับซ้อนสามารถคำนวณจากค่าความซับซ้อนไซโคลเมตริก (Cyclometric complexity) การวัดด้วยค่าความซับซ้อนไซโคลเมตริกในทางปฏิบัติทำได้ยาก เนื่องจากไม่สามารถเข้าถึงทุกเมทีออดได้ทั้งหมดภายในลำดับชั้นคลาส ดังนั้นในทางปฏิบัติจึงกำหนดค่าความซับซ้อนสำหรับเมทีออดเท่ากับ 1.0 มาตรวัด WMC จึงเท่ากับจำนวนเมทีออดที่มีภายในคลาส

มาตรวัด WMC แสดงถึงความซับซ้อนของคลาส ทำให้สามารถประเมินจำนวนเวลาและความพยายามที่ต้องใช้สำหรับการพัฒนาและบำรุงรักษาคลาส และหากมีจำนวนเมทอดภายในคลาสมากจะส่งผลต่อคลาสลูกที่สืบทอดเมทอดจากคลาสแม่

### (2) เตพออฟอินเฮริแทนซ์ (Depth of Inheritance Tree - DIT)

มาตรวัด DIT วัดระดับความลึกของคลาสภายในลำดับชั้นการรับทอด (Inheritance hierarchy) โดยพิจารณาจำนวนระดับที่มากที่สุดจากคลาสโหนด (Class node) ไปยังรูทโหนด (Root node) ของทรี (Tree) จากรูปที่ 2.21 แสดงตัวอย่างการพิจารณามาตรวัด DIT โดยคลาส Result มีค่ามาตรวัด DIT เท่ากับ 2 ส่วนคลาส InternalExam และคลาส ExternalExam มีค่ามาตรวัด DIT เท่ากับ 1



รูปที่ 2.21 ตัวอย่างลำดับชั้นการรับทอด ของ Aggarwal และคณะ (2006)

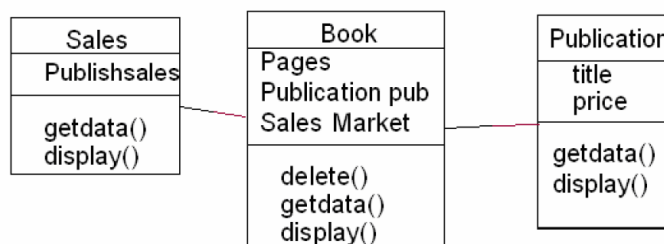
หากค่ามาตรวัด DIT มีค่าสูงสามารถแสดงถึงระดับความลึกและความซับซ้อนที่มาก เนื่องจากจำนวนคลาสที่เกี่ยวข้องและจำนวนเมทอดที่รับทอดมีจำนวนมาก โดยจำนวนเมทอดที่รับทอดมาจะมีจำนวนเพิ่มมากขึ้นตามระดับความลึกภายในลำดับชั้น แต่การมีระดับความลึกภายในลำดับชั้นที่มากสามารถแสดงถึงความสามารถการนำกลับมาใช้ใหม่ของเมทอดที่ดีเช่นกัน

### (3) นัมเบอร์ออฟซิลเดรน (Number of Children - NOC)

มาตรวัด NOC วัดจำนวนคลาสลูก (Subclass) ที่รับทอดเมทอดมาจากคลาสภายในลำดับชั้น จากรูปที่ 2.21 ข้างต้น แสดงตัวอย่างการพิจารณามาตรวัด NOC โดยคลาส Student มีค่ามาตรวัด NOC เท่ากับ 2 กรณีที่มีจำนวนคลาสลูกมากอาจส่งผลต่อการใช้ความพยายามและเวลาสำหรับการทดสอบเมทอดของคลาสมาก หรือแสดงว่าการกำหนดคลาสไม่เหมาะสม โดยคลาสลูกบางคลาสอาจไม่ถูกเรียกใช้งาน การมีจำนวนคลาสลูกมากสามารถส่งผลต่อความสามารถการนำกลับมาใช้ใหม่

## (4) คัพปลิงบีทวินอ็อบเจกต์คลาส (Coupling Between Object classes - CBO)

มาตรวัด CBO วัดจำนวนคลาสที่สัมพันธ์กับคลาสที่พิจารณา สามารถพิจารณาความสัมพันธ์ระหว่างคลาสจากการเรียกใช้งานเมทอดของคลาสอื่นหรือมีการประกาศตัวแปรอินสแตนซ์ (Instance Variable) ดังรูปที่ 2.22 แสดงตัวอย่างการพิจารณามาตรวัด CBO โดยคลาส Book มีค่ามาตรวัด CBO เท่ากับ 2 เนื่องจากภายในคลาส Book ประกาศตัวแปรอินสแตนซ์ของคลาส Sales และคลาส Publication



รูปที่ 2.22 ตัวอย่างคลาสไดอะแกรม ของ Aggarwal และคณะ (2006)

หากค่ามาตรวัด CBO มีค่าสูงแสดงว่ามีคัพปลิง (Coupling) สูงเช่นกัน ส่งผลต่อความสามารถการนำกลับมาใช้ใหม่ในซอฟต์แวร์อื่นทำได้ยาก และการแก้ไขซอฟต์แวร์สามารถส่งผลกระทบต่อคลาสอื่นได้มาก ความสามารถการบำรุงรักษาจึงทำได้ยากเช่นกัน อีกทั้งยังส่งผลให้เกิดความซับซ้อนและยากต่อการทำความเข้าใจเนื่องจากมีคลาสที่มาเกี่ยวข้องจำนวนมาก

## (5) เรสพอนซ์ฟอร์อะคลาส (Response For a Class - RFC)

มาตรวัด RFC วัดความซับซ้อนของคลาสจากจำนวนการสื่อสารระหว่างคลาสอื่นๆ โดยพิจารณาจากจำนวนเมทอดทั้งหมดที่ทำงานเพื่อตอบสนองต่อสาร (Message) ที่ได้รับมาจากอ็อบเจกต์ของคลาสหรือจากบางเมทอดภายในคลาส รวมถึงเมทอดทั้งหมดที่สามารถเข้าถึงได้ในลำดับชั้นคลาส มาตรวัด RFC = |RS| สามารถแสดงด้วยสมการดังนี้

$$RS = \{M_i\} \cup \text{all } j\{R_{ij}\}$$

โดย  $M_i$  คือเซตของเมทอดทั้งหมดภายในคลาส

$R_{ij}$  คือเซตของเมทอดที่ถูกเรียกใช้งานจาก  $M_i$

จากรูปที่ 2.22 ข้างต้น แสดงตัวอย่างการพิจารณามาตรวัด RFC โดยภายในคลาส Book เมทอด getdata() และ display() ได้เรียกใช้งานเมทอดของคลาส Sales และ Publication ด้วย ดังนั้นค่ามาตรวัด RFC จึงมีค่าเท่ากับ 7 หากมีเมทอดจำนวนมากที่ทำงานตอบสนองต่อคลาสสามารถแสดงถึงความซับซ้อนของคลาสที่มากเช่นกัน รวมถึงการทำความเข้าใจที่ยากและต้องใช้เวลาในการทดสอบนาน

## (6) แลคออฟโคฮีชันอินเมทอด (Lack of Cohesion in Methods - LCOM)

มาตรวัด LCOM วัดระดับความเกี่ยวข้องกันระหว่างเมทอดภายในคลาส โดยพิจารณาจากแอตทริบิวต์หรือตัวแปรอินสแตนซ์ที่นำไปใช้ในเมทอดของคลาส หากเมทอดมีความเกี่ยวข้องกันมาก มักใช้ชุดตัวแปรเดียวกัน ค่ามาตรวัด LCOM สามารถพิจารณาได้ดังสมการ ดังนี้

$$LCOM = |P| - |Q|, \text{ if } |P| > |Q|$$

โดย P คือ  $\{(I_i, I_j) \mid I_i \cap I_j = \emptyset\}$  จำนวนเซตอินเตอร์เซคมีค่าเป็น 0

Q คือ  $\{(I_i, I_j) \mid I_i \cap I_j \neq \emptyset\}$  จำนวนเซตอินเตอร์เซคมีค่าไม่เป็น 0

I คือ เซตของตัวแปรอินสแตนซ์ที่ใช้ในเมทอดหนึ่งๆ

กำหนดตัวอย่างให้มีเมทอดทั้งหมด 4 เมทอด โดยแต่ละเมทอดมีเซตของตัวแปรอินสแตนซ์ที่ใช้ในเมทอดดังนี้

$I_1 = \{\text{book\_id, pub\_id, book\_name, author\_name, price}\}$

$I_2 = \{\text{book\_id}\}$

$I_3 = \{\text{book\_name}\}$

$I_4 = \{\text{author\_name}\}$

ค่ามาตรวัด LCOM ของคลาสมีค่าเท่ากับ 0 เนื่องจาก P และ Q มีค่าเป็น 3 ( $LCOM = |3| - |3|$ ) โดย P เป็นเซตอินเตอร์เซคที่มีค่าเป็น 0 ได้แก่  $I_2 \cap I_3$ ,  $I_2 \cap I_4$  และ  $I_3 \cap I_4$  ส่วน P เป็นเซตอินเตอร์เซคที่มีค่าไม่เป็น 0 ได้แก่  $I_1 \cap I_2$ ,  $I_1 \cap I_3$  และ  $I_1 \cap I_4$

หากค่ามาตรวัด LCOM มีค่าสูงแสดงว่ามีโคฮีชัน (Cohesion) ต่ำ คลาสที่มีค่ามาตรวัด LCOM สูงสามารถปรับปรุงได้ด้วยการแบ่งคลาสให้เล็กลงเพื่อเพิ่มโคฮีชัน แต่หากมีค่ามาตรวัด LCOM ต่ำจะแสดงถึงการห่อหุ้มที่ดี (Encapsulation)

- **มาตรวัดเชิงแอสเป็ก (Aspect-oriented metrics – AO metrics)**

การโปรแกรมเชิงแอสเป็กนำมาใช้เพื่อแก้ไขปัญหาโค้ดกระจัดกระจายและโค้ดพันกันที่เกิดจากการพัฒนาด้วยการโปรแกรมเชิงวัตถุ ดังนั้นการพัฒนาด้วยการโปรแกรมเชิงแอสเป็กจึงยังคงการอิมพลิเมนต์ฟังก์ชันหลักด้วยการโปรแกรมเชิงวัตถุ และนำโครงสร้างของแอสเป็กเข้ามาปรับปรุงซอร์สโค้ด มาตรวัดเชิงแอสเป็กส่วนใหญ่จึงมีการปรับปรุงแนวคิดมาจากมาตรวัดเชิงวัตถุ โดยมีหลายงานวิจัยนำเสนอมาตรวัดเอาไว้ ได้แก่

Zhao (2002) นำเสนอมาตรวัดสำหรับวัดความซับซ้อนของซอฟต์แวร์เชิงแอสเป็กโดยพิจารณาจากความสัมพันธ์ของการขึ้นต่อกัน (Program dependence relation) สามารถพิจารณาในหลายระดับทั้งระดับโมดูล แอสเป็ก และระบบ

Sant'Anna และคณะ (2003) เสนอกรอบแนวคิดสำหรับประเมินคุณภาพ โดยมาตรวัดที่นำเสนอสามารถจำแนกเป็นมาตรวัดเกี่ยวกับการแยกคอนเซิร์น (Separation of concern) คัพพลิง (Coupling) โคฮีชัน (Cohesion) และขนาด (Size)

ส่วน Ceccato และ Tonella (2004) นำเสนอชุดมาตรวัดที่ปรับปรุงจากมาตรวัดเชิงวัตถุของ Chidamber และ Kemerer (1993) โดยเพิ่มเติมเกี่ยวกับนิยามแอสเป็กเพื่อให้สามารถนำมาใช้ประเมินซอฟต์แวร์เชิงแอสเป็ก โดยกำหนดให้มอดูล (Module) เป็นคำแทนคลาสและแอสเป็ก ส่วน

โอเปอเรชัน (Operation) เป็นค่าแทนเมทรีต แอดไวซ์ และอินโทรดักชัน มาตรฐานเชิงแอสเป็กมีทั้งหมด 10 มาตรฐาน (Ceccato and Tonella, 2004) ดังนี้

(1) เวทเทตโอเปอเรชันอินมอดูล (Weighted Operations in Module - WOM) คือจำนวนโอเปอเรชันภายในมอดูล ได้แก่ จำนวนเมทรีต จำนวนแอดไวซ์ และจำนวนอินโทรดักชันที่มีภายในคลาสหรือแอสเป็ก โดยมาตรฐาน WOM สามารถนำมาพิจารณาความซับซ้อนของคลาสและแอสเป็ก

(2) เดพธออฟินเฮริเทนทรี (Depth of Inheritance Tree - DIT) คือระดับความลึกจากมอดูลถึงคลาสหรือแอสเป็กที่เป็นรูทในลำดับชั้น ดังนั้นจึงสามารถนับจากจำนวนชั้นการรับทอดจากมอดูลไปยังรูท

(3) นัมเบอร์ออฟซิลเดรน (Number Of Children - NOC) คือจำนวนคลาสลูกหรือจำนวนซับแอสเป็กของมอดูลที่พิจารณา

(4) ครอสคัทดีกรีออฟแอสเป็ก (Crosscutting Degree of an Aspect - CDA) คือจำนวนมอดูลทั้งหมดที่ได้รับผลกระทบจากพอยท์คัทและอินโทรดักชันที่กำหนดภายในแอสเป็ก หรือจำนวนมอดูลทั้งหมดที่ถูกขัดขวางการทำงานจากแอสเป็กที่พิจารณา

(5) คัพปลิงออนแอดไวซ์เอ็กซีคิวชัน (Coupling on Advice Execution - CAE) คือจำนวนแอสเป็กทั้งหมดที่ภายในมีแอดไวซ์ที่ทำงานเมื่อการดำเนินการของโอเปอเรชันเกิดขึ้นภายในมอดูลที่พิจารณา หรือจำนวนแอสเป็กทั้งหมดที่สามารถเข้ามาขัดขวางการทำงานของมอดูลที่พิจารณา

(6) คัพปลิงออนเมทรีตคอลล (Coupling on Method Call - CMC) คือจำนวนมอดูลทั้งหมดที่มีโอเปอเรชันที่สามารถเรียกใช้งานได้จากมอดูลที่พิจารณา

(7) คัพปลิงออนฟิลด์แอคเซส (Coupling on Field Access - CFA) คือจำนวนมอดูลทั้งหมดที่มีฟิลด์ (Field) ที่สามารถเข้าถึงได้จากมอดูลที่พิจารณา

(8) คัพปลิงบิทวินมอดูล (Coupling between Modules - CBM) คือจำนวนความสัมพันธ์ระหว่างมอดูล โดยพิจารณาความสัมพันธ์จากการเรียกใช้งานโอเปอเรชันและการเข้าถึงฟิลด์ของมอดูลอื่น

(9) เรสปอนซ์ฟอร์อะมอดูล (Response For a Module - RFM) คือจำนวนเมทรีตและแอดไวซ์ที่ทำงานเพื่อตอบสนองต่อสาร (Message) ที่ได้รับจากมอดูลที่กำหนด

(10) แลคคอปโคฮีชันอินโอเปอเรชัน (Lack of Cohesion in Operations - LCO) คือความสัมพันธ์ระหว่างโอเปอเรชันภายในมอดูล พิจารณาจากจำนวนคู่ของโอเปอเรชันที่เข้าถึงฟิลด์ของคลาสและแอสเป็กแตกต่างกันหักลบกับจำนวนคู่ของโอเปอเรชันที่เข้าถึงฟิลด์เดียวกัน

เนื่องจากมาตรฐานเชิงแอสเป็กของ Ceccato และ Tonella (2004) เป็นชุดมาตรฐานที่ปรับปรุงจากมาตรฐานเชิงวัตถุของ Chidamber และ Kemerer (1993) สามารถเปรียบเทียบนิยามระหว่างมาตรฐานเชิงวัตถุและมาตรฐานเชิงแอสเป็กที่มีนิยามคล้ายกันได้ดังตารางที่ 2.2

ตารางที่ 2.2 ข้อแตกต่างของนิยามระหว่างมาตรวัดเชิงวัตถุและมาตรวัดเชิงแอสเป็ก

ลำดับ	มาตรวัดเชิงวัตถุ/ มาตรวัดเชิงแอสเป็ก	นิยามมาตรวัด	
		ความแตกต่าง	ความเหมือน
1	Weighted Method per Class (WMC)	-	จำนวนเมทอดที่อิมพลีเมนต์ภายในคลาส
	Weighted Operations in Module (WOM)	จำนวนแอดไวซ์ที่อิมพลีเมนต์ภายในแอสเป็ก	
2	Depth of Inheritance Tree (DIT)	-	ระดับความลึกของคลาสภายในลำดับชั้นการรับทอด
	Depth of Inheritance Tree (DIT)	ระดับความลึกของแอสเป็กภายในลำดับชั้นการรับทอด	
3	Number of Children (NOC)	-	จำนวนคลาสลูก
	Number Of Children (NOC)	จำนวนซับแอสเป็ก	
4	Coupling Between Object classes (CBO)	ความสัมพันธ์ระหว่างคลาสที่เกิดจากการประกาศตัวแปรอินสแตนซ์ของคลาสอื่น	ความสัมพันธ์ระหว่างคลาสที่เกิดจากการเรียกใช้งานเมทอดของคลาสอื่น
	Coupling on Method Call (CMC)	-	
5	Coupling Between Object classes (CBO)	ความสัมพันธ์ระหว่างคลาสที่เกิดจากการประกาศตัวแปรอินสแตนซ์ของคลาสอื่น	ความสัมพันธ์ระหว่างคลาสที่เกิดจากการเรียกใช้งานเมทอดของคลาสอื่น
	Coupling between Modules (CBM)	ความสัมพันธ์ระหว่างคลาสหรือแอสเป็กที่เกิดจากการเข้าถึงฟิลด์ของมอดูลอื่น	
6	Response For a Class (RFC)	-	จำนวนเมทอดที่ทำงานตอบสนองต่อคลาส
	Response For a Module (RFM)	จำนวนแอดไวซ์ที่เข้ามาขัดขวางการทำงานคลาส	
7	Lack of Cohesion in Methods (LCOM)	-	ความเกี่ยวข้องกันระหว่างเมทอดภายในคลาสจากการเข้าถึงฟิลด์ของคลาส
	Lack of Cohesion in Operations (LCO)	ความเกี่ยวข้องกันระหว่างแอดไวซ์ภายในแอสเป็กจากการเข้าถึงฟิลด์ของแอสเป็ก	

จากมาตรวัดเชิงวัตถุของ Chidamber และ Kemerer (1993) ทั้งหมด 6 มาตรวัด สามารถใช้วัดคุณลักษณะภายในของคุณภาพเพื่อประเมินคุณลักษณะภายนอกของซอฟต์แวร์ได้ สำหรับงานวิจัยนี้วิเคราะห์ความสัมพันธ์ระหว่างมาตรวัดเชิงวัตถุกับคุณภาพซอฟต์แวร์ โดยอ้างอิงจากงานวิจัยของ Kulkarni, Kalshetty และ Arde (2010) ที่พิจารณาคูณภาพซอฟต์แวร์ ได้แก่ ความสามารถในการทำความเข้าใจ (Understandability) ความสามารถการบำรุงรักษา (Maintainability) ความสามารถการนำกลับมาใช้ใหม่ (Reusability) และความสามารถการทดสอบ (Testability) สามารถแสดงความสัมพันธ์ได้ดังตารางที่ 2.3

ตารางที่ 2.3 ความสัมพันธ์ระหว่างมาตรวัดเชิงวัตถุและคุณภาพซอฟต์แวร์ของ Kulkarni, Kalshetty และ Arde (2010)

คุณภาพซอฟต์แวร์	มาตรวัดเชิงวัตถุของ Chidamber และ Kemerer (1993)					
	Weighted Method per Class (WMC)	Depth of Inheritance Tree (DIT)	Number of Children (NOC)	Coupling Between Object classes (CBO)	Response For a Class (RFC)	Lack of Cohesion in Methods (LCOM)
Understandability	-	✓	-	✓	✓	-
Maintainability	✓	-	-	✓	-	-
Reusability	✓	✓	✓	✓	-	-
Testability	-	-	✓	✓	✓	-

จากมาตรวัดเชิงแอสเป็กของ Ceccato และ Tonella (2004) ทั้งหมด 10 มาตรวัด สามารถใช้วัดคุณลักษณะภายในของคุณภาพเพื่อประเมินคุณลักษณะภายนอกของซอฟต์แวร์ได้เช่นกัน สำหรับงานวิจัยนี้วิเคราะห์ความสัมพันธ์ระหว่างมาตรวัดเชิงแอสเป็กกับคุณภาพซอฟต์แวร์ โดยอ้างอิงจากงานวิจัยของ Sirbi และ Kulkarni (2013) ที่แสดงความสัมพันธ์เพียงบางมาตรวัด ได้แก่ มาตรวัด WOM CBM RFM และ LCO ดังตารางที่ 2.4



ตารางที่ 2.4 ความสัมพันธ์ระหว่างมาตรวัดเชิงแอสเป็กและคุณภาพซอฟต์แวร์  
ของ Sirbi และ Kulkarni (2013)

คุณภาพซอฟต์แวร์	มาตรวัดเชิงแอสเป็ก ของ Ceccato และ Tonella (2004)			
	Weighted Operations in Module (WOM)	Coupling between Modules (CBM)	Response For a Module (RFM)	Lack of Cohesion in Operations (LCO)
Efficiency	-	-	-	✓
Complexity	✓	-	-	-
Understandability	-	-	✓	-
Maintainability	✓	✓	-	-
Reusability	-	✓	-	✓
Testability	-	-	✓	-

## 2.7 งานวิจัยที่เกี่ยวข้อง

สำหรับการเปรียบเทียบคุณภาพของซอฟต์แวร์เชิงแอสเป็กต์มีงานวิจัยในอดีตที่เกี่ยวข้องดังนี้ Kulesza และคณะ (2006) ศึกษาการเปรียบเทียบคุณภาพซอฟต์แวร์ด้านความสามารถการบำรุงรักษาของซอฟต์แวร์ที่พัฒนาด้วยการโปรแกรมเชิงวัตถุและซอฟต์แวร์ที่พัฒนาด้วยการโปรแกรมเชิงแอสเป็กต์ ภาษาที่ใช้พัฒนาคือภาษาจาวาและภาษาแอสเป็กต์ตามลำดับ หน่วยตัวอย่างที่ใช้ศึกษาคือ เฮลท์วอตเชอร์ (HealthWatcher) โดยการพัฒนาด้วยการโปรแกรมเชิงแอสเป็กต์มีการจัดการครอสคัทตั้งคอนเซิร์น ได้แก่ ดิสทริบิวชัน (Distribution) เพอร์ซิสเทนซ์ (Persistence) และคอนเคอร์เรนซี (Concurrency) การทดลองจึงเปรียบเทียบความสามารถการบำรุงรักษาของทั้งสองซอฟต์แวร์ โดยปรับปรุงซอฟต์แวร์ตามเหตุการณ์ (scenario) ที่กำหนด และประเมินคุณภาพจากมาตรวัดซอฟต์แวร์ที่สามารถแบ่งมาตรวัดตามคุณลักษณะของซอฟต์แวร์ดังนี้ การแยกคอนเซิร์น (Separation of concern) คัพปลิง (Coupling) โคฮีชัน (Cohesion) และ ขนาด (Size) จากการทดลองได้แสดงผลมาตรวัดทั้งก่อนและหลังการบำรุงรักษาของซอฟต์แวร์ตามเหตุการณ์ที่กำหนด พบว่าคุณภาพโดยรวมของซอฟต์แวร์ที่พัฒนาด้วยการโปรแกรมเชิงแอสเป็กต์มีคุณภาพดีกว่าซอฟต์แวร์ที่พัฒนาด้วยการโปรแกรมเชิงวัตถุ เนื่องจากการพัฒนาด้วยการโปรแกรมเชิงแอสเป็กต์แสดงให้เห็นว่าจำนวนบรรทัดของโค้ดลดลง การแยกคอนเซิร์นของซอฟต์แวร์ปรับปรุงดีขึ้น คัพปลิงระหว่างโมดูลลดลง และความซับซ้อนภายในส่วนของโปรแกรมลดลง การพัฒนาซอฟต์แวร์ด้วยการโปรแกรมเชิงแอสเป็กต์จึงสามารถให้คุณภาพด้านความสามารถการบำรุงรักษาที่ดีกว่าการพัฒนาด้วยการโปรแกรมเชิงวัตถุ

Mguni และ Ayalew (2013) ศึกษาการเปรียบเทียบคุณภาพซอฟต์แวร์ด้านความสามารถการบำรุงรักษา โดยเปรียบเทียบระหว่างซอฟต์แวร์ที่พัฒนาด้วยการโปรแกรมเชิงวัตถุและการโปรแกรมเชิงแอสเป็กต์เช่นกัน แต่งานวิจัยของ Mguni และ Ayalew (2013) มุ่งเน้นศึกษาการพัฒนาของระบบสำเร็จรูป (COTS-based system) โดยหน่วยตัวอย่างที่ใช้ศึกษาคือ โอเพนบราโวพีโอเอส (OpenBravoPOS) เป็นตัวอย่างระบบสำเร็จรูปเกี่ยวข้องกับธุรกิจขายปลีก และการประเมินคุณภาพใช้ชุดมาตรวัดสองชุด ได้แก่ ชุดมาตรวัดระดับคอนเซิร์น (Concern level metrics) และชุดมาตรวัดความซับซ้อนทางโครงสร้าง (Structural Complexity Metrics) โดยชุดมาตรวัดความซับซ้อนทางโครงสร้างเป็นชุดมาตรวัดที่นำมาใช้เช่นเดียวกันกับในงานวิจัย การปรับปรุงโอเพนบราโวพีโอเอสด้วยการโปรแกรมเชิงแอสเป็กต์เลือกจัดการครอสคัทตั้งคอนเซิร์น ได้แก่ การจัดการช่วงเวลาสื่อสาร (Session management) การบันทึกล็อก (Logging) และการจัดการข้อยกเว้น (Exceptional handling) จากนั้นเก็บรวบรวมค่ามาตรวัดทั้งหมดของโอเพนบราโวพีโอเอสทั้งเวอร์ชันเชิงวัตถุและเชิงแอสเป็กต์ พบว่าชุดมาตรวัดความซับซ้อนทางโครงสร้าง ค่าแต่ละมาตรวัดของโอเพนบราโวพีโอเอสที่ปรับปรุงด้วยแอสเป็กต์แสดงค่ามาตรวัดลดลง ยกเว้นมาตรวัด CDA และ CAE เป็นมาตรวัดที่พิจารณา คัพปลิงของแอสเป็กต์โดยตรง ค่ามาตรวัด CDA และ CAE ของโอเพนบราโวพีโอเอสเวอร์ชันเชิงวัตถุจึงมีค่าเท่ากับ 0 ส่วนชุดมาตรวัดระดับคอนเซิร์นแสดงผลค่าแต่ละมาตรวัดของโอเพนบราโวพีโอเอสที่จัดการด้วยแอสเป็กต์ให้ผลค่ามาตรวัดที่ดีขึ้นเช่นกัน นอกจากนี้ยังได้กำหนดภารกิจสำหรับการบำรุงรักษา (Maintenance task) เพื่อประเมินความสามารถการบำรุงรักษาของโอเพนบราโวพีโอเอส

ทั้งสองเวอร์ชัน โดยประเมินจากความสามารถการเปลี่ยนแปลง (Changeability) จากการปรับปรุงตามภารกิจที่กำหนดทั้งหมด 2 ภารกิจ และพิจารณาจากการเปลี่ยนแปลงของโค้ด เช่น จำนวนของโมดูล จำนวนโอเปอเรชัน และจำนวนบรรทัดของโค้ดที่เพิ่ม/นำออกหรือถูกปรับปรุง ผลแสดงให้เห็นว่าโอเพ่นบราโวพีโอเอสที่พัฒนาด้วยการโปรแกรมเชิงวัตถุได้รับผลกระทบจากการเปลี่ยนแปลงตามภารกิจที่กำหนดมากกว่า กล่าวคือมีจำนวนโมดูล จำนวนโอเปอเรชัน และจำนวนบรรทัดของโค้ดที่ถูกแก้ไขมากกว่า ดังนั้นทั้งจากการประเมินชุดมาตรวัดสองชุดและจากการปรับปรุงตามภารกิจการบำรุงรักษาแสดงผลสอดคล้องตรงกันว่าโอเพ่นบราโวพีโอเอสที่ปรับปรุงด้วยการโปรแกรมเชิงแอสเป็กมีคุณภาพความสามารถการบำรุงรักษาที่ดีกว่าการพัฒนาด้วยการโปรแกรมเชิงวัตถุ

Kumar และคณะ (2007) วัดความสามารถการเปลี่ยนแปลง (Changeability) ของซอฟต์แวร์เชิงแอสเป็ก โดยความสามารถการเปลี่ยนแปลงเป็นคุณลักษณะย่อยของความสามารถการบำรุงรักษา การทดลองประเมินความสามารถการเปลี่ยนแปลงจากผลกระทบของการเปลี่ยนแปลง (change impact) และมาตรวัดซอฟต์แวร์ของ Ceccato และ Tonella (2004) หน่วยตัวอย่างที่นำมาใช้ในการทดลองเป็นโปรเจกต์เชิงแอสเป็กที่มีจำนวนโมดูลทั้งหมด 149 โมดูล ปรับปรุงด้วยภาษาแอสเป็กเจ ผลการทดลองพบว่าค่าเฉลี่ยผลกระทบของการเปลี่ยนแปลงมีค่าต่ำกว่า 1 และมีค่าน้อยกว่าเมื่อเทียบกับค่าเฉลี่ยผลกระทบของการเปลี่ยนแปลงของซอฟต์แวร์เชิงวัตถุ ซอฟต์แวร์เชิงแอสเป็กจึงง่ายต่อการเปลี่ยนแปลงแก้ไขมากกว่าซอฟต์แวร์เชิงวัตถุ นอกจากนี้ยังกล่าวว่าการวัดเชิงแอสเป็กสามารถนำมาใช้เป็นตัวชี้วัดของความสามารถการเปลี่ยนแปลงและความสามารถการบำรุงรักษาได้ด้วย

Sirbi และ Kulkarni (2013) ศึกษาการใช้ดีไซน์แพตเทิร์น (Design pattern) ได้แก่ อ็อบเซิร์ฟเวอร์แพตเทิร์น (Observer pattern) โดยเปรียบเทียบระหว่างการพัฒนาด้วยการโปรแกรมเชิงวัตถุและการโปรแกรมเชิงแอสเป็กเพื่อประเมินคุณภาพการออกแบบ (Design quality) โดยพิจารณามาตรวัดบางส่วนจากชุดมาตรวัดของ Ceccato และ Tonella (2004) ที่ปรับปรุงจากมาตรวัดซีเค ได้แก่ มาตรวัด WOM CBM RFM และ LCOM ผลจากการทดลองพบว่าการพัฒนาอ็อบเซิร์ฟเวอร์แพตเทิร์นด้วยแอสเป็กส่งผลให้คุณภาพด้านความสามารถการบำรุงรักษา (Maintainability) ความสามารถการนำกลับมาใช้ใหม่ (Reusability) ความสามารถในการทำความเข้าใจ (Understandability) และความสามารถการทดสอบ (Testability) ปรับปรุงดีขึ้น เนื่องจากค่ามาตรวัด WOM RFM และ LCOM ให้ผลค่ามาตรวัดที่ดีกว่าเมื่อเทียบกับการพัฒนาด้วยการโปรแกรมเชิงวัตถุ

Al-Jamimi และคณะ (2011) ศึกษาผลกระทบของการใช้แอสเป็กรีแฟคทอริงต่อคุณภาพซอฟต์แวร์ด้านความสามารถการบำรุงรักษา โดยประเมินคุณภาพจากมาตรวัดซอฟต์แวร์ที่ปรับปรุงจากมาตรวัดซีเค ได้แก่ มาตรวัด DIT, CBC, LCOO, WOC, NOA และ LOC แอสเป็กรีแฟคทอริงที่นำมาศึกษามีหลายเทคนิคเพื่อนำผลคุณภาพของแต่ละเทคนิคมาประเมินและจำแนกกลุ่มแอสเป็กรีแฟคทอริงที่ให้ผลดีต่อคุณภาพซอฟต์แวร์ โดยแอสเป็กรีแฟคทอริงที่พิจารณาจะปรับปรุงแก้ไขโค้ดแอสเป็กเพียงอย่างเดียวไม่เกี่ยวข้องกับคลาส สามารถแบ่งวิธีแอสเป็กรีแฟคทอริงออกเป็นสองกลุ่มใหญ่ๆ ได้แก่ กลุ่มแอสเป็กรีแฟคทอริงที่ใช้กับภายในแอสเป็ก และกลุ่มแอสเป็กรีแฟคทอริงที่ใช้ระหว่างแอสเป็ก หน่วยตัวอย่างเป็นซอฟต์แวร์เชิงแอสเป็กทั้งหมด 6 หน่วยตัวอย่าง ได้แก่ พีริเวีย

เลอร์ (Prevayler) เอเจฮอตดรอว์ (AJHotDraw) แอสเป็กเททริส (AspectTetris) เอเจอีเอฟดับเบิลยู (AJEFW) เทเลคอม (Telecom) และสเปซวอร์ (SpaceWar) ผลจากค่ามาตรวัดทำให้สามารถจำแนกกลุ่มแอสเป็กทีฟแพททอริงที่ให้ผลดีต่อความสามารถการบำรุงรักษา พบว่ากลุ่มแอสเป็กทีฟแพททอริงที่ใช้ระหว่างแอสเป็กทั้งหมดสามารถช่วยปรับปรุงคุณภาพความสามารถการบำรุงรักษาให้ดีขึ้น แต่กลุ่มแอสเป็กทีฟแพททอริงที่ใช้กับภายในแอสเป็กส่วนใหญ่ส่งผลให้การบำรุงรักษาซอฟต์แวร์ทำได้ยากขึ้นหรือไม่ส่งผลต่อคุณภาพซอฟต์แวร์ และเนื่องจากงานวิจัยนี้พิจารณาแอสเป็กทีฟแพททอริงที่ปรับปรุงแค่เพียงโค้ดของแอสเป็ก จึงแตกต่างกับงานวิจัยนี้ที่เลือกแอสเป็กทีฟแพททอริงที่ปรับปรุงโค้ดของคลาส

นอกจากการเปรียบเทียบคุณภาพซอฟต์แวร์ที่สำคัญต่อการพัฒนาซอฟต์แวร์แล้ว Hanenberg, Kleinschmager และ Walter (2009) ได้นำเสนอข้อพิสูจน์ของการพัฒนาซอฟต์แวร์ด้วยการโปรแกรมเชิงแอสเป็ก โดยเปรียบเทียบเวลาที่ใช้พัฒนาระหว่างการพัฒนาแบบการโปรแกรมเชิงวัตถุและการโปรแกรมเชิงแอสเป็ก เพื่อช่วยในการตัดสินใจสำหรับการนำการโปรแกรมเชิงแอสเป็กมาใช้ในการพัฒนาซอฟต์แวร์ เป้าหมายงานวิจัยจึงสนใจว่าการโปรแกรมเชิงแอสเป็กน่าจะให้ผลเวลาที่ใช้ในการพัฒนาแ่งบวก โดยระบุเพิ่มเติมว่าหากนำการโปรแกรมเชิงแอสเป็กมาช่วยจัดการโค้ดโคลนที่มีจำนวนซ้ำมาก การใช้แอสเป็กน่าจะช่วยประหยัดเวลาในการพัฒนาได้มากกว่าการโปรแกรมเชิงวัตถุ แต่หากนำการโปรแกรมเชิงแอสเป็กมาช่วยจัดการโค้ดโคลนที่มีจำนวนซ้ำน้อย การโปรแกรมเชิงแอสเป็กน่าจะทำให้ความเร็วในการพัฒนาลดลง

การทดลองใช้หน่วยทดลองทั้งหมด 20 คนสำหรับเข้าร่วมทดลองพัฒนาในรูปแบบการโปรแกรมเชิงแอสเป็กและการโปรแกรมเชิงวัตถุ ก่อนการทดลองจะสอนหน่วยทดลองเกี่ยวกับภาษาแอสเป็กเจเป็นเวลา 1.5 ชั่วโมง รายละเอียดของการทดลองมีดังนี้

- การทดลองให้หน่วยทดลองพัฒนาครอสคัทติ้งคอนเซิร์นในซอร์สโค้ดของซอฟต์แวร์ตั้งต้นที่กำหนดไว้ให้ เป็นซอฟต์แวร์เกมขนาดเล็กประกอบด้วยจำนวนแพ็คเกจ 3 แพ็คเกจ จำนวนคลาส 9 คลาส จำนวนเมทอด 110 เมทอด จำนวนคอนสตรัคเตอร์ 8 คอนสตรัคเตอร์ และจำนวนตัวแปรอินสแตนซ์ 37 ตัวแปร ซอฟต์แวร์พัฒนาด้วยภาษาจาวา (Java)

- การทดลองกำหนดให้หน่วยทดลองพัฒนาทั้งหมด 9 ครอสคัทติ้งคอนเซิร์น แต่ละครอสคัทติ้งคอนเซิร์นมีจำนวนโค้ดโคลนระบุไว้ โดยการพัฒนาทั้ง 9 ครอสคัทติ้งคอนเซิร์นด้วยการโปรแกรมเชิงวัตถุใช้ภาษาจาวา (Java) และการพัฒนาด้วยการโปรแกรมเชิงแอสเป็กใช้ภาษาแอสเป็กเจ (AspectJ)

- การทดลองแบ่งหน่วยทดลองออกเป็นสองกลุ่ม กลุ่มละ 10 คน โดยกลุ่มแรกให้พัฒนาทั้ง 9 ครอสคัทติ้งคอนเซิร์นด้วยการโปรแกรมเชิงวัตถุก่อนเสร็จแล้วจึงพัฒนาด้วยการโปรแกรมเชิงแอสเป็ก กลุ่มที่สองให้พัฒนาทั้ง 9 ครอสคัทติ้งคอนเซิร์นด้วยการโปรแกรมเชิงแอสเป็กก่อนเสร็จแล้วจึงพัฒนาด้วยการโปรแกรมเชิงวัตถุ และเก็บข้อมูลเวลาที่ใช้พัฒนาจากหน่วยทดลองทั้ง 20 คน

ผลการทดลองพบว่าการพัฒนาครอสคัทติ้งคอนเซิร์นเกี่ยวกับการบันทึกล็อก (Logging) และการตรวจสอบตัวชี้ว่าง (Nullpointer check) ที่มีจำนวนโค้ดโคลนเท่ากับ 110 และ 36 โค้ดโคลนตามลำดับ การพัฒนาด้วยการโปรแกรมเชิงแอสเป็กให้ผลเวลาที่ใช้พัฒนานิดกว่าการโปรแกรมเชิงวัตถุ แต่การพัฒนาครอสคัทติ้งคอนเซิร์นเกี่ยวกับการซิงโครไนซ์ (Synchronization) ที่มีจำนวนโค้ดโคลน

เท่ากับ 52 โค้ดโคลนไม่เห็นความแตกต่างของเวลาที่ใช้พัฒนาระหว่างการพัฒนาด้วยการโปรแกรมเชิงวัตถุและการโปรแกรมเชิงแอสเป็ก ส่วนการพัฒนาอีก 6 ครอสส์ที่ตั้งคอนเซิร์นที่เหลือที่มีจำนวนโค้ดโคลนต่ำกว่า 36 โค้ดโคลนพบว่าเวลาที่ใช้ในการพัฒนาของการโปรแกรมเชิงวัตถุดีกว่าการโปรแกรมเชิงแอสเป็ก ดังนั้นจากผลดังกล่าวการจัดการครอสส์ที่ตั้งคอนเซิร์นที่มีจำนวนโค้ดโคลนมากกว่า 36 โค้ดโคลน ด้วยการโปรแกรมเชิงแอสเป็กสามารถพัฒนาได้เร็วกว่าเมื่อเทียบกับการโปรแกรมเชิงวัตถุ

จากงานวิจัยข้างต้นพิจารณาแค่เพียงเวลาที่ใช้พัฒนาแต่เนื่องจากการตัดสินใจนำการโปรแกรมเชิงแอสเป็กมาใช้ควรพิจารณาคุณภาพซอฟต์แวร์ร่วมด้วย ผู้วิจัยจึงสนใจศึกษาคุณภาพซอฟต์แวร์ของการจัดการโค้ดที่มีจำนวนซ้ำของโค้ดโคลนแตกต่างกัน นอกจากนี้เพื่อควบคุมผลคุณภาพซอฟต์แวร์ที่ได้ให้เกิดจากจำนวนซ้ำของโค้ดโคลนอย่างแท้จริง ผู้วิจัยจึงเลือกโค้ดโคลนที่มีลักษณะโค้ดเหมือนกันหรือใกล้เคียงกันมากที่สุด โดยงานวิจัยนี้เลือกศึกษาการจัดการเมทอดคอลที่ซ้ำกันในหลายคลาสด้วยแอสเป็ก อีกทั้งการศึกษาคุณภาพซอฟต์แวร์ของการจัดการเมทอดคอลที่ซ้ำกันด้วยแอสเป็กยังไม่พบการศึกษาของงานวิจัยในอดีต ผู้วิจัยจึงสนใจเปรียบเทียบคุณภาพซอฟต์แวร์ของการจัดการเมทอดคอลที่ซ้ำกันด้วยแอสเป็ก โดยเปรียบเทียบระหว่างการจัดการจำนวนซ้ำของเมทอดคอลที่แตกต่างกัน

## บทที่ 3

### ระเบียบวิธีวิจัย

#### 3.1 บทนำ

ในบทนี้นำเสนอถึงแนวทางในการทำวิจัยเพื่อตอบวัตถุประสงค์ของการวิจัย การนำเสนอประกอบด้วย (1) ตัวแปรสำคัญที่ศึกษา (2) แนวทางการศึกษาและการทดสอบสมมติฐาน (3) ประชากรและหน่วยตัวอย่าง (4) เครื่องมือการดำเนินการ (5) แนวทางการดำเนินงานวิจัย (6) ประเด็นของความถูกต้อง (Validity) และความน่าเชื่อถือ (Reliability) ของข้อมูลที่เก็บ และ (7) กรอบการวิเคราะห์ข้อมูล

#### 3.2 ตัวแปรสำคัญที่ศึกษา

งานวิจัยนี้ต้องการตอบวัตถุประสงค์ทั้งหมด 3 ข้อ ได้แก่ (1) เพื่อเปรียบเทียบมาตรวัดเชิงวัตถุของซอฟต์แวร์ที่ปรับปรุงด้วยการทำแอสเป็กกรีแพคทอริงจากจำนวนโค้ดโคลนที่แตกต่างกัน (2) เพื่อเปรียบเทียบมาตรวัดเชิงแอสเป็กกรีของซอฟต์แวร์ที่ปรับปรุงด้วยการทำแอสเป็กกรีแพคทอริงจากจำนวนโค้ดโคลนที่แตกต่างกัน และ (3) เพื่อวิเคราะห์คุณภาพซอฟต์แวร์จากการทำแอสเป็กกรีแพคทอริงด้วยจำนวนโค้ดโคลนที่แตกต่างกัน ตัวแปรสำคัญที่ศึกษามีดังนี้

1. ตัวแปรต้นหรือตัวแปรอิสระ (Independent Variables) มีหนึ่งตัวแปรดังนี้

1.1. จำนวนโค้ดโคลน (Amount of Code Clone) คือ จำนวนซ้ำของเมทอดคอลที่ซ้ำกันในหลายคลาส เกิดจากการอิมพลิเมนต์ครอสคัทตั้งคอนเซิร์น

เนื่องจากการอิมพลิเมนต์ครอสคัทตั้งคอนเซิร์นส่งผลให้เกิดเมทอดคอลซ้ำกันในคลาสต่างๆ ดังนั้นโค้ดโคลนของงานวิจัยนี้จึงกล่าวถึงเมทอดคอลที่ซ้ำกันและกระจายอยู่ในหลายคลาส ตัวอย่างดังรูปที่ 3.1 เมทอดคอลที่ซ้ำกันเกิดขึ้นเนื่องจากการเรียกใช้งานเมทอด  $\log_p()$  ที่เกี่ยวข้องกับครอสคัทตั้งคอนเซิร์นการบันทึกล็อก (Logging) เป็นเมทอดสำหรับแสดงลำดับและรายละเอียดของเมทอดที่ดำเนินการ จากตัวอย่างจำนวนโค้ดโคลนมีค่าเท่ากับ 2 พิจารณาตามจำนวนซ้ำของเมทอดคอลที่เรียกใช้งานเมทอด  $\log_p()$

Marin, Deursen และ Moonen (2007) นำเสนอเทคนิคสำหรับค้นหาครอสคัทตั้งคอนเซิร์นที่พิจารณาจากจำนวนการเรียกใช้งานของเมทอดหรือจำนวนซ้ำของเมทอดคอล โดยแนะนำว่าจำนวนซ้ำของเมทอดคอลที่มากกว่า 10 ตำแหน่งเหมาะสมเป็นครอสคัทตั้งคอนเซิร์นที่ควรจัดการด้วยแอสเป็ก นอกจากนี้ Hanenberg, Kleinschmager และ Walter (2009) นำเสนอว่าจำนวนซ้ำของโค้ดมากกว่า 36 ตำแหน่ง การพัฒนาครอสคัทตั้งคอนเซิร์นด้วยแอสเป็กสามารถช่วยลดเวลาที่ใช้พัฒนาได้ดีกว่าเมื่อเทียบกับการพัฒนาด้วยการโปรแกรมเชิงวัตถุ ดังนั้นเพื่อศึกษาผลของจำนวนโค้ดโคลนต่อการทำแอสเป็กกรีแพคทอริง ผู้วิจัยจึงกำหนดให้จำนวนโค้ดโคลนที่ศึกษาในงานวิจัยนี้เป็นจำนวนซ้ำของเมทอดคอลที่มีค่าหลากหลายเพื่อศึกษาความแตกต่างระหว่างการจัดการเมทอดคอลในจำนวนซ้ำของเมทอดคอลที่น้อยหรือมากแตกต่างกัน

```

import java.util.logging.*;
public class Item {
    private String _id;
    private float _price;
    static Logger _logger = Logger.getLogger("trace");
    public Item(String id, float price) {
        _id = id;
        _price = price;
    }
    public String getID() {
        _logger.log(Level.INFO, "Item", "getID", "Entering");
        return _id;
    }
    public float getPrice() {
        _logger.log(Level.INFO, "Item", "getPrice", "Entering");
        return _price;
    }
}

```

รูปที่ 3.1 แสดงตัวอย่างการซ้ำของเมทอดคอล ของ Laddad (2003)

## 2. ตัวแปรตาม (Dependent Variable) ทั้งหมดมีดังนี้

2.1. คุณภาพซอฟต์แวร์เชิงวัตถุ คือ คุณลักษณะทั้งหมดของซอฟต์แวร์ที่สามารถตอบสนองต่อความพึงพอใจและความต้องการของผู้ใช้ โดยสามารถประเมินจากมาตรวัดเชิงวัตถุของ Chidamber และ Kemerer (1993) มาตรวัดเชิงวัตถุมีทั้งหมด 6 มาตรวัด ได้แก่

- (1) เวทเทตเมทอดเปอคลาส (Weighted Method per Class - WMC)
- (2) เดพออฟอินเฮริแตนทรี (Depth of Inheritance Tree - DIT)
- (3) นัมเบอร์ออฟซิลเดรน (Number of Children - NOC)
- (4) คัพปลิงบิทวินอ็อบเจกต์คลาส (Coupling Between Object classes - CBO)
- (5) เรสปอนซ์ฟอร์อะคลาส (Response For a Class - RFC)
- (6) แลคออฟโคฮีชันอินเมทอด (Lack of Cohesion in Methods - LCOM)

2.2. คุณภาพซอฟต์แวร์เชิงแอสเป็ก คือ คุณลักษณะทั้งหมดของซอฟต์แวร์ที่สามารถตอบสนองต่อความพึงพอใจและความต้องการของผู้ใช้ โดยสามารถประเมินจากมาตรวัดเชิงแอสเป็กของ Ceccato และ Tonella (2004) มาตรวัดเชิงแอสเป็กมีทั้งหมด 10 มาตรวัด ได้แก่

- (1) เวทเทตโอเปอเรชันอินมอดูล (Weighted Operations in Module - WOM)
- (2) เดพออฟอินเฮริแตนทรี (Depth of Inheritance Tree - DIT)
- (3) นัมเบอร์ออฟซิลเดรน (Number Of Children - NOC)
- (4) คัพปลิงออนฟิลด์แอกเซส (Coupling on Field Access - CFA)
- (5) คัพปลิงออนเมทอดคอล (Coupling on Method Call - CMC)
- (6) คัพปลิงบิทวินมอดูล (Coupling between Modules - CBM)

- (7) ครอสคัทตั้งดีกรีออฟแอสเป็ก (Crosscutting Degree of an Aspect - CDA)
- (8) คัพปลิงออนแอดไวซ์เอ็กซิคิวชัน (Coupling on Advice Execution - CAE)
- (9) เรสปอนซ์ฟอร์อะมอดูล (Response For a Module - RFM)
- (10) แลคออฟโคฮีชันอินโอเปอเรชัน (Lack of Cohesion in Operations - LCO)

3. ตัวแปรควบคุม (Control Variables) เพื่อให้ผลการทดลองเกิดจากการปรับเปลี่ยนค่าของตัวแปรต้นอย่างแท้จริง ผู้วิจัยจึงพยายามควบคุมปัจจัยอื่นที่อาจส่งผลกระทบต่อการศึกษา โดยควบคุมให้คงที่หรือเหมือนกันมากที่สุด ดังนี้

3.1. ลักษณะของครอสคัทตั้งคอนเซิร์น เพื่อควบคุมผลค่ามาตรวัดทั้งหมดที่ได้ให้เกิดความแตกต่างจากจำนวนซ้ำของเมทอดคอลอย่างแท้จริง การเลือกจัดการครอสคัทตั้งคอนเซิร์นในแต่ละจำนวนซ้ำควรมีลักษณะเหมือนกันหรือใกล้เคียงกันมากที่สุด เพื่อควบคุมปัจจัยความแตกต่างของครอสคัทตั้งคอนเซิร์นที่อาจส่งผลกระทบต่อค่ามาตรวัด เนื่องจากการทำแอสเป็กกรีแพคทอริงเป็นการจัดการโค้ดที่พัฒนาด้วยการโปรแกรมเชิงวัตถุ เบื้องต้นผู้วิจัยจึงได้ศึกษาองค์ประกอบของโปรแกรมที่เป็นสาเหตุทำให้ค่ามาตรวัดเชิงวัตถุเกิดการเปลี่ยนแปลงเพื่อกำหนดลักษณะของครอสคัทตั้งคอนเซิร์น ดังตารางที่ 3.1

ตารางที่ 3.1 มาตรวัดเชิงวัตถุของ Chidamber และ Kemerer (1993)

และองค์ประกอบของโปรแกรมที่ใช้สำหรับพิจารณาค่ามาตรวัด

มาตรวัดเชิงวัตถุของ Chidamber และ Kemerer (1993)	องค์ประกอบของโปรแกรมที่ใช้สำหรับพิจารณาค่ามาตรวัด
1. เวทเทดเมทอดเปอคลาส (Weighted Method per Class - WMC)	จำนวนเมทอดของคลาส
2. เดพออฟอินเฮริเทนทรี (Depth of Inheritance Tree - DIT)	จำนวนลำดับชั้นการรับทอด
3. นัมเบอร์ออฟซิลเดรน (Number of Children - NOC)	จำนวนคลาสลูก
4. คัพปลิงบีทวินอ็อบเจกต์คลาส (Coupling Between Object classes - CBO)	จำนวนความสัมพันธ์ระหว่างคลาส (ดูจากตัวแปรอินสแตนซ์ และเมทอดคอลที่มีในคลาส)
5. เรสปอนซ์ฟอร์อะคลาส (Response For a Class - RFC)	จำนวนเมทอดในคลาสรวมกับจำนวนเมทอดที่ดำเนินการเมื่อถูกเรียกใช้งานจากคลาสดังกล่าว
6. แลคออฟโคฮีชันอินเมทอด (Lack of Cohesion in Methods - LCOM)	จำนวนของการใช้ตัวแปรอินสแตนซ์และแอตทริบิวต์ร่วมกันระหว่างเมทอดในคลาส



เนื่องจากการเรียกใช้งานเมทอดเดียวกัน โดยเรียกใช้งานมาจากหลายคลาสทำให้เกิดเมทอดคอลซ้ำกันหรือกระจายในหลายคลาส โดยสามารถพิจารณาเป็นคุณลักษณะของครอสคัทตั้งคอนเซิร์นได้เช่นกัน (Neto, 2004) และเนื่องด้วยผู้วิจัยต้องการควบคุมให้การเลือกจำนวนซ้ำของแต่ละครอสคัทตั้งคอนเซิร์นมีลักษณะของครอสคัทตั้งคอนเซิร์นคล้ายกันมากที่สุด ผู้วิจัยจึงเลือกครอสคัทตั้งคอนเซิร์นที่มีลักษณะเมทอดคอล เนื่องจากการจัดการแต่ละเมทอดคอลด้วยแอสเป็กเป็นการจัดการคำสั่งเพียงบรรทัดเดียว และหากจัดการเมทอดคอลที่แตกต่างกันด้วยแอสเป็กจะกระทบเพียงค่ามาตรวัดเรสปอนซ์ฟอร์อะคลาส (Response For a Class - RFC) ในจำนวนที่เท่ากัน

3.2. กรณีศึกษาหรือซอฟต์แวร์ที่นำมาใช้สำหรับการทำแอสเป็กรีแฟคทอริงเพื่อจัดการจำนวนซ้ำของโค้ดโคลนที่แตกต่างกัน ผู้วิจัยเลือกจัดการเมทอดคอลที่ซ้ำกันภายในซอฟต์แวร์เดียว โดยการจัดการแต่ละจำนวนซ้ำของเมทอดคอลใช้ซอฟต์แวร์ตั้งต้นเดียวกันที่มีโค้ดและฟังก์ชันการทำงานเหมือนกัน เพื่อควบคุมให้ผลมาตรวัดที่แตกต่างกันมีผลมาจากการเปลี่ยนแปลงของตัวแปรต้นและเกิดขึ้นภายใต้สภาพแวดล้อมของซอฟต์แวร์ที่เหมือนกัน

3.3. เครื่องมือสำหรับวัดค่ามาตรวัดเชิงวัตถุและมาตรวัดเชิงแอสเป็ก โดยสำหรับมาตรวัดเชิงวัตถุของ Chidamber และ Kemerer (1993) ทั้ง 6 มาตรวัด ผู้วิจัยเลือกใช้เครื่องมือชื่อซีเคเจเอ็ม (CKJM) เพื่อควบคุมให้มาตรฐานการวัดของแต่ละมาตรวัดเหมือนกันจึงใช้เครื่องมือวัดเพียงเครื่องมือเดียว เช่นกันกับมาตรวัดเชิงแอสเป็กของ Ceccato และ Tonella (2004) ทั้ง 10 มาตรวัด ผู้วิจัยเลือกใช้เครื่องมือชื่อเอโอพีเมตริก (AopMetrics) เป็นเครื่องมือที่พัฒนาขึ้นโดย Ceccato และ Tonella ผู้นำเสนอชุดมาตรวัดเชิงแอสเป็กทั้ง 10 มาตรวัด เครื่องมือเอโอพีเมตริกจึงมีมาตรฐานและความน่าเชื่อถือสำหรับเก็บรวบรวมค่ามาตรวัดเชิงแอสเป็ก

### 3.3 แนวทางการศึกษาและการทดสอบสมมติฐาน

งานวิจัยนี้เป็นการวิจัยเชิงทดลอง (Experiment Research) ที่ต้องการวิเคราะห์ผลที่ได้เพื่อตอบวัตถุประสงค์ของงานวิจัย คือ เพื่อเปรียบเทียบคุณภาพซอฟต์แวร์จากการทำแอสเป็กรีแฟคทอริงด้วยจำนวนโค้ดโคลนที่แตกต่างกัน โดยพิจารณาจากมาตรวัดเชิงวัตถุและมาตรวัดเชิงแอสเป็ก

จากวัตถุประสงค์ของงานวิจัยดังกล่าวผู้วิจัยได้ตั้งสมมติฐานของงานวิจัยดังนี้

1. ผลของจำนวนซ้ำเมทอดคอลต่อค่าเฉลี่ยของมาตรวัดเชิงวัตถุเวทเทตเมทอดเปอคลาส (Weighted Method per Class - WMC)

$H_0$  : จำนวนซ้ำของเมทอดคอลไม่มีผลต่อค่าเฉลี่ยของมาตรวัดเวทเทตเมทอดเปอคลาส

$H_1$  : จำนวนซ้ำของเมทอดคอลมีผลต่อค่าเฉลี่ยของมาตรวัดเวทเทตเมทอดเปอคลาส

2. ผลของจำนวนซ้ำเมทอดคอลต่อค่าเฉลี่ยของมาตรวัดเชิงวัตถุเดพธออฟอินเฮอริแทนทรี (Depth of Inheritance Tree - DIT)

$H_0$  : จำนวนซ้ำของเมทอดคอลไม่มีผลต่อค่าเฉลี่ยของมาตรวัดเดพธออฟอินเฮอริแทนทรี

$H_1$  : จำนวนซ้ำของเมทอดคอลมีผลต่อค่าเฉลี่ยของมาตรวัดเดพธออฟอินเฮอริแทนทรี

3. ผลของจำนวนซ้ำเมที่อดคอลลต่อค่าเฉลี่ยของมาตรวัดเชิงวัตถุณัมเบอร์ออฟซิลเดรน  
(Number of Children - NOC)  
 $H_0$  : จำนวนซ้ำของเมที่อดคอลลไม่มีผลต่อค่าเฉลี่ยของมาตรวัดนัมเบอร์ออฟซิลเดรน  
 $H_1$  : จำนวนซ้ำของเมที่อดคอลลมีผลต่อค่าเฉลี่ยของมาตรวัดนัมเบอร์ออฟซิลเดรน
4. ผลของจำนวนซ้ำเมที่อดคอลลต่อค่าเฉลี่ยของมาตรวัดเชิงวัตถุคัพปลิงปีทวินอ็อบเจกต์คลาส  
(Coupling Between Object classes - CBO)  
 $H_0$  : จำนวนซ้ำของเมที่อดคอลลไม่มีผลต่อค่าเฉลี่ยของมาตรวัดคัพปลิงปีทวินอ็อบเจกต์คลาส  
 $H_1$  : จำนวนซ้ำของเมที่อดคอลลมีผลต่อค่าเฉลี่ยของมาตรวัดคัพปลิงปีทวินอ็อบเจกต์คลาส
5. ผลของจำนวนซ้ำเมที่อดคอลลต่อค่าเฉลี่ยของมาตรวัดเชิงวัตถุเรสปอนซ์ฟอร์อะคลาส  
(Response For a Class - RFC)  
 $H_0$  : จำนวนซ้ำของเมที่อดคอลลไม่มีผลต่อค่าเฉลี่ยของมาตรวัดเรสปอนซ์ฟอร์อะคลาส  
 $H_1$  : จำนวนซ้ำของเมที่อดคอลลมีผลต่อค่าเฉลี่ยของมาตรวัดเรสปอนซ์ฟอร์อะคลาส
6. ผลของจำนวนซ้ำเมที่อดคอลลต่อค่าเฉลี่ยของมาตรวัดเชิงวัตถุแลคคอปโคฮีชันอินเมที่อด  
(Lack of Cohesion in Methods - LCOM)  
 $H_0$  : จำนวนซ้ำของเมที่อดคอลลไม่มีผลต่อค่าเฉลี่ยของมาตรวัดแลคคอปโคฮีชันอินเมที่อด  
 $H_1$  : จำนวนซ้ำของเมที่อดคอลลมีผลต่อค่าเฉลี่ยของมาตรวัดแลคคอปโคฮีชันอินเมที่อด
7. ผลของจำนวนซ้ำเมที่อดคอลลต่อค่าเฉลี่ยของมาตรวัดเชิงแอสเป็กเวทเทคโอเปอรเรชันอินมอดูล  
(Weighted Operations in Module - WOM)  
 $H_0$  : จำนวนซ้ำของเมที่อดคอลลไม่มีผลต่อค่าเฉลี่ยของมาตรวัดเวทเทคโอเปอรเรชันอินมอดูล  
 $H_1$  : จำนวนซ้ำของเมที่อดคอลลมีผลต่อค่าเฉลี่ยของมาตรวัดเวทเทคโอเปอรเรชันอินมอดูล
8. ผลของจำนวนซ้ำเมที่อดคอลลต่อค่าเฉลี่ยของมาตรวัดเชิงแอสเป็กเดพออฟอินเฮริแทนทรี  
(Depth of Inheritance Tree - DIT)  
 $H_0$  : จำนวนซ้ำของเมที่อดคอลลไม่มีผลต่อค่าเฉลี่ยของมาตรวัดเดพออฟอินเฮริแทนทรี  
 $H_1$  : จำนวนซ้ำของเมที่อดคอลลมีผลต่อค่าเฉลี่ยของมาตรวัดเดพออฟอินเฮริแทนทรี
9. ผลของจำนวนซ้ำเมที่อดคอลลต่อค่าเฉลี่ยของมาตรวัดเชิงแอสเป็กนัมเบอร์ออฟซิลเดรน  
(Number Of Children - NOC)  
 $H_0$  : จำนวนซ้ำของเมที่อดคอลลไม่มีผลต่อค่าเฉลี่ยของมาตรวัดนัมเบอร์ออฟซิลเดรน  
 $H_1$  : จำนวนซ้ำของเมที่อดคอลลมีผลต่อค่าเฉลี่ยของมาตรวัดนัมเบอร์ออฟซิลเดรน
10. ผลของจำนวนซ้ำเมที่อดคอลลต่อค่าเฉลี่ยของมาตรวัดเชิงแอสเป็กครอสคัทตั้งตีกีรื่อฟแอนแอสเป็ก  
(Crosscutting Degree of an Aspect - CDA)  
 $H_0$  : จำนวนซ้ำของเมที่อดคอลลไม่มีผลต่อค่าเฉลี่ยของมาตรวัดครอสคัทตั้งตีกีรื่อฟแอนแอสเป็ก  
 $H_1$  : จำนวนซ้ำของเมที่อดคอลลมีผลต่อค่าเฉลี่ยของมาตรวัดครอสคัทตั้งตีกีรื่อฟแอนแอสเป็ก

11. ผลของจำนวนซ้ำแม่ที่อดคอลต่อค่าเฉลี่ยของมาตรวัดเชิงแอสเป็กต์พลังออนแอตไวซ์เอ็กซีคิวชัน  
คิ่วซัน (Coupling on Advice Execution - CAE)  
 $H_0$  : จำนวนซ้ำของแม่ที่อดคอลไม่มีผลต่อค่าเฉลี่ยของมาตรวัดคัพพลังออนแอตไวซ์เอ็กซีคิวชัน  
 $H_1$  : จำนวนซ้ำของแม่ที่อดคอลมีผลต่อค่าเฉลี่ยของมาตรวัดคัพพลังออนแอตไวซ์เอ็กซีคิวชัน
12. ผลของจำนวนซ้ำแม่ที่อดคอลต่อค่าเฉลี่ยของมาตรวัดเชิงแอสเป็กต์พลังออนเมที่อดคอล  
(Coupling on Method Call - CMC)  
 $H_0$  : จำนวนซ้ำของแม่ที่อดคอลไม่มีผลต่อค่าเฉลี่ยของมาตรวัดคัพพลังออนเมที่อดคอล  
 $H_1$  : จำนวนซ้ำของแม่ที่อดคอลมีผลต่อค่าเฉลี่ยของมาตรวัดคัพพลังออนเมที่อดคอล
13. ผลของจำนวนซ้ำแม่ที่อดคอลต่อค่าเฉลี่ยของมาตรวัดเชิงแอสเป็กต์พลังออนฟิลด์แอกเซส  
(Coupling on Field Access - CFA)  
 $H_0$  : จำนวนซ้ำของแม่ที่อดคอลไม่มีผลต่อค่าเฉลี่ยของมาตรวัดคัพพลังออนฟิลด์แอกเซส  
 $H_1$  : จำนวนซ้ำของแม่ที่อดคอลมีผลต่อค่าเฉลี่ยของมาตรวัดคัพพลังออนฟิลด์แอกเซส
14. ผลของจำนวนซ้ำแม่ที่อดคอลต่อค่าเฉลี่ยของมาตรวัดเชิงแอสเป็กต์พลังบิที่วินมอดูล  
(Coupling between Modules - CBM)  
 $H_0$  : จำนวนซ้ำของแม่ที่อดคอลไม่มีผลต่อค่าเฉลี่ยของมาตรวัดคัพพลังบิที่วินมอดูล  
 $H_1$  : จำนวนซ้ำของแม่ที่อดคอลมีผลต่อค่าเฉลี่ยของมาตรวัดคัพพลังบิที่วินมอดูล
15. ผลของจำนวนซ้ำแม่ที่อดคอลต่อค่าเฉลี่ยของมาตรวัดเชิงแอสเป็กต์เรสปอนซ์ฟอร์อะมอดูล  
(Response For a Module - RFM)  
 $H_0$  : จำนวนซ้ำของแม่ที่อดคอลไม่มีผลต่อค่าเฉลี่ยของมาตรวัดเรสปอนซ์ฟอร์อะมอดูล  
 $H_1$  : จำนวนซ้ำของแม่ที่อดคอลมีผลต่อค่าเฉลี่ยของมาตรวัดเรสปอนซ์ฟอร์อะมอดูล
16. ผลของจำนวนซ้ำแม่ที่อดคอลต่อค่าเฉลี่ยของมาตรวัดเชิงแอสเป็กต์แลคคอปโคฮีชันอินโอเปอเรชัน  
เรซัน (Lack of Cohesion in Operations - LCO)  
 $H_0$  : จำนวนซ้ำของแม่ที่อดคอลไม่มีผลต่อค่าเฉลี่ยของมาตรวัดแลคคอปโคฮีชันอินโอเปอเรชันเรซัน  
 $H_1$  : จำนวนซ้ำของแม่ที่อดคอลมีผลต่อค่าเฉลี่ยของมาตรวัดแลคคอปโคฮีชันอินโอเปอเรชันเรซัน

### 3.4 ประชากรและหน่วยตัวอย่าง

ประชากร (Population) หมายถึง ทุกหน่วยในเรื่องที่สนใจศึกษา โดยประชากรอาจเป็นบุคคล องค์กร สัตว์ หรือสิ่งของ (กัลยา วานิชย์บัญชา, 2551b) เนื่องจากงานวิจัยนี้ต้องการศึกษาผลคุณภาพซอฟต์แวร์จากการทำแอสเป็กต์เพกรีฟแลคทอริง โดยจัดการเมที่อดคอลที่มีจำนวนซ้ำของแม่ที่อดคอลแตกต่างกัน ดังนั้นประชากรของงานวิจัยคือกลุ่มของแม่ที่อดคอลที่เรียกใช้งานเมที่อดเดียวกันทำให้เกิดโค้ดโคลนภายในซอร์สโค้ดของซอฟต์แวร์ ในทางปฏิบัติผู้วิจัยไม่สามารถนำซอฟต์แวร์ทั้งหมดมาศึกษาเพื่อค้นหาโค้ดโคลนและทำแอสเป็กต์เพกรีฟแลคทอริงได้ ผู้วิจัยจึงเลือกศึกษาจากกรณีศึกษา (Case Study) ที่ได้เลือกมาหนึ่งกรณีศึกษาสำหรับการทำแอสเป็กต์เพกรีฟแลคทอริงเพื่อควบคุมการทดลองให้อยู่ภายใต้สภาพแวดล้อม (Environment) เดียวกัน กรณีศึกษาที่เลือกคือ ซอฟต์แวร์เจฮอตดรอว์ (JHotDraw) เป็นซอฟต์แวร์ที่พัฒนาด้วยการโปรแกรมเชิงวัตถุและเป็นโครงการโอเพนซอร์ส (Open source project) เกี่ยวกับเฟรมเวิร์คกราฟิกสองมิติสำหรับการวาดรูปทรงที่สามารถจัดเป็นโครงสร้าง

นอกจากนี้เจสอตตรอว์ยังพัฒนาเป็นตัวอย่างสำหรับการใช้ดีไซน์แพตเทิร์น (Design pattern) และอีกเหตุผลสำหรับการเลือกเจสอตตรอว์เป็นกรณีศึกษา เนื่องจากผู้วิจัยเห็นว่าเป็นซอฟต์แวร์ขนาดใหญ่ และหลายงานวิจัยนำมาใช้เป็นกรณีศึกษาสำหรับงานวิจัยที่เกี่ยวข้องกับการโปรแกรมเชิงแอสเป็ก (Ceccato et al., 2006; Marin et al., 2007; Roy et al., 2007) และด้วยข้อจำกัดของเครื่องมือที่ใช้เก็บรวบรวมค่ามาตรวัดทำให้ผู้วิจัยต้องดำเนินการทดลองบนโปรแกรมอีคลิป์ส (Eclipse) ที่ติดตั้งเจดีเค เวอร์ชัน 1.5 (JDK 1.5) จากการทดลองรันเจสอตตรอว์ทุกเวอร์ชันบนโปรแกรมอีคลิป์ส มีเพียงเจสอตตรอว์ เวอร์ชัน 7.1 หรือเวอร์ชันต่ำกว่าที่สามารถรันได้ภายใต้เจดีเค เวอร์ชัน 1.5 ผู้วิจัยจึงเลือกใช้เจสอตตรอว์ เวอร์ชัน 7.1 เป็นกรณีศึกษาสำหรับการทำแอสเป็กรีเฟคทอริง รายละเอียดของซอฟต์แวร์เจสอตตรอว์ เวอร์ชัน 7.1 แสดงดังตารางที่ 3.2 ดังนั้นหน่วยตัวอย่างในงานวิจัยนี้คือกลุ่มของเมธอดคอลที่เรียกใช้งานเมธอดเดียวกันทำให้เกิดโค้ดโคลนภายในซอร์สโค้ดของเจสอตตรอว์ เวอร์ชัน 7.1

ตารางที่ 3.2 รายละเอียดของซอฟต์แวร์เจสอตตรอว์ เวอร์ชัน 7.1

ข้อมูลทั่วไป	
ชื่อซอฟต์แวร์	เจสอตตรอว์ (JHotDraw)
เวอร์ชัน	7.1
ผู้บำรุงรักษา	Werner Randelshofer
ประเภทลิขสิทธิ์	แอลจีพีแอล (LGPL)
ช่วงเวลาพัฒนา	ค.ศ. 2004-2008
ภาษาที่ใช้พัฒนา	จาวา (Java)
ข้อมูลโครงสร้างของซอฟต์แวร์	
จำนวนแพคเกจ	38
จำนวนคลาส	442
จำนวนเมธอด	4,285
จำนวนบรรทัดของซอร์สโค้ด (Source line of code - SLOC)	53,323

งานวิจัยนี้เลือกเจสอตตรอว์ เวอร์ชัน 7.1 เป็นกรณีศึกษาเดียวเนื่องจากในงานวิจัยต้องการศึกษาข้อมูลเบื้องต้น (Exploratory Research) เพื่อประโยชน์สำหรับการวิจัยในอนาคตเท่านั้น ไม่ได้ต้องการสรุปผลให้ครอบคลุมต่อการนำไปประยุกต์ใช้กับกรณีทั่วไป

### 3.5 เครื่องมือการดำเนินการ

เครื่องมือที่นำมาใช้ในการทดลองเพื่อตอบวัตถุประสงค์งานวิจัยมีดังนี้

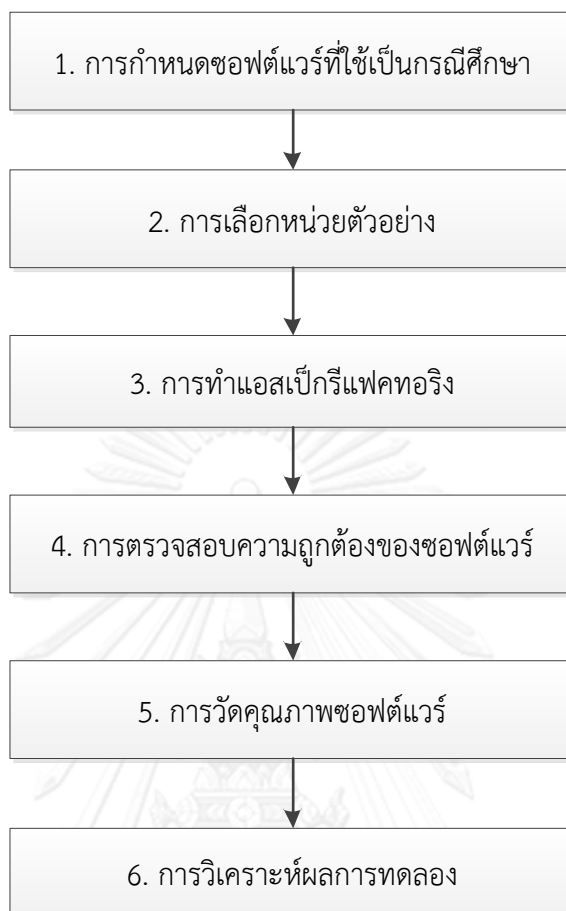
1. เครื่องมือสำหรับค้นหาครอสคัทตั้งคอนเซิร์น เนื่องจากผู้วิจัยกำหนดเลือกจัดการครอสคัทตั้งคอนเซิร์นที่มีลักษณะเมทอดคอล ผู้วิจัยจึงเลือกใช้เทคนิคแฟน-อินอะนาไลซิส (Fan-in analysis) เป็นเทคนิคที่ Marin, Deursen และ Moonen (2007) นำเสนอสำหรับค้นหาครอสคัทตั้งคอนเซิร์น โดยพิจารณาจากจำนวนการเรียกใช้งานของเมทอดที่ทำให้เกิดการซ้ำกันของเมทอดคอลกระจายอยู่ภายในคลาสต่างๆ นอกจากนี้ Marin, Deursen และ Moonen (2007) ยังได้นำเสนอเครื่องมือเอฟไอเอ็นที (FINT) เป็นเครื่องมือที่นำเทคนิคแฟน-อินอะนาไลซิสมาประยุกต์ใช้จริง โดยเครื่องมือดังกล่าวสามารถใช้งานร่วมกับโปรแกรมอีคลิปส์ได้ ผู้วิจัยจึงเลือกใช้เครื่องมือเอฟไอเอ็นทีสำหรับค้นหาเมทอดคอลที่ซ้ำกันภายในเจสอตดรอว์ เวอร์ชัน 7.1

2. เครื่องมือสำหรับเก็บรวบรวมมาตรวัดเชิงวัตถุ (Object-oriented Metric) เพื่อนำมาประเมินคุณภาพซอฟต์แวร์ งานวิจัยนี้ใช้ชุดมาตรวัดเชิงวัตถุของ Chidamber และ Kemerer (1993) ที่มีทั้งหมดหกมาตรวัดสำหรับประเมินคุณภาพซอฟต์แวร์ ผู้วิจัยจึงเลือกใช้เครื่องมือซีเคเจเอ็ม (CKJM) เนื่องจากเป็นเครื่องมือที่สามารถเก็บรวบรวมค่ามาตรวัดของ Chidamber และ Kemerer (1993) ได้ครบทุกมาตรวัด ค่ามาตรวัดที่เก็บรวบรวมสามารถพิจารณาจากซอร์สโค้ดที่พัฒนาด้วยภาษาจาวา อีกทั้งเครื่องมือซีเคเจเอ็มยังสามารถใช้งานร่วมกับโปรแกรมอีคลิปส์

3. เครื่องมือสำหรับเก็บรวบรวมมาตรวัดเชิงแอสเป็ก (Aspect-oriented Metric) เพื่อนำมาประเมินคุณภาพซอฟต์แวร์ งานวิจัยนี้ใช้มาตรวัดเชิงแอสเป็กของ Ceccato และ Tonella (2004) ที่มีทั้งหมดสิบมาตรวัดสำหรับประเมินคุณภาพซอฟต์แวร์ ผู้วิจัยจึงเลือกใช้เครื่องมือเอโอพีเมตริก (AopMetrics) เนื่องจากเป็นเครื่องมือที่สามารถเก็บรวบรวมค่ามาตรวัดของ Ceccato และ Tonella (2004) ได้ครบทุกมาตรวัด และพัฒนาโดย Ceccato และ Tonella ซึ่งเป็นผู้นำเสนอชุดมาตรวัด อีกทั้งยังมีหลายงานวิจัยใช้เครื่องมือเอโอพีเมตริกสำหรับเก็บรวบรวมค่ามาตรวัดเชิงแอสเป็ก ได้แก่ Srivisut และ Muenchaisri (2006), Kumar และคณะ (2007), Sirbi และ Kulkarni (2013) และ Mguni และ Ayalew (2013) นอกจากนี้เครื่องมือเอโอพีเมตริกยังสามารถเก็บรวบรวมค่ามาตรวัดจากซอร์สโค้ดที่พัฒนาด้วยภาษาจาวาและภาษาแอสเป็กเจ รวมถึงเป็นเครื่องมือที่สามารถใช้งานร่วมกับโปรแกรมอีคลิปส์ด้วย

### 3.6 แนวทางการดำเนินงานวิจัย

งานวิจัยนี้ต้องการศึกษาการปรับปรุงซอร์สโค้ดของซอฟต์แวร์ที่มีเมทอดคอลซ้ำกันด้วยการทำแอสเป็กรีแฟกทอริง และศึกษาผลของจำนวนโค้ดโคลนต่อคุณภาพซอฟต์แวร์จากการพิจารณาด้วยมาตรวัดเชิงวัตถุและมาตรวัดเชิงแอสเป็ก แนวทางการดำเนินงานวิจัยเพื่อตอบวัตถุประสงค์งานวิจัยสามารถดำเนินการดังรูปที่ 3.2



รูปที่ 3.2 แนวทางการดำเนินงานวิจัย

#### 1. การกำหนดซอฟต์แวร์ที่ใช้เป็นกรณีศึกษา

ซอฟต์แวร์ที่นำมาใช้เป็นกรณีศึกษาในการทดลอง ผู้วิจัยได้เลือกจากโอเพนซอร์สโปรเจกต์ที่เผยแพร่ให้สามารถดาวน์โหลดได้ โดยกรณีศึกษาที่นำมาใช้คือซอฟต์แวร์เจสอตตรอว์ เวอร์ชัน 7.1 เป็นโอเพนซอร์สโปรเจกต์เกี่ยวกับกราฟิกสองมิติ เจสอตตรอว์เป็นตัวอย่างสำหรับการใช้ดีไซน์แพตเทิร์น และโอเพนซอร์สโปรเจกต์ดังกล่าวพัฒนาด้วยภาษาจาวา

#### 2. การเลือกหน่วยตัวอย่าง

การเลือกหน่วยตัวอย่างจะเริ่มต้นจากการเลือกเทคนิคสำหรับค้นหาครอสคัทตั้งคอนเซิร์นที่มีภายในซอร์สโค้ดของซอฟต์แวร์หรือกระบวนการแอสเปกต์ไมนิ่ง (Aspect mining) เป็นกระบวนการที่ต้องดำเนินการก่อนนำครอสคัทตั้งคอนเซิร์นที่ได้มาจัดการเป็นแอสเปกต์ด้วยกระบวนการแอสเปกทีแพคทอริง โดยมีงานวิจัยในอดีตนำเสนอเทคนิคสำหรับค้นหาครอสคัทตั้งคอนเซิร์นเอาไว้มากมาย (Kellens et al., 2007) เนื่องจากหน่วยตัวอย่างสำหรับงานวิจัยนี้คือกลุ่มของเมทอดคอลที่ซ้ำกันที่เรียกใช้งานเมทอดเดียวกันทำให้เกิดโค้ดโคลนภายในซอร์สโค้ดของเจสอตตรอว์ เวอร์ชัน 7.1 ดังนั้นการเลือกหน่วยตัวอย่างเพื่อให้ได้จำนวนซ้ำของเมทอดคอลที่หลากหลายสำหรับนำมาเปรียบเทียบความแตกต่างของคุณภาพจากการทำแอสเปกทีแพคทอริง ผู้วิจัยจึงเลือกใช้เทคนิคแฟน-อินอะนาไลซิส (Fan-in analysis) สำหรับค้นหาเมทอดคอลซ้ำกันภายในซอร์สโค้ดของเจสอตตรอว์ เวอร์ชัน 7.1

โดยมีเครื่องมือเอฟไอเอ็นที (FINT) รองรับสำหรับการใช้เทคนิคแฟน-อินอะนาไลซิส และสามารถใช้งานเครื่องมือเอฟไอเอ็นทีบนโปรแกรมอีคลิป์ส (Eclipse)

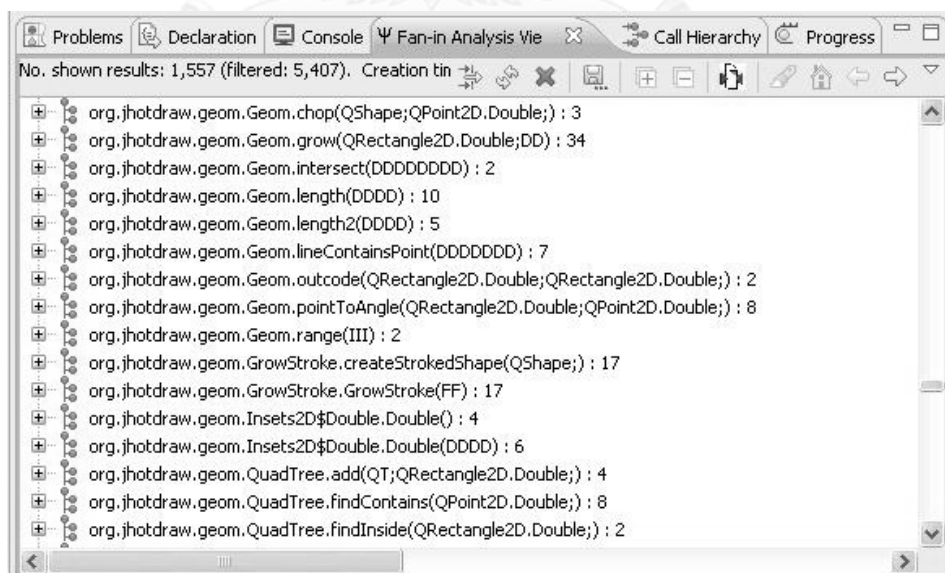
เบื้องต้นก่อนการใช้งานเครื่องมือเอฟไอเอ็นที จำเป็นต้องตั้งค่าสำหรับคัดกรองผลลัพธ์ที่ได้จากการค้นหาด้วยเทคนิคแฟน-อินอะนาไลซิส โดยกำหนดการตั้งค่าทั้งหมดสามส่วน ดังนี้

(1) ส่วนแอ็กเซสเซอร์ (Accessors) เป็นส่วนสำหรับเลือกพิจารณาหรือไม่พิจารณาเมทอดคอลที่เรียกใช้งานเมทอดเกี่ยวกับการเข้าถึงแอตทริบิวต์ของคลาส ได้แก่ เมทอดประเภทเกตเตอร์ (Getter) และเซตเตอร์ (Setter) ซึ่ง Marin, Deursen และ Moonen (2007) ได้แนะนำให้กำหนดไม่พิจารณาเมทอดคอลที่เรียกใช้งานเมทอดประเภทเกตเตอร์ เซตเตอร์

(2) ส่วนเอ็กซ์เทรนอล ไลบรารี (External libs) เป็นส่วนสำหรับเลือกพิจารณาหรือไม่พิจารณาเมทอดคอลที่เรียกใช้งานเมทอดที่อยู่ภายในไลบรารีภายนอกที่นำเข้ามาใช้ในโปรเจกต์ ซึ่ง Marin, Deursen และ Moonen (2007) ได้แนะนำให้กำหนดไม่พิจารณาเมทอดคอลที่เรียกใช้งานเมทอดจากไลบรารีภายนอก

(3) ส่วนค่าธรेशโฮลด์ (Threshold) เป็นส่วนสำหรับกำหนดขั้นต่ำของจำนวนการเรียกใช้งานเมทอดที่สนใจพิจารณาเป็นครอสคัทตั้งคอนเซิร์น กล่าวคือเป็นการกำหนดขั้นต่ำของจำนวนซ้ำของเมทอดคอลที่ต้องการพิจารณา โดยผู้วิจัยเลือกตั้งค่าเรโซลต์ตั้งแต่ 2 เป็นต้นไป เนื่องจากโค้ดโคลนคือการซ้ำกันของโค้ดตั้งแต่ 2 ตำแหน่งเป็นต้นไป

เมื่อตั้งค่าเบื้องต้นสำหรับเครื่องมือเอฟไอเอ็นทีเสร็จเรียบร้อยแล้ว จึงนำเครื่องมือมาใช้ค้นหาครอสคัทตั้งคอนเซิร์นที่ต้องการจัดการภายในซอร์สโค้ดของเจฮอตดรอว์ เวอร์ชัน 7.1 ผลจากการค้นหาจะได้ผลลัพธ์เมทอดพร้อมทั้งจำนวนการเรียกใช้งานเมทอดดังกล่าวที่มาจากคลาสอื่น (จำนวนซ้ำของเมทอดคอล) ดังรูปที่ 3.3



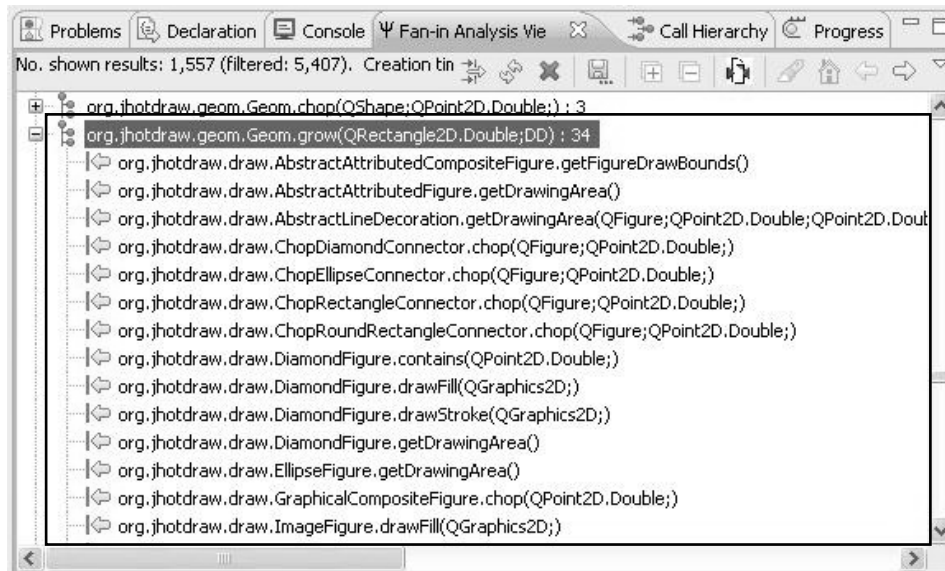
```

No. shown results: 1,557 (filtered: 5,407). Creation tin
org.jhotdraw.geom.Geom.chop(QShape;QPoint2D.Double); : 3
org.jhotdraw.geom.Geom.grow(QRectangle2D.Double;DD) : 34
org.jhotdraw.geom.Geom.intersect(DDDDDDDD) : 2
org.jhotdraw.geom.Geom.length(DDDD) : 10
org.jhotdraw.geom.Geom.length2(DDDD) : 5
org.jhotdraw.geom.Geom.lineContainsPoint(DDDDDDDD) : 7
org.jhotdraw.geom.Geom.outcode(QRectangle2D.Double;QRectangle2D.Double); : 2
org.jhotdraw.geom.Geom.pointToAngle(QRectangle2D.Double;QPoint2D.Double); : 8
org.jhotdraw.geom.Geom.range(III) : 2
org.jhotdraw.geom.GrowStroke.createStrokedShape(QShape); : 17
org.jhotdraw.geom.GrowStroke.GrowStroke(FF) : 17
org.jhotdraw.geom.Insets2D$Double.Double(); : 4
org.jhotdraw.geom.Insets2D$Double.Double(DDDD) : 6
org.jhotdraw.geom.QuadTree.add(QT;QRectangle2D.Double); : 4
org.jhotdraw.geom.QuadTree.findContains(QPoint2D.Double); : 8
org.jhotdraw.geom.QuadTree.findInside(QRectangle2D.Double); : 2

```

รูปที่ 3.3 ผลลัพธ์จากการใช้เครื่องมือเอฟไอเอ็นที (FINT)

จากรูปที่ 3.4 เป็นตัวอย่างผลลัพธ์จากการค้นหาครอสคัทตั้งคอนเซิร์น เครื่องมือจะแสดงผลการค้นหาการเรียกใช้งานเมทอด grow() ของคลาส Geom โดยแสดงรายชื่อคลาสและเมทอดที่ภายในมีการเรียกใช้งานเมทอด grow() จากตัวอย่างเมทอด grow() ถูกเรียกใช้งานจากคลาสอื่นๆทั้งหมด 34 ตำแหน่ง จึงมีจำนวนซ้ำของเมทอดคอลเท่ากับ 34



รูปที่ 3.4 ตัวอย่างรายชื่อคลาสและเมทอดที่ภายในมีการเรียกใช้งานเมทอด grow()

จากผลลัพธ์เมทอดทั้งหมด 1,557 เมทอดซึ่งเป็นจำนวนประชากรที่ได้จากการค้นหาด้วยเครื่องมือเอพีไอเอ็นที ในการเลือกหน่วยตัวอย่างจะต้องนำผลลัพธ์เมทอดทั้งหมดมาวิเคราะห์หากกลุ่มเมทอดคอลซ้ำกันที่จะเลือกจัดการด้วยแอสเป็กอีกที โดยต้องนำลิสเมทอดมาคัดกรองด้วยตัวเองตั้งขั้นตอนที่ 3 ของการคัดกรองผลลัพธ์ที่ได้แสดงไว้ในบทที่ 2 โดย Marin, Deursen และ Moonen (2007) กล่าวว่าต้องวิเคราะห์ผลลัพธ์เมทอดที่ควรที่จะเลือกเป็นครอสคัทตั้งคอนเซิร์นจากการพิจารณาตำแหน่งการเรียกใช้งานเมทอดที่มาจากคลาสต่างๆ เพื่อให้สามารถจัดการด้วยพอยท์คัทของภาษาแอสเป็กได้

ดังนั้นเนื่องด้วยข้อจำกัดของเครื่องมือที่ใช้เก็บรวบรวมค่ามาตรฐานวัดและข้อจำกัดของภาษาแอสเป็ก การจัดการเมทอดคอลบางตำแหน่งจึงไม่สามารถจัดการได้ด้วยแอสเป็ก สามารถแสดงรายละเอียดของเมทอดคอลที่ไม่สามารถจัดการด้วยแอสเป็กได้ดังตารางที่ 3.3



ตารางที่ 3.3 รายละเอียดเม็ที่อดคอลลที่ไม่สามารถจัดการด้วยแอสเป็ก

ลำดับ	สาเหตุ	ตำแหน่งเม็ที่อดคอลล	ตัวอย่างโค้ด
1	เครื่องมือเอ็พีเมตริกไม่สามารถวัดพอยท์คัที่ระบุไปยังการเรียกใช้งานเม็ที่อด	ตำแหน่งของเม็ที่อดคอลลอยู่ก่อนหรือหลังเม็ที่อดคอลลอื่นๆ	owner.willChange(); <u>owner.restoreTransformTo(..)</u> ; owner.changed();
2	พอยท์คัของภาษาแอสเป็กเจ็ไม่รองรับการระบุไปยังตำแหน่งของเม็ที่อดคอลล	ตำแหน่งของเม็ที่อดคอลลอยู่ในคลาสแอสเทร็ก (Abstract class)	public abstract class AbstractFigure extends AbstractBean implements Figure { public void setVisible(..) { <u>changed()</u> ; } }
		ตำแหน่งของเม็ที่อดคอลลเป็นอาร์กิวเมนต์ที่ส่งผ่านภายในเม็ที่อดคอลลอื่กั	mb.add( <u>createEditMenu(..)</u> );
		ตำแหน่งของเม็ที่อดคอลลอยู่ภายใต้คำสั่งรีเทิร์น	return <u>view.drawingToView(..)</u> ;
		ตำแหน่งของเม็ที่อดคอลลอยู่ภายในคำสั่งเงื่อนไข	if ( <u>target.canConnect()</u> ) { return target; }
		ตำแหน่งของเม็ที่อดคอลลอยู่ภายใต้คำสั่งวงลูป	for (int i = 0; i < length; i++) { stop = new XElement("stop"); <u>elem.addChild(stop)</u> ; }
		ตำแหน่งของเม็ที่อดคอลลอยู่ในเม็ที่อดที่ซ้อนเม็ที่อดอื่กั	public UndoableEdit setUndoable(..){ edit = new AbstractUndoableEdit() { public void undo() { <u>figure.changed()</u> ; } } }
3	ความซับซ้อนของการเขียนโค้ดภายในเจ็ฮอตดรอว์ เวอร์ชัน 7.1	-	startConnector = (startFigure == null) ? null : <u>startFigure.findConnector(..)</u> ; setEnabled(isGroupingAction ? <u>canGroup()</u> : <u>canUngroup()</u> );

เนื่องจากเจฮอตตรอร์ เวอร์ชัน 7.1 เป็นซอฟต์แวร์ขนาดใหญ่และด้วยข้อจำกัดของภาษาแอสเป็กเจ จากลิสผลลัพธ์เมทอดทั้งหมด 1,557 เมทอด ผู้วิจัยจึงไม่สามารถจัดการการเรียกใช้งานเมทอดทั้งหมดได้ ผู้วิจัยจึงกำหนดเกณฑ์ในการเลือกเมทอดที่จะนำมาจัดการการเรียกใช้งานเมทอดที่ซ้ำกันด้วยแอสเป็ก โดยเกณฑ์สำหรับการเลือกหน่วยตัวอย่างมีดังนี้

(1) การพิจารณาจากตำแหน่งของเมทอดคอลลที่สามารถจัดการด้วยแอสเป็กได้ โดยการพิจารณาพอยท์คัทที่รองรับสำหรับการจัดการด้วยภาษาแอสเป็กเจ เมทอดคอลลที่จะจัดการด้วยแอสเป็กจะต้องมีพอยท์คัทที่รองรับและสามารถระบุไปยังตำแหน่งจอยน์พอยท์ซึ่งเป็นตำแหน่งการทำงานเดิมของเมทอดคอลลภายในคลาส ผู้วิจัยจึงเลือกเมทอดคอลลที่จะนำมาจัดการด้วยแอสเป็ก โดยอ้างอิงจากตำแหน่งของเมทอดคอลลที่สามารถจัดการด้วยแอสเป็กได้ดังนี้

- ตำแหน่งของเมทอดคอลลอยู่ในตอนต้นหรือตอนท้ายของเมทอด ตัวอย่างจากรูปที่ 3.5 ตอนต้นของเมทอด updateStartTime มีเมทอดคอลลที่เรียกใช้งานเมทอด willChange() และตอนท้ายของเมทอดมีเมทอดคอลลที่เรียกใช้งานเมทอด changed() เป็นต้น ดังนั้นตำแหน่งของเมทอดคอลลที่เรียกใช้งานทั้งเมทอด willChange() และ changed() สามารถจัดการด้วยแอสเป็กได้โดยการกำหนดพอยท์คัทเพื่อระบุไปยังตำแหน่งจอยน์พอยท์ ประเภทการทำงานของเมทอด (Method execution) คือ การทำงานของเมทอด updateStartTime และใช้โครงสร้างพอยท์คัท execution(MethodSignature)

```
public class TaskFigure{
    public TaskFigure() {}
    public void updateStartTime() {
        willChange();
        int oldValue = getStartTime();
        int newValue = 0;
        for (TaskFigure pre : getPredecessors()) {
            newValue = Math.max(newValue,pre.getStartTime() + pre.getDuration());
        }
        getStartTimeFigure().setText(Integer.toString(newValue));
        if (newValue != oldValue) {
            for (TaskFigure succ : getSuccessors()) {
                if (!this.isDependentOf(succ)) {
                    succ.updateStartTime();
                }
            }
        }
        changed();
    }
}
```

รูปที่ 3.5 ตัวอย่างเมทอดคอลลที่อยู่ในตอนต้นหรือตอนท้ายของเมทอด

- ตำแหน่งของเมทอดคอลอยู่ในตอนต้นหรือตอนท้ายของคอนสตรัคเตอร์คลาส ตัวอย่างจากรูปที่ 3.6 ตอนท้ายของคอนสตรัคเตอร์ของคลาส DrawingPanel มีเมทอดคอลที่เรียกใช้งานเมทอด addUndoableEditListener() ดังนั้นตำแหน่งของเมทอดคอลสามารถจัดการด้วยแอสเป็กต์ได้ โดยการกำหนดพอยท์คัทเพื่อระบุไปยังตำแหน่งจอยน์พอยท์ ประเภทการทำงานของคอนสตรัคเตอร์ (Constructor execution) คือ การทำงานของคอนสตรัคเตอร์คลาส DrawingPanel และใช้โครงสร้างพอยท์คัท execution(ConstructorSignature)

```
public class DrawingPanel extends JPanel {
    private DefaultDrawing drawing;
    private UndoRedoManager undoManager;
    private DrawingEditor editor;
    public DrawingPanel() {
        ...
        drawing = new DefaultDrawing();
        view.setDrawing(drawing);
        drawing.addUndoableEditListener(undoManager);
    }
}
```

รูปที่ 3.6 ตัวอย่างเมทอดคอลที่อยู่ในตอนต้นหรือตอนท้ายของคอนสตรัคเตอร์คลาส

- ตำแหน่งของเมทอดคอลอยู่ก่อนหรือหลังการกำหนดค่าตัวแปรอ็อบเจกต์หรือแอตทริบิวต์ของคลาส ตัวอย่างจากรูปที่ 3.7 ภายในเมทอด bringToFront และ sendToBack มีเมทอดคอลที่เรียกใช้งานเมทอด fireAreaInvalidated() โดยเมทอดคอลมีตำแหน่งอยู่หลังการกำหนดค่าของแอตทริบิวต์คลาส ชื่อ drawArea ดังนั้นการจัดการเมทอดคอลด้วยแอสเป็กต์สามารถทำได้ด้วยการกำหนดพอยท์คัทเพื่อระบุไปยังตำแหน่งจอยน์พอยท์ ประเภทการกำหนดค่าฟิลด์ (Field write access) คือ การกำหนดค่าฟิลด์ drawArea และใช้โครงสร้างพอยท์คัท set(FieldSignature)

```

public class DefaultDrawing{
    public Rectangle2D.Double drawArea;
    public void bringToFront(Figure figure) {
        if (basicRemove(figure) != -1) {
            basicAdd(figure);
            invalidateSortOrder();
            drawArea = figure.getDrawingArea();
            fireAreaInvalidated(drawArea);
        }
    }
    public void sendToBack(Figure figure) {
        if (basicRemove(figure) != -1) {
            basicAdd(0, figure);
            invalidateSortOrder();
            drawArea = figure.getDrawingArea();
            fireAreaInvalidated(drawArea);
        }
    }
}

```

รูปที่ 3.7 ตัวอย่างเมทอดคอลที่อยู่ก่อนหรือหลังการกำหนดค่าแอตทริบิวต์ของคลาส

(2) การพิจารณากลุ่มของเมทอดคอลทั้งหมดที่ซ้ำกันว่าเป็นการเรียกใช้งานเมทอดเดียวกันไม่ว่าจะเรียกใช้งานเมทอดโดยตรงหรือเรียกใช้งานเมทอดผ่านอินเทอร์เฟซ (Interface)

(3) การพิจารณากลุ่มเมทอดคอลทั้งหมดที่ซ้ำกันว่าต้องมีตำแหน่งของเมทอดคอลกระจายกระจายอยู่ภายในคลาสตั้งแต่ 2 คลาสขึ้นไป

(4) การกระจายของค่าจำนวนซ้ำเมทอดคอลที่เลือกเป็นหน่วยตัวอย่าง เนื่องจากงานวิจัยนี้ต้องการเปรียบเทียบคุณภาพจากการทำแอสเปกทีฟคทอริงเพื่อจัดการจำนวนซ้ำของเมทอดคอลที่แตกต่างกัน ดังนั้นจึงจำเป็นต้องมีค่าจำนวนซ้ำของเมทอดคอลที่หลากหลาย โดยกำหนดให้มีจำนวนซ้ำของเมทอดคอลที่แตกต่างกันประมาณ 10-15 จำนวน เนื่องจาก Hanenberg, Kleinschmager, และ Walter (2009) เลือกจัดการครอสคัทตั้งคอนเซิร์นทั้งหมดเพียง 9 คอนเซิร์นที่มีจำนวนซ้ำของโค้ดแตกต่างกัน ผู้วิจัยจึงกำหนดจำนวนซ้ำที่ต้องการศึกษาเพิ่มเติมเพื่อให้สามารถนำมาเปรียบเทียบความแตกต่างได้และค่าจำนวนซ้ำต้องมีความหลากหลาย

การเลือกหน่วยตัวอย่างผู้วิจัยเริ่มต้นจากการเลือกเมทอดที่มีจำนวนการเรียกใช้งานเมทอดหรือจำนวนซ้ำเมทอดคอลมากที่สุด โดยตำแหน่งเมทอดคอลทั้งหมดต้องสามารถจัดการด้วยแอสเป็กได้ จากการค้นหาจากลิสเมทอดทั้ง 1,557 เมทอดพบว่า การเรียกใช้งานเมทอด `configureAction()` ของคลาส `ResourceBundleUtil` มีจำนวนซ้ำของเมทอดคอลที่ซ้ำกัน 71 ตำแหน่ง แต่จากการคัดกรองตามเกณฑ์เมทอดคอลที่สามารถจัดการด้วยแอสเป็กได้ ทำให้คงเหลือตำแหน่งของเมทอดคอลทั้งหมด 44 ตำแหน่งซึ่งเป็นจำนวนซ้ำของเมทอดคอลที่มากที่สุด ผู้วิจัยจึงเลือกกลุ่มของเมทอดคอลที่เรียกใช้งานเมทอด `configureAction()` ซ้ำกันทั้งหมด 44 ตำแหน่งเป็นหนึ่งหน่วยตัวอย่าง โดยจำนวนซ้ำของเมทอดคอลมีค่ามากที่สุดเท่ากับ 44 เพื่อให้ค่าจำนวนซ้ำมีค่าหลากหลายสำหรับการนำมาเปรียบเทียบความแตกต่างของคุณภาพจากการทำแอสเป็กรีแฟคทอริง ดังนั้นผู้วิจัยจึงกำหนดช่วงค่าของจำนวนซ้ำเมทอดคอลดังตารางที่ 3.4 เพื่อให้จำนวนซ้ำของเมทอดคอลที่เลือกมาเป็นหน่วยตัวอย่างมีค่าจำนวนซ้ำกระจายอยู่ภายในช่วงค่าจำนวนซ้ำที่แตกต่างกัน โดยมีระยะห่างระหว่างช่วงค่าจำนวนซ้ำเท่ากับ 5

ตารางที่ 3.4 ช่วงค่าของจำนวนซ้ำเมทอดคอลที่ใช้เลือกหน่วยตัวอย่าง

ลำดับของจำนวนซ้ำเมทอดคอล	ช่วงค่าของจำนวนซ้ำเมทอดคอล
1	1-5
2	6-10
3	11-15
4	16-20
5	21-25
6	26-30
7	31-35
8	36-40
9	41-45

จากการวิเคราะห์ผลลัพธ์เมทอดทั้ง 1,557 เมทอดที่ได้จากการค้นหาด้วยเครื่องมือเอ็ฟไอเอ็นที โดยผู้วิจัยพยายามคัดกรองลิสเมทอดให้ได้จำนวนซ้ำของเมทอดคอลครบตามช่วงค่าจำนวนซ้ำของเมทอดคอลที่กำหนดไว้ในตารางที่ 3.4 ข้างต้น จากผลการคัดกรองผู้วิจัยได้พยายามเลือกเมทอดที่ได้เพื่อให้ครอบคลุมทุกช่วงค่าจำนวนซ้ำที่แตกต่างกันให้มากที่สุด แต่เนื่องจากจำนวนซ้ำของเมทอดคอลที่มากขึ้นทำให้การหาจำนวนซ้ำให้ครอบคลุมครบทุกช่วงค่าจำนวนซ้ำของเมทอดคอลทำได้ยาก ผลลัพธ์ที่ได้จึงได้ค่าจำนวนซ้ำที่ครอบคลุมเพียง 8 ช่วงดังตารางที่ 3.5

ตารางที่ 3.5 ผลลัพธ์ลิสเม็ทที่อดที่ได้จากการคัดกรองแยกตามช่วงค่าจำนวนซ้ำ

ลำดับ	ช่วงค่าของจำนวนซ้ำเม็ทที่อดคอลล	ผลลัพธ์จากการคัดกรองลิสเม็ทที่อด	
		เม็ทที่อด	จำนวนซ้ำของเม็ทที่อดคอลล
1	1-5	fireAreaInvalidated(..)	4
		discardAllEdits()	5
2	6-10	addToSelection(..)	9
3	11-15	clearSelection()	12
		removeAllChildren()	12
		firePropertyChange(..)	13
		addUndoableEditListener(..)	15
4	16-20	grow(..)	18
5	21-25	createElement(..)	21
6	26-30	changed()	29
7	31-35	-	-
8	36-40	willChange()	37
9	41-45	configureAction(..)	44

จากผลลัพธ์การเลือกหน่วยตัวอย่างทำให้ได้ลิสเม็ทที่อดดังตารางที่ 3.6 แสดงลิสเม็ทที่อดที่ถูกเรียกใช้งานจากคลาสต่างๆ ทั้งหมด 12 เม็ทที่อด และจำนวนโค้ดโคลนซึ่งเป็นจำนวนซ้ำของเม็ทที่อดคอลลที่เรียกใช้งานเม็ทที่อดเดียวกัน มีจำนวนซ้ำของเม็ทที่อดคอลลแตกต่างกันทั้งหมด 11 จำนวน โดยจำนวนซ้ำของเม็ทที่อดคอลลในตารางเป็นจำนวนที่ผ่านการคัดกรองให้คงเหลือแค่เม็ทที่อดคอลลที่สามารถจัดการด้วยแอสเป็กได้ การทำแอสเป็กรีเฟคทอริงในงานวิจัยนี้จึงเป็นการจัดการเม็ทที่อดคอลลทั้งหมดในแต่ละจำนวนซ้ำด้วยแอสเป็ก โดยเม็ทที่อดคอลลทั้งหมดเป็นการเรียกใช้งานเม็ทที่อดหนึ่งเม็ทที่อดจากลิสผลลัพธ์ในตารางที่ 3.6

ตารางที่ 3.6 ลิสเมทอดและจำนวนซ้ำเมทอดคอลสำหรับทำแอสเป็กรีแพคทอริง

ลำดับ	คลาส	เมทอดของคลาส	จำนวนซ้ำเมทอดคอล
1	AbstractFigure	fireAreaInvalidated(..)	4
2	UndoRedoManager	discardAllEdits()	5
3	DefaultDrawingView	addToSelection(..)	9
4	DefaultDrawingView	clearSelection()	12
5	AbstractCompositeFigure	removeAllChildren()	12
6	AbstractBean	firePropertyChange(..)	13
7	AbstractDrawing	addUndoableEditListener(..)	15
8	Geom	grow(..)	18
9	XMLElement	createElement(..)	21
10	AbstractFigure	changed()	29
11	AbstractFigure	willChange()	37
12	ResourceBundleUtil	configureAction(..)	44

### 3. การทำแอสเป็กรีแพคทอริง

การทำแอสเป็กรีแพคทอริงสำหรับจัดการเมทอดคอลซ้ำกันในแต่ละจำนวนซ้ำตามตารางที่ 3.6 จะใช้ซอฟต์แวร์ตั้งต้นเดียวกันคือเจฮอตดรอว์ เวอร์ชัน 7.1 โดยก่อนการทำแอสเป็กรีแพคทอริงผู้วิจัยจำเป็นต้องแก้ไขซอร์สโค้ดของเจฮอตดรอว์ เวอร์ชัน 7.1 เพื่อให้สามารถจัดการเมทอดคอลซ้ำกันทั้งหมดที่ระบุด้วยภาษาแอสเป็กรีแพคทอริงได้ การแก้ไขจะแก้ไขเพียงลำดับของโค้ดหรือโครงสร้างของคลาสดังนั้นการทำงานของซอฟต์แวร์จึงยังคงเดิม รายละเอียดการแก้ไขซอร์สโค้ดของเจฮอตดรอว์ เวอร์ชัน 7.1 มีรายละเอียดดังนี้

(1) การแก้ไขระดับการเข้าถึง (Access Modifier) ของเมทอดในลิสตารางที่ 3.6 โดยหากระดับการเข้าถึงของเมทอดเป็นไพรเวท (Private) หรือโพรเทค (Protected) ต้องแก้ไขเป็นประเภทพับบลิค (Public) เนื่องจากเมทอดเหล่านี้ถูกเรียกใช้งานจากเมทอดคอลที่อยู่ภายในคลาสต่างๆ โดยผู้วิจัยเลือกสร้างแอสเป็กรีแพคทอริงใหม่ คือ org.jhotdraw.aspect เป็นการควบคุมการสร้างแอสเป็กรีแพคทอริงให้มีแบบแผนเหมือนกัน และการจัดการเมทอดคอลซ้ำกันหลายตำแหน่งมาไว้ในแอสเป็กรีแพคทอริงเพื่อให้ภายในแอสเป็กรีแพคทอริงยังสามารถเรียกใช้งานเมทอดได้ ระดับการเข้าถึงของเมทอดจึงต้องแก้ไขเป็นพับบลิค ตัวอย่างดังรูปที่ 3.8





```

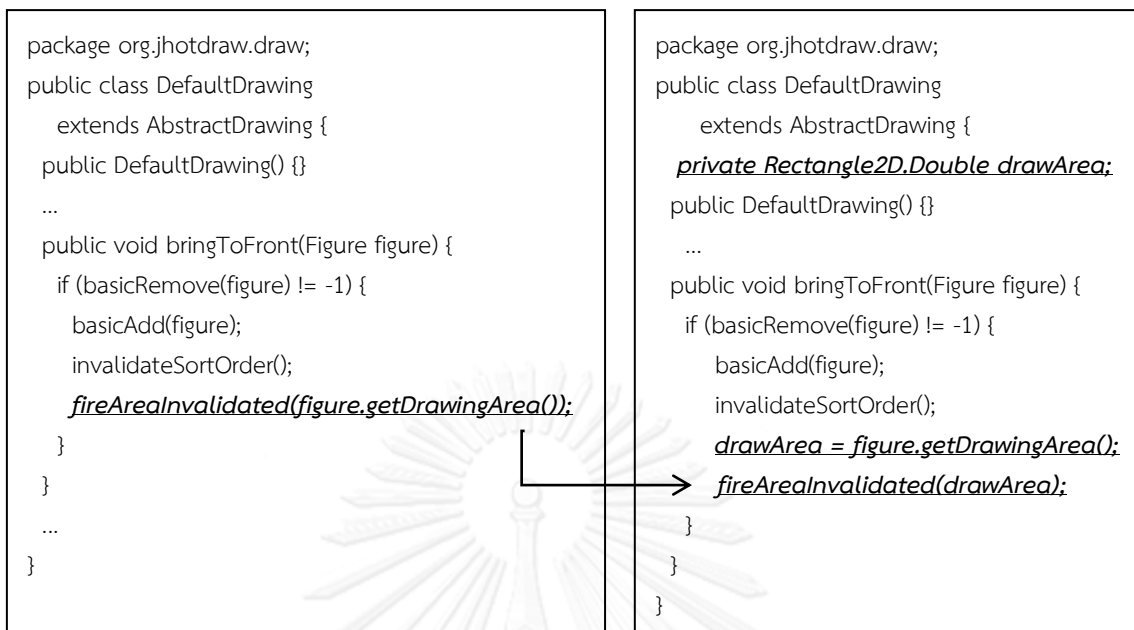
package org.jhotdraw.draw;
public class FontSizeHandle extends LocatorHandle {
    private float oldSize;
    private float newSize;
    private Object restoreData;
    private TextHolderFigure textOwner;
    public void trackStep(Point anchor, Point lead, int modifiersEx) {
        TextHolderFigure textOwner = (TextHolderFigure) getOwner();
        Point2D.Double anchor2D = view.viewToDrawing(anchor);
        Point2D.Double lead2D = view.viewToDrawing(lead);
        if (TRANSFORM.get(textOwner) != null) {
            try {
                TRANSFORM.get(textOwner).inverseTransform(anchor2D, anchor2D);
                TRANSFORM.get(textOwner).inverseTransform(lead2D, lead2D);
            } catch (NoninvertibleTransformException ex) {
                ex.printStackTrace();
            }
        }
        newSize = (float) Math.max(1, oldSize + lead2D.y - anchor2D.y);
        textOwner.willChange();
        textOwner.setFontSize(newSize);
        textOwner.changed();
    }
}

```

รูปที่ 3.9 การแก้ไขการประกาศตัวแปร

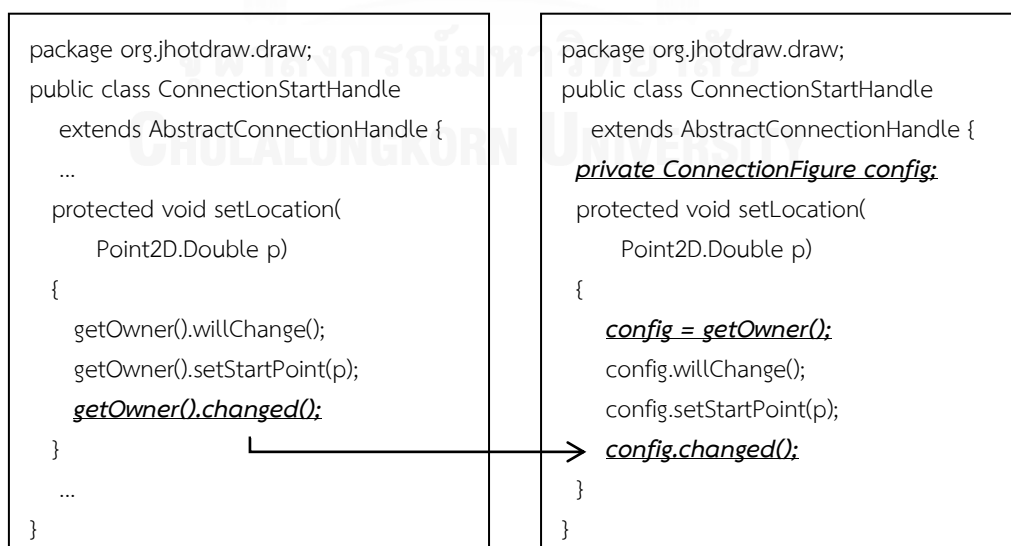
(3) การแก้ไขกรณีคำสั่งเป็นเมที่อดคอลลที่ภายในมีการเรียกใช้งานเมที่อดมากกว่า 1 เมที่อด ตัวอย่างเช่น `fireAreaInvalidated(figure.getDrawingArea());` และ `getOwner().changed();` เป็นต้น การแก้ไขโค้ดทำเพื่อควบคุมเมที่อดคอลลที่จัดการด้วยแอสเป็กให้เป็นเมที่อดคอลลที่เรียกใช้งานเมที่อดเพียงเมที่อดเดียว สามารถแสดงได้ทั้งหมดสองกรณีดังนี้

กรณีแรกพารามิเตอร์เป็นเมที่อดคอลลที่เรียกใช้งานเมที่อดอื่น ส่งผลให้คำสั่งเป็นเมที่อดคอลลซ้อนภายในเมที่อดคอลลอีกที ดังรูปที่ 3.10 บล็อกด้านซ้ายเป็นซอร์สโค้ดก่อนแก้ไขของคลาส `DefaultDrawing` โดยภายในคลาสนี้เมที่อดคอลลที่เรียกใช้งานเมที่อด `fireAreaInvalidated()` ที่สนใจจัดการด้วยแอสเป็กแต่พารามิเตอร์ที่ส่งเป็นเมที่อดคอลลที่เรียกใช้งานเมที่อดอื่น เพื่อควบคุมให้เมที่อดคอลลที่จัดการด้วยแอสเป็กให้เป็นการเรียกใช้งานเมที่อด `fireAreaInvalidated()` เพียงเมที่อดเดียว จำเป็นต้องแก้ไขคลาส `DefaultDrawing` แสดงด้วยบล็อกทางขวา แก้ไขโดยการสร้างตัวแปรคอลล `drawArea` สำหรับเก็บค่าจาก `figure.getDrawingArea()` และส่งเป็นพารามิเตอร์ของเมที่อดคอลล



รูปที่ 3.10 การแก้ไขซอร์สโค้ดของคลาส DefaultDrawing

กรณีที่สองการเรียกใช้งานเมทอดผ่านเมทอดคอลอื่น ส่งผลให้ภายในคำสั่งประกอบด้วยเมทอดคอล 2 เมทอดคอล ดังรูปที่ 3.11 บล็อกทางด้านซ้ายเป็นซอร์สโค้ดก่อนแก้ไขของคลาส ConnectionStartHandle โดยภายในคลาสมีเมทอดคอลที่เรียกใช้งานเมทอด changed() ที่สนใจจัดการด้วยแอสเป็ก แต่การเรียกใช้งานเมทอดดังกล่าวถูกเรียกใช้งานผ่านเมทอดคอล getOwner() เพื่อควบคุมเมทอดคอลที่จัดการด้วยแอสเป็กให้เป็นการเรียกใช้งานเมทอด changed() เพียงเมทอดเดียว จำเป็นต้องแก้ไขโค้ดของคลาส ConnectionStartHandle แสดงด้วยบล็อกทางขวา แก้ไขโดยสร้างตัวแปรคลาส config สำหรับเก็บค่าจากการเรียกใช้งานเมทอด getOwner() ทำให้สามารถเรียกใช้งานเมทอด changed() ผ่านตัวแปรคลาส config แทน



รูปที่ 3.11 การแก้ไขซอร์สโค้ดของคลาส ConnectionStartHandle

จากจำนวนคลาสทั้งหมด 442 คลาสของเจสอตตรอร์ เวอร์ชัน 7.1 การปรับปรุงซอร์สโค้ดจะเริ่มต้นจากการแก้ไขระดับการเข้าถึงของเมทอดในลิสต์ผลลัพธ์ 12 เมทอด โดยแก้ไขเพียงบางเมทอดที่มีระดับการเข้าถึงเป็นไพรเวทหรือโพรเทคต์ดักไว้ในรูปแบบการแก้ไขที่ 1 จากนั้นจึงมาพิจารณาเมทอดคอลทั้งหมดในแต่ละจำนวนซ้ำของเมทอดคอล โดยจะแก้ไขเพียงบางเมทอดคอลที่มีการเข้าถึงตัวแปรโลคอลหรือเมทอดคอลมีการเรียกใช้งานเมทอดมากกว่า 1 เมทอด จะแก้ไขเมทอดคอลดังกล่าวด้วยรูปแบบการแก้ไขที่ 2 และ 3 ตามลำดับ จึงทำให้มีบางคลาสภายในซอร์สโค้ดของเจสอตตรอร์ เวอร์ชัน 7.1 ที่ได้รับแก้ไข โดยในกรณีที่ภายในคลาสมีตำแหน่งเมทอดคอลหลายตำแหน่งที่เรียกใช้งานเมทอดจากลิสต์ผลลัพธ์ 12 เมทอดอยู่ภายในคลาสเดียวกันและเป็นเมทอดคอลที่ต้องได้รับการแก้ไข จะส่งผลให้ภายในคลาสดังกล่าวมีการแก้ไขเมทอดคอลมากกว่า 1 ตำแหน่ง จากการแก้ไขซอร์สโค้ดของเจสอตตรอร์ เวอร์ชัน 7.1 ในแต่ละจำนวนซ้ำของเมทอดคอลจึงสามารถแสดงจำนวนคลาสที่ได้รับการแก้ไขแยกตามรูปแบบการแก้ไขได้ดังตารางที่ 3.7 โดยรูปแบบการแก้ไขระบุด้วยหมายเลขภายในตารางดังนี้

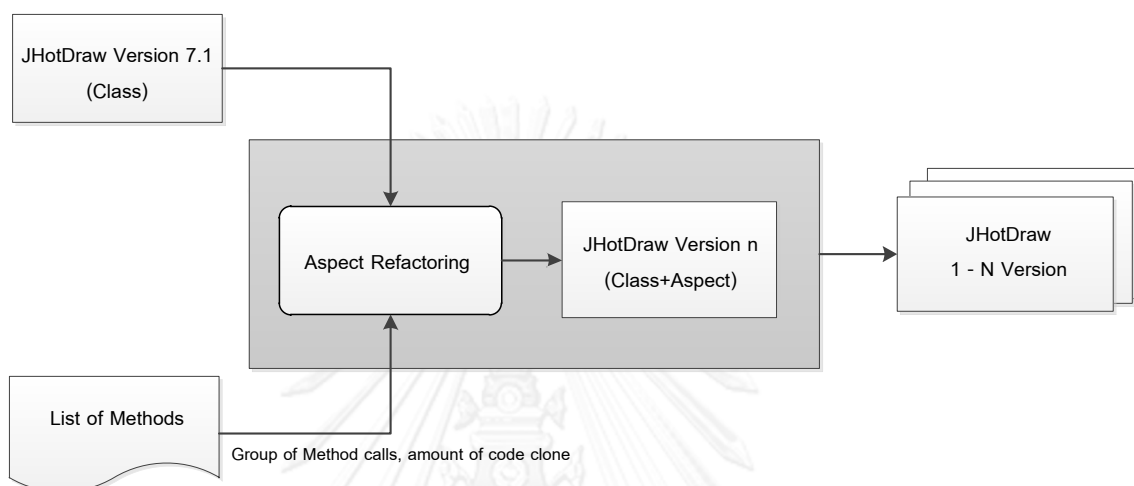
- (1) การแก้ไขระดับการเข้าถึง (Access Modifier) ของเมทอด
- (2) การแก้ไขตัวแปรโลคอล (Local variables) เป็นตัวแปรคลาส
- (3) การแก้ไขกรณีคำสั่งเป็นเมทอดคอลที่มีการเรียกใช้งานเมทอดมากกว่า 1 เมทอด

เมื่อปรับปรุงซอร์สโค้ดเรียบร้อยแล้ว ผู้วิจัยจึงกำหนดให้ซอร์สโค้ดที่ได้รับการแก้ไขเป็นซอร์สโค้ดของเจสอตตรอร์ เวอร์ชัน 7.1 ที่ใช้เป็นซอฟต์แวร์ตั้งต้นสำหรับการทำแอสเป็คทีฟทอริง

ตารางที่ 3.7 รายละเอียดการแก้ไขซอร์สโค้ดของเจสอตตรอร์ เวอร์ชัน 7.1

จำนวนซ้ำ เมทอดคอล	รูปแบบการแก้ไขซอร์สโค้ด ของเจสอตตรอร์เวอร์ชัน 7.1 (จำนวนคลาส)		
	(1)	(2)	(3)
4	1	-	2
5	-	-	-
9	-	-	4
12	-	7	4
12	-	2	5
13	1	6	-
15	-	5	5
18	-	10	2
21	-	2	-
29	-	7	3
37	-	9	-
44	-	26	-

กระบวนการแอสเป็กรีแฟคทอริง (Aspect refactoring) เป็นกระบวนการสำหรับจัดการครอสคัทที่ดึงคอนเซ็ปต์เป็นแอสเป็กร่วมด้วยการใช้โครงสร้างภาษาของการโปรแกรมเชิงแอสเป็กร การทำแอสเป็กรีแฟคทอริงในแต่ละครั้งเลือกจัดการเมทอดคอลลที่ซ้ำกันที่เกิดจากการเรียกใช้งานเมทอดตามลิสผลลัพธ์ที่ได้จากขั้นตอนสองของการค้นหาครอสคัทที่ดึงคอนเซ็ปต์และมีจำนวนโค้ดโคลนตามที่ระบุขั้นตอนโดยรวมของการทำแอสเป็กรีแฟคทอริงแสดงดังรูปที่ 3.12



รูปที่ 3.12 ขั้นตอนการทำแอสเป็กรีแฟคทอริง

จากขั้นตอนการเลือกหน่วยตัวอย่างทำให้ได้ลิสเมทอดพร้อมผลลัพธ์การเรียกใช้งานเมทอดจากคลาสอื่น ๆ และจำนวนซ้ำของเมทอดคอลล การทำแอสเป็กรีแฟคทอริงในแต่ละครั้งจึงกำหนดให้ใช้ซอฟต์แวร์ตั้งต้นเดียวกันคือเจฮอตดรอว์ เวอร์ชัน 7.1 ที่ได้ปรับปรุงซอร์สโค้ดเรียบร้อยแล้ว จากนั้นจึงทำแอสเป็กรีแฟคทอริงโดยเลือกจัดการหนึ่งเมทอดจากลิสผลลัพธ์ที่ได้ในขั้นตอนที่สองเพื่อจัดการเมทอดคอลลที่ซ้ำกันทั้งหมดตามจำนวนโค้ดโคลนที่ระบุไว้ด้วยแอสเป็กร การทำแอสเป็กรีแฟคทอริงอ้างอิงจากเทคนิคเอ็กซ์แทรคเมทอดคอลล (Extract method call) ของ Laddad (2003) เมื่อทำแอสเป็กรีแฟคทอริงเสร็จเรียบร้อยแล้วจะได้ซอฟต์แวร์เจฮอตดรอว์เวอร์ชันใหม่ที่ภายในซอร์สโค้ดมีไฟล์คลาสและไฟล์แอสเป็กร จากนั้นดำเนินการทำแอสเป็กรีแฟคทอริงซ้ำจนกระทั่งจัดการครบตามลิสผลลัพธ์เมทอดที่ได้จากขั้นตอนก่อนหน้า สุดท้ายของขั้นตอนนี้จึงได้ซอฟต์แวร์เจฮอตดรอว์เวอร์ชันต่างๆ ที่แต่ละเวอร์ชันเป็นการจัดการเมทอดคอลลที่มีจำนวนซ้ำของเมทอดคอลลแตกต่างกัน

#### 4. การตรวจสอบความถูกต้องของซอฟต์แวร์

หลังจากทำแอสเป็กรีแฟคทอริงเสร็จเรียบร้อยแล้ว นำเจฮอตดรอว์ทุกเวอร์ชันมาตรวจสอบความถูกต้อง เพื่อเปรียบเทียบผลลัพธ์การทำงานของซอฟต์แวร์หลังทำแอสเป็กรีแฟคทอริงกับซอฟต์แวร์ตั้งต้นเจฮอตดรอว์ เวอร์ชัน 7.1 เพื่อให้แน่ใจว่าหลังจากปรับปรุงซอฟต์แวร์การทำงานของซอฟต์แวร์ยังคงเดิม

### 5. การวัดคุณภาพซอฟต์แวร์

เมื่อการทำงานของเจสอตตรอว์ทุกเวอร์ชันถูกต้องตรงกันกับซอฟต์แวร์ตั้งต้นแล้ว ขั้นตอนนี้จึงนำเจสอตตรอว์แต่ละเวอร์ชันมาเก็บรวบรวมค่ามาตรวัดของมาตรวัดเชิงวัตถุและมาตรวัดเชิงแอสเป็กเพื่อนำไปประเมินคุณภาพซอฟต์แวร์ รายละเอียดของขั้นตอนมีดังนี้

5.1. วัดมาตรวัดเชิงวัตถุ นำเจสอตตรอว์ทุกเวอร์ชันที่ได้จากการทำแอสเป็กกรีแพคทอริงและเจสอตตรอว์ เวอร์ชัน 7.1 ซึ่งเป็นซอฟต์แวร์ตั้งต้นมาเก็บรวบรวมค่ามาตรวัดเชิงวัตถุของ Chidamber และ Kemerer (1993) ทั้งหมดหามาตรวัดด้วยเครื่องมือซีเคเจเอ็ม (CKJM) เครื่องมือดังกล่าวจะใช้งานผ่านบิวด์ทูล (Build Tools) ชื่ออาปาเชแอนท์ (Apache Ant) ด้วยการระบุชุดคำสั่งของแอนท์

5.2. วัดมาตรวัดเชิงแอสเป็ก นำเจสอตตรอว์ทุกเวอร์ชันที่ได้จากการทำแอสเป็กกรีแพคทอริงและเจสอตตรอว์ เวอร์ชัน 7.1 ซึ่งเป็นซอฟต์แวร์ตั้งต้นมาเก็บรวบรวมค่ามาตรวัดเชิงแอสเป็กของ Ceccato และ Tonella (2004) ทั้งหมดหามาตรวัดด้วยเครื่องมือเอโอพีเมตริก (AopMetrics) โดยใช้งานผ่านบิวด์ทูลอาปาเชแอนท์เช่นกัน

### 6. การวิเคราะห์ผลการทดลอง

เบื้องต้นนำค่ามาตรวัดเชิงวัตถุและค่ามาตรวัดเชิงแอสเป็กของเจสอตตรอว์ทุกเวอร์ชันและเจสอตตรอว์ เวอร์ชัน 7.1 มาหาค่าสถิติเชิงพรรณนา (Descriptive statistics) เพื่อพิจารณาความแตกต่างระหว่างการจัดการเมทอดคอลที่มีจำนวนซ้ำมากหรือน้อย

### 3.7 ประเด็นของความถูกต้อง (Validity) และความน่าเชื่อถือ (Reliability) ของข้อมูลที่เก็บ

เนื่องจากงานวิจัยเปรียบเทียบคุณภาพซอฟต์แวร์จากการจัดการเมทอดคอลที่มีจำนวนซ้ำของเมทอดคอลที่ต่างกัน ผู้วิจัยจึงพยายามควบคุมปัจจัยที่เกี่ยวข้องเพื่อให้ได้ข้อมูลที่ถูกต้อง (Valid) และเชื่อถือได้ (Reliable) สำหรับตอบวัตถุประสงค์ของงานวิจัย ดังนี้

(1) การเลือกจัดการครอสคัทตั้งคอนเซิร์น งานวิจัยนี้เป็นการเปรียบเทียบคุณภาพซอฟต์แวร์ที่จัดการครอสคัทตั้งคอนเซิร์น โดยพิจารณาความแตกต่างจากจำนวนโค้ดโคลนที่เกิดจากการอิมพลีเมนต์ครอสคัทตั้งคอนเซิร์น ดังนั้นเพื่อควบคุมให้ค่ามาตรวัดที่ได้เกิดความแตกต่างมาจากจำนวนโค้ดโคลนอย่างแท้จริง ผู้วิจัยจึงได้ควบคุมปัจจัยดังกล่าวด้วยการควบคุมลักษณะของครอสคัทตั้งคอนเซิร์นที่เลือกจัดการด้วยแอสเป็ก โดยกำหนดให้จัดการครอสคัทตั้งคอนเซิร์นที่มีลักษณะเมทอดคอลเพียงอย่างเดียว ทำให้ค่ามาตรวัดที่ได้เกิดความแตกต่างมาจากจำนวนซ้ำของเมทอดคอล และไม่ได้มีผลมาจากโค้ดที่เกี่ยวข้องกับครอสคัทตั้งคอนเซิร์นมีความแตกต่างกัน

(2) การทำแอสเป็กกรีแพคทอริงสำหรับในแต่ละจำนวนโค้ดโคลนมีความจำเป็นต้องควบคุมสภาพแวดล้อมต่างๆในการทดลองให้มีความเหมือนกันมากที่สุด เพื่อไม่ให้ปัจจัยอื่นๆมากระทบต่อค่ามาตรวัด ดังนั้นสำหรับการทำแอสเป็กกรีแพคทอริงในแต่ละจำนวนซ้ำของเมทอดคอลจึงกำหนดให้ใช้ซอฟต์แวร์ตั้งต้นเดียวกันคือ เจสอตตรอว์ เวอร์ชัน 7.1 เพื่อควบคุมให้ซอฟต์แวร์ก่อนปรับปรุงมีการทำงานและฟังก์ชันการทำงานเหมือนกัน เป็นการควบคุมให้ได้ผลมาตรวัดที่สามารถนำมาเปรียบเทียบได้อย่างถูกต้อง

(3) การตรวจสอบการทำงานของซอฟต์แวร์ก่อนและหลังปรับปรุง เนื่องจากการทำแอสเป็กกรีแพคทอริงเป็นการจัดเรียงโค้ดใหม่โดยยังคงพฤติกรรมเดิมของซอฟต์แวร์เอาไว้ ดังนั้นเพื่อให้แน่ใจว่าการทำงานของซอฟต์แวร์ยังคงเดิมหลังจากจัดการเมทอดคอลที่ซ้ำด้วยแอสเป็ก ผู้วิจัยจึงใช้ฟังก์ชันการดีบั๊ก (Debugging) ที่มีในโปรแกรมอีคลิปส์รันเพื่อตรวจสอบค่าของตัวแปรและอ็อบเจกต์ว่าถูกต้องคงเดิมเหมือนซอฟต์แวร์ตั้งต้น เพื่อให้แน่ใจว่าค่ามาตรวัดที่วัดหลังจากทำแอสเป็กกรีแพคทอริงเชื่อถือได้

### 3.8 กรอบการวิเคราะห์ข้อมูล

เนื่องจากงานวิจัยมีวัตถุประสงค์ทั้งหมด 3 ข้อ ได้แก่ (1) เพื่อเปรียบเทียบมาตรวัดเชิงวัตถุของซอฟต์แวร์ที่ปรับปรุงด้วยการทำแอสเป็กกรีแพคทอริงจากจำนวนโค้ดโคลนที่แตกต่างกัน (2) เพื่อเปรียบเทียบมาตรวัดเชิงแอสเป็กของซอฟต์แวร์ที่ปรับปรุงด้วยการทำแอสเป็กกรีแพคทอริงจากจำนวนโค้ดโคลนที่แตกต่างกัน และ (3) เพื่อวิเคราะห์คุณภาพซอฟต์แวร์จากการทำแอสเป็กกรีแพคทอริงด้วยจำนวนโค้ดโคลนที่แตกต่างกัน

สำหรับการตอบวัตถุประสงค์ในข้อ 1 และ 2 การวิเคราะห์ข้อมูลเพื่อตอบวัตถุประสงค์ทั้งสองข้อมีแนวทางการพิจารณาเหมือนกัน โดยสามารถแบ่งการวิเคราะห์ออกเป็น 2 ส่วน ดังนี้

(1) การเปรียบเทียบค่ามาตรวัดก่อนและหลังทำแอสเป็กกรีแพคทอริง เพื่อพิจารณามาตรวัดที่ได้รับผลกระทบจากการทำแอสเป็กกรีแพคทอริง โดยการนำค่ามาตรวัดของคลาสทั้งหมดในเจฮอตตรอว์แต่ละเวอร์ชันมาเทียบกับค่ามาตรวัดของคลาสทั้งหมดในเจฮอตตรอว์ เวอร์ชัน 7.1 ซึ่งเป็นซอฟต์แวร์ตั้งต้น เพื่อแสดงคลาสที่มีค่าเปลี่ยนแปลงหลังทำแอสเป็กกรีแพคทอริง เมื่อพิจารณาเจฮอตตรอว์ทุกเวอร์ชันทำให้ทราบมาตรวัดที่ได้รับผลกระทบเมื่อทำแอสเป็กกรีแพคทอริงโดยการจัดการเมทอดคอลซ้ำกันทั้งหมดด้วยแอสเป็ก

(2) การเปรียบเทียบค่าเฉลี่ยมาตรวัดที่คำนวณจากคลาสทั้งหมดของเจฮอตตรอว์แต่ละเวอร์ชัน โดยเบื้องต้นผู้วิจัยนำค่ามาตรวัดของคลาสทั้งหมดในเจฮอตตรอว์แต่ละเวอร์ชันมาวิเคราะห์ข้อมูลในลักษณะสถิติเชิงพรรณนา (Descriptive statistic) เมื่อได้ข้อมูลสถิติเชิงพรรณนาของเจฮอตตรอว์ทุกเวอร์ชันแล้ว จึงนำค่าเฉลี่ย (Mean) ของแต่ละมาตรวัดมาเปรียบเทียบกันระหว่างเวอร์ชันของเจฮอตตรอว์ เพื่อพิจารณาความแตกต่างหรือแนวโน้มของค่าเฉลี่ยมาตรวัดจากการจัดการเมทอดคอลที่มีจำนวนซ้ำน้อยหรือมากด้วยแอสเป็ก จากการวิเคราะห์สามารถแสดงผลของจำนวนซ้ำเมทอดคอลต่อมาตรวัดซอฟต์แวร์ ทั้งมาตรวัดเชิงวัตถุและมาตรวัดเชิงแอสเป็ก

สำหรับการตอบวัตถุประสงค์ข้อ 3 จากการวิเคราะห์มาตรวัดเชิงวัตถุและมาตรวัดเชิงแอสเป็กที่ตอบวัตถุประสงค์ข้อ 1 และ 2 ทำให้ทราบลิสมมาตรวัดที่ได้รับผลกระทบจากการจัดการเมทอดคอลด้วยแอสเป็กในจำนวนซ้ำของเมทอดคอลที่แตกต่างกัน โดยสามารถนำลิสมมาตรวัดมาวิเคราะห์คุณภาพซอฟต์แวร์ด้วยการพิจารณาจากความสัมพันธ์ระหว่างมาตรวัดและคุณภาพซอฟต์แวร์ แสดงให้เห็นมาตรวัดที่ส่งผลให้คุณภาพซอฟต์แวร์เปลี่ยนแปลง

## บทที่ 4

### ผลการวิเคราะห์ข้อมูล

#### 4.1 บทนำ

ในบทนี้จะนำเสนอถึงผลและการวิเคราะห์ข้อมูลที่ได้จากการทดลอง เพื่อตอบวัตถุประสงค์ของงานวิจัย ได้แก่ (1) เปรียบเทียบมาตรวัดเชิงวัตถุของซอฟต์แวร์ที่ปรับปรุงด้วยการทำแอสเป็กต์แพคทอริงจากจำนวนโค้ดโคลนที่แตกต่างกัน (2) เปรียบเทียบมาตรวัดเชิงแอสเป็กต์ของซอฟต์แวร์ที่ปรับปรุงด้วยการทำแอสเป็กต์แพคทอริงจากจำนวนโค้ดโคลนที่แตกต่างกัน และ (3) วิเคราะห์คุณภาพซอฟต์แวร์จากการทำแอสเป็กต์แพคทอริงด้วยจำนวนโค้ดโคลนที่แตกต่างกัน ซึ่งจะประกอบด้วยหัวข้อย่อยดังนี้ (1) ผลการทำแอสเป็กต์แพคทอริง (2) ผลการวิเคราะห์ข้อมูลเบื้องต้น (3) การเปรียบเทียบค่ามาตรวัดเชิงวัตถุ (4) การเปรียบเทียบค่ามาตรวัดเชิงแอสเป็กต์ และ (5) การอภิปรายผลและการศึกษาเพิ่มเติม

#### 4.2 ผลการทำแอสเป็กต์แพคทอริง

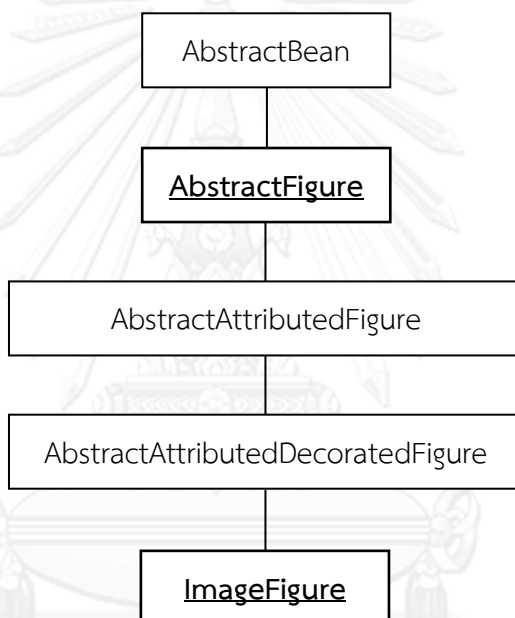
การทำแอสเป็กต์แพคทอริงสำหรับงานวิจัยนี้ ผู้วิจัยเลือกจัดการเมทอดคอลที่ซ้ำกันภายในซอร์สโค้ดด้วยแอสเป็กต์ กรณีศึกษาที่ใช้ในการทดลองคือเจฮอตตรอร์ เวอร์ชัน 7.1 จากการค้นหาครอสคัทตั้งคอนเซิร์นภายในซอร์สโค้ดของเจฮอตตรอร์ เวอร์ชัน 7.1 ทำให้ได้รายชื่อเมทอดทั้งหมด 12 เมทอด โดยแต่ละเมทอดมีจำนวนซ้ำของเมทอดคอลแตกต่างกัน 11 จำนวน ดังตารางที่ 4.1

ตารางที่ 4.1 ลิสเมทอดและจำนวนซ้ำเมทอดคอลสำหรับทำแอสเป็กต์แพคทอริง

ลำดับ	คลาส	เมทอดของคลาส	จำนวนซ้ำเมทอดคอล
1	AbstractFigure	fireAreaInvalidated(..)	4
2	UndoRedoManager	discardAllEdits()	5
3	DefaultDrawingView	addToSelection(..)	9
4	DefaultDrawingView	clearSelection()	12
5	AbstractCompositeFigure	removeAllChildren()	12
6	AbstractBean	firePropertyChange(..)	13
7	AbstractDrawing	addUndoableEditListener(..)	15
8	Geom	grow(..)	18
9	XMLElement	createElement(..)	21
10	AbstractFigure	changed()	29
11	AbstractFigure	willChange()	37
12	ResourceBundleUtil	configureAction(..)	44

จากตารางที่ 4.1 แต่ละจำนวนซ้ำเมทอดคอลอาจประกอบด้วยเมทอดคอลที่มีลักษณะแตกต่างกัน ผู้วิจัยจึงวิเคราะห์เมทอดคอลทั้งหมดของแต่ละจำนวนซ้ำเมทอดคอล และจำแนกรูปแบบของลักษณะเมทอดคอลทั้งหมด 5 รูปแบบ ดังนี้

(1) ลักษณะเมทอดคอลเป็นการเรียกใช้งานเมทอดจากภายในคลาสโดยตรง เนื่องจากภายในคลาสอิมพลิเมนต์เมทอดที่ต้องการเรียกใช้งานไว้อยู่แล้ว หรือเป็นคลาสลูกอยู่ในลำดับชั้นคลาสเดียวกันกับคลาสแม่ที่อิมพลิเมนต์เมทอด จึงสามารถเรียกใช้งานเมทอดได้จากภายในลำดับชั้นคลาสเดียวกัน ตัวอย่างดังรูปที่ 4.1 แสดงลำดับชั้นคลาสจากคลาสแม่ไปยังคลาสลูก โดยภายในลำดับชั้นคลาสมือ้คลาสแม่ชื่อ `AbstractFigure` ที่อิมพลิเมนต์การทำงานของเมทอด `changed()` ส่งผลให้คลาสลูกชื่อ `ImageFigure` สามารถเรียกใช้งานเมทอด `changed()` ได้จากภายในคลาสโดยตรง ดังตัวอย่างคลาส `ImageFigure` รูปที่ 4.2



รูปที่ 4.1 คลาสแม่ `AbstractFigure` และคลาสลูก `ImageFigure` ภายในลำดับชั้นคลาสเดียวกัน



```

public class ImageFigure extends AbstractAttributedDecoratedFigure
    implements ImageHolderFigure {
    public ImageFigure() {
        this(0,0,0,0);
    }
    public ImageFigure(double x, double y, double width, double height) {
        rectangle = new Rectangle2D.Double(x, y, width, height);
    }
    public void setImage(byte[] imageData, BufferedImage bufferedImage) {
        willChange();
        this.imageData = imageData;
        this.bufferedImage = bufferedImage;
        changed();
    }
    ...
}

```

รูปที่ 4.2 ตัวอย่างลักษณะเมทอดคอลที่เรียกใช้งานเมทอดจากภายในคลาสโดยตรง

(2) ลักษณะเมทอดคอลเป็นการเรียกใช้งานเมทอดผ่านชื่อคลาสโดยตรง เนื่องจากชื่อคลาสดังกล่าวเป็นคลาสที่อิมพลิเมนต์การทำงานของเมทอดที่ต้องการใช้งาน ตัวอย่างของลักษณะเมทอดคอลแสดงดังรูปที่ 4.3 ภายในคลาส NodeFigure มีการเรียกใช้งานเมทอด grow() ของคลาส Geom ด้วยการเรียกใช้งานเมทอดผ่านชื่อคลาส Geom และภายในคลาส Geom มีการอิมพลิเมนต์การทำงานของเมทอด grow() ดังรูปที่ 4.4

```

package org.jhotdraw.samples.net.figures;
import java.awt.geom.*;
public class NodeFigure extends TextFigure {
    public Rectangle2D.Double b;
    public NodeFigure() { ... }
    ...
    public Rectangle2D.Double getFigureDrawingArea() {
        b = super.getFigureDrawingArea();
        Geom.grow(b, 10d, 10d);
        return b;
    }
    ...
}

```

รูปที่ 4.3 ตัวอย่างลักษณะเมทอดคอลที่เรียกใช้งานเมทอดผ่านชื่อคลาสโดยตรง

```

package org.jhotdraw.geom;
import java.awt.*;
import java.awt.geom.*;
public class Geom {
    private Geom() {}
    ...
    public static void grow(Rectangle2D.Double r, double h, double v) {
        r.x -= h;
        r.y -= v;
        r.width += h * 2d;
        r.height += v * 2d;
    }
}

```

รูปที่ 4.4 คลาส Geom มีการอิมพลิเมนต์เมทอด grow()

(3) ลักษณะเมทอดคอลเป็นการเรียกใช้งานเมทอดผ่านตัวแปรอ็อบเจกต์คลาส ตัวอย่างลักษณะเมทอดคอลแสดงดังรูปที่ 4.5 ภายในคลาส ConnectionStartHandle มีการเรียกใช้งานเมทอด changed() โดยเรียกใช้งานเมทอดผ่านตัวแปรอ็อบเจกต์ของคลาส ConnectionFigure ชื่อ config ที่ประกาศไว้ภายในคลาส ConnectionStartHandle

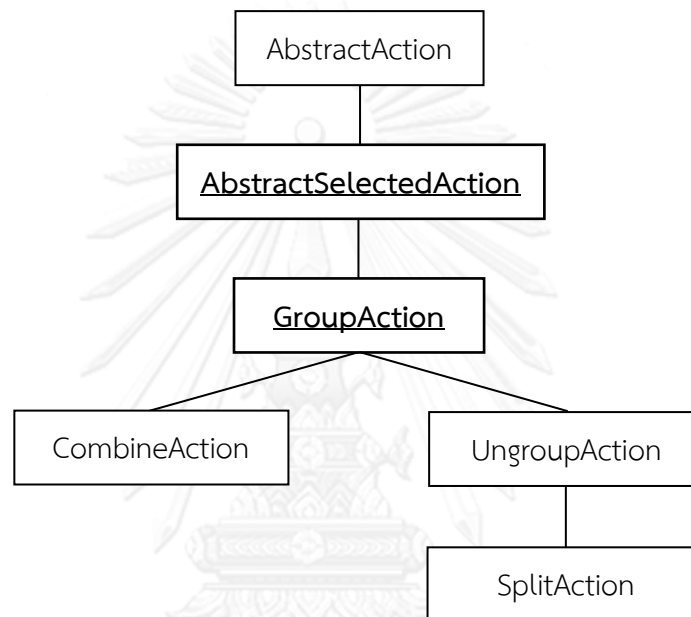
```

package org.jhotdraw.draw;
public class ConnectionStartHandle extends AbstractConnectionHandle {
    private ConnectionFigure config;
    public ConnectionStartHandle(ConnectionFigure owner) {
        super(owner);
    }
    ...
    protected void setLocation(Point2D.Double p) {
        config = getOwner();
        config.willChange();
        config.setStartPoint(p);
        config.changed();
    }
    ...
}

```

รูปที่ 4.5 ตัวอย่างลักษณะเมทอดคอลที่เรียกใช้งานเมทอดผ่านตัวแปรอ็อบเจกต์

(4) ลักษณะเมทอดคอลเป็นการเรียกใช้งานเมทอดผ่านตัวแปรอ็อบเจกต์คลาสของคลาสแม่ ลักษณะนี้จะคล้ายกับลักษณะเมทอดคอลรูปแบบ 3 คือการเรียกใช้งานเมทอดผ่านตัวแปรอ็อบเจกต์คลาส จากรูปที่ 4.6 แสดงลำดับชั้นคลาส โดยคลาสแม่คือคลาส `AbstractSelectedAction` และคลาสลูกที่สนใจคือคลาส `GroupAction` ตัวอย่างลักษณะเมทอดคอลแสดงดังรูปที่ 4.7 ภายในคลาสลูก `GroupAction` มีการเรียกใช้งานเมทอด `configureAction()` ผ่านตัวแปรอ็อบเจกต์ของคลาส `ResourceBundleUtil` ชื่อ `labels` แต่ตัวแปรอ็อบเจกต์ดังกล่าวประกาศไว้ภายในคลาสแม่ `AbstractSelectedAction` ดังรูป 4.8



รูปที่ 4.6 คลาสแม่ `AbstractSelectedAction` และคลาสลูก `GroupAction` ในลำดับชั้นคลาส

```

public class GroupAction extends AbstractSelectedAction {
    ...
    public GroupAction(DrawingEditor editor, CompositeFigure prototype, Boolean isGroupingAction) {
        super(editor);
        this.prototype = prototype;
        this.isGroupingAction = isGroupingAction;
        labels.configureAction(this, ID);
    }
    ...
}
  
```

รูปที่ 4.7 ตัวอย่างลักษณะเมทอดคอลที่เรียกใช้งานเมทอดผ่านตัวแปรอ็อบเจกต์ของคลาสแม่

```

public abstract class AbstractSelectedAction extends AbstractAction {
    private DrawingEditor editor;
    protected ResourceBundleUtil labels =
        ResourceBundleUtil.getLAFBundle("org.jhotdraw.draw.Labels", Locale.getDefault());
    public AbstractSelectedAction(DrawingEditor editor) {
        setEditor(editor);
        updateEnabledState();
    }
}

```

รูปที่ 4.8 การประกาศตัวแปรอ็อบเจกต์ labels ไว้ในคลาสแม่ AbstractSelectedAction

(5) ลักษณะเมที่อดคอลลเป็นการเรียกใช้งานเมที่อดผ่านตัวแปรอ็อบเจกต์ที่เป็นพารามิเตอร์ ตัวอย่างลักษณะเมที่อดคอลลแสดงดังรูปที่ 4.9 ภายในคลาส AttributeKey มีการเรียกใช้งานเมที่อด changed() โดยเรียกใช้งานผ่านตัวแปรอ็อบเจกต์ซึ่งเป็นพารามิเตอร์ที่รับเข้ามาของเมที่อด ตัวแปรอ็อบเจกต์ดังกล่าว คือ ตัวแปรอ็อบเจกต์ f

```

package org.jhotdraw.draw;
public class AttributeKey<T> {
    ...
    public AttributeKey(String key, T defaultValue, boolean isNullValueAllowed) {
        this.key = key;
        this.defaultValue = defaultValue;
        this.isNullValueAllowed = isNullValueAllowed;
    }
    public void set(Figure f, T value) {
        f.willChange();
        basicSet(f, value);
        f.changed();
    }
}

```

รูปที่ 4.9 ตัวอย่างลักษณะเมที่อดคอลลที่เรียกใช้งานเมที่อดผ่านตัวแปรอ็อบเจกต์ที่เป็นพารามิเตอร์

การทำแอสเป็กทีฟคอลลิงโดยจัดการเมที่อดคอลลซ้ำกันด้วยแอสเป็ก งานวิจัยนี้เปรียบเทียบจำนวนซ้ำของเมที่อดคอลลที่แตกต่างกันทั้งหมด 11 จำนวนดังตารางที่ 4.1 ข้างต้น โดยแต่ละจำนวนซ้ำเมที่อดคอลลอาจประกอบด้วยลักษณะเมที่อดคอลลหลายลักษณะแตกต่างกัน ผู้วิจัยจึงวิเคราะห์และจำแนกรูปแบบของลักษณะเมที่อดคอลลในแต่ละจำนวนซ้ำเมที่อดคอลลตาม 5 รูปแบบข้างต้นดังตารางที่ 4.2 โดยรูปแบบของลักษณะเมที่อดคอลลระบุด้วยหมายเลขในตารางดังนี้

- (1) ลักษณะเมที่อดคอลเป็นการเรียกใช้งานเมที่อดจากภายในคลาสโดยตรง
- (2) ลักษณะเมที่อดคอลเป็นการเรียกใช้งานเมที่อดผ่านชื่อคลาสโดยตรง
- (3) ลักษณะเมที่อดคอลเป็นการเรียกใช้งานเมที่อดผ่านตัวแปรอ็อบเจกต์คลาส
- (4) ลักษณะเมที่อดคอลเป็นการเรียกใช้งานเมที่อดผ่านตัวแปรอ็อบเจกต์คลาสของคลาสแม่
- (5) ลักษณะเมที่อดคอลเป็นการเรียกใช้งานเมที่อดผ่านตัวแปรอ็อบเจกต์ที่เป็นพารามิเตอร์

ตารางที่ 4.2 จำนวนรูปแบบของลักษณะเมที่อดคอลในแต่ละจำนวนซ้ำของเมที่อดคอล

จำนวนซ้ำของ เมที่อดคอล	รูปแบบของลักษณะเมที่อดคอล					รวม
	(1)	(2)	(3)	(4)	(5)	
4	4	-	-	-	-	4
5	-	-	5	-	-	5
9	-	-	4	-	5	9
12	2	-	5	-	5	12
12	-	-	12	-	-	12
13	13	-	-	-	-	13
15	-	-	10	-	5	15
18	-	18	-	-	-	18
21	-	-	-	-	21	21
29	12	-	15	-	2	29
37	17	-	18	-	2	37
44	-	-	36	8	-	44

ดังนั้นเพื่อตอบวัตถุประสงค์ของงานวิจัย ผู้วิจัยจึงต้องดำเนินการทดลองโดยมีขั้นตอนต่างๆ สำหรับเก็บรวบรวมค่ามาตรวัดที่นำมาใช้เปรียบเทียบระหว่างการจัดการเมที่อดคอลในจำนวนซ้ำที่แตกต่างกัน ขั้นตอนการเก็บข้อมูลค่ามาตรวัดมีรายละเอียดดังนี้

#### 4.2.1 การจัดการเมที่อดคอลซ้ำกันทั้งหมดด้วยแอสเป็ก

การทำแอสเป็กกรีแพคทอริงเพื่อจัดการเมที่อดคอลซ้ำกันทั้งหมดด้วยแอสเป็ก โดยมีจำนวนซ้ำของเมที่อดคอลแตกต่างกันทั้งหมด 11 จำนวน แต่ละจำนวนซ้ำของเมที่อดคอลเป็นการเรียกใช้งานเมที่อดที่แตกต่างกันทั้งหมด 12 เมที่อดดังตารางที่ 4.1 ข้างต้น การทำแอสเป็กกรีแพคทอริงในแต่ละครั้งกำหนดให้ใช้ซอร์สโค้ดตั้งต้นเดียวกันคือ ซอร์สโค้ดที่ปรับปรุงแล้วของเจฮอตตรอว์เวอร์ชัน 7.1 และเลือกจัดการกลุ่มของเมที่อดคอลที่เรียกใช้งานเมที่อดเดียวกันจากในลิสมลล์พธ์ตาราง 4.1 ดังนั้นหลังทำแอสเป็กกรีแพคทอริงครบเรียบร้อยแล้วจึงได้เจฮอตตรอว์ทั้งหมด 12 เวอร์ชันที่จัดการเมที่อดคอลที่มีจำนวนซ้ำแตกต่างกัน สามารถแสดงเวอร์ชันของเจฮอตตรอว์ได้ดังตารางที่ 4.3

ตารางที่ 4.3 เวอร์ชันของเจสอตตรอร์วี่ที่จัดการจำนวนซ้ำของเม็ท้อดคอลแตกต่างกันด้วยแอสเป็ก

เจสอตตรอร์วี่	จำนวนซ้ำของเม็ท้อดคอล
เวอร์ชัน 7.1 (ซอฟต์แวร์ตั้งต้น)	0
เวอร์ชัน 1	4
เวอร์ชัน 2	5
เวอร์ชัน 3	9
เวอร์ชัน 4	12
เวอร์ชัน 5	12
เวอร์ชัน 6	13
เวอร์ชัน 7	15
เวอร์ชัน 8	18
เวอร์ชัน 9	21
เวอร์ชัน 10	29
เวอร์ชัน 11	37
เวอร์ชัน 12	44

การทำแอสเป็กกรีแพคทอริงสำหรับจัดการเม็ท้อดคอลซ้ำกันทั้งหมดด้วยแอสเป็กอ้างอิงจากเทคนิคเอ็กซ์แทรคเม็ท้อดคอล (Extract method call) ของ Laddad (2003) โดยได้กล่าวเอาไว้ในบทที่ 2 แต่เนื่องจากเทคนิคดังกล่าวเป็นขั้นตอนสำหรับจัดการเม็ท้อดคอลที่ไม่มีความซับซ้อน คือสามารถดึงเม็ท้อดคอลออกมาจากคลาสและนำมาไว้ในแอตไวจ์ของแอสเป็กได้เลยดังตัวอย่างที่แสดงในบทที่ 2 และเป็นเม็ท้อดคอลที่เรียกใช้งานเม็ท้อดจากชื่อคลาสโดยตรง แสดงตัวอย่างเม็ท้อดคอลดังรูปที่ 4.10 เม็ท้อดคอลเรียกใช้งานเม็ท้อด `checkPermission()` จากชื่อคลาส `AccessController` การจัดการเม็ท้อดคอลจึงสามารถดึงเม็ท้อดคอลออกมาจากคลาสและเพิ่มภายในแอตไวจ์ได้โดยตรง

```
AccessController.checkPermission(new BankingPermission("accountOperation"));
ชื่อคลาส
```

รูปที่ 4.10 ตัวอย่างเม็ท้อดคอลที่เรียกใช้งานเม็ท้อดจากชื่อคลาสโดยตรง

เนื่องจากลักษณะเม็ท้อดคอลที่เลือกจัดการด้วยแอสเป็กสำหรับเจสอตตรอร์วี่ทั้ง 12 เวอร์ชันมีลักษณะการเรียกใช้งานเม็ท้อดหลากหลายดังที่กล่าวข้างต้น โดยอาจไม่สามารถใช้เทคนิคเอ็กซ์แทรคเม็ท้อดคอลในการจัดการได้เพียงอย่างเดียวแต่ต้องใช้ขั้นตอนอื่นเพิ่มเติม สามารถแสดงลักษณะเม็ท้อดคอลที่ซับซ้อนรวมถึงวิธีการจัดการเม็ท้อดคอลด้วยแอสเป็ก แบ่งออกเป็น 3 กรณี ดังนี้

(1) ลักษณะเม็ท้อดคอลเป็นการเรียกใช้งานเม็ท้อดจากภายในคลาสโดยตรง ดังตัวอย่างเม็ท้อดคอลในรูปที่ 4.11 ภายในคลาส `ImageFigure` มีเม็ท้อดคอลที่เรียกใช้งานเม็ท้อด `changed()` ซ้ำกันทั้งหมด 3 ตำแหน่ง

```

package org.jhotdraw.draw;
public class ImageFigure extends AbstractAttributedDecoratedFigure
    implements ImageHolderFigure {
    private byte[] imageData;
    private BufferedImage bufferedImage;
    ...
    public void setImage(byte[] imageData, BufferedImage bufferedImage) {
        willChange();
        this.imageData = imageData;
        this.bufferedImage = bufferedImage;
        changed();
    }
    public void setImageData(byte[] imageData) {
        willChange();
        this.imageData = imageData;
        this.bufferedImage = null;
        changed();
    }
    public void setBufferedImage(BufferedImage image) {
        willChange();
        this.imageData = null;
        this.bufferedImage = image;
        changed();
    }
    ...
}

```

รูปที่ 4.11 ตัวอย่างลักษณะเมทอดคอลที่เรียกใช้งานเมทอดจากภายในคลาสโดยตรง

การจัดการเมทอดคอลทั้ง 3 ตำแหน่งด้วยแอสเป็กสามารถอ้างอิงจากเทคนิคเอ็กซ์แทรคเมทอดคอล โดยเริ่มจากการสร้างพอยท์คัท `changedExecution` เพื่อใช้ระบุไปยังตำแหน่งเดิมของเมทอดคอลเป็นตำแหน่งที่ต้องการให้เมทอดคอลทำงาน จากตัวอย่างตำแหน่งเดิมของเมทอดคอลคือตอนท้ายของเมทอด ดังนั้นจึงกำหนดพอยท์คัทให้ระบุไปยังตำแหน่งจอยน์พอยท์ คือ การทำงานของเมทอดทั้งสามเมทอด ด้วยโครงสร้างพอยท์คัทคือ `execution(MethodSignature)` และสร้างแอตไวซ์ประเภทออฟเตอร์ (After) แสดงดังรูปที่ 4.12 จากพอยท์คัทและแอตไวซ์ที่สร้างเป็นการกำหนดให้โค้ดภายในแอตไวซ์ของแอสเป็กทำงานหลังจากเมทอดที่ระบุไว้ในพอยท์คัททำงานเสร็จสิ้น

```

package org.jhotdraw.aspect;
public aspect AspectChanged {
    pointcut changedExecution ()
        : execution(void ImageFigure.setBufferedImage(..))
        || execution(void ImageFigure.setImage(..))
        || execution(void ImageFigure.setImageData(..));
    after() : changedExecution(){
    }
}

```

รูปที่ 4.12 การสร้างพอยท์คัทและแอดไวซ์

การดึงเมทอดคอลทั้งสามตำแหน่งจากคลาสออกมาไว้ในแอดไวซ์ของแอสเป็ก เนื่องจากไม่สามารถนำเมทอดคอลออกมาไว้ในแอดไวซ์ได้โดยตรงจึงต้องเพิ่มเติมจากเทคนิคเริกซ์แทรกเมทอดคอลคือ การประกาศตัวแปรอ็อบเจกต์ในแอสเป็กเพื่อเก็บค่าตัวแปรอ็อบเจกต์ที่สามารถเรียกใช้งานเมทอด `changed()` และเพิ่มคำสั่งภายในแอดไวซ์เพื่อเก็บค่าตัวแปรอ็อบเจกต์ที่ส่งมาจากพอยท์คัท คำสั่งสำหรับเก็บค่าตัวแปรอ็อบเจกต์ของคลาส `ImageFigure` ที่ส่งมาจากพอยท์คัท `changedExecution` คือคำสั่ง `Object obj = thisJoinPoint.getThis();` ดังรูปที่ 4.13 ทำให้ในแอดไวซ์สามารถเรียกใช้งานเมทอด `changed()` ได้โดยเรียกใช้งานผ่านตัวแปรอ็อบเจกต์ที่ประกาศไว้ภายในแอสเป็ก

```

package org.jhotdraw.aspect;
public aspect AspectChanged {
    private AbstractFigure tmpObj;
    pointcut changedExecution ()
        : execution(void ImageFigure.setBufferedImage(..))
        || execution(void ImageFigure.setImage(..))
        || execution(void ImageFigure.setImageData(..));
    after() : changedExecution(){
        Object obj = thisJoinPoint.getThis();
        tmpObj = (AbstractFigure)obj;
        tmpObj.changed();
    }
}

```

รูปที่ 4.13 การเก็บค่าตัวแปรอ็อบเจกต์สำหรับนำมาเรียกใช้งานเมทอด `changed()`

ขั้นตอนสุดท้ายของเทคนิคเริกซ์แทรกเมทอดคอลคือ การใช้ไวลด์การ์ด (Wildcard) สำหรับปรับปรุงพอยท์คัท ดังรูปที่ 4.14 ผลจากการใช้ไวลด์การ์ดทำให้การแก้ไขหรือเพิ่มฟังก์ชันในอนาคตทำได้ง่ายขึ้น เช่น คลาส `SVGImageFigure` มีการเรียกใช้งานเมทอด `changed()` ในตอนท้ายของทั้งสามเมทอดที่มีชื่อเมทอดเหมือนกันกับคลาส `ImageFigure` การใช้ไวลด์การ์ดส่งผลให้สามารถ



ใช้พอยท์คัทและแอดไวซ์ที่สร้างไว้แล้วกับการเรียกใช้งานเมทอด `changed()` ของคลาส `SVGImage` Figure ได้เลย

```
package org.jhotdraw.aspect;
public aspect AspectChanged {
    private AbstractFigure tmpObj;
    pointcut changedExecution () : execution(void *ImageFigure.set*Image*(..));
    after() : changedExecution(){
        Object obj = thisJoinPoint.getThis();
        tmpObj = (AbstractFigure)obj;
        tmpObj.changed();
    }
}
```

รูปที่ 4.14 การใช้ไพลด์การ์ดปรับปรุงพอยท์คัท

(2) ลักษณะเมทอดคอลลเป็นกรเรียกใช้งานเมทอดผ่านตัวแปรอ็อบเจกต์ของคลาส หรือเมทอดคอลลมีการส่งอาร์กิวเมนต์เป็นตัวแปรอ็อบเจกต์หรือแอตทริบิวต์ของคลาส ดังตัวอย่างเมทอดคอลลรูปที่ 4.15 ภายในคลาส `DrawingPanel` มีเมทอดคอลลที่ต้องการจัดการด้วยแอสเป็กคือ เมทอดคอลลที่เรียกใช้งานเมทอด `addUndoableEditListener()` ผ่านตัวแปรอ็อบเจกต์ `drawing` ของคลาส `DefaultDrawing` และมีการส่งอาร์กิวเมนต์คือตัวแปรอ็อบเจกต์ `undoManager` ของคลาส `UndoRedoManager`

```
public class DrawingPanel extends JPanel {
    private DefaultDrawing drawing;
    private UndoRedoManager undoManager;
    private DrawingEditor editor;
    public DrawingPanel() {
        ResourceBundleUtil labels = ResourceBundleUtil.getLAFBundle(
"org.jhotdraw.draw.Labels");
        initComponents();
        undoManager = new UndoRedoManager();
        editor = new DefaultDrawingEditor();
        editor.add(view);
        drawing = new DefaultDrawing();
        view.setDrawing(drawing);
        drawing.addUndoableEditListener(undoManager);
    }
}
```

รูปที่ 4.15 ตัวอย่างลักษณะเมทอดคอลลที่เรียกใช้งานเมทอดผ่านตัวแปรอ็อบเจกต์และอาร์กิวเมนต์เป็นตัวแปรอ็อบเจกต์

การจัดการเมทอดคอลด้วยแอสเป็ก ภายในแอสเป็กจึงต้องสามารถเข้าถึงตัวแปรอ็อบเจกต์ที่ต้องนำมาใช้ภายในเมทอดคอลได้ โดยการประกาศตัวแปรในแอสเป็กและเก็บค่าของตัวแปรอ็อบเจกต์คลาสมาไว้ในตัวแปรที่สร้าง จากตัวอย่างตัวแปรอ็อบเจกต์ของคลาสที่ต้องใช้ในเมทอดคอล มีสองตัวแปร ได้แก่ drawing และ undoManager ภายในแอสเป็กจึงประกาศสองตัวแปรสำหรับเก็บค่า ได้แก่ ตัวแปร tmpDraw และ tmpUndo จากรูปที่ 4.16 แสดงการเก็บค่าตัวแปรอ็อบเจกต์ drawing ของคลาสมาไว้ในตัวแปรอ็อบเจกต์ tmpDraw ของแอสเป็ก โดยสร้างพอยท์คัท collectDrawing เพื่อระบุไปยังตำแหน่งจอยน์พอยท์ที่เป็นการกำหนดค่าของตัวแปร drawing ในคลาส หรือจอยน์พอยท์ประเภท ฟیلด์ ไรต์ แอ็กเซส (Field write access) กำหนดด้วยโครงสร้างพอยท์คัทคือ set(FieldSignature) และสร้างแอตไวยซ์ประเภทออพเตอร์ จากการกำหนดพอยท์คัทและแอตไวยซ์ เมื่อตัวแปร drawing ในคลาส DrawingPanel ถูกกำหนดค่าให้กับตัวแปรเรียบร้อยแล้วโค้ดในแอตไวยซ์ของพอยท์คัท collectDrawing จึงทำงานเพื่อรับค่าตัวแปร drawing ของคลาสมา กำหนดให้ตัวแปร tmpDraw ของแอสเป็ก

```

package org.jhotdraw.aspect;
public aspect AspectAddUndoableEditListener {
    private AbstractDrawing tmpDraw;
    pointcut collectDrawing() : set(private * DrawingPanel.drawing);
    after() : collectDrawing(){
        Object tmp[] = thisJoinPoint.getArgs();
        tmpDraw = (AbstractDrawing)tmp[0];
    }
}

```

รูปที่ 4.16 การเก็บค่าตัวแปรอ็อบเจกต์ drawing มาไว้ในแอสเป็ก

ส่วนการเก็บค่าของตัวแปรอ็อบเจกต์ undoManager ของคลาสมาไว้ในตัวแปรอ็อบเจกต์ tmpUndo ของแอสเป็กเพื่อส่งเป็นอาร์กิวเมนต์ของเมทอดคอล การเก็บค่าจะทำในลักษณะเดียวกันแต่แก้ไขพอยท์คัทให้ระบุไปยังตำแหน่งการกำหนดค่าตัวแปร undoManager ของคลาสแทน ดังนั้นเมื่อซอฟต์แวร์ดำเนินการมาถึงการกำหนดค่าตัวแปร undoManager หลังจากกำหนดค่าตัวแปรเรียบร้อยแล้วโค้ดภายในแอตไวยซ์ของพอยท์คัท collectUndoManager จึงทำงานเพื่อรับค่าตัวแปร undoManager ของคลาสมา กำหนดให้ตัวแปร tmpUndo ของแอสเป็ก ดังรูปที่ 4.17

```

package org.jhotdraw.aspect;
public aspect AspectAddUndoableEditListener {
    private UndoRedoManager tmpUndo;
    pointcut collectUndoManager() : set(private * DrawingPanel.undoManager);
    after() : collectUndoManager (){
        Object tmp[] = thisJoinPoint.getArgs();
        tmpUndo = (UndoRedoManager)tmp[0];
    }
}

```

รูปที่ 4.17 การเก็บค่าตัวแปรอ็อบเจกต์ undoManager สำหรับส่งเป็นอาร์กิวเมนต์ในเมทอดคอล

เมื่อสามารถเก็บค่าทั้งสองตัวแปรอ็อบเจกต์ภายในแอสเป็กได้แล้ว การนำเมทอดคอลออกจากคลาสและนำมาไว้ในแอสเป็กจึงสามารถอ้างอิงเทคนิคเอ็กซ์แทรคเมทอดคอล โดยการสร้างพอยท์คัทเพื่อระบุไปยังตำแหน่งเดิมที่เมทอดคอลทำงานภายในคลาส จากตัวอย่างเมทอดคอลอยู่ในตอนท้ายของคอนสตรัคเตอร์ของคลาส DrawingPanel ตำแหน่งดังกล่าวคือจอยน์พอยท์ประเภทคอนสตรัคเตอร์เอ็กซ์คิวชัน (Constructor execution) ต่อมาจึงสร้างแอดไวซ์ประเภทอพเตอร์และนำเมทอดคอลมาไว้ในแอดไวซ์ โดยเรียกใช้งานเมทอดผ่านตัวแปร tmpDraw และส่งอาร์กิวเมนต์ด้วยตัวแปร tmpUndo ดังรูปที่ 4.18 ดังนั้นเมื่อซอฟต์แวร์ดำเนินการมาถึงการสร้างคอนสตรัคเตอร์ของคลาส DrawingPanel หลังคอนสตรัคเตอร์ทำงานเสร็จเรียบร้อยแล้ว เมทอดคอลในแอดไวซ์จึงทำงาน

```

public aspect AspectAddUndoableEditListener {
    private AbstractDrawing tmpDraw;
    private UndoRedoManager tmpUndo;
    pointcut collectDrawing() : set(private * DrawingPanel.drawing);
    after() : collectDrawing(){
        Object tmp[] = thisJoinPoint.getArgs();
        tmpDraw = (AbstractDrawing)tmp[0];
    }
    pointcut collectUndoManager() : set(private * DrawingPanel.undoManager);
    after() : collectUndoManager (){
        Object tmp[] = thisJoinPoint.getArgs();
        tmpUndo = (UndoRedoManager)tmp[0];
    }
    pointcut addUndoableExecution() : execution(public DrawingPanel.new());
    after () : addUndoableExecution (){
        tmpDraw.addUndoableEditListener(tmpUndo);
    }
}

```

รูปที่ 4.18 การจัดการเมทอดคอลที่เรียกใช้งานเมทอด addUndoableEditListener() ด้วยแอสเป็ก

การเรียกใช้งานเมทอด `addUndoableEditListener()` มีตำแหน่งซ้ำกันทั้งหมด 15 ตำแหน่งที่สนใจจัดการด้วยแอสเป็ก และเมทอดคอลทั้งหมดซ้ำกันภายในคลาสทั้งหมด 10 คลาส การจัดการเมทอดคอลทั้ง 15 ตำแหน่งด้วยแอสเป็ก สามารถแสดงได้ดังรูปที่ 4.19 ด้วยการใช้ไวลด์การ์ด (Wildcard) ทำให้พอยท์คัทที่สร้างสามารถครอบคลุมทั้ง 10 คลาสที่มีเมทอดคอลซ้ำกันได้

```
package org.jhotdraw.aspect;
public aspect AspectAddUndoableEditListener {
    private AbstractDrawing tmpDraw;
    private UndoRedoManager tmpUndo;
    pointcut collectDrawing() : set(private * *Panel.drawing)
        || execution(void *Panel.setDrawing(..))
        || set(private * *View.draw);
    after() : collectDrawing(){
        Object tmp[] = thisJoinPoint.getArgs();
        tmpDraw = (AbstractDrawing)tmp[0];
    }
    pointcut collectUndoManager() : set(private * *Panel.undoManager)
        || set(private * *View.undo);
    after() : collectUndoManager(){
        Object tmp[] = thisJoinPoint.getArgs();
        tmpUndo = (UndoRedoManager)tmp[0];
    }
    pointcut addUndoableExecution()
        : execution(public *Panel.new()) && !within(*PropertiesPanel)
        || execution(void *Panel.setDrawing(..))
        || set(private * *View.draw) && withincode(void *View.init());
    after () : addUndoableExecution(){
        tmpDraw.addUndoableEditListener(tmpUndo);
    }
}
```

รูปที่ 4.19 การใช้ไวลด์การ์ดปรับปรุงพอยท์คัท

(3) ลักษณะเมทอดคอลเป็นการเรียกใช้งานเมทอดผ่านตัวแปรอ็อบเจกต์ที่เป็นพารามิเตอร์ ดังตัวอย่างเมทอดคอลในรูปที่ 4.20 ภายในคลาส `GroupAction` มีเมทอดคอลที่ต้องการจัดการด้วยแอสเป็กคือ เมทอดคอลที่เรียกใช้งานเมทอด `addToSelection()` ผ่านตัวแปรอ็อบเจกต์ `view` และมีการส่งอาร์กิวเมนต์ด้วยตัวแปรอ็อบเจกต์ `group` โดยตัวแปรอ็อบเจกต์ทั้งสองตัวแปรเป็นพารามิเตอร์ที่รับมาจากเมทอด `groupFigures`

```

public class GroupAction extends AbstractSelectedAction {
    public LinkedList<Figure> figures;
    public final static String ID = "selectionGroup";
    private CompositeFigure prototype;
    private boolean isGroupingAction;
    ...
    public void groupFigures(DrawingView view, CompositeFigure group,
Collection<Figure> figures) {
        Collection<Figure> sorted = view.getDrawing().sort(figures);
        view.getDrawing().basicRemoveAll(figures);
        view.clearSelection();
        view.getDrawing().add(group);
        group.willChange();
        for (Figure f : sorted) {
            group.basicAdd(f);
        }
        group.changed();
        view.addToSelection(group);
    }
}

```

รูปที่ 4.20 ตัวอย่างลักษณะเมทอดคอลที่เรียกใช้งานเมทอดผ่านตัวแปรอ็อบเจกต์ที่เป็นพารามิเตอร์

การจัดการเมทอดคอลด้วยแอสเป็ก ภายในแอสเป็กจึงต้องสามารถเข้าถึงตัวแปรอ็อบเจกต์ view และ group ด้วยการเก็บค่าของตัวแปรอ็อบเจกต์คลาสมาไว้ในตัวแปรของแอสเป็ก จากตัวอย่างตัวแปรอ็อบเจกต์ของคลาสที่ต้องใช้ในเมทอดคอลมีสองตัวแปร ได้แก่ view และ group ภายในแอสเป็กจึงประกาศสองตัวแปรได้แก่ tmpView และ tmpCreatedFigure เพื่อเก็บค่าตัวแปรอ็อบเจกต์ของคลาสตามลำดับ จากรูปที่ 4.21 แสดงการเก็บค่าของทั้งสองตัวแปรอ็อบเจกต์ภายในแอสเป็กด้วยการกำหนดพอยท์คัทระบุไปยังการทำงานของเมทอด groupFigures และสร้างแอตไวยซ์ประเภทปีฟอร์ ดังนั้นก่อนการทำงานของเมทอด groupFigures โค้ดภายในแอตไวยซ์ collectArgument จะทำงานก่อนเพื่อเก็บตัวแปรอ็อบเจกต์ที่เป็นพารามิเตอร์ของเมทอด groupFigures มาไว้ในตัวแปรของแอสเป็ก คำสั่งที่ใช้สำหรับเก็บค่าตัวแปรอ็อบเจกต์คือ Object tmp[] = thisJoinPoint.getArgs(); คำสั่งนี้จะเก็บรวบรวมพารามิเตอร์ทั้งหมดที่รับมาของเมทอด groupFigures

```

package org.jhotdraw.aspect;
public aspect AspectAddToSelection {
    private Figure tmpCreatedFigure;
    private DrawingView tmpView;
    pointcut collectArgument() : execution(void GroupAction.groupFigures(..));
    before() : collectArgument (){
        Object tmp[] = thisJoinPoint.getArgs();
        tmpView = (DrawingView)tmp[0];
        tmpCreatedFigure = (Figure)tmp[1];
    }
}

```

รูปที่ 4.21 การเก็บตัวแปรอ็อบเจกต์ที่เป็นพารามิเตอร์ของเมทอดภายในแอสเป็ก

เมื่อสามารถเก็บค่าทั้งสองตัวแปรอ็อบเจกต์ไว้ภายในแอสเป็ก การดึงเมทอดคอลลจากคลาสมาไว้ในแอสเป็กจึงสามารถอ้างอิงเทคนิคเอ็ชแทรคมเมทอดคอลล โดยการสร้างพอยท์คัทเพื่อระบุไปยังตำแหน่งเดิมที่เมทอดคอลลทำงานภายในคลาส จากตัวอย่างเมทอดคอลลอยู่ในตอนท้ายของเมทอด groupFigures จึงสร้างพอยท์คัทเพื่อระบุไปยังการทำงานของเมทอด groupFigures ต่อมาสร้างแอดไวซ์ประเภทอพเพเตอร์และนำเมทอดคอลลมาไว้ในแอดไวซ์ โดยเรียกใช้งานเมทอดผ่านตัวแปร tmpView และส่งอาร์กิวเมนต์ด้วยตัวแปร tmpCreatedFigure ดังรูปที่ 4.22 ดังนั้นเมทอดคอลลภายในแอดไวซ์จะทำงานหลังจากการทำงานของเมทอด groupFigures ของคลาส GroupAction ทำงานเสร็จเรียบร้อยแล้ว

```

public aspect AspectAddToSelection {
    private Figure tmpCreatedFigure;
    private DrawingView tmpView;
    pointcut collectArgument() : execution(void GroupAction.groupFigures(..));
    before() : collectArgument(){
        Object tmp[] = thisJoinPoint.getArgs();
        tmpView = (DrawingView)tmp[0];
        tmpCreatedFigure = (Figure)tmp[1];
    }
    pointcut addToSelectionExecution() : execution(void GroupAction.groupFigures(..));
    after() : addToSelectionExecution(){
        tmpView.addToSelection(tmpCreatedFigure);
    }
}

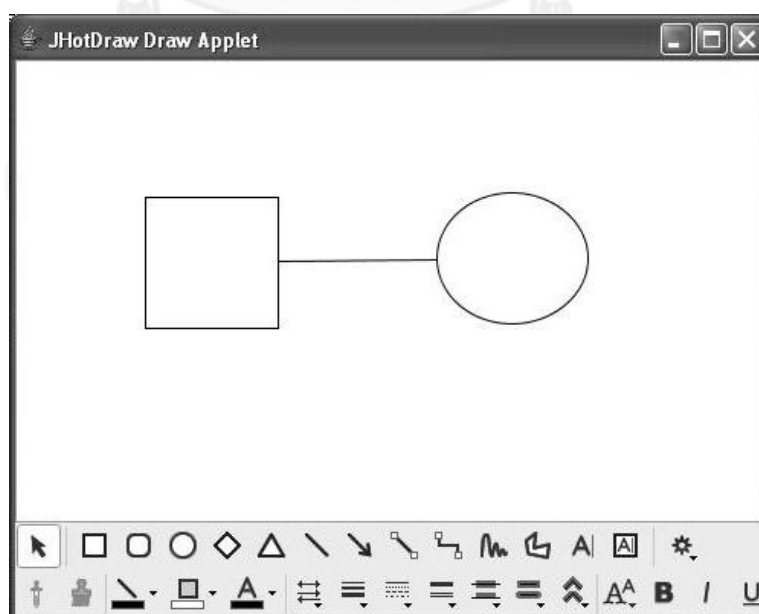
```

รูปที่ 4.22 การจัดการเมทอดคอลลที่เรียกใช้งานเมทอด addToSelection() ด้วยแอสเป็ก

#### 4.2.2 การตรวจสอบความถูกต้องของเจสอตตรอร์ทั้ง 12 เวอร์ชัน

หลังจากการทำแอสเป็กรีแฟคทอริงเพื่อปรับปรุงซอร์สโค้ดของเจสอตตรอร์ เวอร์ชัน 7.1 โดยจัดการเมทอดคอลซ้กันด้วยแอสเป็กร์ทำให้ได้เจสอตตรอร์ครบทั้ง 12 เวอร์ชันที่จัดการจำนวนซ้ำของเมทอดคอลแตกต่างกัน เนื่องจากการรีแฟคทอริงเป็นกระบวนการหรือกลุ่มเทคนิคสำหรับจัดเรียงโค้ดใหม่โดยยังคงพฤติกรรมเดิมของซอฟต์แวร์เอาไว้ หลังจากทำแอสเป็กรีแฟคทอริงผู้วิจัยจึงตรวจสอบพฤติกรรมของเจสอตตรอร์ทั้ง 12 เวอร์ชันว่ายังคงเหมือนกับเจสอตตรอร์ เวอร์ชัน 7.1 การทำแอสเป็กรีแฟคทอริงในงานวิจัยนี้เป็นการจัดการเมทอดคอลด้วยแอสเป็กร์ ดังนั้นผู้วิจัยจึงทำการดีบั๊ก (Debugging) ในแต่ละจุดที่จัดการนำเมทอดคอลออกมาไว้ในแอสเป็กร์เพื่อดูความถูกต้องของลำดับการทำงานระหว่างคลาสและแอสเป็กร์ ความถูกต้องของการทำงานของเมทอดคอลภายในแอสเป็กร์ และพิจารณาผลลัพธ์พฤติกรรมของซอฟต์แวร์ว่ายังคงเดิม การตรวจสอบความผิดพลาดด้วยการดีบั๊กสำหรับเจสอตตรอร์ทั้ง 12 เวอร์ชัน ผู้วิจัยได้เลือกใช้ฟังก์ชันการดีบั๊กที่รองรับภายในโปรแกรมอีคลิพส์ (Eclipse)

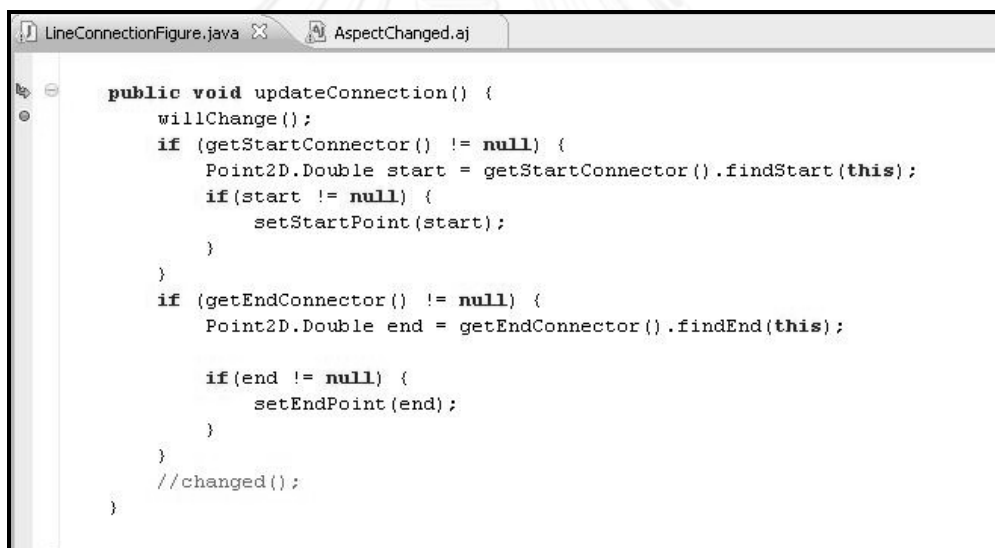
ตัวอย่างที่นำมาแสดงถึงขั้นตอนการตรวจสอบพฤติกรรมของเจสอตตรอร์ทั้ง 12 เวอร์ชันหลังทำแอสเป็กรีแฟคทอริงคือ ตัวอย่างการดีบั๊กของเจสอตตรอร์ เวอร์ชัน 10 เป็นเวอร์ชันที่จัดการเมทอดคอลที่เรียกใช้งานเมทอด `changed()` ด้วยแอสเป็กร์ แสดงตัวอย่างการตรวจสอบการทำงานของเมทอดคอล 1 ตำแหน่งที่จัดการด้วยแอสเป็กร์คือ เมทอดคอลที่มีตำแหน่งอยู่ตอนท้ายของเมทอด `updateConnection` ในคลาส `LineConnectionFigure` ก่อนการทำแอสเป็กรีแฟคทอริงได้ทำการรันเจสอตตรอร์ เวอร์ชัน 7.1 เพื่อดูผลลัพธ์ของการดำเนินการเมทอด `updateConnection` ของคลาส `LineConnectionFigure` โดยรันไฟล์ `DrawApplet` และดำเนินการฟังก์ชันอัปเดตเส้นเชื่อมระหว่างรูปทรงด้วยการวางสองรูปทรงและสร้างเส้นเชื่อมระหว่างสองรูปทรง ผลลัพธ์จากการดำเนินการเมทอด `updateConnection` ทำให้ได้ผลลัพธ์แสดงดังรูปที่ 4.23 แสดงเส้นเชื่อมที่เชื่อมระหว่างสองรูปทรงได้สำเร็จ



รูปที่ 4.23 ผลลัพธ์ของฟังก์ชันอัปเดตเส้นเชื่อมระหว่างรูปทรง

หลังการทำแอสเป็กริแพคทอริงเพื่อจัดการเม็ท้อดคอลที่เรียกใช้งานเม็ท้อด `changed()` ในตอนท้ายของเม็ท้อด `updateConnection` ในคลาส `LineConnectionFigure` โดยนำเม็ท้อดคอลออกมาไว้ภายในแอสเป็ก `AspectChanged` การตรวจสอบด้วยการดีบั๊กพิจารณา 3 ประเด็นดังนี้

(1) ความถูกต้องของลำดับการทำงานระหว่างคลาสและแอสเป็ก จากตัวอย่างลำดับการทำงานเป็นดังนี้ ลำดับแรกดำเนินการเม็ท้อด `updateConnection` เสร็จเรียบร้อย ลำดับสองแอสเป็กจึงเข้ามาขัดขวางการทำงานของคลาส โดยเม็ท้อดคอลที่เรียกใช้งานเม็ท้อด `changed()` ภายในแอตไวจ์ทำงาน การดีบั๊กเพื่อตรวจสอบความถูกต้องของลำดับการทำงานจึงต้องกำหนดจุดพัก (Breakpoint) จากตัวอย่างกำหนดจุดพักทั้งหมดสองตำแหน่งคือ จุดพักแรกอยู่ภายในเม็ท้อด `updateConnection` ของคลาส `LineConnectionFigure` แสดงดังรูปที่ 4.24 จุดนี้กำหนดเพื่อตรวจสอบว่าเข้ามาทำงานภายในเม็ท้อดของคลาสเป็นลำดับแรก จุดพักสองอยู่ในแอตไวจ์ `changedExecution` ของแอสเป็ก `AspectChanged` แสดงดังรูปที่ 4.25 จุดนี้กำหนดเพื่อตรวจสอบว่าเม็ท้อดคอลที่เรียกใช้เม็ท้อด `change()` ทำงานในลำดับต่อมา จากนั้นจึงรันดีบั๊กด้วยไฟล์ `DrawApplet` และดำเนินการฟังก์ชันอัปเดตเส้นเชื่อมระหว่างรูปทรง พบว่าลำดับการทำงานระหว่างคลาสและแอสเป็กถูกต้อง



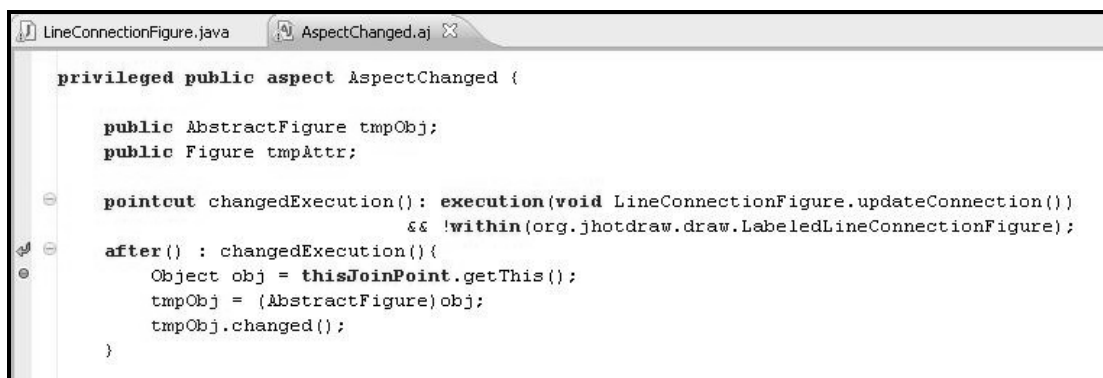
```

public void updateConnection() {
    willChange();
    if (getStartConnector() != null) {
        Point2D.Double start = getStartConnector().findStart(this);
        if (start != null) {
            setStartPoint(start);
        }
    }
    if (getEndConnector() != null) {
        Point2D.Double end = getEndConnector().findEnd(this);

        if (end != null) {
            setEndPoint(end);
        }
    }
    //changed();
}

```

รูปที่ 4.24 การกำหนดจุดพักภายในเม็ท้อด `updateConnection` ของคลาส



```

privileged public aspect AspectChanged {

    public AbstractFigure tmpObj;
    public Figure tmpAttr;

    pointcut changedExecution(): execution(void LineConnectionFigure.updateConnection())
        && !within(org.jhotdraw.draw.LabeledLineConnectionFigure);
    after() : changedExecution(){
        Object obj = thisJoinPoint.getThis();
        tmpObj = (AbstractFigure)obj;
        tmpObj.changed();
    }
}

```

รูปที่ 4.25 การกำหนดจุดพักภายในแอตไวจ์ `changedExecution` ของแอสเป็ก



(2) ความถูกต้องของตัวแปรอ็อบเจกต์ภายในเมทอดคอล เนื่องจากตัวอย่างเป็นเมทอดคอลที่เรียกใช้งานเมทอดจากในคลาสโดยตรง ก่อนการทำแอสเป็กรีแพคทอริง เมทอด `changed()` ถูกเรียกใช้งานผ่านอ็อบเจกต์ของคลาส `LineConnectionFigure` ดังนั้นหลังทำแอสเป็กรีแพคทอริง ภายในแอสเป็กรเรียกใช้เมทอด `changed()` ผ่านอ็อบเจกต์คลาสเดียวกัน การตรวจสอบความถูกต้องจึงเปรียบเทียบจากรหัสตัวแปรอ็อบเจกต์ที่รับมาจากพอยท์คัทภายในแอสเป็กรว่าตรงกับรหัสอ็อบเจกต์ของคลาสเพื่อยืนยันว่าการเรียกใช้งานเมทอด `changed()` เป็นการเรียกใช้งานจากตัวแปรอ็อบเจกต์เดียวกัน ตัวอย่างการดีบั๊กด้วยการรัน `DrawApplet` และดำเนินการฟังก์ชันอัปเดตเส้นเชื่อมระหว่างรูปทรง เมื่อซอฟต์แวร์รันมาถึงจุดพักที่กำหนด หน้าต่างรายละเอียดการดีบั๊กจะปรากฏและแสดงรายละเอียดตามลำดับการทำงานของคลาสและแอสเป็กร โดยลำดับแรกคือการทำงานของเมทอด `updateConnection` ในคลาส `LineConnectionFigure` รายละเอียดการดีบั๊กแสดงดังรูปที่ 4.26 เมทอด `updateConnection` ทำงานภายใต้อ็อบเจกต์คลาส `LineConnectionFigure` ที่มีรหัสอ็อบเจกต์เท่ากับ 36 และลำดับการทำงานต่อมาหลังจากเมทอด `updateConnection` ทำงานเสร็จคือ เมทอดคอลภายในแอสเป็กร `changedExecution` ของแอสเป็กรที่ทำงานเพื่อเรียกใช้งานเมทอด `changed()` ต้องเรียกใช้งานผ่านอ็อบเจกต์เดียวกัน รายละเอียดการดีบั๊กของลำดับสองแสดงดังรูปที่ 4.27 แสดงตัวแปรอ็อบเจกต์ `tmpObj` ที่เรียกใช้งานเมทอด `changed()` ซึ่งเป็นอ็อบเจกต์ของคลาส `LineConnectionFigure` ที่มีรหัสอ็อบเจกต์เท่ากับ 36 เช่นกัน จากตัวอย่างเมทอด `changed()` จึงถูกเรียกใช้งานผ่านอ็อบเจกต์คลาสเดียวกัน เมทอดคอลภายในแอสเป็กรจึงเป็นเมทอดคอลเดียวกันเมื่อเทียบกับเมทอดคอลเดิมภายในคลาสก่อนการทำแอสเป็กรีแพคทอริง

```

Debug - Edit_Changed/src/org/jhotdraw/draw/LineConnectionFigure.java - Eclipse
File Edit Source Refactor Navigate Search Project Refactoring Menu Run Window Help

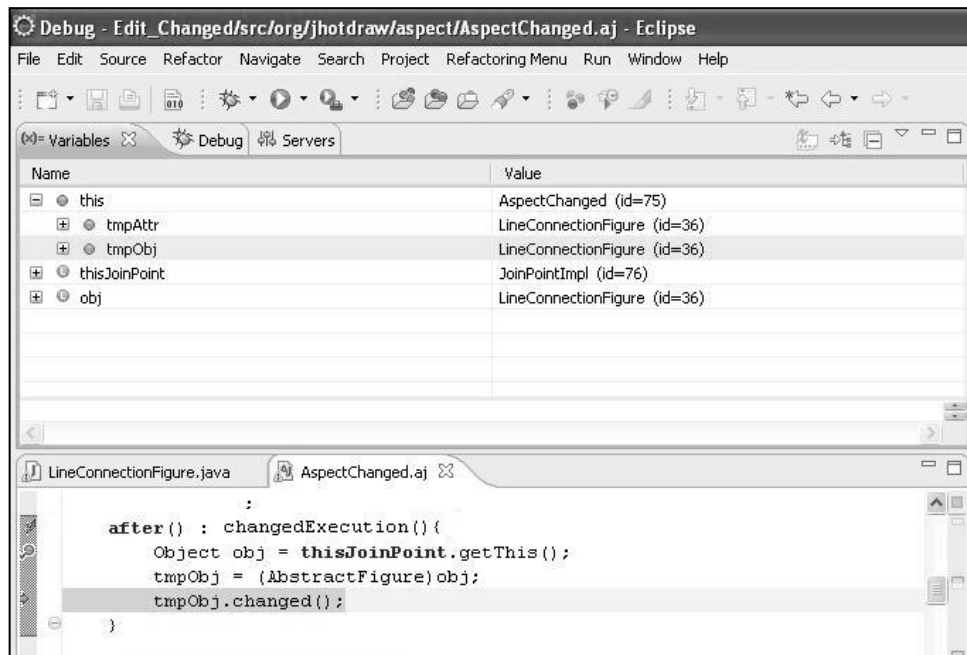
(4) Variables
Name Value
this LineConnectionFigure (id=36)

LineConnectionFigure.java AspectChanged.aj
public void updateConnection() {
    willChange();
    if (getStartConnector() != null) {
        Point2D.Double start = getStartConnector().findStart(this);
        if (start != null) {
            setStartPoint(start);
        }
    }
    if (getEndConnector() != null) {
        Point2D.Double end = getEndConnector().findEnd(this);

        if (end != null) {
            setEndPoint(end);
        }
    }
}

```

รูปที่ 4.26 รายละเอียดตัวแปรของการทำงานเมทอด `updateConnection` ภายในคลาส



รูปที่ 4.27 รายละเอียดตัวแปรของการทำงานแอตไวซ์ changedExecution ภายในแอสเป็ก

(3) ความถูกต้องของพฤติกรรมซอฟต์แวร์ โดยตรวจสอบพฤติกรรมของซอฟต์แวร์หลังทำแอสเป็กกรีแพคทอริงเทียบกับซอฟต์แวร์ตั้งต้น จากตัวอย่างตรวจสอบผลลัพธ์ที่ได้จากการทำงานฟังก์ชันอัปเดตเส้นเชื่อมระหว่างรูปทรงของเจสอตตรอร์ เวอร์ชัน 10 เทียบกับผลลัพธ์ที่ได้ของฟังก์ชันเดียวกันของเจสอตตรอร์ เวอร์ชัน 7.1 โดยจากการรันไฟล์ DrawApplet ของเจสอตตรอร์ เวอร์ชัน 10 และวางสองรูปทรงพร้อมสร้างเส้นเชื่อมระหว่างสองรูปทรง ผลลัพธ์ที่ได้คือสามารถสร้างเส้นเชื่อมระหว่างสองรูปทรงได้สำเร็จเช่นเดียวกับผลลัพธ์ที่ได้จากการรันของเจสอตตรอร์ เวอร์ชัน 7.1 ที่แสดงดังรูปที่ 4.23 ข้างต้น

#### 4.2.3 การเก็บรวบรวมค่ามาตรวัดของซอฟต์แวร์ก่อนและหลังทำแอสเป็กกรีแพคทอริง

เมื่อตรวจสอบความถูกต้องของเจสอตตรอร์ทั้ง 12 เวอร์ชันเรียบร้อยแล้ว จากนั้นนำเจสอตตรอร์ทุกเวอร์ชันมาเก็บค่ามาตรวัดเชิงวัตถุและค่ามาตรวัดเชิงแอสเป็กดังนี้

##### (1) การเก็บค่ามาตรวัดเชิงวัตถุ

นำเจสอตตรอร์ทั้ง 12 เวอร์ชันและเจสอตตรอร์ เวอร์ชัน 7.1 ซึ่งเป็นซอฟต์แวร์ตั้งต้นมาเก็บรวบรวมค่ามาตรวัดเชิงวัตถุของ Chidamber และ Kemerer (1993) ทั้งหมดหามาตรวัดด้วยเครื่องมือซีเคเจเอ็ม (CKJM) เครื่องมือดังกล่าวใช้งานผ่านบิวด์ทูล (Build Tools) ชื่ออาปาเชแอนท์ (Apache Ant) ด้วยการระบุชุดคำสั่งของแอนท์ภายในไฟล์ Build.xml ดังนั้นโปรเจกของเจสอตตรอร์ที่ต้องการเก็บรวบรวมค่ามาตรวัดต้องสร้างไฟล์ Build.xml ไว้ภายในโปรเจก ตัวอย่างชุดคำสั่งภายในไฟล์ Build.xml สำหรับเก็บค่ามาตรวัดเชิงวัตถุของโปรเจกแสดงดังรูปที่ 4.28 ไฟล์ Build.xml จึงสร้างขึ้นสำหรับแต่ละโปรเจก เมื่อสร้างไฟล์ Build.xml ภายในโปรเจกเรียบร้อยแล้ว จึงใช้คำสั่งบิวด์โปรเจก (Build Project) เพื่อรันไฟล์ Build.xml

```

<project name="myproject" default="ckjm">
  <property name="src" location="src"/>
  <property name="build" location="build"/>
  <property name="libraries" value="lib"/>
  <path id="classpath.common">
    <fileset dir="{libraries}">
      <include name="*.jar"/>
    </fileset>
  </path>
  <target name="init">
    <mkdir dir="{build}/classes"/>
  </target>
  <target name="compile" depends="init" description="compile the source, build library ">
    <javac srcdir="{src}" destdir="{build}/classes" debug="true">
      <classpath refid="classpath.common"/>
    </javac>
  </target>
  <target name="ckjm" depends="compile" description="compute CK metrics">
    <taskdef name="ckjm" classname="gr.spinellis.ckjm.ant.CkjmTask">
      <classpath>
        <pathelement location="build/ckjm_ext_20.jar"/>
      </classpath>
    </taskdef>
    <ckjm outputfile="build/ckjm.xml" format="xml" classdir="build/classes">
      <include name="**/*.class" />
      <!-- <exclude name="**/*Test.class" /> -->
    </ckjm>
    <xslt in="build/ckjm.xml" style="xsl/ckjm.xsl" out="build/ckjm.html" />
  </target>
</project>

```

รูปที่ 4.28 ตัวอย่างไฟล์ Build.xml สำหรับเก็บรวบรวมค่ามาตรวัดเชิงวัตถุ

ผลลัพธ์จากการรันไฟล์ Build.xml ภายในโปรเจกต์เจสอตตรอร์ คือ ไฟล์ HTML ที่แสดงค่ามาตรวัดรายการคลาสของโปรเจกต์เจสอตตรอร์ เนื่องจากมาตรวัดเชิงวัตถุพิจารณาเพียงไฟล์คลาส โดยภายในโปรเจกต์เจสอตตรอร์แต่ละเวอร์ชันจะมีคลาสทั้งหมด 442 คลาส ดังนั้นภายในไฟล์ HTML จึงแสดงค่ามาตรวัดทั้งหมดมาตรวัดของคลาส 442 คลาส โดยมาตรวัดทั้งหมดมาตรวัดของ Chidamber และ Kemerer (1993) ได้แก่ WMC, DIT, NOC, CBO, RFC และ LCOM จากรูปที่ 4.29 แสดงตัวอย่างไฟล์ HTML ที่แสดงให้เห็นค่ามาตรวัดทั้งหมดมาตรวัดของคลาสเพียงบางส่วนจากคลาสทั้งหมดภายในโปรเจกต์ เนื่องจากในไฟล์ HTML จะมีคลาสที่มีสัญลักษณ์ '\$' ปนอยู่ด้วย ทำให้จำนวนคลาสภายในไฟล์ HTML มีมากกว่า 442 คลาส โดยจากการพิจารณาคลัสที่ไม่มีสัญลักษณ์ปนและตรวจสอบค่าของทั้งหมดมาตรวัดของคลาสดพบว่า ค่ามาตรวัดที่ได้ตรงกับหลักการนับจากนิยามของ

มาตรวัด ผู้วิจัยจึงคัดลอกค่ามาตรวัดของคลาสทั้งหมดจากในไฟล์ HTML ลงไฟล์ไมโครซอฟท์เอกซ์เซล (Microsoft Excel) เพื่อคัดกรองคลาสที่มีสัญลักษณ์ '\$' ออก ให้เหลือคลาสจำนวน 442 คลาส

**CKJM Chidamber and Kemerer Java Metrics**  
Designed for use with [CKJM](#) and [Ant](#).

**Summary**

name	wmc	dit	noc	cbo	rfc	lcom
net.n3.nanoxml.CDATAReader	4	2	0	3	8	0
net.n3.nanoxml.ContentReader	4	2	0	5	14	0
net.n3.nanoxml.IXMLBuilder	8	1	0	4	8	28
net.n3.nanoxml.IXMLElement	50	1	0	12	50	1225
net.n3.nanoxml.IXMLEntityResolver	4	1	0	10	4	6
net.n3.nanoxml.IXMLParser	9	1	0	11	9	36
net.n3.nanoxml.IXMLReader	13	1	0	16	13	78
net.n3.nanoxml.IXMLValidator	8	1	0	7	8	28
net.n3.nanoxml.NonValidator	15	1	0	7	64	43
net.n3.nanoxml.PIReader	4	2	0	2	8	0
net.n3.nanoxml.StdXMLBuilder	11	1	0	5	44	5
net.n3.nanoxml.StdXMLParser	19	1	0	11	91	0
net.n3.nanoxml.StdXMLReader	21	1	0	7	72	0
net.n3.nanoxml.StdXMLReader\$1	0	1	0	2	0	0
net.n3.nanoxml.StdXMLReader\$StackedReader	2	1	0	2	3	1
net.n3.nanoxml.ValidatorPlugin	20	1	0	5	38	58

รูปที่ 4.29 ไฟล์ HTML แสดงค่ามาตรวัดเชิงวัตถุของแต่ละคลาสภายในโปรเจค

## (2) การเก็บค่ามาตรวัดเชิงแอสเป็ก

นำเจสอตตรอว์ทุกเวอร์ชันและเจสอตตรอว์ 7.1 ซึ่งเป็นซอฟต์แวร์ตั้งต้นมาเก็บรวบรวมค่ามาตรวัดเชิงแอสเป็กของ Ceccato และ Tonella (2004) ทั้งหมดสิบมาตรวัด ด้วยเครื่องมือเอโอพีเมตริก (AopMetrics) โดยใช้งานผ่านบิวด์ทูลอาปาเซแอนท์เช่นกัน ดังนั้นจึงต้องสร้างไฟล์ Build.xml ภายในโปรเจคของเจสอตตรอว์ทุกเวอร์ชันเช่นกัน ชุดคำสั่งสำหรับเก็บรวบรวมค่ามาตรวัดเชิงแอสเป็กภายในไฟล์ Build.xml แสดงดังรูป 4.30

```

<project name="aop-metrics" default="run">
  <property name="testworkdir" value="build/testworkdir"/>
  <property name="srcmeasure" value="srcmeasure"/>
  <property name="src" location="src"/>
  <property name="build" location="build"/>
  <property name="libraries" value="lib"/>
  <property name="tools" value="tools"/>
  <property name="src" location="src"/>
  <path id="classpath.common">
    <fileset dir="{libraries}">
      <include name="*.jar"/>
    </fileset>
  </path>
  <target name="run" description="Computes metrics on the project.">
    <taskdef name="aopmetrics" classname="org.tigris.aopmetrics.AopMetricsTask">
      <classpath refid="classpath.common"/>
      <classpath location="build/aop-metrics.jar"/>
    </taskdef>
    <aopmetrics workdir="{testworkdir}" sourcelevel="1.5" export="xls"
      resultsfile="build/aop-metrics-results.xls">
      <fileset dir="{src}" includes="**/*.java"/>
      <fileset dir="{src}" includes="**/*.aj"/>
      <classpath refid="classpath.common"/>
    </aopmetrics>
  </target>
</project>

```

รูปที่ 4.30 ตัวอย่างไฟล์ Build.xml สำหรับเก็บรวบรวมค่ามาตรวัดเชิงแอสเป็ก

ผลลัพธ์จากการรันไฟล์ Build.xml ภายในโปรเจกต์เจสอตตรอว์คือ ไฟล์ไมโครซอฟท์ เอกซ์เซล (Microsoft Excel) ที่แสดงค่ามาตรวัดรายคลาสและแอสเป็กของโปรเจกต์เจสอตตรอว์ เนื่องจากมาตรวัดเชิงแอสเป็กพิจารณาทั้งไฟล์คลาสและแอสเป็ก ดังนั้นจำนวนคลาสและแอสเป็กของเจสอตตรอว์แต่ละเวอร์ชันที่เก็บรวบรวมค่ามาตรวัดมีจำนวนทั้งสิ้น 443 คลาส/แอสเป็ก โดยแยกเป็นคลาส 442 คลาสและแอสเป็ก 1 แอสเป็ก ส่วนเจสอตตรอว์ เวอร์ชัน 7.1 มีคลาส 442 คลาสเช่นเดิม โดยมาตรวัดที่แสดงมีทั้งหมดสิบมาตรวัดของ Ceccato และ Tonella (2004) ได้แก่ WOM, DIT, NOC, CDA, CAE, CMC, CFA, CBM, RFM และ LCO จากรูปที่ 4.31 แสดงตัวอย่างไฟล์ไมโครซอฟท์ เอกซ์เซลที่แสดงให้เห็นค่ามาตรวัดทั้งสิบมาตรวัดของคลาสเพียงบางส่วนของโปรเจกต์เจสอตตรอว์ และเนื่องจากในไฟล์ไมโครซอฟท์เอกซ์เซลมีคลาสที่มีสัญลักษณ์ '\$' ปนอยู่ด้วยเช่นกัน ผู้วิจัยจึงคัดกรองคลาสที่มีสัญลักษณ์ '\$' ออกเพื่อให้เหลือเพียงคลาสและแอสเป็กที่ถูกต้อง

	B	C	D	E	F	G	H	I	J	K	L	M	N
	Type name	Type kind	LOCC	WOM	DIT	NOC	CFA	CMC	CBM	CDA	CAE	RFM	LCO
2	Matcher	class	176	12	0	0	1	0	1	0	0	10	0
3	MatchType	class	8	1	0	0	0	0	0	0	0	0	0
4	EditorSample	class	33	2	0	0	0	12	12	0	0	14	0
5	StraightLineFigure	class	37	10	3	0	0	3	3	0	0	12	0
6	MultiEditorSample	class	43	2	0	0	0	9	9	0	0	8	0
7	ConnectingFiguresSample	class	27	2	0	0	0	9	9	0	0	12	0
8	SmartConnectionFigureSample	class	49	5	0	0	1	14	15	0	0	19	0
9	LabeledLineConnectionFigureSample	class	41	3	0	0	1	12	12	0	0	17	0
10	SelectionToolSample	class	26	3	0	0	0	8	8	0	0	2	0
11	ExtensionFileFilter	class	59	6	1	0	0	0	0	0	0	4	4
12	Base64	class	721	29	0	0	0	2	2	0	0	24	258
13	StreamPosTokenizer	class	717	32	0	0	0	0	0	0	0	30	267
14	NodeFigure	class	85	12	5	0	0	13	13	0	0	28	35
15	NumberedEditorKit	class	10	1	3	0	0	1	1	0	0	1	0
16	NumberedParagraphView	class	30	3	5	0	0	1	1	0	0	3	0
17	NumberedViewFactory	class	39	3	0	0	0	1	1	0	0	3	1
18	FindDialog	class	286	20	5	0	3	9	11	0	0	44	89
19	Main	class	27	1	0	0	0	5	5	0	0	7	0
20	TeddyView	class	390	47	5	0	0	7	7	0	0	63	843
21	TeddyApplicationModel	class	37	5	2	0	5	6	7	0	0	10	0
22	CharacterSetAccessory	class	124	8	4	0	2	4	5	0	0	18	9
23	JEditorArea	class	93	10	5	0	0	0	0	0	0	9	30
24	SVGInputFormat	class	2393	62	0	1	5	30	32	0	0	135	1458
25	SVGZInputFormat	class	22	3	1	0	0	2	2	0	0	3	0

รูปที่ 4.31 ไฟล์ไมโครซอฟท์เอกซ์เซลแสดงค่ามาตรวัดเชิงแอสเป็กของแต่ละคลาสภายในโปรเจกต์

#### 4.3 ผลการวิเคราะห์ข้อมูลเบื้องต้น

งานวิจัยนี้ต้องการเปรียบเทียบคุณภาพซอฟต์แวร์จากการทำแอสเป็กที่ผิดพลาดจริง โดยจัดการเมทริกซ์ที่มีย่านของเมทริกซ์ที่แตกต่างกัน จากการดำเนินการตามแผนการทดลองได้เจสอตเตอร์ทั้งหมด 12 เวอร์ชันดังตารางที่ 4.4 โดยมีจำนวนขั้วของเมทริกซ์ที่แตกต่างกันทั้งหมด 11 จำนวน และมีสองเวอร์ชันที่มีจำนวนขั้วของเมทริกซ์เท่ากัน ตัวอย่างข้อมูลในตารางที่ 4.4 เช่น เจสอตเตอร์ เวอร์ชัน 1 มีการจัดการเมทริกซ์ที่ผิดพลาดทั้งหมด 4 ตำแหน่งด้วยแอสเป็ก เป็นเมทริกซ์ที่เรียกใช้งานเมทริกซ์ fireAreaInvalidated() เป็นต้น ส่วนเจสอตเตอร์ เวอร์ชัน 7.1 เป็นซอฟต์แวร์ที่ตั้งต้นที่ไม่ได้ปรับปรุงซอร์สโค้ด การเปรียบเทียบคุณภาพซอฟต์แวร์จึงพิจารณาจากค่ามาตรวัดเชิงวัตถุและค่ามาตรวัดเชิงแอสเป็กของเจสอตเตอร์ทั้ง 12 เวอร์ชัน รวมถึงเจสอตเตอร์ เวอร์ชัน 7.1 ซึ่งเป็นซอฟต์แวร์ที่ตั้งต้น

ตารางที่ 4.4 เวอร์ชันของเจสอตตรอร์และจำนวนซ้ำของเมทอดคอลที่จัดการด้วยแอสเป็ก

เจสอตตรอร์	จำนวนซ้ำเมทอดคอล	เมทอด
เวอร์ชัน 7.1	0	-
เวอร์ชัน 1	4	fireArealInvalidated(..)
เวอร์ชัน 2	5	discardAllEdits()
เวอร์ชัน 3	9	addToSelection(..)
เวอร์ชัน 4	12	clearSelection()
เวอร์ชัน 5	12	removeAllChildren()
เวอร์ชัน 6	13	firePropertyChange(..)
เวอร์ชัน 7	15	addUndoableEditListener(..)
เวอร์ชัน 8	18	grow(..)
เวอร์ชัน 9	21	createElement(..)
เวอร์ชัน 10	29	changed()
เวอร์ชัน 11	37	willChange()
เวอร์ชัน 12	44	configureAction(..)

#### 4.3.1 ผลการวิเคราะห์ข้อมูลสถิติเชิงพรรณนาจากมาตรวัดเชิงวัด

จากการวัดค่ามาตรวัดเชิงวัดของเจสอตตรอร์ทุกเวอร์ชันด้วยเครื่องมือซีเคเจเอ็ม (CKJM) ซึ่งเป็นมาตรวัดเชิงวัดของ Chidamber และ Kemerer (1993) มี 6 มาตรวัด ได้แก่ WMC, DIT, NOC, CBO, RFC และ LCOM โดยค่ามาตรวัดทั้งหมดมาตรวัดเป็นค่ามาตรวัดรายคลาส คือวัดจากแต่ละคลาสที่มีในเจสอตตรอร์ เวอร์ชัน 7.1 และเจสอตตรอร์ทั้ง 12 เวอร์ชัน ซึ่งทุกเวอร์ชันมีจำนวนคลาสเท่ากันคือ 442 คลาส ผู้วิจัยจึงนำค่ามาตรวัดทั้ง 6 มาตรวัดของ 442 คลาสมาคำนวณเพื่อแสดงข้อมูลสถิติเชิงพรรณนา (Descriptive Statistics) ข้อมูลสถิติเชิงพรรณนาที่พิจารณา ได้แก่

- ✓ ค่าต่ำสุด (Minimum) คือ ค่ามาตรวัดต่ำสุดโดยพิจารณาจากทั้ง 442 คลาสภายในเจสอตตรอร์
- ✓ ค่าสูงสุด (Maximum) คือ ค่ามาตรวัดสูงสุดโดยพิจารณาจากทั้ง 442 คลาสภายในเจสอตตรอร์
- ✓ ค่าเฉลี่ย (Mean) คือ ค่าเฉลี่ยของค่ามาตรวัดจากทั้ง 442 คลาส
- ✓ ค่าเบี่ยงเบนมาตรฐาน (Standard Deviation) คือ รากที่สองของค่าแปรปรวน

เบื้องต้นแสดงข้อมูลสถิติเชิงพรรณนาของเจสอตตรอร์ เวอร์ชัน 7.1 ที่ไม่ได้ปรับปรุงด้วยการทำแอสเป็กรีแฟคทอริง และเจสอตตรอร์ทั้ง 12 เวอร์ชันที่ปรับปรุงด้วยการทำแอสเป็กรีแฟคทอริงโดยจัดการจำนวนซ้ำของเมทอดคอลแตกต่างกัน สามารถแสดงข้อมูลสถิติแยกตามมาตรวัดทั้งหมดมาตรวัดได้ดังนี้

(1) เจสอตตรอร์ เวอร์ชัน 7.1 เป็นซอฟต์แวร์เริ่มต้น สามารถแสดงข้อมูลสถิติเชิงพรรณนาแยกตามมาตรวัดซีเคทั้ง 6 มาตรวัดดังตารางที่ 4.5

ตารางที่ 4.5 ข้อมูลสถิติเชิงพรรณนาของเจสอตตรอร์ เวอร์ชัน 7.1

มาตรวัดซีเค	ค่าต่ำสุด	ค่าสูงสุด	ค่าเฉลี่ย	ค่าเบี่ยงเบนมาตรฐาน
WMC	0	73	12.34	12.145
DIT	0	7	1.05	1.452
NOC	0	21	0.55	2.031
CBO	0	265	14.47	21.980
RFC	0	246	37.54	37.648
LCOM	0	2240	107.21	258.762

(2) เจสอตตรอร์ เวอร์ชัน 1 ภายในซอร์สโค้ดของซอฟต์แวร์มีการจัดการเมทอดคอลล์ซ้ำกันทั้งหมด 4 ตำแหน่งด้วยแอสเป็ก สามารถแสดงข้อมูลสถิติเชิงพรรณนาแยกตามมาตรวัดซีเคทั้ง 6 มาตรวัดดังตารางที่ 4.6

ตารางที่ 4.6 ข้อมูลสถิติเชิงพรรณนาของเจสอตตรอร์ เวอร์ชัน 1

มาตรวัดซีเค	ค่าต่ำสุด	ค่าสูงสุด	ค่าเฉลี่ย	ค่าเบี่ยงเบนมาตรฐาน
WMC	0	73	12.34	12.145
DIT	0	7	1.05	1.452
NOC	0	21	0.55	2.031
CBO	0	265	14.47	21.980
RFC	0	246	37.54	37.644
LCOM	0	2240	107.21	258.762

(3) เจสอตตรอร์ เวอร์ชัน 2 ภายในซอร์สโค้ดของซอฟต์แวร์มีการจัดการเมทอดคอลล์ซ้ำกันทั้งหมด 5 ตำแหน่งด้วยแอสเป็ก สามารถแสดงข้อมูลสถิติเชิงพรรณนาแยกตามมาตรวัดซีเคทั้ง 6 มาตรวัดดังตารางที่ 4.7

ตารางที่ 4.7 ข้อมูลสถิติเชิงพรรณนาของเจสอตตรอร์ เวอร์ชัน 2

มาตรวัดซีเค	ค่าต่ำสุด	ค่าสูงสุด	ค่าเฉลี่ย	ค่าเบี่ยงเบนมาตรฐาน
WMC	0	73	12.34	12.145
DIT	0	7	1.05	1.452
NOC	0	21	0.55	2.031
CBO	0	265	14.47	21.980
RFC	0	246	37.53	37.635
LCOM	0	2240	107.21	258.762



(4) เจสอตตรอว์ เวอร์ชัน 3 ภายในซอร์สโค้ดของซอฟต์แวร์มีการจัดการเมทอดคอลล์ซ้ำกันทั้งหมด 9 ตำแหน่งด้วยแอสเป็ก สามารถแสดงข้อมูลสถิติเชิงพรรณนาแยกตามมาตรวัดซีเคทั้ง 6 มาตรวัดดังตารางที่ 4.8

ตารางที่ 4.8 ข้อมูลสถิติเชิงพรรณนาของเจสอตตรอว์ เวอร์ชัน 3

มาตรวัดซีเค	ค่าต่ำสุด	ค่าสูงสุด	ค่าเฉลี่ย	ค่าเบี่ยงเบนมาตรฐาน
WMC	0	73	12.34	12.145
DIT	0	7	1.05	1.452
NOC	0	21	0.55	2.031
CBO	0	265	14.47	21.980
RFC	0	246	37.52	37.643
LCOM	0	2240	107.21	258.762

(5) เจสอตตรอว์ เวอร์ชัน 4 ภายในซอร์สโค้ดของซอฟต์แวร์มีการจัดการเมทอดคอลล์ซ้ำกันทั้งหมด 12 ตำแหน่งด้วยแอสเป็ก และเนื่องจากจำนวนซ้ำของเมทอดคอลล์ดังกล่าวมีทั้งหมดสองกรณีที่จัดการในจำนวนซ้ำที่เท่ากัน โดยกรณีนี้เป็นการจัดการเมทอดคอลล์ที่เรียกใช้งานเมทอด `ClearSelection()` สามารถแสดงข้อมูลสถิติเชิงพรรณนาแยกตามมาตรวัดซีเคทั้ง 6 มาตรวัดดังตารางที่ 4.9

ตารางที่ 4.9 ข้อมูลสถิติเชิงพรรณนาของเจสอตตรอว์ เวอร์ชัน 4

มาตรวัดซีเค	ค่าต่ำสุด	ค่าสูงสุด	ค่าเฉลี่ย	ค่าเบี่ยงเบนมาตรฐาน
WMC	0	73	12.34	12.145
DIT	0	7	1.05	1.452
NOC	0	21	0.55	2.031
CBO	0	265	14.47	21.980
RFC	0	246	37.53	37.637
LCOM	0	2240	107.21	258.762

(6) เจสอตตรอว์ เวอร์ชัน 5 ภายในซอร์สโค้ดของซอฟต์แวร์มีการจัดการเมทอดคอลล์ซ้ำกันทั้งหมด 12 ตำแหน่งด้วยแอสเป็กเช่นกัน โดยกรณีนี้เป็นการจัดการเมทอดคอลล์ที่เรียกใช้งานเมทอด `RemoveAllChildren()` สามารถแสดงข้อมูลสถิติเชิงพรรณนาแยกตามมาตรวัดซีเคทั้ง 6 มาตรวัดดังตารางที่ 4.10

ตารางที่ 4.10 ข้อมูลสถิติเชิงพรรณนาของเจฮอตตรอว์ เวอร์ชัน 5

มาตรวัดซีเค	ค่าต่ำสุด	ค่าสูงสุด	ค่าเฉลี่ย	ค่าเบี่ยงเบนมาตรฐาน
WMC	0	73	12.34	12.145
DIT	0	7	1.05	1.452
NOC	0	21	0.55	2.031
CBO	0	265	14.47	21.980
RFC	0	246	37.52	37.638
LCOM	0	2240	107.21	258.762

(7) เจฮอตตรอว์ เวอร์ชัน 6 ภายในซอร์สโค้ดของซอฟต์แวร์มีการจัดการเมท็อดคอลล์ซ้ำกันทั้งหมด 13 ตำแหน่งด้วยแอสเป็ก สามารถแสดงข้อมูลสถิติเชิงพรรณนาแยกตามมาตรวัดซีเคทั้ง 6 มาตรวัดดังตารางที่ 4.11

ตารางที่ 4.11 ข้อมูลสถิติเชิงพรรณนาของเจฮอตตรอว์ เวอร์ชัน 6

มาตรวัดซีเค	ค่าต่ำสุด	ค่าสูงสุด	ค่าเฉลี่ย	ค่าเบี่ยงเบนมาตรฐาน
WMC	0	73	12.34	12.145
DIT	0	7	1.05	1.452
NOC	0	21	0.55	2.031
CBO	0	265	14.47	21.980
RFC	0	246	37.53	37.642
LCOM	0	2240	107.21	258.762

(8) เจฮอตตรอว์ เวอร์ชัน 7 ภายในซอร์สโค้ดของซอฟต์แวร์มีการจัดการเมท็อดคอลล์ซ้ำกันทั้งหมด 15 ตำแหน่งด้วยแอสเป็ก สามารถแสดงข้อมูลสถิติเชิงพรรณนาแยกตามมาตรวัดซีเคทั้ง 6 มาตรวัดดังตารางที่ 4.12

ตารางที่ 4.12 ข้อมูลสถิติเชิงพรรณนาของเจฮอตตรอว์ เวอร์ชัน 7

มาตรวัดซีเค	ค่าต่ำสุด	ค่าสูงสุด	ค่าเฉลี่ย	ค่าเบี่ยงเบนมาตรฐาน
WMC	0	73	12.34	12.145
DIT	0	7	1.05	1.452
NOC	0	21	0.55	2.031
CBO	0	265	14.47	21.980
RFC	0	246	37.51	37.596
LCOM	0	2240	107.21	258.762

(9) เจฮอตตรอว์ เวอร์ชัน 8 ภายในซอร์สโค้ดของซอฟต์แวร์มีการจัดการเมทีอดคอลซ้ำกันทั้งหมด 18 ตำแหน่งด้วยแอสเป็ก สามารถแสดงข้อมูลสถิติเชิงพรรณนแยกตามมาตรวัดซีเคทั้ง 6 มาตรวัดดังตารางที่ 4.13

ตารางที่ 4.13 ข้อมูลสถิติเชิงพรรณนาของเจฮอตตรอว์ เวอร์ชัน 8

มาตรวัดซีเค	ค่าต่ำสุด	ค่าสูงสุด	ค่าเฉลี่ย	ค่าเบี่ยงเบนมาตรฐาน
WMC	0	73	12.34	12.145
DIT	0	7	1.05	1.452
NOC	0	21	0.55	2.031
CBO	0	265	14.43	21.950
RFC	0	246	37.51	37.622
LCOM	0	2240	107.21	258.762

(10) เจฮอตตรอว์ เวอร์ชัน 9 ภายในซอร์สโค้ดของซอฟต์แวร์มีการจัดการเมทีอดคอลซ้ำกันทั้งหมด 21 ตำแหน่งด้วยแอสเป็ก สามารถแสดงข้อมูลสถิติเชิงพรรณนแยกตามมาตรวัดซีเคทั้ง 6 มาตรวัดดังตารางที่ 4.14

ตารางที่ 4.14 ข้อมูลสถิติเชิงพรรณนาของเจฮอตตรอว์ เวอร์ชัน 9

มาตรวัดซีเค	ค่าต่ำสุด	ค่าสูงสุด	ค่าเฉลี่ย	ค่าเบี่ยงเบนมาตรฐาน
WMC	0	73	12.34	12.145
DIT	0	7	1.05	1.452
NOC	0	21	0.55	2.031
CBO	0	265	14.47	21.980
RFC	0	246	37.54	37.648
LCOM	0	2240	107.21	258.762

(11) เจฮอตตรอว์ เวอร์ชัน 10 ภายในซอร์สโค้ดของซอฟต์แวร์มีการจัดการเมทีอดคอลซ้ำกันทั้งหมด 29 ตำแหน่งด้วยแอสเป็ก สามารถแสดงข้อมูลสถิติเชิงพรรณนแยกตามมาตรวัดซีเคทั้ง 6 มาตรวัดดังตารางที่ 4.15

ตารางที่ 4.15 ข้อมูลสถิติเชิงพรรณนาของเจฮอตตรอร์ เวอร์ชัน 10

มาตรวัดซีเค	ค่าต่ำสุด	ค่าสูงสุด	ค่าเฉลี่ย	ค่าเบี่ยงเบนมาตรฐาน
WMC	0	73	12.34	12.145
DIT	0	7	1.05	1.452
NOC	0	21	0.55	2.031
CBO	0	265	14.47	21.980
RFC	0	246	37.51	37.627
LCOM	0	2240	107.21	258.762

(12) เจฮอตตรอร์ เวอร์ชัน 11 ภายในซอร์สโค้ดของซอฟต์แวร์มีการจัดการเมทีอดคอลเข้ากันทั้งหมด 37 ตำแหน่งด้วยแอสเป็ก สามารถแสดงข้อมูลสถิติเชิงพรรณนาแยกตามมาตรวัดซีเคทั้ง 6 มาตรวัดดังตารางที่ 4.16

ตารางที่ 4.16 ข้อมูลสถิติเชิงพรรณนาของเจฮอตตรอร์ เวอร์ชัน 11

มาตรวัดซีเค	ค่าต่ำสุด	ค่าสูงสุด	ค่าเฉลี่ย	ค่าเบี่ยงเบนมาตรฐาน
WMC	0	73	12.34	12.145
DIT	0	7	1.05	1.452
NOC	0	21	0.55	2.031
CBO	0	265	14.47	21.980
RFC	0	246	37.49	37.618
LCOM	0	2240	107.21	258.762

(13) เจฮอตตรอร์ เวอร์ชัน 12 ภายในซอร์สโค้ดของซอฟต์แวร์มีการจัดการเมทีอดคอลเข้ากันทั้งหมด 44 ตำแหน่งด้วยแอสเป็ก สามารถแสดงข้อมูลสถิติเชิงพรรณนาแยกตามมาตรวัดซีเคทั้ง 6 มาตรวัดดังตารางที่ 4.17

ตารางที่ 4.17 ข้อมูลสถิติเชิงพรรณนาของเจฮอตตรอร์ เวอร์ชัน 12

มาตรวัดซีเค	ค่าต่ำสุด	ค่าสูงสุด	ค่าเฉลี่ย	ค่าเบี่ยงเบนมาตรฐาน
WMC	0	73	12.34	12.145
DIT	0	7	1.05	1.452
NOC	0	21	0.55	2.031
CBO	0	265	14.46	21.947
RFC	0	246	37.44	37.685
LCOM	0	2240	107.22	258.758

#### 4.3.2 ผลการวิเคราะห์ข้อมูลสถิติเชิงพรรณนาจากมาตรวัดเชิงแอสเป็ก

จากการเก็บรวบรวมค่ามาตรวัดเชิงแอสเป็กของเจฮอตตรอร์ทุกเวอร์ชันด้วยเครื่องมือ เอโอพีเมตริก (AopMetrics) ซึ่งเป็นมาตรวัดเชิงแอสเป็กของ Ceccato และ Tonella (2004) มี 10 มาตรวัดได้แก่ WOM, DIT, NOC, CFA, CMC, CBM, CDA, CAE, RFM และ LCO เนื่องจากค่ามาตรวัดทั้งสิบมาตรวัดเป็นค่ามาตรวัดรายคลาสหรือรายแอสเป็ก คือวัดจากแต่ละคลาสหรือแอสเป็กที่มีในเจฮอตตรอร์ เวอร์ชัน 7.1 และเจฮอตตรอร์ทั้ง 12 เวอร์ชัน โดยเจฮอตตรอร์ เวอร์ชัน 7.1 เป็นซอฟต์แวร์ติดตั้งที่ไม่ได้ปรับปรุงซอร์สโค้ดทำให้ภายในซอร์สโค้ดมีเพียงคลาส 442 คลาส ส่วนเจฮอตตรอร์ทั้ง 12 เวอร์ชัน แต่ละเวอร์ชันมีคลาส 442 คลาสและแอสเป็ก 1 แอสเป็กสำหรับวัดค่ามาตรวัด ผู้วิจัยจึงนำค่ามาตรวัดทั้ง 10 มาตรวัดของคลาสและแอสเป็กทั้งหมดมาคำนวณเพื่อแสดงข้อมูลสถิติเชิงพรรณนา (Descriptive Statistics) ข้อมูลสถิติเชิงพรรณนาที่พิจารณา ได้แก่

- ✓ ค่าต่ำสุด (Minimum) คือค่ามาตรวัดต่ำสุดโดยพิจารณาจากคลาสและแอสเป็กทั้งหมดภายในเจฮอตตรอร์
- ✓ ค่าสูงสุด (Maximum) คือค่ามาตรวัดสูงสุดโดยพิจารณาจากคลาสและแอสเป็กทั้งหมดภายในเจฮอตตรอร์
- ✓ ค่าเฉลี่ย (Mean) คือค่าเฉลี่ยของค่ามาตรวัดจากจำนวนคลาสและแอสเป็กทั้งหมด
- ✓ ค่าเบี่ยงเบนมาตรฐาน (Standard Deviation) คือรากที่สองของค่าแปรปรวน

เบื้องต้นแสดงข้อมูลสถิติเชิงพรรณนาของเจฮอตตรอร์ เวอร์ชัน 7.1 และเจฮอตตรอร์ทั้ง 12 เวอร์ชัน สามารถแสดงข้อมูลสถิติแยกตามมาตรวัดทั้งสิบมาตรวัดได้ดังนี้

(1) เจฮอตตรอร์ เวอร์ชัน 7.1 เป็นซอฟต์แวร์ติดตั้ง สามารถแสดงข้อมูลสถิติเชิงพรรณนาแยกตามมาตรวัดเชิงแอสเป็กทั้ง 10 มาตรวัดดังตารางที่ 4.18

ตารางที่ 4.18 ข้อมูลสถิติเชิงพรรณนาของเจฮอตตรอร์ เวอร์ชัน 7.1

มาตรวัดแอสเป็ก	ค่าต่ำสุด	ค่าสูงสุด	ค่าเฉลี่ย	ค่าเบี่ยงเบนมาตรฐาน
WOM	0	90	12.59	12.746
DIT	0	6	1.53	1.589
NOC	0	21	0.55	2.031
CFA	0	23	0.68	2.252
CMC	0	44	4.95	6.951
CBM	0	47	5.26	7.268
CDA	0	0	0.00	0.000
CAE	0	0	0.00	0.000
RFM	0	145	19.26	22.340
LCO	0	3650	87.46	281.127

(2) เจฮอตตรอว์ เวอร์ชัน 1 ภายในซอร์สโค้ดของซอฟต์แวร์มีการจัดการเมทีอดคอลซ้ำกันทั้งหมด 4 ตำแหน่งด้วยแอสเป็ก สามารถแสดงข้อมูลสถิติเชิงพรรณนาแยกตามมาตรวัดเชิงแอสเป็ก ทั้ง 10 มาตรวัดดังตารางที่ 4.19

ตารางที่ 4.19 ข้อมูลสถิติเชิงพรรณนาแยกตามมาตรวัดเชิงแอสเป็กของเจฮอตตรอว์ เวอร์ชัน 1

มาตรวัดแอสเป็ก	ค่าต่ำสุด	ค่าสูงสุด	ค่าเฉลี่ย	ค่าเบี่ยงเบนมาตรฐาน
WOM	0	90	12.56	12.744
DIT	0	6	1.52	1.589
NOC	0	21	0.55	2.029
CFA	0	23	0.68	2.249
CMC	0	44	4.95	6.944
CBM	0	47	5.25	7.261
CDA	0	2	0.00	0.095
CAE	0	1	0.00	0.067
RFM	0	145	19.22	22.337
LCO	0	3650	87.26	280.840

(3) เจฮอตตรอว์ เวอร์ชัน 2 ภายในซอร์สโค้ดของซอฟต์แวร์มีการจัดการเมทีอดคอลซ้ำกันทั้งหมด 5 ตำแหน่งด้วยแอสเป็ก สามารถแสดงข้อมูลสถิติเชิงพรรณนาแยกตามมาตรวัดเชิงแอสเป็ก ทั้ง 10 มาตรวัดดังตารางที่ 4.20

ตารางที่ 4.20 ข้อมูลสถิติเชิงพรรณนาแยกตามมาตรวัดเชิงแอสเป็กของเจฮอตตรอว์ เวอร์ชัน 2

มาตรวัดแอสเป็ก	ค่าต่ำสุด	ค่าสูงสุด	ค่าเฉลี่ย	ค่าเบี่ยงเบนมาตรฐาน
WOM	0	90	12.56	12.742
DIT	0	6	1.52	1.589
NOC	0	21	0.55	2.029
CFA	0	23	0.68	2.249
CMC	0	44	4.95	6.944
CBM	0	47	5.25	7.261
CDA	0	5	0.01	0.238
CAE	0	1	0.01	0.106
RFM	0	145	19.22	22.333
LCO	0	3650	87.26	280.840

(4) เจฮอตตรอว์ เวอร์ชัน 3 ภายในซอร์สโค้ดของซอฟต์แวร์มีการจัดการเมทีอดคอลซ้ำกันทั้งหมด 9 ตำแหน่งด้วยแอสเป็ก สามารถแสดงข้อมูลสถิติเชิงพรรณาแยกตามมาตรวัดเชิงแอสเป็กทั้ง 10 มาตรวัดดังตารางที่ 4.21

ตารางที่ 4.21 ข้อมูลสถิติเชิงพรรณาแยกตามมาตรวัดเชิงแอสเป็กของเจฮอตตรอว์ เวอร์ชัน 3

มาตรวัดแอสเป็ก	ค่าต่ำสุด	ค่าสูงสุด	ค่าเฉลี่ย	ค่าเบี่ยงเบนมาตรฐาน
WOM	0	90	12.57	12.737
DIT	0	6	1.52	1.589
NOC	0	21	0.55	2.029
CFA	0	23	0.68	2.249
CMC	0	44	4.94	6.945
CBM	0	47	5.24	7.261
CDA	0	9	0.02	0.428
CAE	0	1	0.02	0.141
RFM	0	145	19.25	22.351
LCO	0	3650	87.26	280.840

(5) เจฮอตตรอว์ เวอร์ชัน 4 ภายในซอร์สโค้ดของซอฟต์แวร์มีการจัดการเมทีอดคอลซ้ำกันทั้งหมด 12 ตำแหน่งด้วยแอสเป็ก เนื่องจากจำนวนซ้ำของเมทีอดคอลดังกล่าวมีทั้งหมดสองกรณีที่จัดการในจำนวนซ้ำที่เท่ากัน กรณีนี้จัดการเมทีอดคอลที่เรียกใช้งานเมทีอด ClearSelection() สามารถแสดงข้อมูลสถิติเชิงพรรณาแยกตามมาตรวัดเชิงแอสเป็กทั้ง 10 มาตรวัดดังตารางที่ 4.22

ตารางที่ 4.22 ข้อมูลสถิติเชิงพรรณาแยกตามมาตรวัดเชิงแอสเป็กของเจฮอตตรอว์ เวอร์ชัน 4

มาตรวัดแอสเป็ก	ค่าต่ำสุด	ค่าสูงสุด	ค่าเฉลี่ย	ค่าเบี่ยงเบนมาตรฐาน
WOM	0	90	12.57	12.737
DIT	0	6	1.52	1.589
NOC	0	21	0.55	2.029
CFA	0	23	0.68	2.249
CMC	0	44	4.95	6.942
CBM	0	47	5.25	7.259
CDA	0	11	0.02	0.523
CAE	0	1	0.02	0.156
RFM	0	146	19.26	22.381
LCO	0	3650	87.26	280.840

(6) เจสอตตรอว์ เวอร์ชัน 5 ภายในซอร์สโค้ดของซอฟต์แวร์มีการจัดการเมทอดคอลล์ซ้ำกันทั้งหมด 12 ตำแหน่งด้วยแอสเป็ก กรณีนี้เป็นการจัดการเมทอดคอลล์ที่เรียกใช้งานเมทอด RemoveAllChildren() สามารถแสดงข้อมูลสถิติเชิงพรรณนาแยกตามมาตรวัดเชิงแอสเป็กทั้ง 10 มาตรวัดดังตารางที่ 4.23

ตารางที่ 4.23 ข้อมูลสถิติเชิงพรรณนาแยกตามมาตรวัดเชิงแอสเป็กของเจสอตตรอว์ เวอร์ชัน 5

มาตรวัดแอสเป็ก	ค่าต่ำสุด	ค่าสูงสุด	ค่าเฉลี่ย	ค่าเบี่ยงเบนมาตรฐาน
WOM	0	90	12.56	12.744
DIT	0	6	1.52	1.589
NOC	0	21	0.55	2.029
CFA	0	23	0.68	2.249
CMC	0	44	4.95	6.944
CBM	0	47	5.25	7.261
CDA	0	9	0.02	0.428
CAE	0	1	0.02	0.141
RFM	0	145	19.22	22.341
LCO	0	3650	87.26	280.840

(7) เจสอตตรอว์ เวอร์ชัน 6 ภายในซอร์สโค้ดของซอฟต์แวร์มีการจัดการเมทอดคอลล์ซ้ำกันทั้งหมด 13 ตำแหน่งด้วยแอสเป็ก สามารถแสดงข้อมูลสถิติเชิงพรรณนาแยกตามมาตรวัดเชิงแอสเป็กทั้ง 10 มาตรวัดดังตารางที่ 4.24

ตารางที่ 4.24 ข้อมูลสถิติเชิงพรรณนาแยกตามมาตรวัดเชิงแอสเป็กของเจสอตตรอว์ เวอร์ชัน 6

มาตรวัดแอสเป็ก	ค่าต่ำสุด	ค่าสูงสุด	ค่าเฉลี่ย	ค่าเบี่ยงเบนมาตรฐาน
WOM	0	90	12.56	12.740
DIT	0	6	1.52	1.589
NOC	0	21	0.55	2.029
CFA	0	23	0.68	2.249
CMC	0	44	4.95	6.943
CBM	0	47	5.25	7.260
CDA	0	6	0.01	0.285
CAE	0	1	0.01	0.116
RFM	0	145	19.25	22.354
LCO	0	3650	87.26	280.840



(8) เจฮอตตรอว์ เวอร์ชัน 7 ภายในซอร์สโค้ดของซอฟต์แวร์มีการจัดการเมทีอดคอลซ้ำกันทั้งหมด 15 ตำแหน่งด้วยแอสเป็ก สามารถแสดงข้อมูลสถิติเชิงพรรณนแยกตามมาตรวัดเชิงแอสเป็กทั้ง 10 มาตรวัดดังตารางที่ 4.25

ตารางที่ 4.25 ข้อมูลสถิติเชิงพรรณนแยกตามมาตรวัดเชิงแอสเป็กของเจฮอตตรอว์ เวอร์ชัน 7

มาตรวัดแอสเป็ก	ค่าต่ำสุด	ค่าสูงสุด	ค่าเฉลี่ย	ค่าเบี่ยงเบนมาตรฐาน
WOM	0	90	12.56	12.740
DIT	0	6	1.52	1.589
NOC	0	21	0.55	2.029
CFA	0	23	0.68	2.249
CMC	0	44	4.95	6.944
CBM	0	47	5.25	7.261
CDA	0	10	0.02	0.475
CAE	0	1	0.02	0.149
RFM	0	145	19.27	22.397
LCO	0	3650	87.26	280.840

(9) เจฮอตตรอว์ เวอร์ชัน 8 ภายในซอร์สโค้ดของซอฟต์แวร์มีการจัดการเมทีอดคอลซ้ำกันทั้งหมด 18 ตำแหน่งด้วยแอสเป็ก สามารถแสดงข้อมูลสถิติเชิงพรรณนแยกตามมาตรวัดเชิงแอสเป็กทั้ง 10 มาตรวัดดังตารางที่ 4.26

ตารางที่ 4.26 ข้อมูลสถิติเชิงพรรณนแยกตามมาตรวัดเชิงแอสเป็กของเจฮอตตรอว์ เวอร์ชัน 8

มาตรวัดแอสเป็ก	ค่าต่ำสุด	ค่าสูงสุด	ค่าเฉลี่ย	ค่าเบี่ยงเบนมาตรฐาน
WOM	0	90	12.57	12.737
DIT	0	6	1.52	1.589
NOC	0	21	0.55	2.029
CFA	0	23	0.68	2.249
CMC	0	44	4.93	6.924
CBM	0	47	5.23	7.241
CDA	0	12	0.03	0.570
CAE	0	1	0.03	0.163
RFM	0	145	19.30	22.423
LCO	0	3650	87.26	280.840

(10) เจฮอตตรอร์ เวอร์ชัน 9 ภายในซอร์สโค้ดของซอฟต์แวร์มีการจัดการเมทรีดคอลซ้ำกันทั้งหมด 21 ตำแหน่งด้วยแอสเป็ก สามารถแสดงข้อมูลสถิติเชิงพรรณนาแยกตามมาตรวัดเชิงแอสเป็กทั้ง 10 มาตรวัดดังตารางที่ 4.27

ตารางที่ 4.27 ข้อมูลสถิติเชิงพรรณนาแยกตามมาตรวัดเชิงแอสเป็กของเจฮอตตรอร์ เวอร์ชัน 9

มาตรวัดแอสเป็ก	ค่าต่ำสุด	ค่าสูงสุด	ค่าเฉลี่ย	ค่าเบี่ยงเบนมาตรฐาน
WOM	0	90	12.56	12.744
DIT	0	6	1.52	1.589
NOC	0	21	0.55	2.029
CFA	0	23	0.68	2.250
CMC	0	44	4.95	6.943
CBM	0	47	5.26	7.259
CDA	0	2	0.00	0.095
CAE	0	1	0.00	0.067
RFM	0	145	19.23	22.348
LCO	0	3650	87.26	280.840

(11) เจฮอตตรอร์ เวอร์ชัน 10 ภายในซอร์สโค้ดของซอฟต์แวร์มีการจัดการเมทรีดคอลซ้ำกันทั้งหมด 29 ตำแหน่งด้วยแอสเป็ก สามารถแสดงข้อมูลสถิติเชิงพรรณนาแยกตามมาตรวัดเชิงแอสเป็กทั้ง 10 มาตรวัดดังตารางที่ 4.28

ตารางที่ 4.28 ข้อมูลสถิติเชิงพรรณนาแยกตามมาตรวัดเชิงแอสเป็กของเจฮอตตรอร์ เวอร์ชัน 10

มาตรวัดแอสเป็ก	ค่าต่ำสุด	ค่าสูงสุด	ค่าเฉลี่ย	ค่าเบี่ยงเบนมาตรฐาน
WOM	0	90	12.57	12.738
DIT	0	6	1.52	1.589
NOC	0	21	0.55	2.029
CFA	0	23	0.68	2.249
CMC	0	44	4.95	6.944
CBM	0	47	5.25	7.260
CDA	0	23	0.05	1.093
CAE	0	1	0.05	0.222
RFM	0	145	19.26	22.389
LCO	0	3650	87.26	280.840

(12) เจฮอตตรอร์ เวอร์ชัน 11 ภายในซอร์สโค้ดของซอฟต์แวร์มีการจัดการเมท็อดคอลซ้ำกันทั้งหมด 37 ตำแหน่งด้วยแอสเป็ก สามารถแสดงข้อมูลสถิติเชิงพรรณนาแยกตามมาตรวัดเชิงแอสเป็กทั้ง 10 มาตรวัดดังตารางที่ 4.29

ตารางที่ 4.29 ข้อมูลสถิติเชิงพรรณนาแยกตามมาตรวัดเชิงแอสเป็กของเจฮอตตรอร์ เวอร์ชัน 11

มาตรวัดแอสเป็ก	ค่าต่ำสุด	ค่าสูงสุด	ค่าเฉลี่ย	ค่าเบี่ยงเบนมาตรฐาน
WOM	0	90	12.57	12.737
DIT	0	6	1.52	1.589
NOC	0	21	0.55	2.029
CFA	0	23	0.68	2.249
CMC	0	44	4.95	6.944
CBM	0	47	5.25	7.260
CDA	0	26	0.06	1.235
CAE	0	1	0.06	0.235
RFM	0	145	19.27	22.392
LCO	0	3650	87.26	280.840

(13) เจฮอตตรอร์ เวอร์ชัน 12 ภายในซอร์สโค้ดของซอฟต์แวร์มีการจัดการเมท็อดคอลซ้ำกันทั้งหมด 44 ตำแหน่งด้วยแอสเป็ก สามารถแสดงข้อมูลสถิติเชิงพรรณนาแยกตามมาตรวัดเชิงแอสเป็กทั้ง 10 มาตรวัดดังตารางที่ 4.30

ตารางที่ 4.30 ข้อมูลสถิติเชิงพรรณนาแยกตามมาตรวัดเชิงแอสเป็กของเจฮอตตรอร์ เวอร์ชัน 12

มาตรวัดแอสเป็ก	ค่าต่ำสุด	ค่าสูงสุด	ค่าเฉลี่ย	ค่าเบี่ยงเบนมาตรฐาน
WOM	0	90	12.56	12.742
DIT	0	6	1.52	1.589
NOC	0	21	0.55	2.029
CFA	0	23	0.68	2.249
CMC	0	44	4.95	6.945
CBM	0	47	5.25	7.261
CDA	0	44	0.10	2.091
CAE	0	1	0.10	0.299
RFM	0	145	19.22	22.333
LCO	0	3650	87.26	280.840

#### 4.4 การเปรียบเทียบค่ามาตรฐานวัดเชิงวัตถุ

ผลการทดลองทำให้ได้เจฮอตตรอว์ทั้งหมด 12 เวอร์ชัน ที่จัดการจำนวนซ้ำของเมท็อดคอล แตกต่างกันด้วยแอสเป็ก จำนวนซ้ำที่พิจารณาในงานวิจัยได้แก่ 4, 5, 9, 12, 13, 15, 18, 21, 29, 37 และ 44 โดยการวัดค่ามาตรฐานวัดเชิงวัตถุของเจฮอตตรอว์จะไม่พิจารณาไฟล์แอสเป็ก ดังนั้นค่ามาตรฐานวัดซีเคทั้ง 6 มาตรฐานวัดจึงวัดแต่ไฟล์คลาส ซึ่งเจฮอตตรอว์แต่ละเวอร์ชันมีคลาสทั้งหมด 442 คลาส เบื้องต้นผู้วิจัยเปรียบเทียบค่ามาตรฐานวัดรายคลาสของเจฮอตตรอว์แต่ละเวอร์ชันกับเจฮอตตรอว์ 7.1 ซึ่งเป็นซอฟต์แวร์ตั้งต้นที่ไม่ได้ปรับปรุงซอร์สโค้ด เพื่อพิจารณาค่ามาตรฐานวัดของคลาสก่อนและหลังทำแอสเป็กกรีแพคทอริง จากการพิจารณารายคลาสทั้งหมดของเจฮอตตรอว์แต่ละเวอร์ชัน สามารถแสดงมาตรฐานวัดที่มีค่ามาตรฐานวัดของคลาสเปลี่ยนแปลงหลังทำแอสเป็กกรีแพคทอริงได้ดังตารางที่ 4.31

ตารางที่ 4.31 มาตรฐานวัดซีเคซึ่งมีคลาสที่ค่ามาตรฐานวัดเปลี่ยนแปลงหลังทำแอสเป็กกรีแพคทอริง

เจฮอตตรอว์	จำนวนซ้ำ เมท็อดคอล	มาตรฐานวัดซีเค					
		WMC	DIT	NOC	CBO	RFC	LCOM
เวอร์ชัน 1	4	-	-	-	-	✓	-
เวอร์ชัน 2	5	-	-	-	-	✓	-
เวอร์ชัน 3	9	-	-	-	-	✓	-
เวอร์ชัน 4	12	-	-	-	-	✓	-
เวอร์ชัน 5	12	-	-	-	-	✓	-
เวอร์ชัน 6	13	-	-	-	-	✓	-
เวอร์ชัน 7	15	-	-	-	-	✓	-
เวอร์ชัน 8	18	-	-	-	✓	✓	-
เวอร์ชัน 9	21	-	-	-	-	-	-
เวอร์ชัน 10	29	-	-	-	-	✓	-
เวอร์ชัน 11	37	-	-	-	-	✓	-
เวอร์ชัน 12	44	-	-	-	✓	✓	✓

#### หมายเหตุ

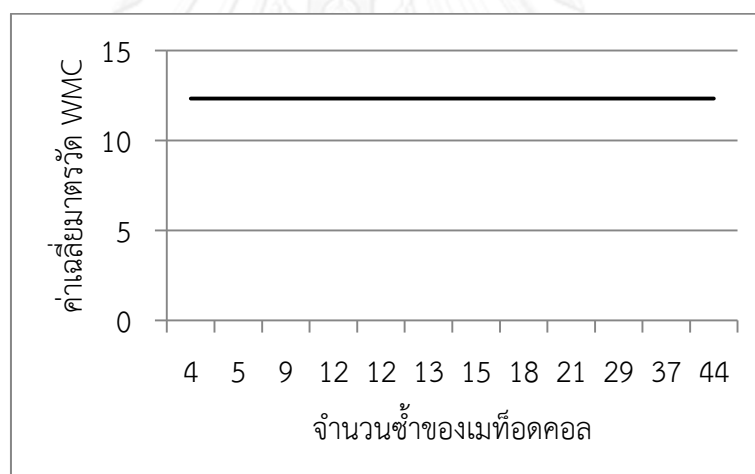
- เครื่องหมาย - แสดงถึง ไม่มีคลาสที่ค่ามาตรฐานวัดเปลี่ยนแปลงหลังทำแอสเป็กกรีแพคทอริง  
 เครื่องหมาย ✓ แสดงถึง มีคลาสที่ค่ามาตรฐานวัดเปลี่ยนแปลงหลังทำแอสเป็กกรีแพคทอริง

การพิจารณาข้อมูลค่ามาตรวัดของแต่ละมาตรวัดเชิงวัตถุประสงค์สามารถนำมาพิจารณาตามกรอบการวิเคราะห์ข้อมูลทั้งหมดสามส่วน ได้แก่ (1) การเปรียบเทียบค่ามาตรวัดก่อนและหลังทำแอสเป็กทีฟแพคทอริง (2) การเปรียบเทียบค่าเฉลี่ยมาตรวัดระหว่างเจสอตตรอร์ทั้ง 12 เวอร์ชัน และ (3) การวิเคราะห์ผลมาตรวัดต่อคุณภาพซอฟต์แวร์ รายละเอียดการวิเคราะห์ข้อมูลของแต่ละมาตรวัดมีดังนี้

### (1) เวทเทดเมทีออดเปอคลาส (Weighted Method per Class - WMC)

จากตารางที่ 4.31 เป็นการเปรียบเทียบเจสอตตรอร์ทั้ง 12 เวอร์ชันกับเจสอตตรอร์ เวอร์ชัน 7.1 ซึ่งเป็นซอฟต์แวร์ตั้งต้น โดยเปรียบเทียบค่ามาตรวัด WMC รายคลาส พบว่าเจสอตตรอร์ทั้ง 12 เวอร์ชันไม่มีคลาสที่มีค่ามาตรวัด WMC เปลี่ยนแปลงหลังทำแอสเป็กทีฟแพคทอริงเพื่อจัดการเมทีออดคอลซ้ำกันด้วยแอสเป็ก

ผลการเปรียบเทียบระหว่างเจสอตตรอร์ทั้ง 12 เวอร์ชันจึงให้ผลเช่นเดียวกัน โดยนำค่าเฉลี่ยของมาตรวัด WMC จากข้อมูลสถิติเชิงพรรณนาของเจสอตตรอร์แต่ละเวอร์ชัน (ตารางที่ 4.6 - 4.17) มาเปรียบเทียบ แสดงด้วยกราฟดังรูปที่ 4.32 พบว่าจำนวนซ้ำของเมทีออดคอลไม่ส่งผลให้ค่ามาตรวัด WMC เปลี่ยนแปลงไม่ว่าจะจัดการเมทีออดคอลในจำนวนซ้ำที่น้อยหรือมากด้วยแอสเป็ก โดยค่าเฉลี่ยของมาตรวัด WMC มีค่าคงเดิมเท่ากับ 12.34



รูปที่ 4.32 ค่าเฉลี่ยของมาตรวัด WMC ของเจสอตตรอร์แต่ละเวอร์ชันที่จัดการจำนวนซ้ำเมทีออดคอลแตกต่างกัน

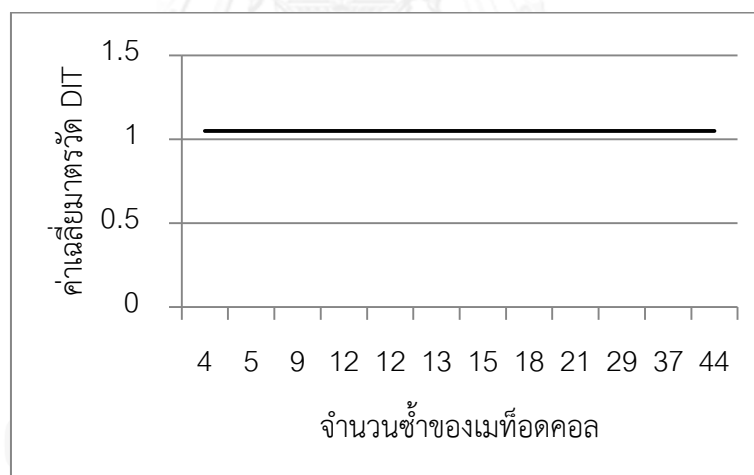
ค่ามาตรวัด WMC ไม่เปลี่ยนแปลงหลังทำแอสเป็กทีฟแพคทอริง เนื่องจากมาตรวัด WMC พิจารณาจากจำนวนเมทีออดที่อิมพลีเมนต์ภายในคลาส ดังนั้นค่ามาตรวัด WMC ของคลาสจะมีค่าเพิ่มขึ้นหรือลดลงจึงต้องมีการเปลี่ยนแปลงจำนวนเมทีออดที่อิมพลีเมนต์ภายในคลาส ได้แก่ การเพิ่มเมทีออดหรือนำเมทีออดออกจากคลาส แต่เนื่องจากงานวิจัยนี้เลือกทำแอสเป็กทีฟแพคทอริงโดยสนใจจัดการเพียงเมทีออดคอลที่ซ้ำกัน ทำให้มีแค่เมทีออดคอลซึ่งเป็นเพียงคำสั่งภายในคลาสถูกนำออกจากคลาสจึงไม่ส่งผลต่อจำนวนเมทีออดที่อิมพลีเมนต์ภายในคลาส

จากตารางที่ 2.3 ความสัมพันธ์ระหว่างมาตรวัดเชิงวัดอยู่กับคุณภาพซอฟต์แวร์ ที่อ้างอิงจากงานวิจัยของ Kulkarni, Kalshetty และ Arde (2010) โดยมาตรวัด WMC สามารถส่งผลกระทบต่อคุณภาพซอฟต์แวร์ 2 ด้าน ได้แก่ ความสามารถในการบำรุงรักษาและความสามารถในการนำกลับมาใช้ใหม่ แต่จากผลการเปรียบเทียบค่ามาตรวัด WMC แสดงให้เห็นว่าการทำแอสเป็กริแพคทอริงไม่ทำให้ค่ามาตรวัด WMC ของคลาสเปลี่ยนแปลง ดังนั้นการทำแอสเป็กริแพคทอริงจึงไม่ส่งผลต่อคุณภาพซอฟต์แวร์ทั้งสองด้านด้วยเช่นกัน

## (2) เดพออฟอินเฮริเทนทรี (Depth of Inheritance Tree - DIT)

จากตารางที่ 4.31 เป็นการเปรียบเทียบเจสอตตรอว์ทั้ง 12 เวอร์ชันกับเจสอตตรอว์ เวอร์ชัน 7.1 ซึ่งเป็นซอฟต์แวร์ดั้งเดิม โดยเปรียบเทียบค่ามาตรวัด DIT รายคลาส พบว่าเจสอตตรอว์ทั้ง 12 เวอร์ชันไม่มีคลาสที่มีค่ามาตรวัด DIT เปลี่ยนแปลงหลังทำแอสเป็กริแพคทอริงเพื่อจัดการเมทอดคอลซ้ำกันด้วยแอสเป็กริ

ผลการเปรียบเทียบระหว่างเจสอตตรอว์ทั้ง 12 เวอร์ชันจึงให้ผลเช่นเดียวกัน โดยนำค่าเฉลี่ยของมาตรวัด DIT จากข้อมูลสถิติเชิงพรรณนาของเจสอตตรอว์แต่ละเวอร์ชัน (ตารางที่ 4.6 – 4.17) มาเปรียบเทียบ แสดงด้วยกราฟดังรูปที่ 4.33 พบว่าจำนวนซ้ำของเมทอดคอลไม่ส่งผลให้ค่ามาตรวัด DIT เกิดการเปลี่ยนแปลงไม่ว่าจะจัดการเมทอดคอลในจำนวนซ้ำที่น้อยหรือมากด้วยแอสเป็กริ โดยค่าเฉลี่ยของมาตรวัด DIT มีค่าคงเดิมเท่ากับ 1.05



รูปที่ 4.33 ค่าเฉลี่ยของมาตรวัด DIT ของเจสอตตรอว์แต่ละเวอร์ชันที่จัดการจำนวนซ้ำเมทอดคอลแตกต่างกัน

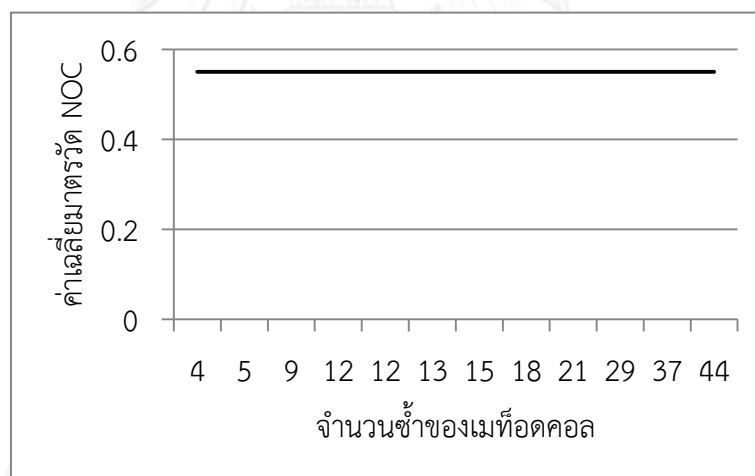
ค่ามาตรวัด DIT ไม่เปลี่ยนแปลงหลังทำแอสเป็กริแพคทอริง เนื่องจากมาตรวัด DIT พิจารณาจากระดับความลึกของคลาสภายในลำดับชั้นการรับทอด (Inheritance hierarchy) โดยนับจากคลาสโหนดไปยังรูทโหนดของลำดับชั้น ดังนั้นค่ามาตรวัด DIT ของคลาสจะมีค่าเพิ่มขึ้นหรือลดลงจึงต้องมีการเปลี่ยนแปลงภายในลำดับชั้นของคลาส เช่น การเพิ่มหรือลดคลาสภายในลำดับชั้นการรับทอดที่ส่งผลให้จำนวนชั้นในลำดับชั้นการรับทอดเปลี่ยนแปลง แต่เนื่องจากงานวิจัยนี้เลือกทำแอสเป็กริแพคทอริงโดยสนใจการจัดการเพียงเมทอดคอลที่ซ้ำกันจึงทำให้ไม่ส่งผลต่อลำดับชั้นการรับทอด

จากตารางที่ 2.3 ความสัมพันธ์ระหว่างมาตรวัดเชิงวัดอยู่กับคุณภาพซอฟต์แวร์ ที่อ้างอิงจากงานวิจัยของ Kulkarni, Kalshetty และ Arde (2010) โดยมาตรวัด DIT สามารถส่งผลกระทบต่อคุณภาพซอฟต์แวร์ 2 ด้าน ได้แก่ ความสามารถในการทำความเข้าใจและความสามารถการนำกลับมาใช้ใหม่ แต่จากผลการเปรียบเทียบค่ามาตรวัด DIT แสดงให้เห็นว่าการทำแอสเป็ครีแฟคทอริงไม่ทำให้ค่ามาตรวัด DIT ของคลาสเปลี่ยนแปลง ดังนั้นการทำแอสเป็ครีแฟคทอริงจึงไม่ส่งผลกระทบต่อคุณภาพซอฟต์แวร์ทั้งสองด้าน

### (3) นัมเบอร์ออฟซิลเดรน (Number of Children - NOC)

จากตารางที่ 4.31 เปรียบเทียบเจสอตตรอว์ทั้ง 12 เวอร์ชันกับเจสอตตรอว์ เวอร์ชัน 7.1 ซึ่งเป็นซอฟต์แวร์ดั้งเดิม โดยเปรียบเทียบค่ามาตรวัด NOC รายคลาส พบว่าเจสอตตรอว์ทั้ง 12 เวอร์ชันไม่มีคลาสที่มีค่ามาตรวัด NOC เปลี่ยนแปลงหลังทำแอสเป็ครีแฟคทอริง

ผลการเปรียบเทียบระหว่างเจสอตตรอว์ทั้ง 12 เวอร์ชันจึงให้ผลเช่นเดียวกัน โดยนำค่าเฉลี่ยของมาตรวัด NOC จากข้อมูลสถิติเชิงพรรณนาของเจสอตตรอว์แต่ละเวอร์ชัน (ตารางที่ 4.6 – 4.17) มาเปรียบเทียบ แสดงด้วยกราฟดังรูปที่ 4.34 พบว่าจำนวนซ้ำของเมทอดคอลไม่ส่งผลให้ค่ามาตรวัด NOC เปลี่ยนแปลงไม่ว่าจะจัดการเมทอดคอลในจำนวนซ้ำที่น้อยหรือมากด้วยแอสเป็ค โดยค่าเฉลี่ยของมาตรวัด NOC มีค่าคงเดิมเท่ากับ 0.55



รูปที่ 4.34 ค่าเฉลี่ยของมาตรวัด NOC ของเจสอตตรอว์แต่ละเวอร์ชันที่จัดการจำนวนซ้ำเมทอดคอลแตกต่างกัน

ค่ามาตรวัด NOC ไม่เปลี่ยนแปลงหลังจากทำแอสเป็ครีแฟคทอริง เนื่องจากมาตรวัด NOC พิจารณาจากจำนวนคลาสลูกภายในลำดับชั้นการรับทอด ดังนั้นค่ามาตรวัด NOC จะเพิ่มขึ้นหรือลดลงจึงต้องมีการเปลี่ยนแปลงภายในลำดับชั้นของคลาส ได้แก่ การเพิ่มหรือลดคลาสลูกภายในลำดับชั้นการรับทอด แต่เนื่องจากในงานวิจัยนี้เลือกทำแอสเป็ครีแฟคทอริงโดยสนใจจัดการเพียงเมทอดคอลที่ซ้ำกันจึงทำให้ไม่ส่งผลต่อลำดับชั้นการรับทอด

จากตารางที่ 2.3 ความสัมพันธ์ระหว่างมาตรวัดเชิงวัตถุกับคุณภาพซอฟต์แวร์ ที่อ้างอิงจากงานวิจัยของ Kulkarni, Kalshetty และ Arde (2010) โดยมาตรวัด NOC สามารถส่งผลกระทบต่อคุณภาพซอฟต์แวร์ 2 ด้าน ได้แก่ ความสามารถในการนำกลับมาใช้ใหม่และความสามารถในการทดสอบ แต่จากผลการเปรียบเทียบค่ามาตรวัด NOC แสดงให้เห็นว่าการทำแอสเป็กทีฟคทอริงไม่ทำให้ค่ามาตรวัด NOC ของคลาสเปลี่ยนแปลง ดังนั้นการทำแอสเป็กทีฟคทอริงจึงไม่ส่งผลต่อคุณภาพซอฟต์แวร์ทั้งสองด้านด้วยเช่นกัน

#### (4) คัพปลิงปีทวินอ็อบเจกต์คลาส (Coupling Between Object classes - CBO)

จากตารางที่ 4.31 เป็นการเปรียบเทียบเจสอตตรอว์ทั้ง 12 เวอร์ชันกับเจสอตตรอว์ เวอร์ชัน 7.1 ซึ่งเป็นซอฟต์แวร์ดั้งเดิม โดยเปรียบเทียบค่ามาตรวัด CBO รายคลาส พบว่ามีเพียงเจสอตตรอว์ เวอร์ชัน 8 และ 12 ที่จัดการเมทอดคอลซ้ำกันทั้งหมด 18 และ 44 ตำแหน่งตามลำดับ มีคลาสที่มีค่ามาตรวัด CBO เปลี่ยนแปลงหลังทำแอสเป็กทีฟคทอริง สามารถแสดงรายชื่อคลาสที่มีค่ามาตรวัด CBO เปลี่ยนแปลง และค่ามาตรวัด CBO ก่อน-หลังทำแอสเป็กทีฟคทอริงของเจสอตตรอว์ เวอร์ชันที่ 8 และ 12 ได้ดังนี้

ตารางที่ 4.32 รายชื่อคลาส 9 คลาสของเจสอตตรอว์ เวอร์ชัน 8 ที่ค่ามาตรวัด CBO เปลี่ยนแปลง

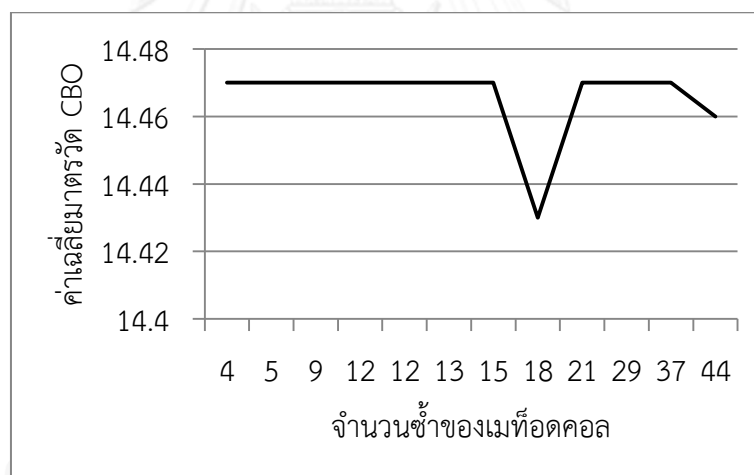
คลาส	มาตรวัด CBO	
	ก่อนทำ แอสเป็ก ทีฟคทอริง	หลังทำ แอสเป็ก ทีฟคทอริง
org.jhotdraw.draw.EllipseFigure	12	11
org.jhotdraw.draw.ImageFigure	21	20
org.jhotdraw.draw.RectangleFigure	13	12
org.jhotdraw.draw.RoundRectangleFigure	14	13
org.jhotdraw.geom.Geom	44	36
org.jhotdraw.samples.odg.figures.ODGPathFigure	38	37
org.jhotdraw.samples.svg.figures.SVGPathFigure	42	41
org.jhotdraw.samples.svg.figures.SVGTextAreaFigure	27	26
org.jhotdraw.samples.svg.figures.SVGTextFigure	38	37



ตารางที่ 4.33 รายชื่อคลาส 3 คลาสของเจฮอตดรอว์ เวอร์ชัน 12 ที่ค่ามาตรวัด CBO เปลี่ยนแปลง

คลาส	มาตรวัด CBO	
	ก่อนทำ แอสเป็ก รีแฟคทอริง	หลังทำ แอสเป็ก รีแฟคทอริง
org.jhotdraw.draw.action.SelectSameAction	14	13
org.jhotdraw.draw.action.UngroupAction	15	14
org.jhotdraw.util.ResourceBundleUtil	174	172

ผลการเปรียบเทียบระหว่างเจฮอตดรอว์ทั้ง 12 เวอร์ชัน โดยนำค่าเฉลี่ยของมาตรวัด CBO จากข้อมูลสถิติเชิงพรรณนาของเจฮอตดรอว์แต่ละเวอร์ชัน (ตารางที่ 4.6 – 4.17) มาเปรียบเทียบ แสดงด้วยกราฟดังรูปที่ 4.35 พบว่าหลังทำแอสเป็กรีแฟคทอริงการจัดการเมที่อดคอลลที่ซ้ำกัน 18 และ 44 ตำแหน่งส่งผลให้ค่ามาตรวัด CBO มีค่าลดลง โดยการจัดการเมที่อดคอลลที่ซ้ำกันทั้งหมด 18 ตำแหน่งให้ค่ามาตรวัด CBO ลดลงมากที่สุดเมื่อเทียบกับจำนวนซ้ำเมที่อดคอลลอื่นๆ โดยมีค่าเฉลี่ยของ มาตรวัด CBO เท่ากับ 14.43 ส่วนการจัดการเมที่อดคอลลที่ซ้ำกัน 44 ตำแหน่งมีค่ามาตรวัด CBO ลดลงเพียงเล็กน้อยคือ ค่าเฉลี่ยของมาตรวัด CBO เท่ากับ 14.46



รูปที่ 4.35 ค่าเฉลี่ยของมาตรวัด CBO ของเจฮอตดรอว์แต่ละเวอร์ชัน ที่จัดการจำนวนซ้ำเมที่อดคอลลแตกต่างกัน

มาตรวัด CBO พิจารณาจากจำนวนความสัมพันธ์ระหว่างคลาสอื่น ๆ กับคลาสที่พิจารณา โดยคลาสสองคลาสจะสัมพันธ์กันเมื่อภายในคลาสที่พิจารณาเรียกใช้งานเมทอดของคลาสอื่นหรือประกาศตัวแปรอินสแตนซ์ของคลาสอื่น ดังนั้นค่ามาตรวัด CBO ของคลาสจะมีค่าเพิ่มขึ้นหรือลดลงจึงต้องมีการเปลี่ยนแปลงจำนวนคลาสที่สามารถเรียกใช้งานเมทอด หรือเปลี่ยนแปลงจำนวนตัวแปรอินสแตนซ์ที่ประกาศภายในคลาส

จากผลค่ามาตรวัด CBO ของเจฮอตตรอร์ว้ทั้ง 12 เวอร์ชัน มีทั้งหมด 10 เวอร์ชันที่ค่ามาตรวัด CBO คงเดิมหลังทำแอสเป็กริแพคทอริง เนื่องจากการจัดการเมทอดคอลด้วยแอสเป็กไม่สามารถลดความสัมพันธ์ระหว่างคลาส มีทั้งหมด 3 กรณี ดังนี้

- ภายในคลาสมีเมทอดคอลซ้ำกันหลายตำแหน่ง แต่ไม่สามารถจัดการเมทอดคอลทั้งหมดด้วยแอสเป็กได้ เนื่องจากตำแหน่งเมทอดคอลบางตำแหน่งไม่สามารถระบุด้วยพอยท์คัทที่มีในภาษาแอสเป็กเจ ทำให้ไม่สามารถลดความสัมพันธ์ระหว่างคลาสเพราะภายในคลาสยังคงเรียกใช้งานเมทอดอยู่ในตำแหน่งอื่น แสดงดังตัวอย่างรูปที่ 4.36 ภายในคลาส AttributeKey เรียกใช้งานเมทอด changed() ของแอบสเตรคคلاس AbstractFigure ทั้งหมด 5 ตำแหน่ง ทำให้คลาส AttributeKey มีความสัมพันธ์กับแอบสเตรคคلاس AbstractFigure หลังทำแอสเป็กริแพคทอริงสามารถจัดการเมทอดคอลที่ซ้ำด้วยแอสเป็กได้เพียง 2 ตำแหน่ง แต่เมทอดคอลอีก 3 ตำแหน่งไม่สามารถจัดการด้วยแอสเป็กได้ เนื่องจากตำแหน่งเมทอดคอลอยู่ภายในเมทอดที่ซ้อนเมทอดของคลาสอีกทีจึงไม่สามารถกำหนดด้วยพอยท์คัทของภาษาแอสเป็กเจ ทำให้ภายในคลาสยังคงเรียกใช้งานเมทอด changed() จากตำแหน่งอื่น ส่งผลให้คลาส AttributeKey ยังคงสัมพันธ์กับแอบสเตรคคلاس AbstractFigure ค่ามาตรวัด CBO ของคลาส AttributeKey จึงมีค่าไม่ลดลง

```

public class AttributeKey<T> {
    public void set(Figure f, T value) {
        f.willChange();
        basicSet(f, value);
        //f.changed();
    }

    public UndoableEdit setUndoable(final Figure figure, final T value, final
ResourceBundleUtil labels) {
        figure.willChange();
        figure.setAttribute(this, value);
        figure.changed();
        UndoableEdit edit = new AbstractUndoableEdit() {
            public void undo() {
                super.undo();
                figure.willChange();
                figure.restoreAttributesTo(restoreData);
                figure.changed();
            }
            public void redo() {
                super.redo();
                figure.willChange();
                figure.setAttribute(AttributeKey.this, value);
                figure.changed();
            }
        };
        return edit;
    }

    public void setClone(Figure f, T value) {
        f.willChange();
        basicSetClone(f, value);
        //f.changed();
    }
}

```

รูปที่ 4.36 ซอร์สโค้ดของคลาส AttributeKey ที่มีการเรียกใช้งานเมทอด changed()

● ภายในคลาสมีเมทอดคอลซ้ากันหลายตำแหน่งและสามารถจัดการเมทอดคอลที่ซ้ำกันทั้งหมดด้วยแอสเป็กได้ แต่ยังไม่สามารถลดความสัมพันธ์ระหว่างคลาสได้ หากในคลาสยังเรียกใช้งานเมทอดอื่นที่อิมพลิเมนต์จากในคลาสเดียวกัน ดังรูปที่ 4.37 แอ็บสเตรคคلاس AbstractFigure มีการอิมพลิเมนต์เมทอด willChange() และ changed() สำหรับให้คลาสอื่นเรียกใช้งาน จากตัวอย่างการจัดการเมทอดคอลรูปที่ 4.38 ภายในคลาส ODGPathFigure เรียกใช้งานเมทอด changed() และสามารถจัดการเมทอดคอลทั้งหมดด้วยแอสเป็กได้ แต่เนื่องจากในคลาสยังคงเรียกใช้งานเมทอด willChange() ทำให้ไม่สามารถลดความสัมพันธ์ระหว่างคลาส AbstractFigure และ ODGPathFigure ส่งผลให้หลังทำแอสเป็กรีแฟกทอริงค่ามาตรวัด CBO ของคลาส ODGPathFigure จึงมีค่าคงเดิมไม่ลดลง

```
public abstract class AbstractFigure extends AbstractBean implements Figure {
    protected int changingDepth = 0;
    public AbstractFigure() {}
    public void willChange() {
        if (changingDepth == 0) {
            fireAreaInvalidated();
            invalidate();
        }
        changingDepth++;
    }
    public void changed() {
        if (changingDepth == 1) {
            validate();
            fireFigureChanged(getDrawingArea());
        } else if (changingDepth < 0) {
            throw new InternalError("changed was called without a prior call to willChange.");
        }
        changingDepth--;
    }
}
```

รูปที่ 4.37 แอ็บสเตรคคلاس AbstractFigure ที่อิมพลิเมนต์เมทอด willChange() และ changed()

```

package org.jhotdraw.samples.odg.figures;
public class ODGPathFigure extends AbstractAttributedCompositeFigure implements
ODGFigure {
    public ODGPathFigure() {
        add(new ODGBezierFigure());
        ODGAttributeKeys.setDefaults(this);
    }
    ...
    public void flattenTransform() {
        willChange():
        AffineTransform tx = TRANSFORM.get(this);
        if (tx != null) {
            for (Figure child : getChildren()) {
                ((ODGBezierFigure) child).transform(tx);
                ((ODGBezierFigure) child).flattenTransform();
            }
        }
        TRANSFORM.basicSet(this, null);
        //changed():
    }
}

```

รูปที่ 4.38 ซอร์สโค้ดบางส่วนของคลาส ODGPathFigure

- ภายในคลาสมีเมทอดคอลซ้ำกันหลายตำแหน่งและสามารถจัดการเมทอดคอลที่ซ้ำกันทั้งหมดด้วยแอสเป็กได้ แต่ยังไม่สามารถลดความสัมพันธ์ระหว่างคลาสได้ หากในคลาสยังคงประกาศตัวแปรอินสแตนซ์ของคลาสเดียวกันไว้ ดังตัวอย่างรูปที่ 4.39 และ 4.40 ภายในคลาส Duplicate Action เรียกใช้งานเมทอด configureAction() ของคลาส ResourceBundleUtil และสามารถจัดการเมทอดคอลด้วยแอสเป็กได้ แต่ภายในคลาสยังมีการประกาศตัวแปรอินสแตนซ์ของคลาส ResourceBundleUtil ชื่อ labels ส่งผลให้ไม่สามารถลดความสัมพันธ์ระหว่างคลาส Duplicate Action และ ResourceBundleUtil ค่ามาตรวัด CBO ของคลาส DuplicateAction จึงมีค่าคงเดิมไม่ลดลง

```

package org.jhotdraw.app.action;
public class DuplicateAction extends AbstractAction {
    public final static String ID = "duplicate";
    private ResourceBundleUtil labels;
    public DuplicateAction() {
        labels = ResourceBundleUtil.getLAFBundle("org.jhotdraw.app.Labels");
        //labels.configureAction(this, ID);
    }
}

```

รูปที่ 4.39 คลาส DuplicateAction

```

public class ResourceBundleUtil {
    private ResourceBundle resource;
    private Class baseClass = getClass();
    public ResourceBundleUtil(ResourceBundle r) {
        resource = r;
    }
    public void configureAction(Action action, String argument) {
        configureAction(action, argument, getBaseClass());
    }
    public void configureAction(Action action, String argument, Class baseClass) {
        action.putValue(Action.NAME, getString(argument));
        action.putValue(Action.ACCELERATOR_KEY, getAcc(argument));
        action.putValue(Action.MNEMONIC_KEY, new Integer(getMnem(argument)));
        action.putValue(Action.SMALL_ICON, getImagelcon(argument, baseClass));
    }
}

```

รูปที่ 4.40 คลาส ResourceBundleUtil

ดังนั้นจากผลค่ามาตรวัด CBO จึงมีเพียงเจฮอตตรอว์ เวอร์ชัน 8 และ 12 ที่ค่ามาตรวัด CBO ของบางคลาสมีค่าลดลงหลังทำแอสเป็กกรีฟคทอริง โดยเจฮอตตรอว์ เวอร์ชัน 8 จัดการเมที่อดคอลลซ้ำกัน 18 ตำแหน่ง มีค่ามาตรวัด CBO ลดลงมากกว่าเจฮอตตรอว์เวอร์ชันอื่นๆ เนื่องจากมีคลาสถึง 9 คลาสที่ค่ามาตรวัด CBO ลดลง จากการพิจารณาลักษณะเมที่อดคอลลที่จัดการด้วยแอสเป็กของเจฮอตตรอว์ เวอร์ชัน 8 ในตาราง 4.2 ข้างต้น พบว่าลักษณะเมที่อดคอลลทั้งหมดเป็นการเรียกใช้งานเมที่อดผ่านชื่อคลาสโดยตรง คือการเรียกใช้งานเมที่อด grow() ของคลาส Geom ด้วยชื่อคลาสโดยตรง เช่น Geom.grow(b,10d,10d); เป็นต้น ส่งผลให้เมื่อจัดการเมที่อดคอลลซ้ำกันทั้งหมดด้วยแอสเป็กทำให้สามารถลดความสัมพันธ์ระหว่างคลาสได้ ดังนั้นจากตารางที่ 4.32 ข้างต้น คลาส 8 คลาสที่เรียกใช้งานเมที่อด grow() ของคลาส Geom เมื่อจัดการเมที่อดคอลลด้วยแอสเป็ก แต่ละคลาสจึงมีค่ามาตรวัด CBO ลดลงเท่ากับ 1 เพราะแต่ละคลาสสามารถลดความสัมพันธ์กับคลาสอื่นได้เพียง 1 คลาส คือคลาส Geom ส่วนค่ามาตรวัดของคลาส Geom เนื่องจากสามารถลดความสัมพันธ์กับคลาสอื่นๆที่มา

เรียกใช้งานเมทอด `grow()` จากในคลาสได้ถึง 8 คลาส ค่ามาตรวัด CBO ของคลาส `Geom` จึงมีค่าลดลงมากเท่ากับ 8

ส่วนเจสอตรอร์ว เวิร์ชั้น 12 จัดการเมทอดคอลซ้ากันทั้งหมด 44 ตำแหน่ง มีค่ามาตรวัด CBO ลดลงเล็กน้อย โดยทั้ง 44 ตำแหน่งเป็นการเรียกใช้งานเมทอด `configureAction()` ของคลาส `ResourceBundleUtil` มีเมทอดคอลเพียง 8 ตำแหน่งที่มีลักษณะเมทอดคอลเป็นการเรียกใช้งานเมทอดผ่านตัวแปรอ็อบเจกต์ของคลาสแม่ แต่มีเพียงเมทอดคอล 2 ตำแหน่งที่จัดการด้วยแอสเป็กแล้วส่งผลให้ค่ามาตรวัดของคลาส 2 คลาสมีค่ามาตรวัดลดลง เนื่องจากตัวแปรอ็อบเจกต์สำหรับเรียกใช้งานเมทอดเป็นตัวแปรของคลาส `ResourceBundleUtil` ที่ถูกประกาศไว้ในคลาสแม่ และภายในคลาสไม่มีการเข้าถึงตัวแปรดังกล่าวในตำแหน่งอื่น หลังทำแอสเป็กรีแฟคทอริงคลาสทั้ง 2 คลาสจึงสามารถลดความสัมพันธ์กับคลาส `ResourceBundleUtil` ขณะที่เมทอดคอลอีก 6 ตำแหน่งที่มีลักษณะเมทอดคอลเหมือนกันแต่ค่ามาตรวัด CBO กลับไม่ลดลง เนื่องจากภายในคลาสยังคงเข้าถึงตัวแปรอ็อบเจกต์ของคลาส `ResourceBundleUtil` ที่ประกาศไว้ภายในคลาสแม่ในตำแหน่งอื่นของคลาส จากตารางที่ 4.33 ข้างต้นจึงมีเพียงแค่ 2 คลาส ได้แก่ คลาส `SelectSameAction` และ `UngroupAction` ที่มีค่ามาตรวัด CBO ลดลงเท่ากับ 1 ส่วนคลาส `ResourceBundleUtil` สามารถลดความสัมพันธ์กับคลาสอื่นที่เรียกใช้งานเมทอดได้ทั้งหมด 2 คลาส ค่ามาตรวัด CBO ของคลาส `ResourceBundleUtil` จึงมีลดลงเท่ากับ 2

จากตารางที่ 2.3 ความสัมพันธ์ระหว่างมาตรวัดเชิงวัดกับคุณภาพซอฟต์แวร์ที่อ้างอิงจากงานวิจัยของ Kulkarni, Kalshetty และ Arde (2010) โดยมาตรวัด CBO สามารถส่งผลกระทบต่อคุณภาพซอฟต์แวร์ 4 ด้าน ได้แก่ ความสามารถในการทำความเข้าใจ ความสามารถการบำรุงรักษา ความสามารถการนำกลับมาใช้ใหม่ และความสามารถทดสอบ จากผลการเปรียบเทียบค่ามาตรวัด CBO แสดงให้เห็นว่าการทำแอสเป็กรีแฟคทอริงส่งผลให้ค่ามาตรวัด CBO ของคลาสลดลง หากจัดการเมทอดคอลที่มีลักษณะการเรียกใช้งานเมทอดผ่านชื่อคลาสโดยตรง หรือการเรียกใช้งานเมทอดผ่านตัวแปรอ็อบเจกต์ของคลาสแม่ การทำแอสเป็กรีแฟคทอริงจึงสามารถช่วยลดคัพพลิง โดยการขึ้นต่อกันระหว่างคลาสลดลงและส่งผลให้คุณภาพซอฟต์แวร์ทั้ง 4 ด้านปรับปรุงดีขึ้น

### (5) เรสพอนซ์ฟอร์อะคลาส (Response For a Class - RFC)

จากตารางที่ 4.31 เปรียบเทียบเจสอตตรอว์ทั้ง 12 เวอร์ชันกับเจสอตตรอว์ เวอร์ชัน 7.1 ซึ่งเป็นซอฟต์แวร์ตั้งต้น จากการเทียบค่ามาตรวัด RFC รายคลาส พบว่ามีเพียงเจสอตตรอว์ เวอร์ชัน 9 ที่ค่ามาตรวัด RFC ไม่เปลี่ยนแปลงหลังทำแอสเป็กรีแฟคทอริง ส่วนเจสอตตรอว์เวอร์ชันอื่น ได้แก่ เวอร์ชัน 1-8 และ 10-12 ค่ามาตรวัด RFC ของบางคลาสมีค่าเปลี่ยนแปลง สามารถแสดงรายชื่อคลาสที่มีค่ามาตรวัด RFC เปลี่ยนแปลง และค่ามาตรวัด RFC ก่อน-หลังทำแอสเป็กรีแฟคทอริงได้ดังนี้

- เจสอตตรอว์ เวอร์ชัน 1 ปรับปรุงซอร์สโค้ดโดยจัดการเมทอดคอลซ้ากันทั้งหมด 4 ตำแหน่งด้วยแอสเป็กรีแฟคทอริง พบว่าหลังทำแอสเป็กรีแฟคทอริงมีคลาส 2 คลาสที่มีค่ามาตรวัด RFC เปลี่ยนแปลง รายชื่อคลาสและค่ามาตรวัด RFC แสดงดังตารางที่ 4.34

ตารางที่ 4.34 รายชื่อคลาส 2 คลาสของเจสอตตรอว์ เวอร์ชัน 1 ที่ค่ามาตรวัด RFC เปลี่ยนแปลง

คลาส	มาตรวัด RFC	
	ก่อนทำ แอสเป็กรี แฟคทอริง	หลังทำ แอสเป็กรี แฟคทอริง
org.jhotdraw.draw.DefaultDrawing	66	65
org.jhotdraw.draw.QuadTreeDrawing	77	76

- เจสอตตรอว์ เวอร์ชัน 2 ปรับปรุงซอร์สโค้ดโดยจัดการเมทอดคอลซ้ากันทั้งหมด 5 ตำแหน่งด้วยแอสเป็กรีแฟคทอริง พบว่าหลังทำแอสเป็กรีแฟคทอริงมีคลาส 5 คลาสที่มีค่ามาตรวัด RFC เปลี่ยนแปลง รายชื่อคลาสและค่ามาตรวัด RFC แสดงดังตารางที่ 4.35

ตารางที่ 4.35 รายชื่อคลาส 5 คลาสของเจสอตตรอว์ เวอร์ชัน 2 ที่ค่ามาตรวัด RFC เปลี่ยนแปลง

คลาส	มาตรวัด RFC	
	ก่อนทำ แอสเป็กรี แฟคทอริง	หลังทำ แอสเป็กรี แฟคทอริง
org.jhotdraw.samples.draw.DrawingPanel	89	88
org.jhotdraw.samples.net.NetPanel	71	70
org.jhotdraw.samples.odg.ODGDrawingPanel	85	84
org.jhotdraw.samples.pert.PertPanel	73	72
org.jhotdraw.samples.svg.SVGDrawingPanel	87	86

- เจสอตตรอว์ เวอร์ชัน 3 ปรับปรุงซอร์สโค้ดโดยจัดการเมทอดคอลซ้ากันทั้งหมด 9 ตำแหน่งด้วยแอสเป็กรีแฟคทอริง พบว่าหลังทำแอสเป็กรีแฟคทอริงมีคลาส 9 คลาสที่มีค่ามาตรวัด RFC เปลี่ยนแปลง รายชื่อคลาสและค่ามาตรวัด RFC แสดงดังตารางที่ 4.36



ตารางที่ 4.36 รายชื่อคลาส 9 คลาสของเจฮอตดรอว์ เวอร์ชัน 3 ที่ค่ามาตรฐาน RFC เปลี่ยนแปลง

คลาส	มาตรฐาน RFC	
	ก่อนทำ แอสเป็ก รีแฟคทอริง	หลังทำ แอสเป็ก รีแฟคทอริง
org.jhotdraw.draw.action.GroupAction	45	44
org.jhotdraw.draw.BezierTool	79	78
org.jhotdraw.draw.CreationTool	67	66
org.jhotdraw.samples.odg.action.CombineAction	46	45
org.jhotdraw.samples.odg.action.SplitAction	46	45
org.jhotdraw.samples.odg.PathTool	23	22
org.jhotdraw.samples.svg.action.CombineAction	49	48
org.jhotdraw.samples.svg.action.SplitAction	46	45
org.jhotdraw.samples.svg.PathTool	23	22

- เจฮอตดรอว์ เวอร์ชัน 4 ที่จัดการเมทีอดคอลซ้กันทั้งหมด 12 ตำแหน่งด้วยแอสเป็กกรณีนี้จัดการเมทีอดคอลที่เรียกใช้งานเมทีอด ClearSelection() พบว่าหลังทำแอสเป็กรีแฟคทอริงมีคลาส 4 คลาสที่ค่ามาตรฐาน RFC เปลี่ยนแปลง รายชื่อคลาสและค่ามาตรฐาน RFC แสดงดังตารางที่ 4.37

ตารางที่ 4.37 รายชื่อคลาส 4 คลาสของเจฮอตดรอว์ เวอร์ชัน 4 ที่ค่ามาตรฐาน RFC เปลี่ยนแปลง

คลาส	มาตรฐาน RFC	
	ก่อนทำ แอสเป็ก รีแฟคทอริง	หลังทำ แอสเป็ก รีแฟคทอริง
org.jhotdraw.draw.BezierTool	79	78
org.jhotdraw.draw.BidirectionalConnectionTool	82	81
org.jhotdraw.draw.ConnectionTool	95	94
org.jhotdraw.draw.CreationTool	67	66

- เจฮอตดรอว์ เวอร์ชัน 5 ที่จัดการเมทีอดคอลซ้กันทั้งหมด 12 ตำแหน่งด้วยแอสเป็กกรณีนี้จัดการเมทีอดคอลที่เรียกใช้งานเมทีอด RemoveAllChildren() พบว่าหลังทำแอสเป็กรีแฟคทอริงมีคลาส 8 คลาสที่มีค่ามาตรฐาน RFC เปลี่ยนแปลง รายชื่อคลาสและค่ามาตรฐาน RFC แสดงดังตารางที่ 4.38

ตารางที่ 4.38 รายชื่อคลาส 8 คลาสของเจฮอตดรอว์ เวอร์ชัน 5 ที่ค่ามาตรฐาน RFC เปลี่ยนแปลง

คลาส	มาตรฐาน RFC	
	ก่อนทำ แอสเป็ก รีแฟคทอริง	หลังทำ แอสเป็ก รีแฟคทอริง
org.jhotdraw.samples.draw.DrawApplet	71	70
org.jhotdraw.samples.draw.DrawLiveConnectApplet	76	75
org.jhotdraw.samples.net.NetApplet	74	73
org.jhotdraw.samples.odg.PathTool	23	22
org.jhotdraw.samples.pert.PertApplet	68	67
org.jhotdraw.samples.svg.io.DefaultSVGFigureFactory	54	53
org.jhotdraw.samples.svg.PathTool	23	22
org.jhotdraw.samples.svg.SVGApplet	75	74

● เจฮอตดรอว์ เวอร์ชัน 6 ปรับปรุงซอร์สโค้ดโดยจัดการเมทอดคอลชันทั้งหมด 13 ตำแหน่งด้วยแอสเป็ก พบว่าหลังทำแอสเป็กรีแฟคทอริงมีคลาส 5 คลาสที่มีค่ามาตรฐาน RFC เปลี่ยนแปลง รายชื่อคลาสและค่ามาตรฐาน RFC แสดงดังตารางที่ 4.39

ตารางที่ 4.39 รายชื่อคลาส 5 คลาสของเจฮอตดรอว์ เวอร์ชัน 6 ที่ค่ามาตรฐาน RFC เปลี่ยนแปลง

คลาส	มาตรฐาน RFC	
	ก่อนทำ แอสเป็ก รีแฟคทอริง	หลังทำ แอสเป็ก รีแฟคทอริง
org.jhotdraw.app.DefaultApplicationModel	42	41
org.jhotdraw.draw.DefaultDrawing	66	65
org.jhotdraw.draw.GridConstrainer	52	50
org.jhotdraw.draw.QuadTreeDrawing	77	76
org.jhotdraw.samples.odg.ODGDrawing	35	34

● เจฮอตดรอว์ เวอร์ชัน 7 ปรับปรุงซอร์สโค้ดโดยจัดการเมทอดคอลชันทั้งหมด 15 ตำแหน่งด้วยแอสเป็ก พบว่าหลังทำแอสเป็กรีแฟคทอริงมีคลาส 10 คลาสที่มีค่ามาตรฐาน RFC เปลี่ยนแปลง รายชื่อคลาสและค่ามาตรฐาน RFC แสดงดังตารางที่ 4.40

ตารางที่ 4.40 รายชื่อคลาส 10 คลาสของเจฮอตดรอว์ เวอร์ชัน 7 ที่ค่ามาตรฐาน RFC เปลี่ยนแปลง

คลาส	มาตรฐาน RFC	
	ก่อนทำแอสเป็ก รีแฟคทอริง	หลังทำแอสเป็ก รีแฟคทอริง
org.jhotdraw.samples.draw.DrawingPanel	89	87
org.jhotdraw.samples.draw.DrawView	99	98
org.jhotdraw.samples.net.NetPanel	71	69
org.jhotdraw.samples.net.NetView	105	104
org.jhotdraw.samples.odg.ODGDrawingPanel	85	83
org.jhotdraw.samples.odg.ODGView	157	156
org.jhotdraw.samples.pert.PertPanel	73	71
org.jhotdraw.samples.pert.PertView	102	101
org.jhotdraw.samples.svg.SVGDrawingPanel	87	85
org.jhotdraw.samples.svg.SVGView	161	160

● เจฮอตดรอว์ เวอร์ชัน 8 ปรับปรุงซอร์สโค้ดโดยจัดการเมทอดคอลซ้ำกันทั้งหมด 18 ตำแหน่งด้วยแอสเป็ก พบว่าหลังทำแอสเป็กรีแฟคทอริงมีคลาส 12 คลาสที่มีค่ามาตรฐาน RFC เปลี่ยนแปลง รายชื่อคลาสและค่ามาตรฐาน RFC แสดงดังตารางที่ 4.41

ตารางที่ 4.41 รายชื่อคลาส 12 คลาสของเจฮอตดรอว์ เวอร์ชัน 8 ที่ค่ามาตรฐาน RFC เปลี่ยนแปลง

คลาส	มาตรฐาน RFC	
	ก่อนทำ แอสเป็ก รีแฟคทอริง	หลังทำ แอสเป็ก รีแฟคทอริง
org.jhotdraw.draw.ChopDiamondConnector	19	18
org.jhotdraw.draw.ChopRoundRectangleConnector	18	17
org.jhotdraw.draw.EllipseFigure	34	33
org.jhotdraw.draw.ImageFigure	86	85
org.jhotdraw.draw.RectangleFigure	29	28
org.jhotdraw.draw.RoundRectangleFigure	48	47
org.jhotdraw.draw.TriangleFigure	54	53
org.jhotdraw.samples.net.figures.NodeFigure	49	48
org.jhotdraw.samples.odg.figures.ODGPathFigure	149	148
org.jhotdraw.samples.svg.figures.SVGPathFigure	150	149
org.jhotdraw.samples.svg.figures.SVGTextAreaFigure	130	129
org.jhotdraw.samples.svg.figures.SVGTextFigure	112	111

- เจฮอตตรอว์ เวอร์ชัน 10 ปรับปรุงซอร์สโค้ดโดยจัดการเมทอดคอลซ้ำกันทั้งหมด 29 ตำแหน่งด้วยแอสเป็ก พบว่าหลังทำแอสเป็กรีแฟคทอริงมีคลาส 14 คลาสที่มีค่ามาตรวัด RFC เปลี่ยนแปลง รายชื่อคลาสและค่ามาตรวัด RFC แสดงดังตารางที่ 4.42

ตารางที่ 4.42 รายชื่อคลาส 14 คลาสของเจฮอตตรอว์ เวอร์ชัน 10 ที่ค่ามาตรวัด RFC เปลี่ยนแปลง

คลาส	มาตรวัด RFC	
	ก่อนทำ แอสเป็ก รีแฟคทอริง	หลังทำ แอสเป็ก รีแฟคทอริง
org.jhotdraw.draw.BezierScaleHandle	37	36
org.jhotdraw.draw.ConnectionEndHandle	19	18
org.jhotdraw.draw.ConnectionStartHandle	17	16
org.jhotdraw.draw.FontSizeHandle	33	32
org.jhotdraw.draw.ImageFigure	86	85
org.jhotdraw.draw.MoveHandle	39	38
org.jhotdraw.draw.RoundRectangleRadiusHandle	28	27
org.jhotdraw.draw.TextAreaTool	47	46
org.jhotdraw.samples.odg.figures.ODGPathFigure	149	148
org.jhotdraw.samples.odg.figures.ODGRectRadiusHandle	32	31
org.jhotdraw.samples.pert.figures.TaskFigure	102	101
org.jhotdraw.samples.svg.figures.SVGImageFigure	100	99
org.jhotdraw.samples.svg.figures.SVGPathFigure	150	149
org.jhotdraw.samples.svg.figures.SVGRectRadiusHandle	32	31

- เจฮอตตรอว์ เวอร์ชัน 11 ปรับปรุงซอร์สโค้ดโดยจัดการเมทอดคอลซ้ำกันทั้งหมด 37 ตำแหน่งด้วยแอสเป็ก พบว่าหลังทำแอสเป็กรีแฟคทอริงมีคลาส 21 คลาสที่มีค่ามาตรวัด RFC เปลี่ยนแปลง รายชื่อคลาสและค่ามาตรวัด RFC แสดงดังตารางที่ 4.43

ตารางที่ 4.43 รายชื่อคลาส 21 คลาสของเจฮอตดรอว์ เวอร์ชัน 11 ที่ค่ามาตรฐาน RFC เปลี่ยนแปลง

คลาส	มาตรฐาน RFC	
	ก่อนทำ แอสเป็ก รีแฟคทอริง	หลังทำ แอสเป็ก รีแฟคทอริง
org.jhotdraw.draw.BezierNodeHandle	69	68
org.jhotdraw.draw.BezierScaleHandle	37	36
org.jhotdraw.draw.BezierTool	79	78
org.jhotdraw.draw.ConnectionEndHandle	19	18
org.jhotdraw.draw.ConnectionStartHandle	17	16
org.jhotdraw.draw.ConnectorHandle	72	71
org.jhotdraw.draw.FontSizeHandle	33	32
org.jhotdraw.draw.ImageFigure	86	85
org.jhotdraw.draw.LineConnectionFigure	87	86
org.jhotdraw.draw.LineFigure	23	22
org.jhotdraw.draw.RoundRectangleRadiusHandle	28	27
org.jhotdraw.draw.TextAreaTool	47	46
org.jhotdraw.draw.TextTool	47	46
org.jhotdraw.samples.odg.figures.ODGBezierFigure	37	36
org.jhotdraw.samples.odg.figures.ODGPathFigure	149	148
org.jhotdraw.samples.odg.figures.ODGRectRadiusHandle	32	31
org.jhotdraw.samples.pert.figures.TaskFigure	102	101
org.jhotdraw.samples.svg.figures.SVGBezierFigure	41	40
org.jhotdraw.samples.svg.figures.SVGImageFigure	100	99
org.jhotdraw.samples.svg.figures.SVGPathFigure	150	149
org.jhotdraw.samples.svg.figures.SVGRectRadiusHandle	32	31

- เจฮอตดรอว์ เวอร์ชัน 12 ปรับปรุงซอร์สโค้ดโดยจัดการเมทอดคอลซ้ำกันทั้งหมด 44 ตำแหน่งด้วยแอสเป็ก พบว่าหลังทำแอสเป็กรีแฟคทอริงมีคลาส 43 คลาสที่มีค่ามาตรฐาน RFC เปลี่ยนแปลง รายชื่อคลาสและค่ามาตรฐาน RFC แสดงดังตารางที่ 4.44

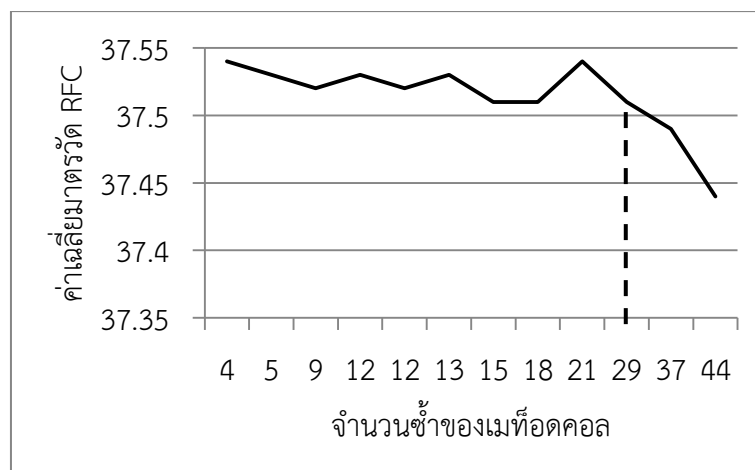
ตารางที่ 4.44 รายชื่อคลาส 43 คลาสของเจฮอตดรอว์ เวอร์ชัน 12 ที่ค่ามาตรฐาน RFC เปลี่ยนแปลง

คลาส	มาตรฐาน RFC	
	ก่อนทำ แอสเป็ก รีแฟคทอริง	หลังทำ แอสเป็ก รีแฟคทอริง
org.jhotdraw.app.action.AboutAction	15	14
org.jhotdraw.app.action.ClearAction	8	7
org.jhotdraw.app.action.ClearRecentFilesAction	20	19
org.jhotdraw.app.action.CloseAction	7	6
org.jhotdraw.app.action.CopyAction	11	10
org.jhotdraw.app.action.CutAction	11	10
org.jhotdraw.app.action.DeleteAction	21	20
org.jhotdraw.app.action.DuplicateAction	10	9
org.jhotdraw.app.action.ExitAction	64	63
org.jhotdraw.app.action.ExportAction	30	29
org.jhotdraw.app.action.FindAction	8	7
org.jhotdraw.app.action.FocusAction	35	34
org.jhotdraw.app.action.LoadAction	24	23
org.jhotdraw.app.action.MaximizeAction	13	12
org.jhotdraw.app.action.MinimizeAction	13	12
org.jhotdraw.app.action.NewAction	19	18
org.jhotdraw.app.action.OpenAction	49	48
org.jhotdraw.app.action.PasteAction	12	11
org.jhotdraw.app.action.PrintAction	46	45
org.jhotdraw.app.action.RedoAction	23	22
org.jhotdraw.app.action.SaveAction	46	45
org.jhotdraw.app.action.SaveAsAction	4	3
org.jhotdraw.app.action.SelectAllAction	11	10
org.jhotdraw.app.action.UndoAction	23	22
org.jhotdraw.draw.action.ApplyAttributesAction	29	28
org.jhotdraw.draw.action.EditDrawingAction	23	22
org.jhotdraw.draw.action.EditGridAction	23	22

ตารางที่ 4.44 รายชื่อคลาส 43 คลาสของเจฮอตตรอร์วี เวอร์ชัน 12  
ที่ค่ามาตรวัด RFC เปลี่ยนแปลง (ต่อ)

คลาส	มาตรวัด RFC	
	ก่อนทำ แอสเป็ก รีแฟคทอริง	หลังทำ แอสเป็ก รีแฟคทอริง
org.jhotdraw.draw.action.GroupAction	45	44
org.jhotdraw.draw.action.MoveToBackAction	19	18
org.jhotdraw.draw.action.MoveToFrontAction	20	19
org.jhotdraw.draw.action.PickAttributesAction	27	26
org.jhotdraw.draw.action.SelectSameAction	18	17
org.jhotdraw.draw.action.ToggleGridAction	11	10
org.jhotdraw.draw.action.UngroupAction	5	4
org.jhotdraw.samples.odg.action.CombineAction	46	45
org.jhotdraw.samples.odg.action.SplitAction	46	45
org.jhotdraw.samples.svg.action.CombineAction	49	48
org.jhotdraw.samples.svg.action.SplitAction	46	45
org.jhotdraw.samples.svg.action.ViewSourceAction	36	35
org.jhotdraw.samples.teddy.action.FindAction	12	11
org.jhotdraw.samples.teddy.action. ToggleLineNumbersAction	13	12
org.jhotdraw.samples.teddy.action. ToggleLineWrapAction	13	12
org.jhotdraw.samples.teddy.action. ToggleStatusBarAction	13	12

ผลการเปรียบเทียบระหว่างเจฮอตตรอร์วีทั้ง 12 เวอร์ชัน โดยนำค่าเฉลี่ยของมาตรวัด RFC จากข้อมูลสถิติเชิงพรรณนาของเจฮอตตรอร์วีแต่ละเวอร์ชัน (ตารางที่ 4.6 – 4.17) มาเปรียบเทียบ แสดงด้วยกราฟดังรูปที่ 4.41 พบว่าค่าเฉลี่ยของมาตรวัด RFC มีแนวโน้มลดลงเมื่อจัดการเมที่อดคอลลซ้ำกันมากกว่า 29 ตำแหน่ง ส่วนเจฮอตตรอร์วี เวอร์ชัน 9 ที่จัดการเมที่อดคอลลซ้ำกันทั้งหมด 21 ตำแหน่ง ค่าเฉลี่ยของมาตรวัด RFC มีค่าสูงสุดเมื่อเทียบกับเจฮอตตรอร์วีเวอร์ชันอื่นๆ เนื่องจากเจฮอตตรอร์วี เวอร์ชัน 9 เป็นเวอร์ชันเดียวที่คลาสทั้งหมดมีค่ามาตรวัด RFC ไม่เปลี่ยนแปลงหลังทำแอสเป็กรีแฟคทอริง



รูปที่ 4.41 ค่าเฉลี่ยของมาตรวัด RFC ของเจสอตตรอร์ 12 เวอร์ชัน ที่จัดการจำนวนซ้ำเม็ท้อดคอลแตกต่างกัน

มาตรวัด RFC พิจารณาจากจำนวนเม็ท้อดทั้งหมดที่ทำงานเพื่อตอบสนองต่ออ็อบเจกต์คลาส หรือเม็ท้อดภายในคลาส ดังนั้นค่ามาตรวัด RFC จะมีค่าเพิ่มขึ้นหรือลดลงจึงต้องมีการเปลี่ยนแปลง จำนวนเม็ท้อดที่ทำงานตอบสนองต่อคลาสที่พิจารณา และเนื่องจากการวิจัยนี้เลือกทำแอสเป็กรีแพคทอริงโดยสนใจจัดการเม็ท้อดคอลซ้ำกันภายในคลาสต่างๆด้วยแอสเป็กรีแพคทอริงจึงส่งผลให้จำนวนเม็ท้อดที่ทำงานตอบสนองต่อคลาสมีจำนวนลดลง

เจสอตตรอร์ เวอร์ชัน 1-8 และ 10-12 ที่จัดการเม็ท้อดคอลซ้ำกันทั้งหมด 4, 5, 9, 12, 12, 13, 15, 18, 29, 37 และ 44 ตำแหน่งตามลำดับ ผลแสดงว่าหลังทำแอสเป็กรีแพคทอริงคลาสส่วนใหญ่ที่มีค่ามาตรวัด RFC เปลี่ยนแปลงจะมีค่ามาตรวัด RFC ลดลงเท่ากับ 1 เนื่องจากสามารถลดจำนวนเม็ท้อดที่ทำงานตอบสนองต่อคลาสได้เพียง 1 เม็ท้อดจากการจัดการเม็ท้อดคอลทั้งหมดที่เรียกใช้งานเม็ท้อดเดียวกันด้วยแอสเป็กรีแพคทอริง ตัวอย่างคลาสที่จัดการเม็ท้อดคอลด้วยแอสเป็กรีแพคทอริงและส่งผลให้ค่ามาตรวัด RFC ของคลาสมีค่าลดลง แสดงดังรูปที่ 4.42 คลาส ImageFigure มีเม็ท้อดคอลซ้ำกันทั้งหมด 3 ตำแหน่งที่เรียกใช้งานเม็ท้อด changed() หลังการจัดการเม็ท้อดคอลทั้ง 3 ตำแหน่งด้วยแอสเป็กรีแพคทอริงส่งผลให้ค่ามาตรวัด RFC ของคลาส ImageFigure มีค่าลดลงเท่ากับ 1 เนื่องจากสามารถลดจำนวนเม็ท้อดที่ทำงานตอบสนองต่อคลาส ImageFigure ได้ 1 เม็ท้อด คือเม็ท้อด changed() ดังนั้นถึงแม้มีจำนวนซ้ำของเม็ท้อดคอลถึง 3 ตำแหน่ง การทำแอสเป็กรีแพคทอริงก็จะส่งผลให้ค่ามาตรวัด RFC ของคลาสลดลงเพียง 1 ค่าเท่านั้น



```

package org.jhotdraw.draw;
public class ImageFigure extends AbstractAttributedDecoratedFigure
    implements ImageHolderFigure {
    private Rectangle2D.Double rectangle;
    private byte[] imageData;
    private BufferedImage bufferedImage;
    ...
    public void setImage(byte[] imageData, BufferedImage bufferedImage) {
        willChange();
        this.imageData = imageData;
        this.bufferedImage = bufferedImage;
        //changed();
    }
    public void setImageData(byte[] imageData) {
        willChange();
        this.imageData = imageData;
        this.bufferedImage = null;
        //changed();
    }
    public void setBufferedImage(BufferedImage image) {
        willChange();
        this.imageData = null;
        this.bufferedImage = image;
        //changed();
    }
    ...
}

```

รูปที่ 4.42 คลาส ImageFigure

ตัวอย่างการจัดการเมทอดคอลดงรูปที่ 4.43 แสดงคลาส ODGPathFigure ที่มีเมทอดคอล 1 ตำแหน่งที่เรียกใช้งานเมทอด changed() หลังการจัดการเมทอดคอลด้วยแอสเป็ก ส่งผลให้ค่ามาตรวัด RFC ของคลาส ODGPathFigure ลดลงเพียงแค่ 1 ค่าเช่นกัน

```

package org.jhotdraw.samples.odg.figures;
public class ODGPathFigure extends AbstractAttributedCompositeFigure
implements ODGFigure {
    public ODGPathFigure() {
        add(new ODGBezierFigure());
        ODGAttributeKeys.setDefaults(this);
    }
    ...
    public void flattenTransform() {
        willChange();
        AffineTransform tx = TRANSFORM.get(this);
        if (tx != null) {
            for (Figure child : getChildren()) {
                ((ODGBezierFigure) child).transform(tx);
                ((ODGBezierFigure) child).flattenTransform();
            }
        }
        TRANSFORM.basicSet(this, null);
        //changed();
    }
}

```

รูปที่ 4.43 คลาส ODGPathFigure

ดังนั้นกรณีที่ค่ามาตรฐาน RFC ของบางคลาสมีค่าคงเดิมไม่ลดลง เนื่องจากไม่สามารถจัดการเมทอดคอลที่ซ้ำกันทั้งหมดภายในคลาสได้ จำนวนเมทอดที่ทำงานตอบสนองต่อคลาสจึงมีจำนวนเท่าเดิม โดยแสดงให้เห็นชัดเจนในเจสอตตรอร์ เวอร์ชัน 9 ที่จัดการเมทอดคอลซ้ำกันทั้งหมด 21 ตำแหน่ง เนื่องจากจำนวนซ้ำ 21 ตำแหน่งเป็นการคัดกรองจากข้อจำกัดการระบุพอยท์คัทของภาษาแอสเป็กเจ จึงทำให้ยังมีการเรียกใช้งานเมทอดเดียวกันในตำแหน่งอื่นของคลาส ค่ามาตรฐาน RFC ของคลาสจึงมีค่าคงเดิม

ตัวอย่างคลาสดังรูปที่ 4.44 คลาส AttributeKey มีเมทอดคอลที่เรียกใช้งานเมทอด changed() โดยสามารถจัดการเมทอดคอลด้วยแอสเป็กได้เพียง 2 ตำแหน่ง เมทอดคอลอีก 3 ตำแหน่งไม่สามารถจัดการด้วยแอสเป็กได้ เนื่องจากตำแหน่งของเมทอดคอลอยู่ในเมทอดที่ซ้อนเมทอดของคลาสอีกที ทำให้ไม่สามารถระบุตำแหน่งด้วยพอยท์คัทของภาษาแอสเป็กเจ ส่งผลให้ภายในคลาสยังคงมีการเรียกใช้งานเมทอด changed() ค่ามาตรฐาน RFC ของคลาส AttributeKey จึงมีค่าคงเดิมเพราะไม่สามารถลดจำนวนเมทอดที่ทำงานเพื่อตอบสนองแก่คลาสได้

```

public class AttributeKey<T> {
    public void set(Figure f, T value) {
        f.willChange();
        basicSet(f, value);
        //f.changed();
    }

    public UndoableEdit setUndoable(final Figure figure, final T value, final
ResourceBundleUtil labels) {
        figure.willChange();
        figure.setAttribute(this, value);
        figure.changed();
        UndoableEdit edit = new AbstractUndoableEdit() {
            public void undo() {
                super.undo();
                figure.willChange();
                figure.restoreAttributesTo(restoreData);
                figure.changed();
            }
            public void redo() {
                super.redo();
                figure.willChange();
                figure.setAttribute(AttributeKey.this, value);
                figure.changed();
            }
        };
        return edit;
    }

    public void setClone(Figure f, T value) {
        f.willChange();
        basicSetClone(f, value);
        //f.changed();
    }
}

```

รูปที่ 4.44 คลาส AttributeKey ที่มีการเรียกใช้งานเมทอด changed()

อีกตัวอย่างของการจัดการเมทอดคอลซี้กันด้วยแอสเป็ก แต่ค่ามาตรวัด RFC ของคลาสไม่ลดลงแสดงดังรูปที่ 4.45 คลาส DragHandle มีเมทอดคอลที่เรียกใช้งานเมทอด changed() แต่สามารถจัดการด้วยแอสเป็กได้เพียงแค่ 1 ตำแหน่ง ส่วนอีกตำแหน่งที่อยู่ภายในเมทอด trackEnd() ไม่สามารถจัดการด้วยแอสเป็กได้ เนื่องจากตำแหน่งของเมทอดคอลอยู่ในตอนท้ายของลูป for ซึ่งพอยท์คัทของภาษาแอสเป็กไม่สามารถระบุตำแหน่งดังกล่าวได้ ดังนั้นค่ามาตรวัด RFC ของคลาส DragHandle จึงมีค่าไม่ลดลงเช่นกัน

```

public class DragHandle extends AbstractHandle {
    private Point2D.Double oldPoint;
    private Figure f;
    public void trackStep(Point anchor, Point lead, int modifiersEx) {
        f = getOwner();
        Point2D.Double newPoint=view.getConstrainer().constrainPoint(view.viewToDrawing(lead));
        AffineTransform tx = new AffineTransform();
        tx.translate(newPoint.x - oldPoint.x, newPoint.y - oldPoint.y);
        f.willChange();
        f.transform(tx);
        //f.changed();
        oldPoint = newPoint;
    }
    public void trackEnd(Point anchor, Point lead, int modifiersEx) {
        if (dropTarget != null) {
            boolean snapBack = dropTarget.handleDrop(dropPoint, draggedFigures, getView());
            if (snapBack) {
                tx = new AffineTransform();
                tx.translate(anchor.x - lead.x, anchor.y - lead.y);
                for (Figure f : draggedFigures) {
                    f.willChange();
                    f.transform(tx);
                    f.changed();
                }
            } else {
                fireUndoableEditHappened(new TransformEdit(getOwner(),tx));
            }
        } else {
            fireUndoableEditHappened(new TransformEdit(getOwner(),tx));
        }
    }
}

```

รูปที่ 4.45 คลาส DragHandle ที่มีการเรียกใช้งานเมทอด changed()

การทำแอสเป็กทีฟคอรริงเพื่อจัดการเมทอดคอลที่ซ้ำกันด้วยแอสเป็ก ภายในคลาสหนึ่ง คลาสถึงแม้จะมีตำแหน่งของเมทอดคอลที่ซ้ำกันหลายตำแหน่ง เมื่อจัดการเมทอดคอลซ้ำกันทั้งหมด ด้วยแอสเป็กจะส่งผลให้ค่ามาตรวัด RFC ของคลาสมีค่าลดลงจากเดิมเพียง 1 ค่า ดังนั้นหลังทำแอสเป็กทีฟคอรริง ค่าเฉลี่ยของมาตรวัด RFC ที่คำนวณจากคลาส 442 คลาสของเจฮอตดรอว์จะมีค่าลดลงมากหรือน้อยขึ้นอยู่กับจำนวนคลาสที่สามารถจัดการเมทอดคอลซ้ำกันทั้งหมดด้วยแอสเป็ก โดยหากมีจำนวนคลาสที่สามารถจัดการเมทอดคอลซ้ำกันทั้งหมดด้วยแอสเป็กในจำนวนมาก จะส่งผลให้ค่าเฉลี่ยของมาตรวัด RFC ของซอฟต์แวร์ลดลงมากด้วยเช่นกัน

จากผลการทำแอสเป็กทีฟทอริงของเจฮอตตรอร์ทั้ง 12 เวอร์ชัน สามารถแสดงจำนวนคลาสที่สามารถจัดการเมทีอดคอลล่ากันทั้งหมดด้วยแอสเป็กได้ดังตารางที่ 4.45 แสดงให้เห็นว่าเจฮอตตรอร์ เวอร์ชัน 10, 11 และ 12 มีจำนวนคลาสที่สามารถจัดการได้มากกว่าเจฮอตตรอร์เวอร์ชันอื่นๆ

ตารางที่ 4.45 จำนวนคลาสที่สามารถจัดการเมทีอดคอลล่ากันทั้งหมดด้วยแอสเป็กของเจฮอตตรอร์แต่ละเวอร์ชัน

เจฮอตตรอร์	จำนวนซ้ำของเมทีอดคอลล่า	จำนวนคลาส
เวอร์ชัน 1	4	2
เวอร์ชัน 2	5	5
เวอร์ชัน 3	9	9
เวอร์ชัน 4	12	4
เวอร์ชัน 5	12	8
เวอร์ชัน 6	13	5
เวอร์ชัน 7	15	10
เวอร์ชัน 8	18	12
เวอร์ชัน 9	21	0
เวอร์ชัน 10	29	14
เวอร์ชัน 11	37	21
เวอร์ชัน 12	44	43

ดังนั้นปัจจัยที่ส่งผลต่อค่ามาตรวัด RFC จึงได้แก่ จำนวนซ้ำของเมทีอดคอลล่า และจำนวนคลาสที่สามารถจัดการเมทีอดคอลล่ากันทั้งหมดด้วยแอสเป็กได้ โดยเจฮอตตรอร์ เวอร์ชัน 10, 11 และ 12 ที่จัดการเมทีอดคอลล่ากันทั้งหมด 29, 37 และ 44 ตำแหน่ง จากจำนวนซ้ำของเมทีอดคอลล่าที่มากอาจส่งผลให้มีตำแหน่งของเมทีอดคอลล่ากระจายอยู่ภายในหลายคลาสด้วยเช่นกัน จำนวนคลาสที่สามารถจัดการเมทีอดคอลล่ากันทั้งหมดด้วยแอสเป็กของเจฮอตตรอร์ เวอร์ชัน 10, 11 และ 12 จึงมีจำนวนคลาสมาก ซึ่งส่งผลให้ค่าเฉลี่ยมาตรวัด RFC ของเจฮอตตรอร์ทั้งสามเวอร์ชันมีค่าลดลงมาก ดังแสดงในกราฟค่าเฉลี่ยมาตรวัด RFC ที่ค่าเฉลี่ยมีแนวโน้มลดลงเมื่อจำนวนซ้ำของเมทีอดคอลล่าที่จัดการมีจำนวนซ้ำที่มาก และสามารถจัดการคลาสที่เมทีอดคอลล่ากันได้จำนวนคลาสมากเช่นกัน จากความสัมพันธ์ระหว่างมาตรวัด RFC และคุณภาพซอฟต์แวร์ดังตาราง 2.3 ที่แสดงในบทที่ 2 หากค่ามาตรวัด RFC ของซอฟต์แวร์มีค่าลดลง อาจกล่าวได้ว่าคุณภาพซอฟต์แวร์ด้านความสามารถในการทำ ความเข้าใจและความสามารถทดสอบปรับปรุงดีขึ้น จากผลมาตรวัด RFC แสดงแนวโน้มค่าเฉลี่ยมาตรวัด RFC ที่การจัดการเมทีอดคอลล่ากันมากกว่า 29 ตำแหน่งมีแนวโน้มค่าเฉลี่ยมาตรวัด RFC ลดลงจึงช่วยปรับปรุงคุณภาพซอฟต์แวร์ทั้งสองด้าน อีกทั้งผลของงานวิจัยแสดงผลสอดคล้องกับงานวิจัยของ Marin, Deursen และ Moonen (2007) ที่แนะนำว่าโค้ดที่ซ้ำกันมากกว่า 10 ตำแหน่ง

เหมาะสมเป็นครอสคัทตั้งคอนเซ็ปต์ที่จะนำมาจัดการด้วยแอสเป็กต์ แต่หากพิจารณาการจัดการเมทีอดคอลในจำนวนซ้ำที่มากขึ้นดังในการทดลองคือจำนวนซ้ำเท่ากับ 37 และ 44 ก็แสดงผลค่าเฉลี่ยมาตรวัด RFC ของซอฟต์แวร์ที่ลดลงมากขึ้นด้วยเช่นกันซึ่งแสดงผลในแง่บวกจากการนำแอสเป็กต์มาใช้ เช่นเดียวกับผลงานวิจัยของ Hanenberg, Kleinschmager และ Walter (2009) ที่นำเสนอว่าการจัดการโค้ดซ้ำกันมากกว่า 36 ตำแหน่ง การใช้แอสเป็กต์จะช่วยประหยัดเวลาพัฒนาได้ ดังนั้นการทำแอสเป็กต์รีแฟคทอริงโดยจัดการจำนวนซ้ำของเมทีอดคอลในจำนวนซ้ำที่มาก ซึ่งตำแหน่งของเมทีอดคอลกระจายอยู่ภายในคลาสจำนวนมากด้วย สามารถส่งผลให้ค่าเฉลี่ยมาตรวัด RFC ของซอฟต์แวร์มีค่าลดลงและปรับปรุงคุณภาพซอฟต์แวร์ด้านความสามารถในการทำความเข้าใจและความสามารถการทดสอบ

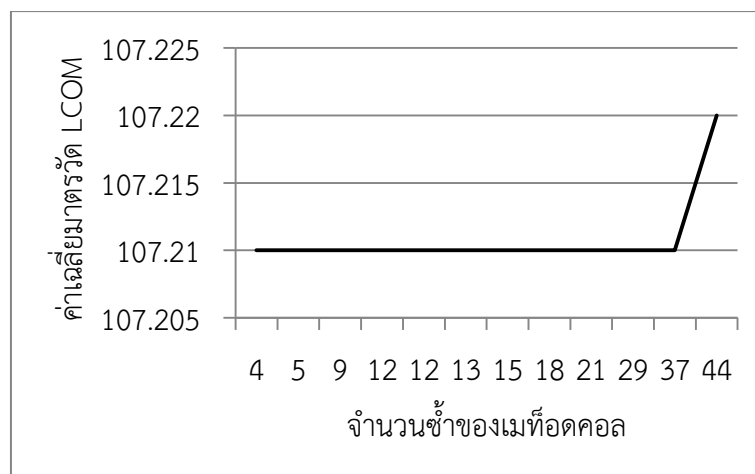
#### (6) แลคออฟโคฮีชันอินเมทีอด (Lack of Cohesion in Methods - LCOM)

จากตารางที่ 4.31 เป็นการเปรียบเทียบเจสอตตรอว์ทั้ง 12 เวอร์ชันกับเจสอตตรอว์ เวอร์ชัน 7.1 ซึ่งเป็นซอฟต์แวร์ตั้งต้น โดยเปรียบเทียบค่ามาตรวัด LCOM รายคลาส พบว่ามีเพียงเจสอตตรอว์ เวอร์ชัน 12 ที่หลังจากทำแอสเป็กต์รีแฟคทอริงค่ามาตรวัด LCOM ของบางคลาสมีค่าเปลี่ยนแปลง สามารถแสดงรายชื่อคลาสที่มีค่ามาตรวัด LCOM เปลี่ยนแปลง และค่ามาตรวัด LCOM ก่อน-หลังทำแอสเป็กต์รีแฟคทอริงของเจสอตตรอว์ เวอร์ชัน 12 ได้ดังนี้

ตารางที่ 4.46 รายชื่อคลาส 3 คลาสของเจสอตตรอว์ เวอร์ชัน 12 ที่ค่ามาตรวัด LCOM เปลี่ยนแปลง

คลาส	มาตรวัด LCOM	
	ก่อนทำ แอสเป็ก รีแฟคทอริง	หลังทำ แอสเป็ก รีแฟคทอริง
org.jhotdraw.draw.action.MoveToBackAction	6	8
org.jhotdraw.draw.action.MoveToFrontAction	6	8
org.jhotdraw.draw.action.UngroupAction	0	1

ผลการเปรียบเทียบระหว่างเจสอตตรอว์ทั้ง 12 เวอร์ชัน โดยนำค่าเฉลี่ยของมาตรวัด LCOM จากข้อมูลสถิติเชิงพรรณนาของเจสอตตรอว์แต่ละเวอร์ชัน (ตารางที่ 4.6 – 4.17) มาเปรียบเทียบ แสดงด้วยกราฟดังรูปที่ 4.46 พบว่าค่าเฉลี่ยของมาตรวัด LCOM ของการจัดการเมทีอดคอลซ้ำกัน 44 ตำแหน่งมีค่าสูงกว่าเล็กน้อยเมื่อเทียบกับการจัดการด้วยจำนวนซ้ำของเมทีอดคอลอื่นๆ โดยมีค่าเฉลี่ยของมาตรวัด LCOM เท่ากับ 107.22



รูปที่ 4.46 ค่าเฉลี่ยของมาตรวัด LCOM ของเจสอตรอร์แต่ละเวอร์ชัน  
ที่จัดการจำนวนซ้ำเม็ท้อดคอลแตกต่างกัน

มาตรวัด LCOM พิจารณาจากแอตทริบิวต์หรือตัวแปรอินสแตนซ์ที่ประกาศภายในคลาสและถูกเข้าถึงจากเม็ท้อดของคลาสเพื่อนำไปใช้งานภายในเม็ท้อด ค่ามาตรวัด LCOM จึงเป็นมาตรวัดสำหรับวัดระดับความเกี่ยวข้องกันระหว่างเม็ท้อดภายในคลาสจากการใช้งานแอตทริบิวต์ของคลาสร่วมกัน โดยค่ามาตรวัด LCOM ควรมีค่าน้อยเพื่อแสดงว่าระหว่างเม็ท้อดภายในคลาสมีความเกี่ยวข้องกัน โดยการใช้ชุดแอตทริบิวต์หรือตัวแปรอินสแตนซ์คล้ายกันสามารถแสดงให้เห็นว่าเม็ท้อดภายในคลาสทำงานตอบสนองในเรื่องเดียวกัน ดังนั้นค่ามาตรวัด LCOM จะมีค่าเพิ่มขึ้นหรือลดลงเกิดจากการใช้งานแอตทริบิวต์คลาสระหว่างเม็ท้อดเกิดการเปลี่ยนแปลง

เจสอตรอร์ เวอร์ชัน 12 ที่จัดการเม็ท้อดคอลซ้ำกัน 44 ตำแหน่งด้วยแอสเป็ก เป็นเจสอตรอร์เวอร์ชันเดียวที่หลังทำแอสเป็กรีแฟกทอริงมีค่ามาตรวัด LCOM ของคลาสเปลี่ยนแปลง โดยมีคลาสทั้งหมด 3 คลาสที่มีค่ามาตรวัด LCOM เพิ่มขึ้น จากการพิจารณาคลาสทั้ง 3 คลาส ได้แก่ MoveToBackAction, MoveToFrontAction และ UngroupAction การเปลี่ยนแปลงของค่ามาตรวัด LCOM เกิดจากสาเหตุเดียวกัน โดยสามารถแสดงตัวอย่างดังรูปที่ 4.47 คลาส MoveToFrontAction มีเม็ท้อดคอลที่เรียกใช้งานเม็ท้อดผ่านตัวแปรอ็อบเจกต์ของคลาส และเม็ท้อดคอลมีการส่งอาร์กิวเมนต์ซึ่งเป็นแอตทริบิวต์คลาสด้วยเช่นกัน ดังนั้นเม็ท้อดคอล labels.configureAction(this, ID); ซึ่งอยู่ภายในคอนสตรัคเตอร์ของคลาส จึงส่งผลให้คอนสตรัคเตอร์มีการเข้าถึงตัวแปรของคลาส ได้แก่ labels และ ID เช่นเดียวกับเม็ท้อด actionPerformed ที่มีการเข้าถึงตัวแปรคลาสทั้ง 2 ตัวแปรเหมือนกัน ก่อนการทำแอสเป็กรีแฟกทอริงทั้งสองเม็ท้อดจึงมีความเกี่ยวข้องกันจากการเข้าถึงตัวแปรที่เหมือนกัน ดังนั้นเมื่อจัดการเม็ท้อดคอลดังกล่าวด้วยแอสเป็กจึงทำให้คอนสตรัคเตอร์ของคลาสไม่ได้เข้าถึงตัวแปรคลาสทั้ง 2 ตัวแปรอีก หลังทำแอสเป็กรีแฟกทอริงค่ามาตรวัด LCOM ของคลาสจึงมีค่าเพิ่มขึ้นเพราะความเกี่ยวข้องกันระหว่างเม็ท้อดมีค่าลดลง

นอกจากนี้เมื่อพิจารณาคลาสอื่นๆภายในเจสอตรอร์ เวอร์ชัน 12 ที่หลังทำแอสเป็กรีแฟกทอริงค่ามาตรวัด LCOM ของคลาสไม่เปลี่ยนแปลง เนื่องจากก่อนทำแอสเป็กรีแฟกทอริง ตัวแปรของ

คลาสที่ใช้ในเมทอดคอลไม่มี การเข้าถึงจากเมทอดอื่นๆของคลาส ดังนั้นเมื่อจัดการเมทอดคอลด้วย แอสเป็กจึงไม่ส่งผลให้ความเกี่ยวข้องกันระหว่างเมทอดของคลาสเกิดการเปลี่ยนแปลง ค่ามาตรวัด LCOM จึงมีค่าคงเดิม ดังรูปที่ 4.48

```

public class MoveToFrontAction extends AbstractSelectedAction {
    private ResourceBundleUtil labels = ResourceBundleUtil.getLAFBundle(
        "org.jhotdraw.draw.Labels", Locale.getDefault());
    public static String ID = "moveToFront";
    public MoveToFrontAction(DrawingEditor editor) {
        super(editor);
        //labels.configureAction(this, ID);
    }
    public void actionPerformed(java.awt.event.ActionEvent e) {
        final DrawingView view = getView();
        final LinkedList<Figure> figures = new LinkedList<Figure>(view.getSelectedFigures());
        bringToFront(view, figures);
        fireUndoableEditHappened(new AbstractUndoableEdit() {
            public String getPresentationName() {
                return labels.getString(ID);
            }
        });
        public void redo() throws CannotRedoException {
            super.redo();
            MoveToFrontAction.bringToFront(view, figures);
        }
        public void undo() throws CannotUndoException {
            super.undo();
            MoveToBackAction.sendToBack(view, figures);
        }
    }
}

```

รูปที่ 4.47 คลาส MoveToFrontAction



```
public class CopyAction extends AbstractAction {
    public final static String ID = "copy";
    private ResourceBundleUtil labels;
    public CopyAction() {
        labels = ResourceBundleUtil.getLAFBundle("org.jhotdraw.app.Labels");
        //labels.configureAction(this, ID);
    }
    public void actionPerformed(ActionEvent evt) {
        Component focusOwner = KeyboardFocusManager.
            getCurrentKeyboardFocusManager().
            getPermanentFocusOwner();
        if (focusOwner != null && focusOwner instanceof JComponent) {
            JComponent component = (JComponent) focusOwner;
            component.getTransferHandler().exportToClipboard(
                component,
                component.getToolkit().getSystemClipboard(),
                TransferHandler.COPY
            );
        }
    }
}
```

รูปที่ 4.48 คลาส CopyAction

#### 4.5 การเปรียบเทียบค่ามาตรฐานวัดเชิงแอสเป็ก

จากผลการทดลองได้เจฮอตตรอว์ทั้งหมด 12 เวอร์ชันที่จัดการจำนวนซ้ำของเมท้อดคอล ได้แก่ 4, 5, 9, 12, 13, 15, 18, 21, 29, 37 และ 44 ตำแหน่งตามลำดับ การวัดค่ามาตรฐานวัดเชิงแอสเป็กของเจฮอตตรอว์ทั้ง 12 เวอร์ชันพิจารณาจากทั้งไฟล์คลาสและไฟล์แอสเป็ก ดังนั้นค่ามาตรฐานวัดเชิงแอสเป็ก 10 มาตรฐานของเจฮอตตรอว์แต่ละเวอร์ชันจึงวัดคลาส 442 คลาสและแอสเป็ก 1 แอสเป็กเบื้องต้นผู้วิจัยเปรียบเทียบค่ามาตรฐานวัดเชิงแอสเป็กของคลาสทั้งหมดในเจฮอตตรอว์แต่ละเวอร์ชันกับเจฮอตตรอว์ เวอร์ชัน 7.1 ซึ่งเป็นซอฟต์แวร์ตั้งต้นที่ไม่ได้ปรับปรุงด้วยการทำแอสเป็กกรีแพคทอริง เพื่อพิจารณามาตรฐานวัดที่มีค่ามาตรฐานวัดของคลาสเปลี่ยนแปลงหลังทำแอสเป็กกรีแพคทอริง จากการพิจารณาเฉพาะคลาสของเจฮอตตรอว์ทั้ง 12 เวอร์ชันสามารถแสดงดังตารางที่ 4.47

ตารางที่ 4.47 มาตรฐานวัดเชิงแอสเป็กซึ่งมีคลาสที่ค่ามาตรฐานวัดเปลี่ยนแปลงหลังทำแอสเป็กกรีแพคทอริง

เจฮอตตรอว์	จำนวนซ้ำ เมท้อดคอล	มาตรฐานวัดเชิงแอสเป็ก										
		WOM	DIT	NOC	CFA	CMC	CBM	CDA	CAE	RFM	LCO	
เวอร์ชัน 1	4	-	-	-	-	-	-	-	-	✓	✓	-
เวอร์ชัน 2	5	-	-	-	-	-	-	-	-	✓	-	-
เวอร์ชัน 3	9	-	-	-	-	✓	✓	-	-	✓	✓	-
เวอร์ชัน 4	12	-	-	-	-	✓	✓	-	-	✓	✓	-
เวอร์ชัน 5	12	-	-	-	-	-	-	-	-	✓	✓	-
เวอร์ชัน 6	13	-	-	-	-	-	-	-	-	✓	✓	-
เวอร์ชัน 7	15	-	-	-	-	-	-	-	-	✓	✓	-
เวอร์ชัน 8	18	-	-	-	-	✓	✓	-	-	✓	✓	-
เวอร์ชัน 9	21	-	-	-	-	-	-	-	-	✓	✓	-
เวอร์ชัน 10	29	-	-	-	-	-	-	-	-	✓	✓	-
เวอร์ชัน 11	37	-	-	-	-	-	-	-	-	✓	✓	-
เวอร์ชัน 12	44	-	-	-	-	✓	✓	-	-	✓	-	-

#### หมายเหตุ

- เครื่องหมาย - แสดงถึง ไม่มีคลาสที่ค่ามาตรฐานวัดเปลี่ยนแปลงหลังทำแอสเป็กกรีแพคทอริง  
 เครื่องหมาย ✓ แสดงถึง มีคลาสที่ค่ามาตรฐานวัดเปลี่ยนแปลงหลังทำแอสเป็กกรีแพคทอริง

เนื่องจากแอสเป็กเป็นส่วนที่สร้างขึ้นใหม่หลังทำแอสเป็กรีแฟคทอริง เจฮอตตรอว์ เวอร์ชัน 7.1 จึงไม่มีไฟล์แอสเป็กที่จะนำมาเปรียบเทียบได้ ดังนั้นจึงพิจารณาค่ามาตรวัดของแอสเป็กในเจฮอตตรอว์แต่ละเวอร์ชันแยกออกมาดังตารางที่ 4.48 โดยเทียบค่ามาตรวัดของแอสเป็กกับค่าเฉลี่ยของมาตรวัดที่คำนวณจากคลาสทั้งหมด 442 คลาส และพิจารณาค่ามาตรวัดของแอสเป็กออกเป็นทั้งหมดสามกรณี (1) ค่ามาตรวัดของแอสเป็กมีค่าสูงกว่าค่าเฉลี่ยของคลาส (+) (2) ค่ามาตรวัดของแอสเป็กมีค่าต่ำกว่าค่าเฉลี่ยของคลาส (-) และ (3) ค่ามาตรวัดของแอสเป็กมีค่าเท่ากับค่าเฉลี่ยของคลาส (0)

ตารางที่ 4.48 มาตรวัดเชิงแอสเป็กของแอสเป็กหลังทำแอสเป็กรีแฟคทอริง  
(พิจารณาเฉพาะไฟล์แอสเป็ก)

เจฮอตตรอว์	จำนวนซ้ำ เมทอดคอล	มาตรวัดเชิงแอสเป็ก									
		WOM	DIT	NOC	CFA	CMC	CBM	CDA	CAE	RFM	LCO
เวอร์ชัน 1	4	-	-	-	-	-	-	+	0	-	-
เวอร์ชัน 2	5	-	-	-	-	-	-	+	-	-	-
เวอร์ชัน 3	9	-	-	-	-	-	-	+	-	-	-
เวอร์ชัน 4	12	-	-	-	-	-	-	+	-	-	-
เวอร์ชัน 5	12	-	-	-	-	-	-	+	-	-	-
เวอร์ชัน 6	13	-	-	-	-	-	-	+	-	-	-
เวอร์ชัน 7	15	-	-	-	-	-	-	+	-	-	-
เวอร์ชัน 8	18	-	-	-	-	-	-	+	-	-	-
เวอร์ชัน 9	21	-	-	-	+	-	+	+	0	-	-
เวอร์ชัน 10	29	-	-	-	-	-	-	+	-	-	-
เวอร์ชัน 11	37	-	-	-	-	-	-	+	-	-	-
เวอร์ชัน 12	44	-	-	-	-	-	-	+	-	-	-

#### หมายเหตุ

เครื่องหมาย + แสดงถึงค่ามาตรวัดของแอสเป็กมีค่าสูงกว่าค่าเฉลี่ยของคลาส

เครื่องหมาย - แสดงถึงค่ามาตรวัดของแอสเป็กมีค่าต่ำกว่าค่าเฉลี่ยของคลาส

เครื่องหมาย 0 แสดงถึงค่ามาตรวัดของแอสเป็กมีค่าเท่ากับค่าเฉลี่ยของคลาส

การพิจารณาข้อมูลค่ามาตรวัดของแต่ละมาตรวัดเชิงแอสเป็กสามารถนำมาพิจารณาตามกรอบการวิเคราะห์ข้อมูลทั้งสามส่วน ได้แก่ (1) การเปรียบเทียบค่ามาตรวัดก่อนและหลังทำแอสเป็กรีแฟคทอริง (2) การเปรียบเทียบค่าเฉลี่ยมาตรวัดระหว่างเจฮอตตรอว์ทั้ง 12 เวอร์ชัน และ (3) การวิเคราะห์ผลมาตรวัดต่อคุณภาพซอฟต์แวร์ รายละเอียดการวิเคราะห์ข้อมูลของแต่ละมาตรวัดมีดังนี้

### (1) เวทเทคโอเปอร์เรชั่นอินมอดูล (Weighted Operations in Module - WOM)

จากตารางที่ 4.47 เป็นการเปรียบเทียบระหว่างเจสอตตรอว์ทั้ง 12 เวอร์ชันกับเจสอตตรอว์เวอร์ชัน 7.1 ซึ่งเป็นซอฟต์แวร์ดั้งเดิม โดยพิจารณาเฉพาะคลาส พบว่าหลังทำแอสเป็กทีฟคทอริงค่ามาตรวัด WOM ของทุกคลาสในเจสอตตรอว์ทั้ง 12 เวอร์ชันมีค่าไม่เปลี่ยนแปลง แต่จากการพิจารณาเฉพาะแอสเป็กในเจสอตตรอว์ทั้ง 12 เวอร์ชันดังตารางที่ 4.48 พบว่าค่ามาตรวัด WOM ของแอสเป็กของเจสอตตรอว์ทั้ง 12 เวอร์ชันมีค่าต่ำกว่าค่าเฉลี่ยมาตรวัด WOM ที่คำนวณจากคลาสทั้ง 442 คลาส ค่ามาตรวัด WOM ของแอสเป็กของเจสอตตรอว์แต่ละเวอร์ชันแสดงดังตารางที่ 4.49

ตารางที่ 4.49 ค่ามาตรวัด WOM ของแอสเป็กในเจสอตตรอว์ทั้ง 12 เวอร์ชัน  
หลังทำแอสเป็กทีฟคทอริง

เจสอตตรอว์ เวอร์ชัน	ค่ามาตรวัด WOM											
	1	2	3	4	5	6	7	8	9	10	11	12
แอสเป็ก	1	2	5	5	1	3	5	5	1	4	5	2

การเปรียบเทียบระหว่างเจสอตตรอว์ทั้ง 12 เวอร์ชัน โดยนำค่าเฉลี่ยของมาตรวัด WOM จากข้อมูลสถิติเชิงพรรณนาของเจสอตตรอว์แต่ละเวอร์ชัน (ตารางที่ 4.19 - 4.30) มาเปรียบเทียบกัน แสดงด้วยกราฟดังรูปที่ 4.49 พบว่าการทำแอสเป็กทีฟคทอริงเพื่อจัดการเม็ทออดคอลในจำนวนซ้ำของเม็ทออดคอลที่ต่างกันไม่แสดงแนวโน้มของค่าเฉลี่ยมาตรวัด WOM โดยค่าเฉลี่ยของมาตรวัด WOM ที่แสดงในกราฟมีค่าสูงหรือต่ำสลับกันไป



รูปที่ 4.49 ค่าเฉลี่ยของมาตรวัด WOM ของเจสอตตรอว์แต่ละเวอร์ชัน  
ที่จัดการจำนวนซ้ำเม็ทออดคอลแตกต่างกัน

นิยามมาตรวัด WOM มีความคล้ายกันกับนิยามของมาตรวัด WMC ของมาตรวัดเชิงวัตถุ สำหรับการพิจารณาค่ามาตรวัดของคลาสจากจำนวนเมทอดที่อิมพลีเมนต์ภายในคลาส แต่นิยามของมาตรวัด WOM ได้กำหนดนิยามสำหรับการพิจารณาแอสเป็กเพิ่มเติม ดังนั้นการพิจารณาค่ามาตรวัด WOM ของคลาสและแอสเป็กจะพิจารณาจากจำนวนโอเปอเรชันภายในโมดูล ได้แก่ จำนวนเมทอดภายในคลาส และจำนวนแอตไวัช จำนวนอินโพรดักชันภายในแอสเป็ก

จากกรณีศึกษาหลังทำแอสเป็กกรีแพคทอริง ค่ามาตรวัด WOM ของคลาสไม่เปลี่ยนแปลง เนื่องจากงานวิจัยนี้เลือกทำแอสเป็กกรีแพคทอริงโดยจัดการเพียงเมทอดคอลซำกันหลายคลาสด้วยแอสเป็ก ทำให้มีแค่เมทอดคอลซำซึ่งเป็นเพียงคำสั่งภายในคลาสนำออกจากคลาส การทำแอสเป็กกรีแพคทอริงจึงไม่ส่งผลให้จำนวนเมทอดที่อิมพลีเมนต์ภายในคลาสเปลี่ยนแปลง แต่สำหรับแอสเป็กของเจสอตตรอว์ทั้ง 12 เวอร์ชัน เนื่องจากแอสเป็กเป็นส่วนที่สร้างขึ้นมาจากการทำแอสเป็กกรีแพคทอริงด้วยนิยามมาตรวัด WOM พิจารณาแอสเป็กจากจำนวนแอตไวัชที่อิมพลีเมนต์ในแอสเป็ก จึงทำให้ค่ามาตรวัด WOM ของแอสเป็กในเจสอตตรอว์ทั้ง 12 เวอร์ชันมีค่าแตกต่างกันไปตามจำนวนแอตไวัช โดยจำนวนแอตไวัชจะมีจำนวนมากหรือน้อยขึ้นอยู่กับความเหมือนของตำแหน่งเมทอดคอลซำที่จัดการทั้งหมด คือหากสามารถใช้พอยท์คัทและแอตไวัชเดียวกันสำหรับจัดการเมทอดคอลซำทั้งหมดได้จะส่งผลให้ค่ามาตรวัด WOM มีค่าน้อย แต่หากตำแหน่งของเมทอดคอลซำมีตำแหน่งอยู่ก่อนหรือหลังพอยท์คัทแตกต่างกันจะส่งผลให้ต้องใช้แอตไวัชมากและค่ามาตรวัด WOM ของแอสเป็กจึงมีค่าสูงตาม นอกจากนี้หากในเมทอดคอลซำที่ต้องการจัดการมีการเข้าถึงตัวแปรอ็อบเจกต์ของคลาสจะส่งผลทำให้ต้องสร้างแอตไวัชสำหรับเก็บค่าของตัวแปรอ็อบเจกต์เพื่อนำมาใช้ในแอสเป็กด้วยเช่นกัน

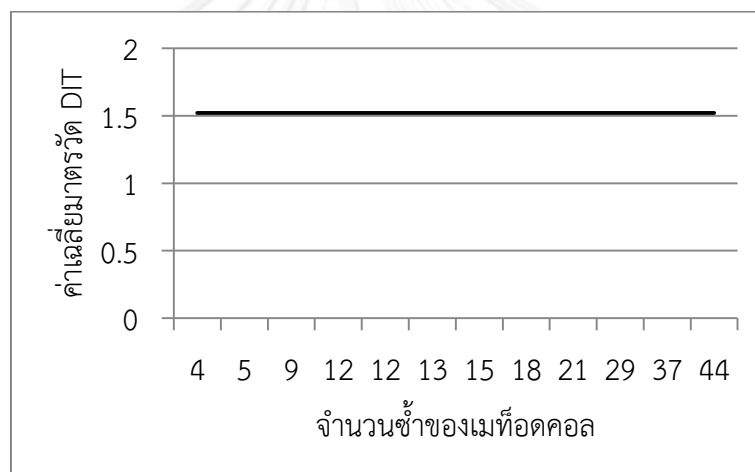
จากตารางที่ 2.4 ความสัมพันธ์ระหว่างมาตรวัดเชิงแอสเป็กกับคุณภาพซอฟต์แวร์ ที่อ้างอิงจากงานวิจัยของ Sirbi และ Kulkarni (2013) โดยมาตรวัด WOM สามารถส่งผลกระทบต่อคุณภาพซอฟต์แวร์ 2 ด้าน ได้แก่ ความซับซ้อนและความสามารถในการบำรุงรักษา จากผลการเปรียบเทียบค่ามาตรวัด WOM รายคลาสพบว่าเมื่อเทียบกับเจสอตตรอว์ เวอร์ชัน 7.1 ค่ามาตรวัดของคลาสมีค่าไม่เปลี่ยนแปลง ดังนั้นซอฟต์แวร์จึงมีค่ามาตรวัด WOM ของแอสเป็กเพิ่มเข้ามาจากการสร้างแอตไวัชภายในแอสเป็ก จึงสามารถส่งผลกระทบต่อคุณภาพซอฟต์แวร์ทั้งสองด้านด้วยเช่นกัน ทำให้ความซับซ้อนของซอร์สโค้ดเพิ่มสูงขึ้นและการบำรุงรักษาซอฟต์แวร์ทำได้ยากขึ้น

## (2) เตพออฟอินเฮริแตนทรี (Depth of Inheritance Tree - DIT)

จากตารางที่ 4.47 แสดงการเปรียบเทียบเจสอตตรอว์ทั้ง 12 เวอร์ชันกับเจสอตตรอว์ เวอร์ชัน 7.1 ซึ่งเป็นซอฟต์แวร์ดั้งเดิม โดยพิจารณาเฉพาะคลาส พบว่าค่ามาตรวัด DIT ก่อนและหลังทำแอสเป็กกรีแพคทอริงของคลาสทั้งหมดในเจสอตตรอว์ทั้ง 12 เวอร์ชันมีค่าคงเดิมไม่เปลี่ยนแปลง และจากตารางที่ 4.48 แสดงให้เห็นว่าค่ามาตรวัด DIT ของแอสเป็กในเจสอตตรอว์ทุกเวอร์ชันมีค่าเท่ากับ 0 จึงมีค่าต่ำกว่าค่าเฉลี่ยมาตรวัด DIT ของคลาสทั้ง 442 คลาส

ผลการเปรียบเทียบระหว่างเจสอตตรอร์ทั้ง 12 เวอร์ชันจึงให้ผลเช่นเดียวกัน โดยนำค่าเฉลี่ยของมาตรวัด DIT จากข้อมูลสถิติเชิงพรรณนาของเจสอตตรอร์แต่ละเวอร์ชัน (ตารางที่ 4.19 - 4.30) มาเปรียบเทียบ แสดงด้วยกราฟดังรูปที่ 4.50 พบว่าการทำแอสเป็กทีฟทอริงเพื่อจัดการจำนวนซ้ำของเมท้อดคอลที่แตกต่างกันไม่ส่งผลให้ค่ามาตรวัด DIT เปลี่ยนแปลง โดยค่าเฉลี่ยของมาตรวัด DIT มีค่าคงเดิมเท่ากับ 1.52

นิยามมาตรวัด DIT ของมาตรวัดเชิงแอสเป็กทีฟเหมือนกันกับนิยามมาตรวัด DIT ของมาตรวัดเชิงวัตถุ โดยมาตรวัด DIT พิจารณาจากระดับความลึกของจำนวนชั้นการรับทอดจากมอดูลไปยังรูทในลำดับชั้น หลังทำแอสเป็กทีฟทอริงค่ามาตรวัด DIT ของคลาสไม่เปลี่ยนแปลงและค่ามาตรวัด DIT ของแอสเป็กทีฟเท่ากับ 0 เนื่องจากการทำแอสเป็กทีฟทอริงเลือกจัดการเพียงเมท้อดคอลที่ซ้ำกันภายในคลาส จึงไม่ส่งผลให้ลำดับชั้นคลาสเปลี่ยนแปลง ค่ามาตรวัด DIT ของคลาสจึงมีค่าคงเดิม และการสร้างแอสเป็กทีฟขึ้นมาใหม่ไม่ได้สร้างขึ้นภายในลำดับชั้น ค่ามาตรวัด DIT ของแอสเป็กทีฟจึงมีค่าเท่ากับ 0

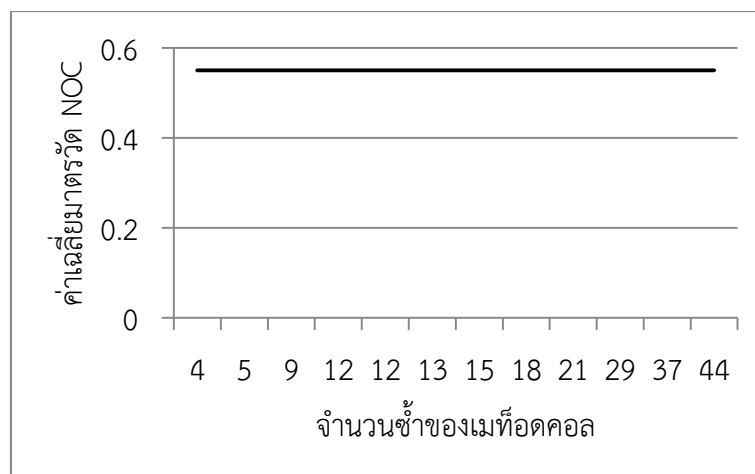


รูปที่ 4.50 ค่าเฉลี่ยของมาตรวัด DIT ของเจสอตตรอร์แต่ละเวอร์ชันที่จัดการจำนวนซ้ำเมท้อดคอลแตกต่างกัน

### (3) นัมเบอร์ออฟซิลเดรน (Number of Children - NOC)

จากตารางที่ 4.47 แสดงการเปรียบเทียบเจสอตตรอร์ทั้ง 12 เวอร์ชันกับเจสอตตรอร์ เวอร์ชัน 7.1 ซึ่งเป็นซอฟต์แวร์ดั้งเดิม โดยพิจารณาเฉพาะคลาส พบว่าค่ามาตรวัด NOC ก่อนและหลังทำแอสเป็กทีฟทอริงของคลาสทั้งหมดในเจสอตตรอร์ทั้ง 12 เวอร์ชันมีค่าคงเดิมไม่เปลี่ยนแปลง และจากตารางที่ 4.48 แสดงให้เห็นว่าค่ามาตรวัด NOC ของแอสเป็กทีฟในเจสอตตรอร์ทุกเวอร์ชันมีค่าเท่ากับ 0 จึงมีค่าต่ำกว่าค่าเฉลี่ยมาตรวัด NOC ของคลาสทั้ง 442 คลาส

ผลการเปรียบเทียบระหว่างเจสอตตรอร์ทั้ง 12 เวอร์ชันจึงให้ผลเช่นเดียวกัน โดยนำค่าเฉลี่ยของมาตรวัด NOC จากข้อมูลสถิติเชิงพรรณนาของเจสอตตรอร์แต่ละเวอร์ชัน (ตารางที่ 4.19 - 4.30) มาเปรียบเทียบ แสดงด้วยกราฟดังรูปที่ 4.51 พบว่าการทำแอสเป็กทีฟทอริงเพื่อจัดการจำนวนซ้ำของเมท้อดคอลที่แตกต่างกันไม่ส่งผลให้ค่ามาตรวัด NOC เปลี่ยนแปลง โดยค่าเฉลี่ยของมาตรวัด NOC มีค่าคงเดิมเท่ากับ 0.55



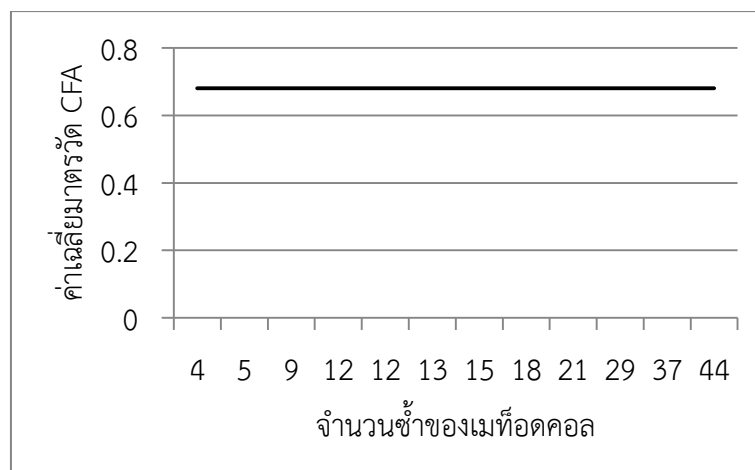
รูปที่ 4.51 ค่าเฉลี่ยของมาตรฐาน NOC ของเจสอตรอร์ว้แต่ละเวอร์ชันที่จัดการจำนวนซ้ำเมท้อดคอลแตกต่างกัน

นินยามมาตรฐาน NOC ของมาตรฐานเชิงแอสเป็กเหมือนกันกับนินยามมาตรฐาน NOC ของมาตรฐานเชิงวัตถุ โดยมาตรฐาน NOC พิจารณาจากจำนวนคลาสลูกหรือจำนวนซึบแอสเป็กของมอดูล หลังทำแอสเป็กรีแฟคทอริงค่ามาตรฐาน NOC ของคลาสไม่เปลี่ยนแปลงและค่ามาตรฐาน NOC ของแอสเป็กมีค่าเท่ากับ 0 เนื่องจากการทำแอสเป็กรีแฟคทอริงเลือกจัดการเพียงเมท้อดคอลที่ซ้ำกันภายในคลาสด้วยแอสเป็ก จึงไม่ส่งผลกระทบต่อารเปลี่ยนแปลงของจำนวนคลาสลูก ค่ามาตรฐาน NOC ของคลาสจึงมีค่าคงเดิม และการสร้างแอสเป็กขึ้นมาใหม่โดยไม่ได้รับทอตมาจากแอสเป็กอื่นๆ และไม่มีการสร้างซึบแอสเป็ก ค่ามาตรฐาน NOC ของแอสเป็กจึงมีค่าเท่ากับ 0

#### (4) คัพปลิงออนฟิลด์แอสเซส (Coupling on Field Access - CFA)

จากตารางที่ 4.47 แสดงการเปรียบเทียบเจสอตรอร์ว้ทั้ง 12 เวอร์ชันกับเจสอตรอร์ว้ เวอร์ชัน 7.1 ซึ่งเป็นซอฟต์แวร์ดั้งต้น โดยพิจารณาเฉพาะคลาส พบว่าค่ามาตรฐาน CFA ก่อนและหลังทำแอสเป็กรีแฟคทอริงของคลาสทั้งหมดในเจสอตรอร์ว้ทั้ง 12 เวอร์ชันมีค่าไม่เปลี่ยนแปลง และจากตารางที่ 4.48 แสดงให้เห็นว่าค่ามาตรฐาน CFA ของแอสเป็กในเจสอตรอร์ว้เวอร์ชันส่วนใหญ่มีค่าเท่ากับ 0 จึงมีค่าต่ำกว่าค่าเฉลี่ยมาตรฐาน CFA ที่คำนวณจากคลาส 442 คลาส ขณะที่เจสอตรอร์ว้เวอร์ชัน 9 ที่มีค่ามาตรฐาน CFA ของแอสเป็กเท่ากับ 2 มีค่าสูงกว่าค่าเฉลี่ยมาตรฐาน CFA ของคลาส

ผลการเปรียบเทียบระหว่างเจสอตรอร์ว้ทั้ง 12 เวอร์ชัน โดยนำค่าเฉลี่ยของมาตรฐาน CFA จากข้อมูลสถิติเชิงพรรณนาของเจสอตรอร์ว้แต่ละเวอร์ชัน (ตารางที่ 4.19 – 4.30) มาเปรียบเทียบแสดงด้วยกราฟดังรูปที่ 4.52 พบว่าค่าเฉลี่ยของมาตรฐาน CFA ระหว่างเจสอตรอร์ว้แต่ละเวอร์ชันมีค่าไม่แตกต่างกัน จากข้างต้นเจสอตรอร์ว้ เวอร์ชัน 9 มีค่ามาตรฐาน CFA ของแอสเป็กแตกต่างคือเท่ากับ 2 แต่เมื่อคำนวณค่าเฉลี่ยจากคลาสและแอสเป็กทั้งหมด 443 คลาส/แอสเป็ก จึงทำให้ค่าเฉลี่ยมาตรฐาน CFA มีค่าไม่แตกต่างกัน ดังนั้นการทำแอสเป็กรีแฟคทอริงเพื่อจัดการจำนวนซ้ำของเมท้อดคอลที่แตกต่างกันไม่ส่งผลให้ค่ามาตรฐาน CFA เปลี่ยนแปลง โดยค่าเฉลี่ยของมาตรฐาน CFA มีค่าคงเดิมเท่ากับ 0.68



รูปที่ 4.52 ค่าเฉลี่ยของมาตรวัด CFA ของเจสอตตรอร์แต่ละเวอร์ชัน  
ที่จัดการจำนวนซ้ำเมที่อดคอลแตกต่างกัน

มาตรวัด CFA พิจารณาจากจำนวนมอดูลทั้งหมดที่มีฟิลด์ที่สามารถเข้าถึงได้จากมอดูลที่พิจารณา การทำแอสเป็กรีแฟคทอริงไม่ส่งผลให้ค่ามาตรวัด CFA ของคลาสเปลี่ยนแปลง เนื่องจากเมที่อดคอลที่จัดการด้วยแอสเป็ก ส่วนใหญ่ภายในเมที่อดคอลไม่ได้เข้าถึงฟิลด์ของคลาสอื่นโดยตรง เมื่อจัดการเมที่อดคอลออกจากคลาส ค่ามาตรวัด CFA ของคลาสจึงมีค่าคงเดิม แต่สำหรับภายในแอสเป็กของเจสอตตรอร์ เวอร์ชัน 9 มีการเข้าถึงฟิลด์ของคลาสอื่นโดยตรงทั้งหมด 2 คลาส ค่ามาตรวัด CFA ของแอสเป็กจึงมีค่าเท่ากับ 2 ขณะที่ในแอสเป็กของเจสอตตรอร์เวอร์ชันอื่นๆ ไม่ได้เข้าถึงฟิลด์ของคลาสอื่น ค่ามาตรวัด CFA ของแอสเป็กเลยมีค่ามาตรวัดเท่ากับ 0

#### (5) คัพปลิงออนเมที่อดคอล (Coupling on Method Call - CMC)

จากตารางที่ 4.47 แสดงการเปรียบเทียบระหว่างเจสอตตรอร์ทั้ง 12 เวอร์ชันกับเจสอตตรอร์เวอร์ชัน 7.1 ซึ่งเป็นซอฟต์แวร์ดั้งเดิม โดยพิจารณาเฉพาะคลาส พบว่าหลังทำแอสเป็กรีแฟคทอริงเจสอตตรอร์ เวอร์ชัน 3, 4, 8 และ 12 ค่ามาตรวัด CMC ของบางคลาสมีค่าเปลี่ยนแปลง และจากตารางที่ 4.48 พบว่าค่ามาตรวัด CMC ของแอสเป็กในเจสอตตรอร์ทั้ง 12 เวอร์ชันมีค่าต่ำกว่าค่าเฉลี่ยมาตรวัด CMC ที่คำนวณจากคลาส 442 คลาส จากการพิจารณาเฉพาะคลาสสามารถแสดงรายชื่อคลาสที่มีค่ามาตรวัด CMC เปลี่ยนแปลง และค่ามาตรวัด CMC ก่อน-หลังทำแอสเป็กรีแฟคทอริงของเจสอตตรอร์เวอร์ชัน 3, 4, 8 และ 12 ได้ดังนี้

- เจสอตตรอร์ เวอร์ชัน 3 ปรับปรุงซอร์สโค้ดโดยจัดการเมที่อดคอลซ้ำกันทั้งหมด 9 ตำแหน่งด้วยแอสเป็ก พบว่าหลังทำแอสเป็กรีแฟคทอริงมีคลาส 2 คลาสที่มีค่ามาตรวัด CMC เปลี่ยนแปลง รายชื่อคลาสและค่ามาตรวัด CMC แสดงดังตารางที่ 4.50



ตารางที่ 4.50 รายชื่อคลาส 2 คลาสของเจฮอตดรอว์ เวอร์ชัน 3 ที่ค่ามาตรฐาน CMC เปลี่ยนแปลง

คลาส	มาตรฐาน CMC	
	ก่อนทำ แอสเป็ก รีแฟคทอริง	หลังทำ แอสเป็ก รีแฟคทอริง
org.jhotdraw.samples.odg.PathTool	5	4
org.jhotdraw.samples.svg.PathTool	5	4

- เจฮอตดรอว์ เวอร์ชัน 4 ปรับปรุงซอร์สโค้ดโดยจัดการเมทอดคอลชันทั้งหมด 12 ตำแหน่งด้วยแอสเป็ก กรณีนี้เป็นการจัดการเมทอดคอลชันที่เรียกใช้งานเมทอด ClearSelection() พบว่าหลังทำแอสเป็กรีแฟคทอริงมีคลาส 1 คลาสที่มีค่ามาตรฐาน CMC เปลี่ยนแปลง รายชื่อคลาสและค่ามาตรฐาน CMC แสดงดังตารางที่ 4.51

ตารางที่ 4.51 รายชื่อคลาส 1 คลาสของเจฮอตดรอว์ เวอร์ชัน 4 ที่ค่ามาตรฐาน CMC เปลี่ยนแปลง

คลาส	มาตรฐาน CMC	
	ก่อนทำ แอสเป็ก รีแฟคทอริง	หลังทำ แอสเป็ก รีแฟคทอริง
org.jhotdraw.draw.BidirectionalConnectionTool	9	8

- เจฮอตดรอว์ เวอร์ชัน 8 ปรับปรุงซอร์สโค้ดโดยจัดการเมทอดคอลชันทั้งหมด 18 ตำแหน่งด้วยแอสเป็ก พบว่าหลังทำแอสเป็กรีแฟคทอริงมีคลาส 8 คลาสที่มีค่ามาตรฐาน CMC เปลี่ยนแปลง รายชื่อคลาสและค่ามาตรฐาน CMC แสดงดังตารางที่ 4.52

ตารางที่ 4.52 รายชื่อคลาส 8 คลาสของเจฮอตดรอว์ เวอร์ชัน 8 ที่ค่ามาตรฐาน CMC เปลี่ยนแปลง

คลาส	มาตรฐาน CMC	
	ก่อนทำ แอสเป็ก รีแฟคทอริง	หลังทำ แอสเป็ก รีแฟคทอริง
org.jhotdraw.draw.EllipseFigure	4	3
org.jhotdraw.draw.ImageFigure	11	10
org.jhotdraw.draw.RectangleFigure	3	2
org.jhotdraw.draw.RoundRectangleFigure	7	6
org.jhotdraw.samples.odg.figures.ODGPathFigure	23	22
org.jhotdraw.samples.svg.figures.SVGPathFigure	22	21
org.jhotdraw.samples.svg.figures.SVGTextAreaFigure	16	15
org.jhotdraw.samples.svg.figures.SVGTextFigure	19	18

- เจฮอตตรอร์ เวอร์ชัน 12 ปรับปรุงซอร์สโค้ดโดยจัดการเมทอดคอลซ้ำกันทั้งหมด 44 ตำแหน่งด้วยแอสเป็ก พบว่าหลังทำแอสเป็กรีแฟคทอริงมีคลาส 2 คลาสที่มีค่ามาตรวัด CMC เปลี่ยนแปลง รายชื่อคลาสและค่ามาตรวัด CMC แสดงดังตารางที่ 4.53

ตารางที่ 4.53 รายชื่อคลาส 2 คลาสของเจฮอตตรอร์ เวอร์ชัน 12 ที่ค่ามาตรวัด CMC เปลี่ยนแปลง

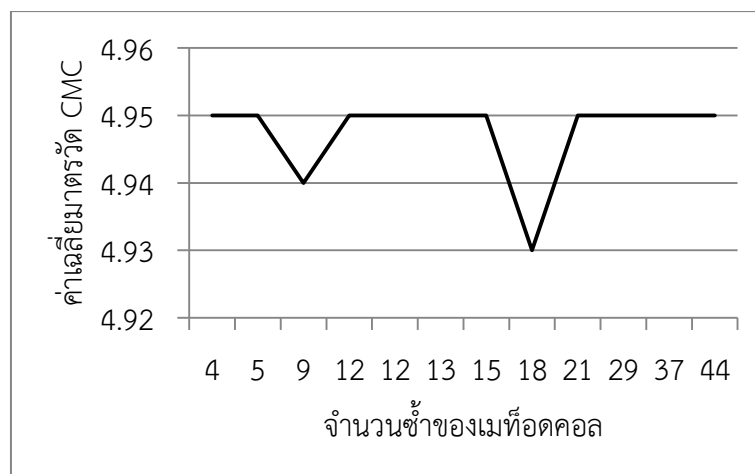
คลาส	มาตรวัด CMC	
	ก่อนทำ แอสเป็ก รีแฟคทอริง	หลังทำ แอสเป็ก รีแฟคทอริง
org.jhotdraw.draw.action.SelectSameAction	4	3
org.jhotdraw.draw.action.UngroupAction	2	1

หลังทำแอสเป็กรีแฟคทอริงจากการพิจารณาแอสเป็กของเจฮอตตรอร์ทั้ง 12 เวอร์ชัน พบค่ามาตรวัด CMC ของทุกแอสเป็กมีค่าดังตารางที่ 4.54

ตารางที่ 4.54 ค่ามาตรวัด CMC ของแอสเป็กในเจฮอตตรอร์ทั้ง 12 เวอร์ชัน  
หลังทำแอสเป็กรีแฟคทอริง

เจฮอตตรอร์ เวอร์ชัน ค่ามาตรวัด CMC	แอสเป็ก											
	1	2	3	4	5	6	7	8	9	10	11	12
แอสเป็ก	2	2	2	3	2	4	2	2	4	3	3	4

การเปรียบเทียบระหว่างเจฮอตตรอร์ทั้ง 12 เวอร์ชัน โดยนำค่าเฉลี่ยของมาตรวัด CMC จากข้อมูลสถิติเชิงพรรณนาของเจฮอตตรอร์แต่ละเวอร์ชัน (ตารางที่ 4.19 - 4.30) มาเปรียบเทียบ แสดงด้วยกราฟดังรูปที่ 4.53 พบว่าหลังทำแอสเป็กรีแฟคทอริง เจฮอตตรอร์ เวอร์ชัน 3 และ 8 ที่จัดการเมทอดคอลซ้ำกันทั้งหมด 9 และ 18 ตำแหน่งตามลำดับ มีค่าเฉลี่ยมาตรวัด CMC ลดลงมากกว่าเจฮอตตรอร์เวอร์ชันอื่นๆเล็กน้อย โดยมีค่าเฉลี่ยมาตรวัด CMC เท่ากับ 4.94 และ 4.93 ตามลำดับ



รูปที่ 4.53 ค่าเฉลี่ยของมาตรวัด CMC ของเจสอตรอร์แต่ละเวอร์ชัน  
ที่จัดการจำนวนซ้ำเม็ท้อดคอลแตกต่างกัน

มาตรวัด CMC พิจารณาจากจำนวนมอดูลทั้งหมดที่มีโอเปอเรชั่นที่สามารถเรียกใช้งานได้จากมอดูลที่พิจารณา ค่ามาตรวัด CMC ของคลาสจึงเป็นความสัมพันธ์ระหว่างคลาสโดยนับจำนวนคลาสทั้งหมดที่สามารถเรียกใช้งานเม็ท้อดได้ โดยหลังทำแอสเป็กรีแพคทอริงมีเพียงเจสอตรอร์บางเวอร์ชันที่ค่ามาตรวัด CMC ของบางคลาสมีค่าลดลง แสดงตัวอย่างการลดลงของค่ามาตรวัด CMC จากเจสอตรอร์ เวอร์ชัน 12 ที่จัดการเม็ท้อดคอลที่เรียกใช้งานเม็ท้อด `configureAction()` ของคลาส `ResourceBundleUtil` โดยหลังทำแอสเป็กรีแพคทอริงมีเพียง 2 คลาสที่มีค่ามาตรวัด CMC ลดลงดังแสดงในตารางที่ 4.53 ข้างต้น ขอยกมาอธิบายหนึ่งคลาสดังรูปที่ 4.54 ภายในคลาส `UngroupAction` มีเม็ท้อดคอลที่เรียกใช้งานเม็ท้อด `configureAction()` ทั้งหมด 2 ตำแหน่ง หลังทำแอสเป็กรีแพคทอริงทำให้ภายในคลาสไม่มีการเรียกใช้งานเม็ท้อด `configureAction()` ของคลาส `ResourceBundleUtil` และจากการตรวจสอบตำแหน่งอื่นในคลาส `UngroupAction` พบว่าไม่มีการเรียกใช้งานเม็ท้อดอื่นของคลาส `ResourceBundleUtil` ทำให้สามารถลดความสัมพันธ์ระหว่างคลาส `UngroupAction` และ `ResourceBundleUtil` ที่เกิดจากการเรียกใช้งานเม็ท้อด ค่ามาตรวัด CMC ของคลาส `UngroupAction` จึงมีค่าลดลง 1 ค่า

```

public class UngroupAction extends GroupAction {
    public final static String ID = "selectionUngroup";
    private CompositeFigure prototype;
    public UngroupAction(DrawingEditor editor) {
        super(editor, new GroupFigure(), false);
        //labels.configureAction(this, ID);
    }
    public UngroupAction(DrawingEditor editor, CompositeFigure prototype) {
        super(editor, prototype, false);
        //labels.configureAction(this, ID);
    }
}

```

รูปที่ 4.54 คลาส UngroupAction ที่มีค่ามาตรวัด CMC ลดลงหลังทำแอสเป็กรีแฟคทอริง

สำหรับคลาสส่วนใหญ่ภายในเจฮอตดรอว์ เวอร์ชัน 12 ถึงแม้จัดการเมทอดคอลที่เรียกใช้งานเมทอด configureAction() ด้วยแอสเป็กรีแฟคทอริงแล้วก็ตาม แต่ค่ามาตรวัด CMC ยังมีค่าคงเดิม ดังตัวอย่างรูปที่ 4.55 ภายในคลาส CloseAction หลังทำแอสเป็กรีแฟคทอริง ภายในคลาสยังคงมีการเรียกใช้งานเมทอด getLAFBundle() ของคลาส ResourceBundleUtil ส่งผลให้ไม่สามารถลดความสัมพันธ์ระหว่างคลาส CloseAction กับคลาส ResourceBundleUtil ที่เกิดจากการเรียกใช้งานเมทอดได้ ดังนั้นค่ามาตรวัด CMC ของคลาส CloseAction จึงมีค่าคงเดิมไม่ลดลง

```

public class CloseAction extends AbstractSaveBeforeAction {
    public final static String ID = "close";
    private ResourceBundleUtil labels;
    public CloseAction(Application app) {
        super(app);
        labels = ResourceBundleUtil.getLAFBundle("org.jhotdraw.app.Labels");
        //labels.configureAction(this, ID);
    }
    @Override protected void doIt(View view) {
        if (view != null && view.getApplication() != null) {
            view.getApplication().
                dispose(view);
        }
    }
}

```

รูปที่ 4.55 คลาส CloseAction ที่มีค่ามาตรวัด CMC คงเดิมหลังทำแอสเป็กรีแฟคทอริง

สำหรับค่ามาตรฐานวัด CMC ของแอสเป็กพิจารณาความสัมพันธ์ระหว่างแอสเป็กกับคลาสโดยนับจำนวนคลาสทั้งหมดที่แอสเป็กสามารถเรียกใช้งานเมทอดได้ เนื่องจากแอสเป็กเป็นส่วนที่สร้างขึ้นใหม่หลังจากทำแอสเป็กรีแฟคทอริง ดังนั้นค่ามาตรฐานวัด CMC ของแอสเป็กจะมีค่ามากหรือน้อยขึ้นอยู่กับจำนวนคลาสที่แอสเป็กเรียกใช้งานเมทอด โดยค่ามาตรฐานวัด CMC ของแอสเป็กในเจฮอตดรอว์ทั้ง 12 เวอร์ชันแสดงดังตารางที่ 4.54 ข้างต้น ส่วนใหญ่มีค่ามาตรฐานวัดอยู่ในช่วง 2 ถึง 4

เนื่องจากค่าเฉลี่ยคำนวณจากค่ามาตรฐานวัด CMC ของคลาส 442 คลาส และแอสเป็ก 1 แอสเป็ก ดังนั้นกราฟค่าเฉลี่ยมาตรฐานวัด CMC ของเจฮอตดรอว์ทั้ง 12 เวอร์ชัน ดังรูปที่ 4.53 ข้างต้น จึงแสดงให้เห็นว่าเจฮอตดรอว์ เวอร์ชัน 8 ที่จัดการเมทอดคอลซ้กันทั้งหมด 18 ตำแหน่งมีค่าเฉลี่ยต่ำสุด เนื่องจากมีคลาสถึง 8 คลาสที่มีค่ามาตรฐานวัด CMC ลดลงและค่ามาตรฐานวัด CMC ของแอสเป็กมีค่าเพียงแค่ 2 ซึ่งเป็นค่าที่ต่ำเมื่อเทียบกับค่ามาตรฐานวัดของแอสเป็กในเจฮอตดรอว์เวอร์ชันอื่นๆ และเจฮอตดรอว์ เวอร์ชัน 3 ที่จัดการเมทอดคอลซ้กันทั้งหมด 9 ตำแหน่ง มีคลาส 2 คลาสที่มีค่ามาตรฐานวัด CMC ลดลง และค่ามาตรฐานวัด CMC ของแอสเป็กเท่ากับ 2 เช่นกันจึงทำให้ค่าเฉลี่ยมาตรฐานวัด CMC มีค่าต่ำรองลงมา ขณะที่เจฮอตดรอว์เวอร์ชัน 12 ที่จัดการเมทอดคอลซ้กัน 44 ตำแหน่ง ถึงแม้มีคลาส 2 คลาสที่มีค่ามาตรฐานวัด CMC ลดลง แต่ค่ามาตรฐานวัด CMC ของแอสเป็กเท่ากับ 4 ซึ่งเป็นค่าที่สูงจึงทำให้ค่าเฉลี่ยมาตรฐานวัด CMC มีค่าไม่แตกต่างกับเจฮอตดรอว์ เวอร์ชันอื่นๆ ที่ไม่มีคลาสที่มีค่ามาตรฐานวัด CMC ลดลงเลย

#### (6) คัพปลิงบิทวินมอดูล (Coupling between Modules - CBM)

จากตารางที่ 4.47 แสดงการเปรียบเทียบระหว่างเจฮอตดรอว์ทั้ง 12 เวอร์ชันกับเจฮอตดรอว์เวอร์ชัน 7.1 ซึ่งเป็นซอฟต์แวร์ดั้งเดิม โดยพิจารณาเฉพาะคลาส พบว่าหลังทำแอสเป็กรีแฟคทอริงเจฮอตดรอว์ เวอร์ชัน 3, 4, 8 และ 12 ค่ามาตรฐานวัด CBM ของบางคลาสมีค่าเปลี่ยนแปลง และจากตารางที่ 4.48 พบว่าค่ามาตรฐานวัด CBM ของทุกแอสเป็กในเจฮอตดรอว์ส่วนใหญ่มีค่าต่ำกว่าค่าเฉลี่ยมาตรฐานวัด CBM ที่คำนวณจากคลาสทั้ง 442 คลาส ขณะที่เจฮอตดรอว์ เวอร์ชัน 9 มีค่ามาตรฐานวัด CBM ของแอสเป็กสูงกว่าค่าเฉลี่ยมาตรฐานวัด CBM จากการพิจารณาเฉพาะคลาสสามารถแสดงรายชื่อคลาสที่มีค่ามาตรฐานวัด CBM เปลี่ยนแปลง และค่ามาตรฐานวัด CBM ก่อน-หลังทำแอสเป็กรีแฟคทอริงของเจฮอตดรอว์เวอร์ชัน 3, 4, 8 และ 12 ได้ดังนี้

- เจฮอตดรอว์ เวอร์ชัน 3 ปรับปรุงซอร์สโค้ดโดยจัดการเมทอดคอลซ้กันทั้งหมด 9 ตำแหน่งด้วยแอสเป็ก พบว่าหลังทำแอสเป็กรีแฟคทอริงมีคลาส 2 คลาสที่ค่ามาตรฐานวัด CBM เปลี่ยนแปลง รายชื่อคลาสและค่ามาตรฐานวัด CBM แสดงดังตารางที่ 4.55

ตารางที่ 4.55 รายชื่อคลาส 2 คลาสของเจฮอตดรอว์ เวอร์ชัน 3 ที่ค่ามาตรฐานวัด CBM เปลี่ยนแปลง

คลาส	มาตรฐานวัด CBM	
	ก่อนทำ แอสเป็ก รีแฟคทอริง	หลังทำ แอสเป็ก รีแฟคทอริง
org.jhotdraw.samples.odg.PathTool	5	4
org.jhotdraw.samples.svg.PathTool	5	4

- เจฮอตตรอว์ เวอร์ชัน 4 ปรับปรุงซอร์สโค้ดโดยจัดการเมทอดคอลซ้ำกันทั้งหมด 12 ตำแหน่งด้วยแอสเป็ก กรณีนี้จัดการเมทอดคอลที่เรียกใช้งานเมทอด ClearSelection() พบว่าหลังทำแอสเป็กรีแฟคทอริงมีคลาส 1 คลาสที่ค่ามาตรวัด CBM เปลี่ยนแปลง รายชื่อคลาสและค่ามาตรวัด CBM แสดงดังตารางที่ 4.56

ตารางที่ 4.56 รายชื่อคลาส 1 คลาสของเจฮอตตรอว์ เวอร์ชัน 4 ที่ค่ามาตรวัด CBM เปลี่ยนแปลง

คลาส	มาตรวัด CBM	
	ก่อนทำ แอสเป็ก รีแฟคทอริง	หลังทำ แอสเป็ก รีแฟคทอริง
org.jhotdraw.draw.BidirectionalConnectionTool	9	8

- เจฮอตตรอว์ เวอร์ชัน 8 ปรับปรุงซอร์สโค้ดโดยจัดการเมทอดคอลซ้ำกันทั้งหมด 18 ตำแหน่งด้วยแอสเป็ก พบว่าหลังทำแอสเป็กรีแฟคทอริงมีคลาส 8 คลาสที่มีค่ามาตรวัด CBM เปลี่ยนแปลง รายชื่อคลาสและค่ามาตรวัด CBM แสดงดังตารางที่ 4.57

ตารางที่ 4.57 รายชื่อคลาส 8 คลาสของเจฮอตตรอว์ เวอร์ชัน 8 ที่ค่ามาตรวัด CBM เปลี่ยนแปลง

คลาส	มาตรวัด CBM	
	ก่อนทำ แอสเป็ก รีแฟคทอริง	หลังทำ แอสเป็ก รีแฟคทอริง
org.jhotdraw.draw.EllipseFigure	4	3
org.jhotdraw.draw.ImageFigure	12	11
org.jhotdraw.draw.RectangleFigure	3	2
org.jhotdraw.draw.RoundRectangleFigure	7	6
org.jhotdraw.samples.odg.figures.ODGPathFigure	26	25
org.jhotdraw.samples.svg.figures.SVGPathFigure	23	22
org.jhotdraw.samples.svg.figures.SVGTextAreaFigure	16	15
org.jhotdraw.samples.svg.figures.SVGTextFigure	19	18

- เจฮอตตรอว์ เวอร์ชัน 12 ปรับปรุงซอร์สโค้ดโดยจัดการเมทอดคอลซ้ำกันทั้งหมด 44 ตำแหน่งด้วยแอสเป็ก พบว่าหลังทำแอสเป็กรีแฟคทอริงมีคลาส 2 คลาสที่มีค่ามาตรวัด CBM เปลี่ยนแปลง รายชื่อคลาสและค่ามาตรวัด CBM แสดงดังตารางที่ 4.58

ตารางที่ 4.58 รายชื่อคลาส 2 คลาสของเจสอตตรอร์ เวอร์ชัน 12 ที่ค่ามาตรวัด CBM เปลี่ยนแปลง

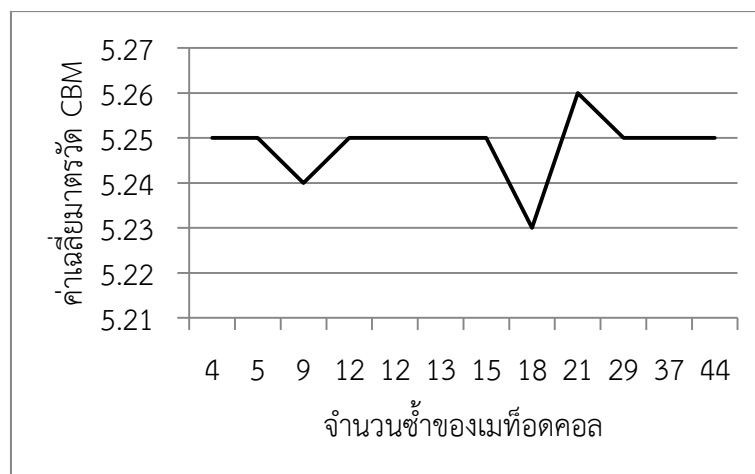
คลาส	มาตรวัด CBM	
	ก่อนทำ แอสเป็ก รีแฟคทอริง	หลังทำ แอสเป็ก รีแฟคทอริง
org.jhotdraw.draw.action.SelectSameAction	4	3
org.jhotdraw.draw.action.UngroupAction	2	1

หลังทำแอสเป็กรีแฟคทอริงจากการพิจารณาแอสเป็กของเจสอตตรอร์ทั้ง 12 เวอร์ชัน สามารถแสดงค่ามาตรวัด CBM ของทุกแอสเป็กดังตารางที่ 4.59

ตารางที่ 4.59 ค่ามาตรวัด CBM ของแอสเป็กในเจสอตตรอร์ทั้ง 12 เวอร์ชัน  
หลังทำแอสเป็กรีแฟคทอริง

เจสอตตรอร์ เวอร์ชัน	1	2	3	4	5	6	7	8	9	10	11	12
ค่ามาตรวัด CBM												
แอสเป็ก	2	2	2	3	2	4	2	2	6	3	3	4

การเปรียบเทียบระหว่างเจสอตตรอร์ทั้ง 12 เวอร์ชัน โดยนำค่าเฉลี่ยของมาตรวัด CBM จาก ข้อมูลสถิติเชิงพรรณนาของเจสอตตรอร์แต่ละเวอร์ชัน (ตารางที่ 4.19 – 4.30) มาเปรียบเทียบ แสดง ด้วยกราฟได้ดังรูปที่ 4.56 พบว่าหลังทำแอสเป็กรีแฟคทอริงเจสอตตรอร์ เวอร์ชัน 3 และ 8 ที่จัดการ เมทีอดคอลซ้ากันทั้งหมด 9 และ 18 ตำแหน่งตามลำดับมีค่าเฉลี่ยมาตรวัด CBM ต่ำกว่าเจสอตตรอร์ เวอร์ชันอื่นๆเล็กน้อย โดยค่าเฉลี่ยมาตรวัด CBM เท่ากับ 5.24 และ 5.23 ตามลำดับ ส่วนเจสอตตรอร์ เวอร์ชัน 9 ที่จัดการเมทีอดคอลซ้ากันทั้งหมด 21 ตำแหน่ง มีค่าเฉลี่ยมาตรวัด CBM สูงกว่าเวอร์ชัน อื่นเล็กน้อย โดยค่าเฉลี่ยมาตรวัด CBM เท่ากับ 5.26



รูปที่ 4.56 ค่าเฉลี่ยของมาตรฐาน CBM ของเจฮอตตรอร์ว้แต่ละเวอร์ชัน  
ที่จัดการจำนวนซ้ำเมทอดคอลแตกต่างกัน

นิยามมาตรฐาน CBM คล้ายกันกับนิยามมาตรฐาน CBO ของมาตรฐานเชิงวัตถุตรงที่พิจารณาความสัมพันธ์ระหว่างคลาสที่เกิดจากการเรียกใช้งานเมทอดเหมือนกัน แต่แตกต่างกันที่นิยามมาตรฐาน CBO พิจารณาความสัมพันธ์ระหว่างคลาสที่เกิดจากการประกาศตัวแปรอินสแตนซ์ของคลาสอื่นด้วย ขณะที่มาตรฐาน CBM พิจารณาความสัมพันธ์ระหว่างคลาสที่เกิดจากการเข้าถึงฟิลด์ของคลาสอื่นแทน ดังนั้นมาตรฐาน CBM จึงพิจารณาจำนวนความสัมพันธ์ระหว่างมอดูลที่เกิดจากการเรียกใช้งานโอเปอเรชั่นและการเข้าถึงฟิลด์ของมอดูลอื่น จากนิยามของมาตรฐาน CBM อาจกล่าวได้ว่าเป็นการพิจารณาความสัมพันธ์ระหว่างมาตรฐาน CMC และมาตรฐาน CFA เพราะมาตรฐาน CMC พิจารณาความสัมพันธ์ระหว่างคลาสหรือแอสเป็กต์ที่เกิดจากการเรียกใช้งานเมทอด ขณะที่มาตรฐาน CFA พิจารณาความสัมพันธ์ระหว่างคลาสหรือแอสเป็กต์ที่เกิดจากการเข้าถึงฟิลด์ของคลาส กล่าวคือค่ามาตรฐาน CBM ของคลาสหรือแอสเป็กต์มีค่าเท่ากับค่ามาตรฐาน CMC และค่ามาตรฐาน CFA รวมกัน แต่ไม่นับความสัมพันธ์ที่ซ้ำกันในกรณีที่คลาสมีทั้งเมทอดที่สามารถเรียกใช้งานและฟิลด์ที่สามารถเข้าถึงได้

ตัวอย่างการพิจารณาค่ามาตรฐาน CBM ของคลาส ViewPropertyAction ที่มีค่ามาตรฐานเท่ากับ 3 โดยคลาส ViewPropertyAction มีความสัมพันธ์กับคลาส 3 คลาส เป็นความสัมพันธ์ที่เกิดจากการเรียกใช้งานเมทอดทั้งหมด 2 คลาส (มาตรฐาน CMC) ได้แก่ คลาส View และคลาส AbstractViewAction และความสัมพันธ์ที่เกิดจากการเข้าถึงฟิลด์ทั้งหมด 1 คลาส (มาตรฐาน CFA) ได้แก่ คลาส Actions เนื่องจากคลาสทั้งหมดจากมาตรฐาน CMC และมาตรฐาน CFA ไม่ซ้ำกัน ค่ามาตรฐาน CBM จึงมีเท่ากับค่ามาตรฐาน CMC และ CFA รวมกัน

อีกตัวอย่างการพิจารณาค่ามาตรฐาน CBM ของคลาส FocusAction ที่มีค่ามาตรฐานเท่ากับ 3 เช่นกัน โดยเป็นความสัมพันธ์ที่เกิดจากการเรียกใช้งานเมทอดทั้งหมด 3 คลาส (มาตรฐาน CMC) ได้แก่ คลาส AbstractAction คลาส ResourceBundleUtil และคลาส View และความสัมพันธ์ที่เกิดจากการเข้าถึงฟิลด์ทั้งหมด 1 คลาส (มาตรฐาน CFA) ได้แก่ คลาส View เนื่องจากคลาส View มีทั้งเมทอดและฟิลด์ที่คลาส FocusAction สามารถเรียกใช้งานและเข้าถึงได้ ดังนั้นค่ามาตรฐาน CBM ของคลาส



FocusAction จึงมีค่าเท่ากับ 3 เป็นการรวมกันระหว่างมาตรวัด CMC และมาตรวัด CFA โดยไม่นับความสัมพันธ์ของคลาสที่ซ้ำ

กราฟค่าเฉลี่ยมาตรวัด CBM ของเจสอตตรอร์ทั้ง 12 เวอร์ชันดังรูปที่ 4.56 ข้างต้น จึงมีลักษณะคล้ายกราฟค่าเฉลี่ยมาตรวัด CMC (รูปที่ 4.53) และกราฟค่าเฉลี่ยมาตรวัด CFA (รูปที่ 4.52) รวมกัน โดยกราฟของมาตรวัด CFA หลังทำแอสเป็กรีแฟคทอริงมีเพียงเจสอตตรอร์ เวอร์ชัน 9 ที่ค่ามาตรวัด CFA ของแอสเป็กรมีค่ามากกว่า 0 แต่ค่าไม่สูงพอที่จะแสดงให้เห็นความแตกต่างในกราฟค่าเฉลี่ยมาตรวัด CFA แต่เมื่อนำค่ามาตรวัด CFA ของแอสเป็กรมาคำนวณรวมกับค่ามาตรวัด CMC ของแอสเป็กร ทำให้ค่ามาตรวัด CBM ของแอสเป็กรในเจสอตตรอร์ เวอร์ชัน 9 มีค่าสูงเท่ากับ 6 และส่งผลให้ค่าเฉลี่ยมาตรวัด CBM ของเจสอตตรอร์ เวอร์ชัน 9 มีค่าสูงกว่าเจสอตตรอร์เวอร์ชันอื่นๆ ขณะที่เจสอตตรอร์ เวอร์ชัน 8 ที่จัดการเมที่อดคอลซ้ำกัน 18 ตำแหน่ง แสดงค่าเฉลี่ยของมาตรวัด CBM ลดลงมากกว่าเจสอตตรอร์ เวอร์ชันอื่นๆ โดยผลแสดงไปในทิศทางเดียวกันกับการพิจารณาด้วยมาตรวัด CBO ของมาตรวัดเชิงวัตถุ ดังนั้นผลของค่าเฉลี่ยมาตรวัด CBM ที่ลดลงมากจึงเกิดจากการจัดการลักษณะเมที่อดคอลที่ส่วนใหญ่เรียกใช้งานเมที่อดผ่านชื่อคลาสโดยตรง เมื่อจัดการเมที่อดคอลด้วยแอสเป็กรจึงสามารถลดความสัมพันธ์ระหว่างคลาสได้มาก

จากตารางที่ 2.4 ความสัมพันธ์ระหว่างมาตรวัดเชิงแอสเป็กรับกับคุณภาพซอฟต์แวร์ ที่อ้างอิงจากงานวิจัยของ Sirbi และ Kulkarni (2013) โดยมาตรวัด CBM สามารถส่งผลกระทบต่อคุณภาพซอฟต์แวร์ 2 ด้าน ได้แก่ ความสามารถการบำรุงรักษาและความสามารถการนำกลับมาใช้ใหม่ จากผลการเปรียบเทียบมาตรวัด CBM แสดงให้เห็นว่าการทำแอสเป็กรีแฟคทอริงโดยจัดการเมที่อดคอลที่มีลักษณะการเรียกใช้งานเมที่อดผ่านชื่อคลาสโดยตรงสามารถช่วยลดความสัมพันธ์หรือการขึ้นต่อกันระหว่างคลาสได้ และส่งผลให้คุณภาพซอฟต์แวร์ทั้งสองด้านปรับปรุงดีขึ้น

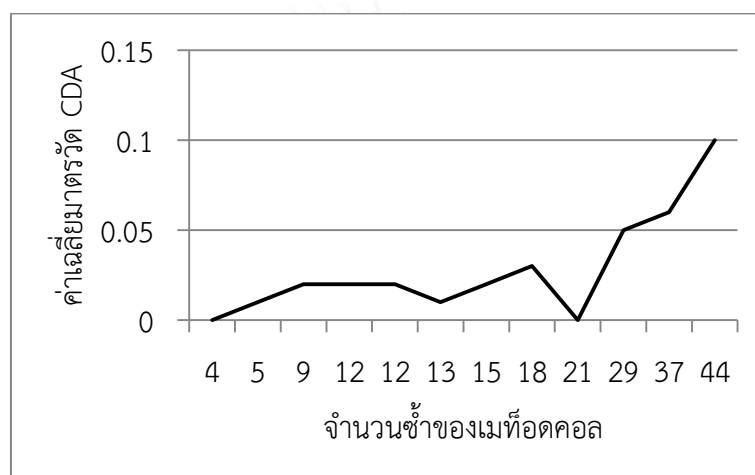
#### (7) ครอสคัทตั้งดีกรีออฟแอสเป็กร (Crosscutting Degree of an Aspect - CDA)

จากตารางที่ 4.47 แสดงการเปรียบเทียบระหว่างเจสอตตรอร์ทั้ง 12 เวอร์ชันกับเจสอตตรอร์ เวอร์ชัน 7.1 ซึ่งเป็นซอฟต์แวร์ดั้งเดิม โดยพิจารณาเฉพาะคลาส พบว่าหลังทำแอสเป็กรีแฟคทอริงค่ามาตรวัด CDA ของคลาสทั้งหมดในเจสอตตรอร์ทั้ง 12 เวอร์ชันมีค่าไม่เปลี่ยนแปลง แต่จากตารางที่ 4.48 พบว่าค่ามาตรวัด CDA ของแอสเป็กรในเจสอตตรอร์ทั้ง 12 เวอร์ชันมีค่าสูงกว่าค่าเฉลี่ยมาตรวัด CDA ที่คำนวณจากคลาสทั้ง 442 คลาส สามารถแสดงค่ามาตรวัด CDA ของแอสเป็กรในเจสอตตรอร์ทั้ง 12 เวอร์ชันได้ดังตารางที่ 4.60

ตารางที่ 4.60 ค่ามาตรวัด CDA ของแอสเป็กรในเจสอตตรอร์ทั้ง 12 เวอร์ชัน  
หลังทำแอสเป็กรีแฟคทอริง

เจสอตตรอร์ เวอร์ชัน	1	2	3	4	5	6	7	8	9	10	11	12
ค่ามาตรวัด CDA												
แอสเป็กร	2	5	9	11	9	6	10	12	2	23	26	44

การเปรียบเทียบระหว่างเจสอตตรอร์ทั้ง 12 เวอร์ชัน โดยนำค่าเฉลี่ยของมาตรวัด CDA จาก ข้อมูลสถิติเชิงพรรณนาของเจสอตตรอร์แต่ละเวอร์ชัน (ตารางที่ 4.19 – 4.30) มาเปรียบเทียบ แสดง ด้วยกราฟดังรูปที่ 4.57 แต่เนื่องจากหลังทำแอสเป็กทีฟคทอริงค่ามาตรวัด CDA ของคลาสมีค่าคง เดิม ดังนั้นค่าเฉลี่ยมาตรวัด CDA จึงมีค่าขึ้นอยู่กับค่ามาตรวัด CDA ของแอสเป็กทีฟในเจสอตตรอร์แต่ละ เวอร์ชัน พบว่าเจสอตตรอร์ เวอร์ชัน 12 ที่จัดการเม็ท้อดคอลซ้ำกันทั้งหมด 44 ตำแหน่งมีค่าเฉลี่ย มาตรวัด CDA สูงสุดเท่ากับ 0.09 ส่วนเจสอตตรอร์ เวอร์ชัน 1 และ 9 ที่จัดการเม็ท้อดคอลซ้ำกัน 4 และ 21 ตำแหน่งตามลำดับมีค่าเฉลี่ยมาตรวัด CDA ต่ำสุดเท่ากับ 0.00



รูปที่ 4.57 ค่าเฉลี่ยของมาตรวัด CDA ของเจสอตตรอร์แต่ละเวอร์ชัน ที่จัดการจำนวนซ้ำเม็ท้อดคอลแตกต่างกัน

มาตรวัด CDA พิจารณาจากจำนวนคลาสทั้งหมดที่ได้รับผลกระทบจากพอยท์คัทและอินโทร ดักชันที่กำหนดภายในแอสเป็ก ค่ามาตรวัด CDA จึงใช้สำหรับพิจารณาแอสเป็กทีฟโดยเฉพาะ ค่าเฉลี่ย มาตรวัด CDA ของเจสอตตรอร์แต่ละเวอร์ชันจึงมีค่าขึ้นอยู่กับจำนวนคลาสที่แอสเป็กทีฟสามารถเข้าไป ชัดขวางการทำงานเพื่อให้เม็ท้อดคอลทำงานในตำแหน่งเดิมของคลาส โดยหลังทำแอสเป็กทีฟคทอริง พบว่าแอสเป็กทีฟของเจสอตตรอร์ เวอร์ชัน 12 สามารถเข้าไปชัดขวางการทำงานของคลาสทั้งหมด 44 คลาส ดังแสดงในตารางที่ 4.60 ข้างต้น จึงส่งผลให้ค่าเฉลี่ยมาตรวัด CDA มีค่าสูงสุดเมื่อเทียบกับ เจสอตตรอร์เวอร์ชันอื่นๆ ขณะที่แอสเป็กทีฟของเจสอตตรอร์ เวอร์ชัน 1 และ 9 สามารถเข้าไปชัดขวาง การทำงานของคลาสได้เพียง 2 คลาส จึงส่งผลให้ค่าเฉลี่ยมาตรวัด CDA มีค่าต่ำสุด

#### (8) คัพปลิงออนแอดไวส์เอ็กซิคิวชัน (Coupling on Advice Execution - CAE)

จากตารางที่ 4.47 แสดงการเปรียบเทียบระหว่างเจสอตตรอร์ทั้ง 12 เวอร์ชันกับเจสอตตรอร์ เวอร์ชัน 7.1 ซึ่งเป็นซอฟต์แวร์ดั้งเดิม โดยพิจารณาเฉพาะคลาส พบว่าหลังทำแอสเป็กทีฟคทอริง เจสอตตรอร์ทั้ง 12 เวอร์ชันค่ามาตรวัด CAE ของคลาสมีค่าเปลี่ยนแปลง แต่จากตารางที่ 4.48 พบว่า ค่ามาตรวัด CAE ของแอสเป็กทีฟในเจสอตตรอร์ทั้ง 12 เวอร์ชันมีค่ามาตรวัดเท่ากับ 0 จึงมีค่าต่ำกว่า ค่าเฉลี่ยมาตรวัด CAE ที่คำนวณจากคลาสทั้ง 442 คลาส สามารถแสดงรายชื่อคลาสที่มีค่ามาตรวัด

CAE เปลี่ยนแปลง และค่ามาตรฐาน CAE ก่อน-หลังทำแอสเป็กทีฟทอริงของเจฮอตดรอว์ทั้ง 12 เวอร์ชันได้ดังนี้

- เจฮอตดรอว์ เวอร์ชัน 1 ปรับปรุงซอร์สโค้ดโดยจัดการเมท้อดคอลซ้ากันทั้งหมด 4 ตำแหน่งด้วยแอสเป็ก พบว่าหลังทำแอสเป็กทีฟทอริงมีคลาส 2 คลาสที่มีค่ามาตรฐาน CAE เปลี่ยนแปลง รายชื่อคลาสและค่ามาตรฐาน CAE แสดงดังตารางที่ 4.61

ตารางที่ 4.61 รายชื่อคลาส 2 คลาสของเจฮอตดรอว์ เวอร์ชัน 1 ที่ค่ามาตรฐาน CAE เปลี่ยนแปลง

คลาส	มาตรฐาน CAE	
	ก่อนทำ แอสเป็ก รีแฟคทอริง	หลังทำ แอสเป็ก รีแฟคทอริง
org.jhotdraw.draw.DefaultDrawing	0	1
org.jhotdraw.draw.QuadTreeDrawing	0	1

- เจฮอตดรอว์ เวอร์ชัน 2 ปรับปรุงซอร์สโค้ดโดยจัดการเมท้อดคอลซ้ากันทั้งหมด 5 ตำแหน่งด้วยแอสเป็ก พบว่าหลังทำแอสเป็กทีฟทอริงมีคลาส 5 คลาสที่มีค่ามาตรฐาน CAE เปลี่ยนแปลง รายชื่อคลาสและค่ามาตรฐาน CAE แสดงดังตารางที่ 4.62

ตารางที่ 4.62 รายชื่อคลาส 5 คลาสของเจฮอตดรอว์ เวอร์ชัน 2 ที่ค่ามาตรฐาน CAE เปลี่ยนแปลง

คลาส	มาตรฐาน CAE	
	ก่อนทำ แอสเป็ก รีแฟคทอริง	หลังทำ แอสเป็ก รีแฟคทอริง
org.jhotdraw.samples.draw.DrawingPanel	0	1
org.jhotdraw.samples.net.NetPanel	0	1
org.jhotdraw.samples.odg.ODGDrawingPanel	0	1
org.jhotdraw.samples.pert.PertPanel	0	1
org.jhotdraw.samples.svg.SVGDrawingPanel	0	1

- เจฮอตดรอว์ เวอร์ชัน 3 ปรับปรุงซอร์สโค้ดโดยจัดการเมท้อดคอลซ้ากันทั้งหมด 9 ตำแหน่งด้วยแอสเป็ก พบว่าหลังทำแอสเป็กทีฟทอริงมีคลาส 9 คลาสที่มีค่ามาตรฐาน CAE เปลี่ยนแปลง รายชื่อคลาสและค่ามาตรฐาน CAE แสดงดังตารางที่ 4.63

ตารางที่ 4.63 รายชื่อคลาส 9 คลาสของเจฮอตดรอว์ เวอร์ชัน 3 ที่ค่ามาตรวัด CAE เปลี่ยนแปลง

คลาส	มาตรวัด CAE	
	ก่อนทำ แอสเป็ก รีแฟคทอริง	หลังทำ แอสเป็ก รีแฟคทอริง
org.jhotdraw.draw.action.GroupAction	0	1
org.jhotdraw.draw.BezierTool	0	1
org.jhotdraw.draw.CreationTool	0	1
org.jhotdraw.samples.odg.action.CombineAction	0	1
org.jhotdraw.samples.odg.action.SplitAction	0	1
org.jhotdraw.samples.odg.PathTool	0	1
org.jhotdraw.samples.svg.action.CombineAction	0	1
org.jhotdraw.samples.svg.action.SplitAction	0	1
org.jhotdraw.samples.svg.PathTool	0	1

● เจฮอตดรอว์ เวอร์ชัน 4 ปรับปรุงซอร์สโค้ดโดยจัดการเมทอดคอลชันทั้งหมด 12 ตำแหน่งด้วยแอสเป็ก กรณีนี้จัดการเมทอดคอลชันที่เรียกใช้งานเมทอด ClearSelection() พบว่าหลังทำแอสเป็กรีแฟคทอริงมีคลาส 11 คลาสที่มีค่ามาตรวัด CAE เปลี่ยนแปลง รายชื่อคลาสและค่ามาตรวัด CAE แสดงดังตารางที่ 4.64

ตารางที่ 4.64 รายชื่อคลาส 11 คลาสของเจฮอตดรอว์ เวอร์ชัน 4 ที่ค่ามาตรวัด CAE เปลี่ยนแปลง

คลาส	มาตรวัด CAE	
	ก่อนทำ แอสเป็ก รีแฟคทอริง	หลังทำ แอสเป็ก รีแฟคทอริง
org.jhotdraw.draw.BezierTool	0	1
org.jhotdraw.draw.BidirectionalConnectionTool	0	1
org.jhotdraw.draw.ConnectionTool	0	1
org.jhotdraw.draw.CreationTool	0	1
org.jhotdraw.draw.DefaultDrawingView	0	1
org.jhotdraw.draw.DefaultDrawingViewTransferHandler	0	1
org.jhotdraw.draw.action.GroupAction	0	1
org.jhotdraw.samples.svg.action.CombineAction	0	1
org.jhotdraw.samples.svg.action.SplitAction	0	1
org.jhotdraw.samples.odg.action.CombineAction	0	1
org.jhotdraw.samples.odg.action.SplitAction	0	1

- เจฮอตตรอว์ เวอร์ชัน 5 ปรับปรุงซอร์สโค้ดโดยจัดการเมทอดคอลชันทั้งหมด 12 ตำแหน่งด้วยแอสเป็ก กรณีนี้จัดการเมทอดคอลชันที่เรียกใช้งานเมทอด RemoveAllChildren() พบว่าหลังทำแอสเป็กรีแฟคทอริงมีคลาส 9 คลาสที่มีค่ามาตรวัด CAE เปลี่ยนแปลง รายชื่อคลาสและค่ามาตรวัด CAE แสดงดังตารางที่ 4.65

ตารางที่ 4.65 รายชื่อคลาส 9 คลาสของเจฮอตตรอว์ เวอร์ชัน 5 ที่ค่ามาตรวัด CAE เปลี่ยนแปลง

คลาส	มาตรวัด CAE	
	ก่อนทำ แอสเป็ก รีแฟคทอริง	หลังทำ แอสเป็ก รีแฟคทอริง
org.jhotdraw.samples.draw.DrawApplet	0	1
org.jhotdraw.samples.draw.DrawLiveConnectApplet	0	1
org.jhotdraw.samples.net.NetApplet	0	1
org.jhotdraw.samples.odg.PathTool	0	1
org.jhotdraw.samples.pert.PertApplet	0	1
org.jhotdraw.samples.svg.io.DefaultSVGFigureFactory	0	1
org.jhotdraw.samples.svg.PathTool	0	1
org.jhotdraw.samples.svg.SVGApplet	0	1
org.jhotdraw.samples.odg.io.ODGInputFormat	0	1

- เจฮอตตรอว์ เวอร์ชัน 6 ปรับปรุงซอร์สโค้ดโดยจัดการเมทอดคอลชันทั้งหมด 13 ตำแหน่งด้วยแอสเป็ก พบว่าหลังทำแอสเป็กรีแฟคทอริงมีคลาส 6 คลาสที่มีค่ามาตรวัด CAE เปลี่ยนแปลง รายชื่อคลาสและค่ามาตรวัด CAE แสดงดังตารางที่ 4.66

ตารางที่ 4.66 รายชื่อคลาส 6 คลาสของเจฮอตตรอว์ เวอร์ชัน 6 ที่ค่ามาตรวัด CAE เปลี่ยนแปลง

คลาส	มาตรวัด CAE	
	ก่อนทำ แอสเป็ก รีแฟคทอริง	หลังทำ แอสเป็ก รีแฟคทอริง
org.jhotdraw.app.DefaultApplicationModel	0	1
org.jhotdraw.draw.DefaultDrawing	0	1
org.jhotdraw.draw.DefaultDrawingEditor	0	1
org.jhotdraw.draw.GridConstrainer	0	1
org.jhotdraw.draw.QuadTreeDrawing	0	1
org.jhotdraw.samples.odg.ODGDrawing	0	1

- เจฮอตตรอว์ เวอร์ชัน 7 ปรับปรุงซอร์สโค้ดโดยจัดการเมทีอดคอลซ้ำกันทั้งหมด 15 ตำแหน่งด้วยแอสเป็ก พบว่าหลังทำแอสเป็กรีแฟคทอริงมีคลาส 10 คลาสที่มีค่ามาตรวัด CAE เปลี่ยนแปลง รายชื่อคลาสและค่ามาตรวัด CAE แสดงดังตารางที่ 4.67

ตารางที่ 4.67 รายชื่อคลาส 10 คลาสของเจฮอตตรอว์ เวอร์ชัน 7 ที่ค่ามาตรวัด CAE เปลี่ยนแปลง

คลาส	มาตรวัด CAE	
	ก่อนทำ แอสเป็ก รีแฟคทอริง	หลังทำ แอสเป็ก รีแฟคทอริง
org.jhotdraw.samples.draw.DrawingPanel	0	1
org.jhotdraw.samples.draw.DrawView	0	1
org.jhotdraw.samples.net.NetPanel	0	1
org.jhotdraw.samples.net.NetView	0	1
org.jhotdraw.samples.odg.ODGDrawingPanel	0	1
org.jhotdraw.samples.odg.ODGView	0	1
org.jhotdraw.samples.pert.PertPanel	0	1
org.jhotdraw.samples.pert.PertView	0	1
org.jhotdraw.samples.svg.SVGDrawingPanel	0	1
org.jhotdraw.samples.svg.SVGView	0	1

- เจฮอตตรอว์ เวอร์ชัน 8 ปรับปรุงซอร์สโค้ดโดยจัดการเมทีอดคอลซ้ำกันทั้งหมด 18 ตำแหน่งด้วยแอสเป็ก พบว่าหลังทำแอสเป็กรีแฟคทอริงมีคลาส 12 คลาสที่มีค่ามาตรวัด CAE เปลี่ยนแปลง รายชื่อคลาสและค่ามาตรวัด CAE แสดงดังตารางที่ 4.68

ตารางที่ 4.68 รายชื่อคลาส 12 คลาสของเจฮอตตรอว์ เวอร์ชัน 8 ที่ค่ามาตรวัด CAE เปลี่ยนแปลง

คลาส	มาตรวัด CAE	
	ก่อนทำ แอสเป็ก รีแฟคทอริง	หลังทำ แอสเป็ก รีแฟคทอริง
org.jhotdraw.draw.ChopDiamondConnector	0	1
org.jhotdraw.draw.ChopRoundRectangleConnector	0	1
org.jhotdraw.draw.EllipseFigure	0	1
org.jhotdraw.draw.ImageFigure	0	1
org.jhotdraw.draw.RectangleFigure	0	1
org.jhotdraw.draw.RoundRectangleFigure	0	1
org.jhotdraw.draw.TriangleFigure	0	1

ตารางที่ 4.68 รายชื่อคลาส 12 คลาสของเจฮอตดรอว์ เวอร์ชัน 8  
ที่ค่ามาตรวัด CAE เปลี่ยนแปลง (ต่อ)

คลาส	มาตรวัด CAE	
	ก่อนทำ แอสเป็ก รีแฟคทอริง	หลังทำ แอสเป็ก รีแฟคทอริง
org.jhotdraw.samples.net.figures.NodeFigure	0	1
org.jhotdraw.samples.odg.figures.ODGPathFigure	0	1
org.jhotdraw.samples.svg.figures.SVGPathFigure	0	1
org.jhotdraw.samples.svg.figures.SVGTextAreaFigure	0	1
org.jhotdraw.samples.svg.figures.SVGTextFigure	0	1

● เจฮอตดรอว์ เวอร์ชัน 9 ปรับปรุงซอร์สโค้ดโดยจัดการเมทอดคอลซ้ำกันทั้งหมด 21 ตำแหน่งด้วยแอสเป็ก พบว่าหลังทำแอสเป็กรีแฟคทอริงมีคลาส 2 คลาสที่มีค่ามาตรวัด CAE เปลี่ยนแปลง รายชื่อคลาสและค่ามาตรวัด CAE แสดงดังตารางที่ 4.69

ตารางที่ 4.69 รายชื่อคลาส 2 คลาสของเจฮอตดรอว์ เวอร์ชัน 9 ที่ค่ามาตรวัด CAE เปลี่ยนแปลง

คลาส	มาตรวัด CAE	
	ก่อนทำ แอสเป็ก รีแฟคทอริง	หลังทำ แอสเป็ก รีแฟคทอริง
org.jhotdraw.samples.svg.io.SVGOutputFormat	0	1
org.jhotdraw.samples.svg.io.ImageMapOutputFormat	0	1

● เจฮอตดรอว์ เวอร์ชัน 10 ปรับปรุงซอร์สโค้ดโดยจัดการเมทอดคอลซ้ำกันทั้งหมด 29 ตำแหน่งด้วยแอสเป็ก พบว่าหลังทำแอสเป็กรีแฟคทอริงมีคลาส 23 คลาสที่มีค่ามาตรวัด CAE เปลี่ยนแปลง รายชื่อคลาสและค่ามาตรวัด CAE แสดงดังตารางที่ 4.70

ตารางที่ 4.70 รายชื่อคลาส 23 คลาสของเจฮอตดรอว์ เวอร์ชัน 10 ที่ค่ามาตรวัด CAE เปลี่ยนแปลง

คลาส	มาตรวัด CAE	
	ก่อนทำ แอสเป็ก รีแฟคทอริง	หลังทำ แอสเป็ก รีแฟคทอริง
org.jhotdraw.draw.ImageFigure	0	1
org.jhotdraw.draw.LabeledLineConnectionFigure	0	1
org.jhotdraw.draw.LineConnectionFigure	0	1
org.jhotdraw.samples.odg.figures.ODGPathFigure	0	1
org.jhotdraw.samples.pert.figures.TaskFigure	0	1
org.jhotdraw.samples.svg.figures.SVGImageFigure	0	1
org.jhotdraw.samples.svg.figures.SVGPathFigure	0	1
org.jhotdraw.draw.AttributeKey	0	1
org.jhotdraw.draw.BezierNodeHandle	0	1
org.jhotdraw.draw.BezierScaleHandle	0	1
org.jhotdraw.draw.BezierTool	0	1
org.jhotdraw.draw.ConnectionEndHandle	0	1
org.jhotdraw.draw.ConnectionStartHandle	0	1
org.jhotdraw.draw.ConnectionTool	0	1
org.jhotdraw.draw.CreationTool	0	1
org.jhotdraw.draw.FontSizeHandle	0	1
org.jhotdraw.draw.RoundRectangleRadiusHandle	0	1
org.jhotdraw.samples.odg.figures.ODGRectRadiusHandle	0	1
org.jhotdraw.samples.svg.figures.SVGRectRadiusHandle	0	1
org.jhotdraw.draw.DragHandle	0	1
org.jhotdraw.draw.MoveHandle	0	1
org.jhotdraw.draw.TextAreaTool	0	1
org.jhotdraw.draw.TextTool	0	1

● เจฮอตดรอว์ เวอร์ชัน 11 ปรับปรุงซอร์สโค้ดโดยจัดการเมท็อดคอลซ้ำกันทั้งหมด 37 ตำแหน่งด้วยแอสเป็ก พบว่าหลังทำแอสเป็กรีแฟคทอริงมีคลาส 26 คลาสที่มีค่ามาตรวัด CAE เปลี่ยนแปลง รายชื่อคลาสและค่ามาตรวัด CAE แสดงดังตารางที่ 4.71



ตารางที่ 4.71 รายชื่อคลาส 26 คลาสของเจฮอตดรอว์ เวอร์ชัน 11 ที่ค่ามาตรวัด CAE เปลี่ยนแปลง

คลาส	มาตรวัด CAE	
	ก่อนทำ แอสเป็ก รีแฟคทอริง	หลังทำ แอสเป็ก รีแฟคทอริง
org.jhotdraw.draw.ImageFigure	0	1
org.jhotdraw.draw.LabeledLineConnectionFigure	0	1
org.jhotdraw.draw.LineConnectionFigure	0	1
org.jhotdraw.draw.LineFigure	0	1
org.jhotdraw.samples.odg.figures.ODGBezierFigure	0	1
org.jhotdraw.samples.odg.figures.ODGPathFigure	0	1
org.jhotdraw.samples.pert.figures.TaskFigure	0	1
org.jhotdraw.samples.svg.figures.SVGBezierFigure	0	1
org.jhotdraw.samples.svg.figures.SVGImageFigure	0	1
org.jhotdraw.samples.svg.figures.SVGPathFigure	0	1
org.jhotdraw.draw.AttributeKey	0	1
org.jhotdraw.draw.BezierNodeHandle	0	1
org.jhotdraw.draw.BezierTool	0	1
org.jhotdraw.draw.ConnectionTool	0	1
org.jhotdraw.draw.TextAreaTool	0	1
org.jhotdraw.draw.TextTool	0	1
org.jhotdraw.draw.BezierScaleHandle	0	1
org.jhotdraw.draw.ConnectionEndHandle	0	1
org.jhotdraw.draw.ConnectionStartHandle	0	1
org.jhotdraw.draw.ConnectorHandle	0	1
org.jhotdraw.draw.CreationTool	0	1
org.jhotdraw.draw.FontSizeHandle	0	1
org.jhotdraw.draw.RoundRectangleRadiusHandle	0	1
org.jhotdraw.draw.TextInputFormat	0	1
org.jhotdraw.samples.odg.figures.ODGRectRadiusHandle	0	1
org.jhotdraw.samples.svg.figures.SVGRectRadiusHandle	0	1

- เจฮอตตรอว์ เวอร์ชัน 12 ปรับปรุงซอร์สโค้ดโดยจัดการเมทอดคอลซ้ำกันทั้งหมด 44 ตำแหน่งด้วยแอสเป็ก พบว่าหลังทำแอสเป็กรีแฟคทอริงมีคลาส 44 คลาสที่มีค่ามาตรวัด CAE เปลี่ยนแปลง รายชื่อคลาสและค่ามาตรวัด CAE แสดงดังตารางที่ 4.72

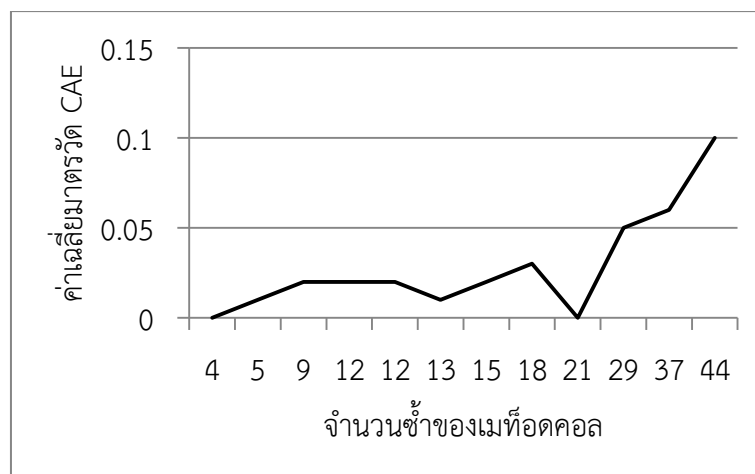
ตารางที่ 4.72 รายชื่อคลาส 44 คลาสของเจฮอตตรอว์ เวอร์ชัน 12 ที่ค่ามาตรวัด CAE เปลี่ยนแปลง

คลาส	มาตรวัด CAE	
	ก่อนทำ แอสเป็ก รีแฟคทอริง	หลังทำ แอสเป็ก รีแฟคทอริง
org.jhotdraw.app.action.AboutAction	0	1
org.jhotdraw.app.action.ClearAction	0	1
org.jhotdraw.app.action.ClearRecentFilesAction	0	1
org.jhotdraw.app.action.CloseAction	0	1
org.jhotdraw.app.action.CopyAction	0	1
org.jhotdraw.app.action.CutAction	0	1
org.jhotdraw.app.action.DeleteAction	0	1
org.jhotdraw.app.action.DuplicateAction	0	1
org.jhotdraw.app.action.ExitAction	0	1
org.jhotdraw.app.action.ExportAction	0	1
org.jhotdraw.app.action.FindAction	0	1
org.jhotdraw.app.action.FocusAction	0	1
org.jhotdraw.app.action.LoadAction	0	1
org.jhotdraw.app.action.MaximizeAction	0	1
org.jhotdraw.app.action.MinimizeAction	0	1
org.jhotdraw.app.action.NewAction	0	1
org.jhotdraw.app.action.OpenAction	0	1
org.jhotdraw.app.action.PasteAction	0	1
org.jhotdraw.app.action.PrintAction	0	1
org.jhotdraw.app.action.RedoAction	0	1
org.jhotdraw.app.action.SaveAction	0	1
org.jhotdraw.app.action.SaveAsAction	0	1
org.jhotdraw.app.action.SelectAllAction	0	1
org.jhotdraw.app.action.UndoAction	0	1

ตารางที่ 4.72 รายชื่อคลาส 44 คลาสของเจฮอตตรอว์ เวอร์ชัน 12  
ที่ค่ามาตรวัด CAE เปลี่ยนแปลง (ต่อ)

คลาส	มาตรวัด CAE	
	ก่อนทำ แอสเป็ก รีแฟคทอ ริง	หลังทำ แอสเป็ก รีแฟคทอ ริง
org.jhotdraw.draw.action.ApplyAttributesAction	0	1
org.jhotdraw.draw.action.EditDrawingAction	0	1
org.jhotdraw.draw.action.EditGridAction	0	1
org.jhotdraw.draw.action.MoveToBackAction	0	1
org.jhotdraw.draw.action.MoveToFrontAction	0	1
org.jhotdraw.draw.action.PickAttributesAction	0	1
org.jhotdraw.draw.action.ToggleGridAction	0	1
org.jhotdraw.samples.odg.action.CombineAction	0	1
org.jhotdraw.samples.odg.action.SplitAction	0	1
org.jhotdraw.samples.svg.action.CombineAction	0	1
org.jhotdraw.samples.svg.action.SplitAction	0	1
org.jhotdraw.samples.svg.action.ViewSourceAction	0	1
org.jhotdraw.samples.teddy.action.FindAction	0	1
org.jhotdraw.samples.teddy.action.ToggleLineNumbersAction	0	1
org.jhotdraw.samples.teddy.action.ToggleLineWrapAction	0	1
org.jhotdraw.samples.teddy.action.ToggleStatusBarAction	0	1
org.jhotdraw.draw.action.AbstractSelectedAction	0	1
org.jhotdraw.draw.action.GroupAction	0	1
org.jhotdraw.draw.action.UngroupAction	0	1
org.jhotdraw.draw.action.SelectSameAction	0	1

การเปรียบเทียบระหว่างเจฮอตตรอว์ทั้ง 12 เวอร์ชัน โดยนำค่าเฉลี่ยของมาตรวัด CAE จากข้อมูลสถิติเชิงพรรณนาของเจฮอตตรอว์แต่ละเวอร์ชัน (ตารางที่ 4.19 - 4.30) มาเปรียบเทียบ แสดงด้วยกราฟได้ดังรูปที่ 4.58 พบว่าลักษณะกราฟค่าเฉลี่ยมาตรวัด CAE มีลักษณะเหมือนกับกราฟค่าเฉลี่ยมาตรวัด CDA ของเจฮอตตรอว์ทั้ง 12 เวอร์ชันดังรูปที่ 4.57 ข้างต้น โดยเจฮอตตรอว์ เวอร์ชัน 12 ที่จัดการเมทอดคอลซ้ำกันทั้งหมด 44 ตำแหน่งมีค่าเฉลี่ยมาตรวัด CAE สูงสุดเท่ากับ 0.09 และเจฮอตตรอว์ เวอร์ชัน 1 และ 9 ที่จัดการเมทอดคอลซ้ำกันทั้งหมด 4 และ 21 ตำแหน่งตามลำดับ มีค่าเฉลี่ยมาตรวัด CAE ต่ำสุดเท่ากับ 0.00 เช่นกัน



รูปที่ 4.58 ค่าเฉลี่ยของมาตรฐาน CAE ของเจสอตตรอร์แต่ละเวอร์ชัน  
ที่จัดการจำนวนซ้ำเมทรีคอลลแตกต่างกัน

มาตรฐาน CAE ใช้สำหรับพิจารณาคลาสโดยเฉพาะ โดยนับจำนวนแอสเป็กทั้งหมดที่เข้ามา  
ขีดขวางการทำงานของคลาสที่พิจารณา และเนื่องจากการทำแอสเป็กกรีแพคทอริงของเจสอตตรอร์แต่ละ  
เวอร์ชันได้สร้างแอสเป็กเพียง 1 แอสเป็ก ดังนั้นจำนวนแอสเป็กที่สามารถขีดขวางการทำงานของ  
คลาสจึงมีเพียง 1 แอสเป็ก ทำให้ค่ามาตรฐาน CAE ของคลาสที่แอสเป็กเข้ามาขีดขวางการทำงานมีค่า  
มาตรฐานเท่ากับ 1 ดังตารางที่ 4.61 – 4.72 ข้างต้น จากนิยามมาตรฐาน CAE จึงแสดงให้เห็นว่าใน  
เจสอตตรอร์เวอร์ชันหนึ่งๆ จะมีผลรวมค่ามาตรฐาน CAE ของคลาสทั้งหมดเท่ากับค่ามาตรฐาน CDA  
ของแอสเป็ก เนื่องจากมาตรฐาน CDA วัดแอสเป็กโดยนับจากจำนวนคลาสทั้งหมดที่แอสเป็กสามารถ  
เข้าไปขีดขวางการทำงาน จากนิยามจึงส่งผลให้กราฟค่าเฉลี่ยของเจสอตตรอร์ทั้ง 12 เวอร์ชันระหว่าง  
มาตรฐาน CDA และ CAE มีลักษณะของกราฟเหมือนกัน ค่าเฉลี่ยของมาตรฐาน CAE จึงขึ้นอยู่กับ  
จำนวนคลาสที่แอสเป็กสามารถเข้าไปขีดขวางการทำงานด้วยเช่นกัน จากผลค่าเฉลี่ยมาตรฐาน CAE  
ของเจสอตตรอร์ เวอร์ชัน 12 มีคลาสทั้งหมด 44 คลาสที่แอสเป็กสามารถเข้าไปขีดขวางการทำงาน  
ทำให้ค่าเฉลี่ยของมาตรฐาน CAE มีค่าสูงสุดเท่ากับ 0.09 ขณะที่เจสอตตรอร์ เวอร์ชัน 1 และ 9 มี  
คลาสเพียง 2 คลาสที่แอสเป็กสามารถเข้าไปขีดขวางการทำงาน ค่าเฉลี่ยของมาตรฐาน CAE จึงมีค่า  
ต่ำสุดเท่ากับ 0.00

#### (9) เรสพอนซ์ฟอร์อะมอดูล (Response For a Module - RFM)

จากตารางที่ 4.47 แสดงการเปรียบเทียบระหว่างเจสอตตรอร์ทั้ง 12 เวอร์ชันกับเจสอตตรอร์  
เวอร์ชัน 7.1 ซึ่งเป็นซอฟต์แวร์ดั้งเดิม โดยพิจารณาเฉพาะคลาส พบว่าหลังทำแอสเป็กกรีแพคทอริงมี  
เจสอตตรอร์ทั้งหมด 10 เวอร์ชันที่ค่ามาตรฐาน RFM ของคลาสเปลี่ยนแปลง ยกเว้นเจสอตตรอร์เวอร์  
ชัน 2 และ 12 ที่ค่ามาตรฐาน RFM ของคลาสมีค่าไม่เปลี่ยนแปลง และจากตารางที่ 4.48 พบว่าค่า  
มาตรฐาน RFM ของแอสเป็กในเจสอตตรอร์ทั้ง 12 เวอร์ชันมีค่าเท่ากับ 0 จึงต่ำกว่าค่าเฉลี่ยมาตรฐาน  
RFM ที่คำนวณจากคลาสทั้ง 442 คลาส ดังนั้นจึงสามารถแสดงรายชื่อคลาสที่มีค่ามาตรฐาน RFM  
เปลี่ยนแปลง และค่ามาตรฐาน RFM ก่อน-หลังทำแอสเป็กกรีแพคทอริงของเจสอตตรอร์ เวอร์ชัน 1  
และ 3-11 ได้ดังนี้

- เจฮอตตรอว์ เวอร์ชัน 1 ปรับปรุงซอร์สโค้ดโดยจัดการเมทอดคอลชันทั้งหมด 4 ตำแหน่งด้วยแอสเป็ก พบว่าหลังทำแอสเป็กรีแฟคทอริงมีคลาส 1 คลาสที่มีค่ามาตรวัด RFM เปลี่ยนแปลง รายชื่อคลาสและค่ามาตรวัด RFM แสดงดังตารางที่ 4.73

ตารางที่ 4.73 รายชื่อคลาส 1 คลาสของเจฮอตตรอว์ เวอร์ชัน 1 ที่ค่ามาตรวัด RFM เปลี่ยนแปลง

คลาส	มาตรวัด RFM	
	ก่อนทำ แอสเป็ก รีแฟคทอริง	หลังทำ แอสเป็ก รีแฟคทอริง
org.jhotdraw.draw.QuadTreeDrawing	51	52

- เจฮอตตรอว์ เวอร์ชัน 3 ปรับปรุงซอร์สโค้ดโดยจัดการเมทอดคอลชันทั้งหมด 9 ตำแหน่งด้วยแอสเป็ก พบว่าหลังทำแอสเป็กรีแฟคทอริงมีคลาส 9 คลาสที่มีค่ามาตรวัด RFM เปลี่ยนแปลง รายชื่อคลาสและค่ามาตรวัด RFM แสดงดังตารางที่ 4.74

ตารางที่ 4.74 รายชื่อคลาส 9 คลาสของเจฮอตตรอว์ เวอร์ชัน 3 ที่ค่ามาตรวัด RFM เปลี่ยนแปลง

คลาส	มาตรวัด RFM	
	ก่อนทำ แอสเป็ก รีแฟคทอริง	หลังทำ แอสเป็ก รีแฟคทอริง
org.jhotdraw.draw.action.GroupAction	33	34
org.jhotdraw.draw.BezierTool	52	55
org.jhotdraw.draw.CreationTool	39	41
org.jhotdraw.samples.odg.action.CombineAction	27	28
org.jhotdraw.samples.odg.action.SplitAction	27	28
org.jhotdraw.samples.odg.PathTool	14	16
org.jhotdraw.samples.svg.action.CombineAction	29	30
org.jhotdraw.samples.svg.action.SplitAction	27	28
org.jhotdraw.samples.svg.PathTool	14	16

- เจฮอตตรอว์ เวอร์ชัน 4 ปรับปรุงซอร์สโค้ดโดยจัดการเมทอดคอลชันทั้งหมด 12 ตำแหน่งด้วยแอสเป็ก กรณีนี้เป็นการจัดการเมทอดคอลที่เรียกใช้งานเมทอด ClearSelection() พบว่าหลังทำแอสเป็กรีแฟคทอริงมีคลาส 11 คลาสที่มีค่ามาตรวัด RFM เปลี่ยนแปลง รายชื่อคลาสและค่ามาตรวัด RFM แสดงดังตารางที่ 4.75

ตารางที่ 4.75 รายชื่อคลาส 11 คลาสของเจฮอตดรอว์ เวอร์ชัน 4 ที่ค่ามาตรวัด RFM เปลี่ยนแปลง

คลาส	มาตรวัด RFM	
	ก่อนทำ แอสเป็ก รีแฟคทอริง	หลังทำ แอสเป็ก รีแฟคทอริง
org.jhotdraw.draw.BezierTool	52	54
org.jhotdraw.draw.BidirectionalConnectionTool	68	69
org.jhotdraw.draw.ConnectionTool	58	59
org.jhotdraw.draw.CreationTool	39	40
org.jhotdraw.draw.DefaultDrawingView	145	146
org.jhotdraw.draw.DefaultDrawingViewTransferHandler	49	51
org.jhotdraw.draw.action.GroupAction	33	35
org.jhotdraw.samples.svg.action.CombineAction	29	31
org.jhotdraw.samples.svg.action.SplitAction	27	29
org.jhotdraw.samples.odg.action.CombineAction	27	29
org.jhotdraw.samples.odg.action.SplitAction	27	29

- เจฮอตดรอว์ เวอร์ชัน 5 ปรับปรุงซอร์สโค้ดโดยจัดการเมทอดคอลล์ซ้ำกันทั้งหมด 12 ตำแหน่งด้วยแอสเป็ก กรณีนี้เป็นการจัดการเมทอดคอลล์ที่เรียกใช้งานเมทอด RemoveAllChildren() พบว่าหลังทำแอสเป็กรีแฟคทอริงมีคลาส 1 คลาสที่มีค่ามาตรวัด RFM เปลี่ยนแปลง รายชื่อคลาสและค่ามาตรวัด RFM แสดงดังตารางที่ 4.76

ตารางที่ 4.76 รายชื่อคลาส 1 คลาสของเจฮอตดรอว์ เวอร์ชัน 5 ที่ค่ามาตรวัด RFM เปลี่ยนแปลง

คลาส	มาตรวัด RFM	
	ก่อนทำ แอสเป็ก รีแฟคทอริง	หลังทำ แอสเป็ก รีแฟคทอริง
org.jhotdraw.samples.odg.io.ODGInputFormat	96	97

- เจฮอตดรอว์ เวอร์ชัน 6 ปรับปรุงซอร์สโค้ดโดยจัดการเมทอดคอลล์ซ้ำกันทั้งหมด 13 ตำแหน่งด้วยแอสเป็ก พบว่าหลังทำแอสเป็กรีแฟคทอริงมีคลาส 6 คลาสที่มีค่ามาตรวัด RFM เปลี่ยนแปลง รายชื่อคลาสและค่ามาตรวัด RFM แสดงดังตารางที่ 4.77

ตารางที่ 4.77 รายชื่อคลาส 6 คลาสของเจฮอตดรอว์ เวอร์ชัน 6 ที่ค่ามาตรฐาน RFM เปลี่ยนแปลง

คลาส	มาตรฐาน RFM	
	ก่อนทำแอสเป็ก รีแฟคทอริง	หลังทำแอสเป็ก รีแฟคทอริง
org.jhotdraw.app.DefaultApplicationModel	21	23
org.jhotdraw.draw.DefaultDrawing	38	40
org.jhotdraw.draw.DefaultDrawingEditor	40	43
org.jhotdraw.draw.GridConstrainer	27	29
org.jhotdraw.draw.QuadTreeDrawing	51	53
org.jhotdraw.samples.odg.ODGDrawing	23	25

● เจฮอตดรอว์ เวอร์ชัน 7 ปรับปรุงซอร์สโค้ดโดยจัดการเมทอดคอลซ้ำกันทั้งหมด 15 ตำแหน่งด้วยแอสเป็ก พบว่าหลังทำแอสเป็กรีแฟคทอริงมีคลาส 10 คลาสที่มีค่ามาตรฐาน RFM เปลี่ยนแปลง รายชื่อคลาสและค่ามาตรฐาน RFM แสดงดังตารางที่ 4.78

ตารางที่ 4.78 รายชื่อคลาส 10 คลาสของเจฮอตดรอว์ เวอร์ชัน 7 ที่ค่ามาตรฐาน RFM เปลี่ยนแปลง

คลาส	มาตรฐาน RFM	
	ก่อนทำ แอสเป็ก รีแฟคทอริง	หลังทำ แอสเป็ก รีแฟคทอริง
org.jhotdraw.samples.draw.DrawingPanel	21	22
org.jhotdraw.samples.draw.DrawView	49	52
org.jhotdraw.samples.net.NetPanel	14	15
org.jhotdraw.samples.net.NetView	55	58
org.jhotdraw.samples.odg.ODGDrawingPanel	17	18
org.jhotdraw.samples.odg.ODGView	71	74
org.jhotdraw.samples.pert.PertPanel	14	15
org.jhotdraw.samples.pert.PertView	54	57
org.jhotdraw.samples.svg.SVGDrawingPanel	17	18
org.jhotdraw.samples.svg.SVGView	72	75

● เจฮอตดรอว์ เวอร์ชัน 8 ปรับปรุงซอร์สโค้ดโดยจัดการเมทอดคอลซ้ำกันทั้งหมด 18 ตำแหน่งด้วยแอสเป็ก พบว่าหลังทำแอสเป็กรีแฟคทอริงมีคลาส 12 คลาสที่มีค่ามาตรฐาน RFM เปลี่ยนแปลง รายชื่อคลาสและค่ามาตรฐาน RFM แสดงดังตารางที่ 4.79

ตารางที่ 4.79 รายชื่อคลาส 12 คลาสของเจฮอตดรอว์ เวอร์ชัน 8 ที่ค่ามาตรวัด RFM เปลี่ยนแปลง

คลาส	มาตรวัด RFM	
	ก่อนทำ แอสเป็ก รีแฟคทอริง	หลังทำ แอสเป็ก รีแฟคทอริง
org.jhotdraw.draw.ChopDiamondConnector	10	13
org.jhotdraw.draw.ChopRoundRectangleConnector	10	13
org.jhotdraw.draw.EllipseFigure	19	22
org.jhotdraw.draw.ImageFigure	51	54
org.jhotdraw.draw.RectangleFigure	17	20
org.jhotdraw.draw.RoundRectangleFigure	30	33
org.jhotdraw.draw.TriangleFigure	34	37
org.jhotdraw.samples.net.figures.NodeFigure	28	29
org.jhotdraw.samples.odg.figures.ODGPathFigure	92	95
org.jhotdraw.samples.svg.figures.SVGPathFigure	92	95
org.jhotdraw.samples.svg.figures.SVGTextAreaFigure	63	66
org.jhotdraw.samples.svg.figures.SVGTextFigure	69	72

- เจฮอตดรอว์ เวอร์ชัน 9 ปรับปรุงซอร์สโค้ดโดยจัดการเมทอดคอลซ้ากันทั้งหมด 21 ตำแหน่งด้วยแอสเป็ก พบว่าหลังทำแอสเป็กรีแฟคทอริงมีคลาส 2 คลาสที่มีค่ามาตรวัด RFM เปลี่ยนแปลง รายชื่อคลาสและค่ามาตรวัด RFM แสดงดังตารางที่ 4.80

ตารางที่ 4.80 รายชื่อคลาส 2 คลาสของเจฮอตดรอว์ เวอร์ชัน 9 ที่ค่ามาตรวัด RFM เปลี่ยนแปลง

คลาส	มาตรวัด RFM	
	ก่อนทำ แอสเป็ก รีแฟคทอริง	หลังทำ แอสเป็ก รีแฟคทอริง
org.jhotdraw.samples.svg.io.SVGOutputFormat	120	121
org.jhotdraw.samples.svg.io.ImageMapOutputFormat	61	62

- เจฮอตดรอว์ เวอร์ชัน 10 ปรับปรุงซอร์สโค้ดโดยจัดการเมทอดคอลซ้ากันทั้งหมด 29 ตำแหน่งด้วยแอสเป็ก พบว่าหลังทำแอสเป็กรีแฟคทอริงมีคลาส 14 คลาสที่มีค่ามาตรวัด RFM เปลี่ยนแปลง รายชื่อคลาสและค่ามาตรวัด RFM แสดงดังตารางที่ 4.81



ตารางที่ 4.81 รายชื่อคลาส 14 คลาสของเจฮอตดรอว์ เวอร์ชัน 10 ที่ค่ามาตรวัด RFM เปลี่ยนแปลง

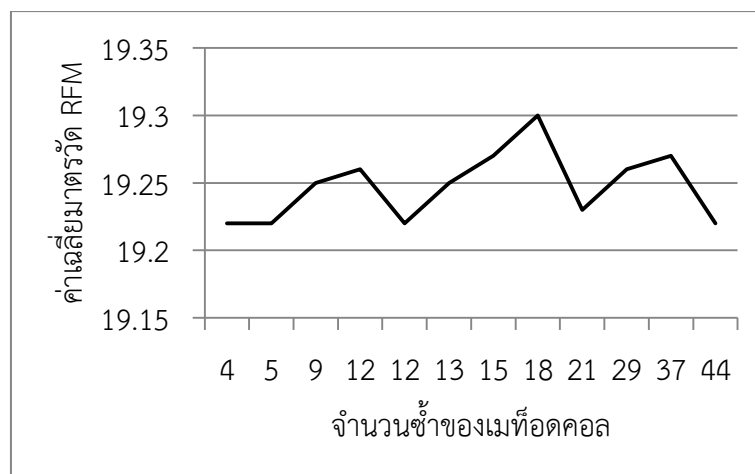
คลาส	มาตรวัด RFM	
	ก่อนทำ แอสเป็ก รีแฟคทอริง	หลังทำ แอสเป็ก รีแฟคทอริง
org.jhotdraw.draw.LabeledLineConnectionFigure	79	80
org.jhotdraw.draw.LineConnectionFigure	81	82
org.jhotdraw.samples.odg.figures.ODGPathFigure	92	93
org.jhotdraw.samples.svg.figures.SVGPathFigure	92	93
org.jhotdraw.draw.AttributeKey	26	27
org.jhotdraw.draw.BezierNodeHandle	55	56
org.jhotdraw.draw.BezierTool	52	54
org.jhotdraw.draw.ConnectionTool	58	60
org.jhotdraw.draw.CreationTool	39	41
org.jhotdraw.draw.FontSizeHandle	26	27
org.jhotdraw.samples.odg.figures.ODGRectRadiusHandle	28	29
org.jhotdraw.samples.svg.figures.SVGRectRadiusHandle	28	29
org.jhotdraw.draw.DragHandle	22	23
org.jhotdraw.draw.TextTool	37	38

● เจฮอตดรอว์ เวอร์ชัน 11 ปรับปรุงซอร์สโค้ดโดยจัดการเมทอดคอลซ้ำกันทั้งหมด 37 ตำแหน่งด้วยแอสเป็ก พบว่าหลังทำแอสเป็กรีแฟคทอริงมีคลาส 16 คลาสที่มีค่ามาตรวัด RFM เปลี่ยนแปลง รายชื่อคลาสและค่ามาตรวัด RFM แสดงดังตารางที่ 4.82

ตารางที่ 4.82 รายชื่อคลาส 16 คลาสของเจสอตตรอร์ เวอร์ชัน 11 ที่ค่ามาตรวัด RFM เปลี่ยนแปลง

คลาส	มาตรวัด RFM	
	ก่อนทำ แอสเป็ก รีแฟคทอริง	หลังทำ แอสเป็ก รีแฟคทอริง
org.jhotdraw.draw.LabeledLineConnectionFigure	79	80
org.jhotdraw.draw.LineConnectionFigure	81	82
org.jhotdraw.draw.LineFigure	14	15
org.jhotdraw.samples.odg.figures.ODGBezierFigure	26	27
org.jhotdraw.samples.odg.figures.ODGPathFigure	92	93
org.jhotdraw.samples.svg.figures.SVGBezierFigure	30	31
org.jhotdraw.samples.svg.figures.SVGPathFigure	92	93
org.jhotdraw.draw.AttributeKey	26	28
org.jhotdraw.draw.BezierNodeHandle	55	57
org.jhotdraw.draw.BezierTool	52	54
org.jhotdraw.draw.ConnectionTool	58	60
org.jhotdraw.draw.CreationTool	39	41
org.jhotdraw.draw.FontSizeHandle	26	27
org.jhotdraw.draw.TextInputFormat	16	17
org.jhotdraw.samples.odg.figures.ODGRectRadiusHandle	28	29
org.jhotdraw.samples.svg.figures.SVGRectRadiusHandle	28	29

การเปรียบเทียบระหว่างเจสอตตรอร์ทั้ง 12 เวอร์ชัน โดยนำค่าเฉลี่ยของมาตรวัด RFM จากข้อมูลสถิติเชิงพรรณนาของเจสอตตรอร์แต่ละเวอร์ชัน (ตารางที่ 4.19 – 4.30) มาเปรียบเทียบ แสดงด้วยกราฟดังรูปที่ 4.59 พบว่าการทำแอสเป็กรีแฟคทอริงเพื่อจัดการเมทอดคอลในจำนวนซ้ำที่แตกต่างกันไม่แสดงแนวโน้มของค่าเฉลี่ยมาตรวัด RFM โดยเจสอตตรอร์ เวอร์ชัน 1, 2, 5 และ 12 ที่จัดการเมทอดคอลซ้ำกัน 4, 5, 12 และ 44 ตำแหน่งตามลำดับ มีค่าเฉลี่ยมาตรวัด RFM ต่ำสุดเท่ากับ 19.22 ส่วนเจสอตตรอร์ เวอร์ชัน 8 ที่จัดการเมทอดคอลซ้ำกัน 18 ตำแหน่งมีค่าเฉลี่ยมาตรวัด RFM สูงสุดเท่ากับ 19.30



รูปที่ 4.59 ค่าเฉลี่ยของมาตรฐาน RFM ของเจสอตรอร์วอร์ชันที่จัดการจำนวนขั้วเมท้อดคอลแตกต่างกัน

นิยามมาตรฐาน RFM คล้ายกับนิยามมาตรฐาน RFC ของมาตรฐานเชิงวัตถุประสงค์ที่พิจารณาคلاسจากจำนวนเมท้อดทั้งหมดที่ทำงานเพื่อตอบสนองต่อคลาสเหมือนกัน แต่แตกต่างกันที่มาตรฐาน RFM มีนิยามเกี่ยวกับแอสเป็กเพิ่มเติม โดยเพิ่มการนับจำนวนแอดไวซ์ที่ทำงานเพิ่มเติมหรือแทนที่การทำงานของคลาส ดังนั้นมาตรฐาน RFM จึงพิจารณาคلاسจากการนับทั้งจำนวนเมท้อดและแอดไวซ์ทั้งหมดที่ทำงานเพื่อตอบสนองต่อคลาส โดยหลังทำแอสเป็กที่แพคทอริงพบว่าค่ามาตรฐาน RFM ของคลาสส่วนใหญ่มีค่ามาตรฐานเพิ่มขึ้น เนื่องจากก่อนทำแอสเป็กที่แพคทอริงภายในเจสอตรอร์วอร์ชันยังไม่มีแอสเป็ก ค่ามาตรฐาน RFM ของคลาสจึงพิจารณาแค่จำนวนเมท้อดที่ถูกเรียกใช้งานภายในคลาส แต่หลังทำแอสเป็กที่แพคทอริงภายในเจสอตรอร์วอร์ชันมีการสร้างแอสเป็กจึงทำให้ค่ามาตรฐาน RFM ของคลาสเพิ่มขึ้นจากจำนวนแอดไวซ์ภายในแอสเป็กที่เข้ามาขัดขวางการทำงานของคลาส ดังนั้นค่ามาตรฐาน RFM ของคลาสจะมีค่าเพิ่มขึ้นมากหรือน้อยขึ้นอยู่กับจำนวนแอดไวซ์ที่เข้ามาขัดขวางการทำงานของคลาส

ตัวอย่างการพิจารณาค่ามาตรฐาน RFM ของคลาส `ChopRoundRectangleConnector` ในเจสอตรอร์วอร์ชัน 8 เป็นการจัดการเมท้อดคอลที่เรียกใช้งานเมท้อด `grow()` ของคลาส `Geom` ด้วยแอสเป็ก จากรูปที่ 4.60 ในคลาสมีการเรียกใช้งานเมท้อด `grow()` ทั้งหมด 1 ตำแหน่ง โดยก่อนทำแอสเป็กที่แพคทอริง ค่ามาตรฐาน RFM ของคลาส `ChopRoundRectangleConnector` พิจารณาเพียงจำนวนเมท้อดที่ทำงานเพื่อตอบสนองต่อคลาส ซึ่งมีเมท้อดทั้งหมด 10 เมท้อด ค่ามาตรฐาน RFM ของคลาสจึงมีค่าเท่ากับ 10 สามารถแสดงรายชื่อเมท้อดทั้ง 10 เมท้อดได้ดังตารางที่ 4.83 และแสดงตำแหน่งของทั้ง 10 เมท้อดคอลภายในคลาส `ChopRoundRectangleConnector` ได้ดังรูปที่ 4.60 โดยมาตรฐาน RFM ไม่พิจารณาการเรียกใช้งานเมท้อดของคลาสซึ่งเป็นคลาสที่อยู่ภายในไลบรารีของจาวาดังเช่นเมท้อด `min()` และ `max()` ของคลาส `Math` เป็นต้น

```

public class ChopRoundRectangleConnector extends ChopRectangleConnector {
    public Rectangle2D.Double outer;
    public double grow;
    public Rectangle2D.Double inner;
    public ChopRoundRectangleConnector(Figure owner) { super(owner); }
    protected Point2D.Double chop(Figure target, Point2D.Double from) {
        target = getConnectorTarget(target);
        RoundRectangleFigure rrf = (RoundRectangleFigure) target;
        outer = rrf.getBounds();
        switch (STROKE_PLACEMENT.get(target)) {
            case CENTER :
            default :
                grow = AttributeKeys.getStrokeTotalWidth(target) / 2d;
                break;
            case OUTSIDE :
                grow = AttributeKeys.getStrokeTotalWidth(target);
                break;
            case INSIDE :
                grow = 0;
                break;
        }
        Geom.grow(outer, grow, grow);
        inner = (Rectangle2D.Double) outer.clone();
        double gw = -(rrf.getArcWidth()) + grow * 2) / 2;
        double gh = -(rrf.getArcHeight()) + grow * 2) / 2;
        inner.x -= gw;
        inner.y -= gh;
        inner.width += gw * 2;
        inner.height += gh * 2;
        double angle = Geom.pointToAngle(outer, from);
        Point2D.Double p = Geom.angleToPoint(outer, Geom.pointToAngle(outer, from));
        ...
    }
}

```

รูปที่ 4.60 คลาส ChopRoundRectangleConnector และตำแหน่งเม็ทอดคอลทั้งหมด

ตารางที่ 4.83 รายชื่อเมทอดที่ทำงานตอบสนองต่อคลาส ChopRoundRectangleConnector

ลำดับ	คลาส	เมทอด
1	AbstractConnector	getConnectorTarget(..)
2	RoundRectangleFigure	getBounds()
3	AttributeKey	get(Figure f)
4	AttributeKeys	getStrokeTotalWidth(..)
5	Geom	grow(..)
6	RectangularShape	clone()
7	RoundRectangleFigure	getArcWidth()
8	RoundRectangleFigure	getArcHeight()
9	Geom	pointToAngle(..)
10	Geom	angleToPoint(..)

หลังทำแอสเป็กริแพคทอริงเพื่อจัดการเมทอดคอลที่เรียกใช้งานเมทอด grow() ด้วยแอสเป็กริ แสดงแอสเป็กริดังรูปที่ 4.61 การพิจารณาค่ามาตรวัด RFM ของคลาส ChopRoundRectangle Connector หลังทำแอสเป็กริแพคทอริงจึงต้องพิจารณาทั้งจำนวนเมทอดและจำนวนแอดไวซ์ที่ทำงานเพื่อตอบสนองคลาส เนื่องจากเดิมมีเมทอดทั้งหมด 10 เมทอดที่ทำงานตอบสนองต่อคลาส แต่หลังจัดการเมทอดคอลที่เรียกใช้งานเมทอด grow() ออกจากคลาสและนำไปไว้ในแอสเป็กริแทน จึงทำให้จำนวนเมทอดที่ทำงานตอบสนองต่อคลาสเหลือ 9 เมทอด และเมื่อพิจารณาจำนวนแอดไวซ์ภายในแอสเป็กริที่เข้ามาขัดขวางการทำงานของคลาส ChopRoundRectangleConnector โดยมีแอดไวซ์ทั้งหมด 4 แอดไวซ์ ทำให้ผลรวมค่ามาตรวัด RFM ของคลาสมีค่าเท่ากับ 13 ส่งผลให้หลังทำแอสเป็กริแพคทอริงค่ามาตรวัด RFM มีค่าเพิ่มขึ้น

```

public aspect AspectGrow {
    private Rectangle2D.Double tmpR;
    private double tmpH;
    private double tmpV;
    pointcut collectR() : set(public * ChopRoundRectangleConnector.outer);
    after() : collectR(){
        Object tmp[] = thisJoinPoint.getArgs();
        tmpR = (Rectangle2D.Double)tmp[0];
    }
    pointcut collectH() : set(public * ChopRoundRectangleConnector.grow);
    after() : collectH(){
        Object tmp[] = thisJoinPoint.getArgs();
        tmpH = (Double)tmp[0];
    }
    pointcut tmpp3() : set(public * ChopRoundRectangleConnector.grow);
    after() : collectV(){
        Object tmp[] = thisJoinPoint.getArgs();
        tmpV = (Double)tmp[0];
    }
    pointcut growAction() : set(public * ChopRoundRectangleConnector.inner);
    before() : growAction(){
        Geom.grow(tmpR,tmpH,tmpV);
    }
}
}

```

รูปที่ 4.61 แอสเป็กต์สำหรับการจัดการเมทอดคอลภายในคลาส ChopRoundRectangleConnector

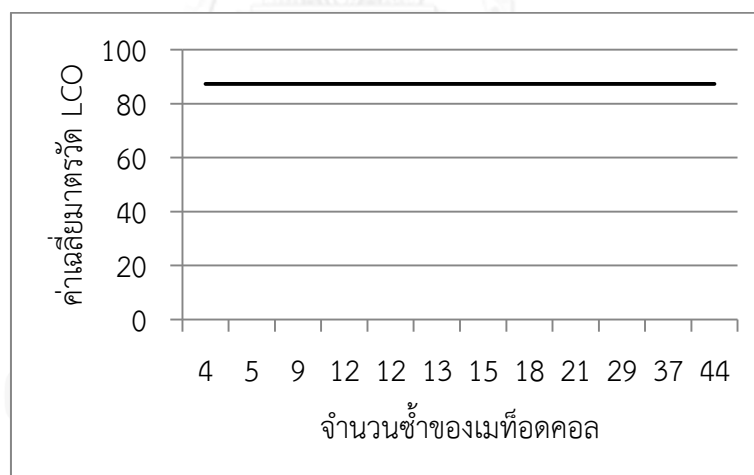
จากการเปรียบเทียบระหว่างเจสอตตรอร์ทั้ง 12 เวอร์ชัน พบว่าหลังทำแอสเป็กต์รีแฟกทอริ่ง เจสอตตรอร์ เวอร์ชัน 1, 2, 5 และ 12 มีค่าเฉลี่ยมาตรวัด RFM ต่ำสุด เนื่องจากเจสอตตรอร์ เวอร์ชัน 2 และ 12 ค่ามาตรวัด RFM ของคลาสมีค่าไม่เปลี่ยนแปลง ส่วนเจสอตตรอร์ เวอร์ชัน 1 และ 5 มีเพียงหนึ่งคลาสที่มีค่ามาตรวัด RFM เปลี่ยนแปลง เมื่อคำนวณค่าเฉลี่ยมาตรวัดจากจำนวนคลาสและแอสเป็กต์ทั้งหมดจึงทำให้ค่าเฉลี่ยมาตรวัด RFM มีค่าต่ำสุด แต่สำหรับเจสอตตรอร์ เวอร์ชัน 8 ที่มีค่าเฉลี่ยมาตรวัด RFM สูงสุด เนื่องจากภายในแอสเป็กต์มีการใช้แอดไวซ์ถึงสามแอดไวซ์เพื่อเก็บค่าตัวแปรอ็อบเจกต์ที่ต้องใช้ในเมทอดคอล และหนึ่งแอดไวซ์สำหรับกำหนดให้เมทอดคอลทำงานในตำแหน่งเดิมของคลาส ทำให้มีจำนวนแอดไวซ์ที่เข้าไปขัดขวางการทำงานของคลาสจำนวนมากเมื่อเทียบกับเจสอตตรอร์เวอร์ชันอื่นๆ ส่งผลให้ค่าเฉลี่ยมาตรวัด RFM มีค่าสูงตามเช่นกัน

จากตารางที่ 2.4 ความสัมพันธ์ระหว่างมาตรวัดเชิงแอสเป็กกับคุณภาพซอฟต์แวร์ ที่อ้างอิงจากงานวิจัยของ Sirbi และ Kulkarni (2013) โดยมาตรวัด RFM สามารถส่งผลกระทบต่อคุณภาพซอฟต์แวร์ 2 ด้าน ได้แก่ ความสามารถในการทำความเข้าใจและความสามารถการทดสอบ เนื่องจากผลการทำแอสเป็กที่แพคทอริงส่วนใหญ่แสดงค่ามาตรวัด RFM ของคลาสมีค่าเพิ่มขึ้นจากจำนวนแอสไวส์ของแอสเป็ก จึงส่งผลต่อคุณภาพซอฟต์แวร์ทั้งสองด้านทำให้การทำความเข้าใจและการทดสอบซอฟต์แวร์ทำได้ยากขึ้น

#### (10) แลคออฟโคฮีชันอินโอเปอร์เรชัน (Lack of Cohesion in Operations - LCO)

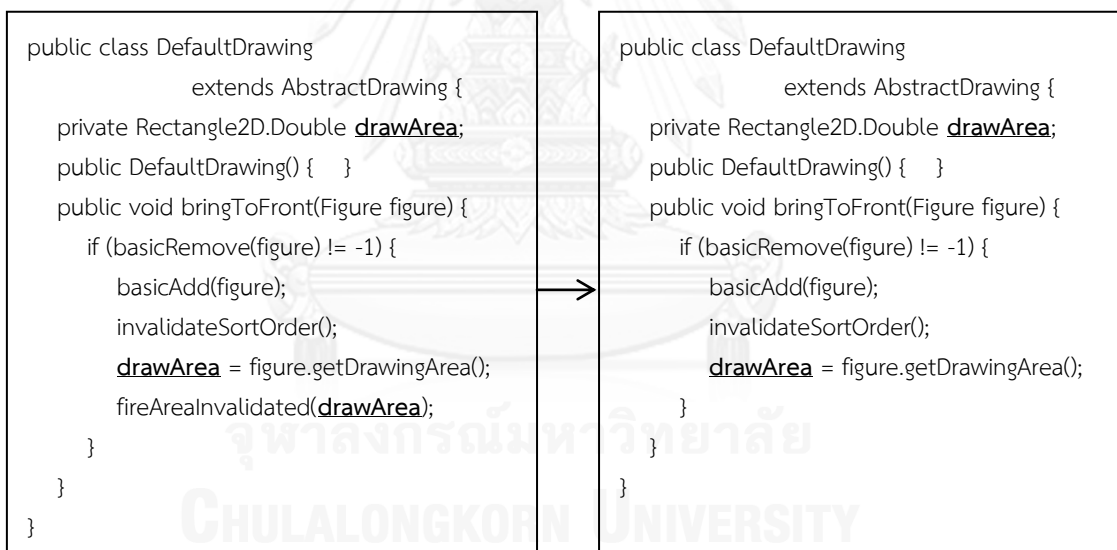
จากตารางที่ 4.47 แสดงการเปรียบเทียบเจสอตตรอร์ทั้ง 12 เวอร์ชันกับเจสอตตรอร์ เวอร์ชัน 7.1 ซึ่งเป็นซอฟต์แวร์ดั้งเดิม โดยพิจารณาเฉพาะคลาส พบว่าหลังทำแอสเป็กที่แพคทอริงค่ามาตรวัด LCO ของคลาสทั้งหมดในเจสอตตรอร์ทั้ง 12 เวอร์ชันมีค่าไม่เปลี่ยนแปลง และจากตารางที่ 4.48 พบว่าค่ามาตรวัด LCO ของแอสเป็กในเจสอตตรอร์ทั้ง 12 เวอร์ชันมีค่าเท่ากับ 0 จึงมีค่าต่ำกว่าค่าเฉลี่ยมาตรวัด LCO ที่คำนวณจากคลาสทั้ง 442 คลาส

ผลการเปรียบเทียบระหว่างเจสอตตรอร์ทั้ง 12 เวอร์ชันจึงให้ผลเช่นเดียวกัน โดยนำค่าเฉลี่ยของมาตรวัด LCO จากข้อมูลสถิติเชิงพรรณนาของเจสอตตรอร์แต่ละเวอร์ชัน (ตารางที่ 4.19 – 4.30) มาเปรียบเทียบ แสดงด้วยกราฟดังรูปที่ 4.62 พบว่าการทำแอสเป็กที่แพคทอริงจัดการเมที่อดคอลลในจำนวนซ้ำของเมที่อดคอลลที่แตกต่างกันไม่ส่งผลให้ค่ามาตรวัด LCO เกิดการเปลี่ยนแปลง โดยค่าเฉลี่ยของมาตรวัด LCO มีค่าคงเดิมเท่ากับ 87.26



รูปที่ 4.62 ค่าเฉลี่ยของมาตรวัด LCO ของเจสอตตรอร์แต่ละเวอร์ชันที่จัดการจำนวนซ้ำเมที่อดคอลลแตกต่างกัน

มาตรวัด LCO พิจารณาค่าของโอเปอเรชั่นที่เข้าถึงฟิลด์ของคลาสและแอสเป็กต์ต่างกัันหักลบกับจำนวนคู่ของโอเปอเรชั่นที่เข้าถึงฟิลด์เดียวกัน หากโอเปอเรชั่นส่วนใหญ่เข้าถึงฟิลด์เดียวกันแสดงว่าโอเปอเรชั่นทั้งหมดในคลาสมีความเกี่ยวข้องกันมาก โดยนิยามของมาตรวัด LCO เหมือนกันกับนิยามของมาตรวัด LCOM ของมาตรวัดเชิงวัตถุ ดังนั้นแนวโน้มของกราฟค่าเฉลี่ยของมาตรวัด LCO และมาตรวัด LCOM จากการเปรียบเทียบระหว่างเจสอตตรอร์ทั้ง 12 เวอร์ชันจึงคล้ายกัน คือค่าเฉลี่ยของเวอร์ชันเจสอตตรอร์ส่วนใหญ่มีค่าเฉลี่ยของมาตรวัดคงที่ เพราะหลังทำแอสเป็กต์ทอริงไม่มีคลาสที่มีค่ามาตรวัดเปลี่ยนแปลง เนื่องจากการจัดการเมทอดคอลด้วยแอสเป็กต์เมทอดคอลที่จัดการมีการเข้าถึงฟิลด์คลาส แต่หลังจัดการเมทอดคอลออกจากคลาสและตรวจสอบภายในคลาสพบว่ายังคงมีตำแหน่งอื่นของเมทอดที่เข้าถึงฟิลด์เดียวกัน การจัดการเมทอดคอลด้วยแอสเป็กต์จึงไม่ส่งผลให้การเข้าถึงฟิลด์คลาสระหว่างเมทอดเปลี่ยนแปลง ค่ามาตรวัด LCO ของคลาสจึงมีค่าคงเดิม ดังรูปที่ 4.63 แสดงตัวอย่างคลาส DefaultDrawing ที่ภายในเมทอด bringToFront มีการเรียกใช้งานเมทอด fireAreaInvalidated() ที่ต้องการจัดการด้วยแอสเป็กต์ โดยเมทอดคอลมีการเข้าถึงฟิลด์ของคลาสคือฟิลด์ drawArea แต่หลังจากการทำแอสเป็กต์ทอริง ตำแหน่งอื่นภายในเมทอด bringToFront ยังคงมีการเข้าถึงฟิลด์ drawArea ส่งผลให้ค่ามาตรวัด LCO ของคลาสหลังทำแอสเป็กต์ทอริงยังมีค่าคงเดิม เพราะการเข้าถึงฟิลด์ของคลาสระหว่างเมทอดไม่เปลี่ยนแปลง



รูปที่ 4.63 คลาส DefaultDrawing ก่อนและหลังการทำแอสเป็กต์ทอริง

แต่สำหรับเจสอตตรอร์ เวอร์ชัน 12 เป็นเวอร์ชันเดียวที่ค่าเฉลี่ยของมาตรวัด LCO ให้ผลไม่เหมือนกับมาตรวัด LCOM ของมาตรวัดเชิงวัตถุ คือเมื่อพิจารณาด้วยมาตรวัด LCO แสดงให้เห็นว่าหลังทำแอสเป็กต์ทอริงไม่มีคลาสที่มีค่ามาตรวัด LCO เปลี่ยนแปลง ขณะที่พิจารณาด้วยมาตรวัด LCOM มีคลาส 3 คลาสที่มีค่ามาตรวัด LCOM เปลี่ยนแปลง ข้อแตกต่างดังกล่าวเกิดจากหลักการเก็บค่ามาตรวัดที่แตกต่างกันของเครื่องมือ เนื่องจากเจสอตตรอร์ เวอร์ชัน 12 ภายในซอร์สโค้ดมีตำแหน่งของเมทอดคอลที่ต้องการจัดการด้วยแอสเป็กต์ โดยตำแหน่งของเมทอดคอลอยู่ในคอนสตรัคเตอร์ของคลาส โดยการเก็บค่ามาตรวัด LCO ของคลาสด้วยเครื่องมือเอโอพีเมตริก (AOPMetrics) จะพิจารณาการเข้าถึงฟิลด์คลาสระหว่างเมทอดเท่านั้น โดยไม่พิจารณาการเข้าถึงฟิลด์คลาสที่มาจาก



คอนสตรัคเตอร์ ดังนั้นหลังจัดการเมทอดคอลดังกล่าวด้วยแอสเป็ก จึงไม่ส่งผลให้การเข้าถึงฟิลด์คลาสระหว่างเมทอดเปลี่ยนแปลง ค่ามาตรวัด LCO ของคลาสหลังทำแอสเป็กรีแฟคทอริงจึงมีค่าคงเดิม ขณะที่การเก็บค่ามาตรวัด LCOM ของคลาสด้วยเครื่องมือซีเคเจเอ็ม (CKJM) จะพิจารณาการเข้าถึงฟิลด์คลาสที่มาจากทั้งในคอนสตรัคเตอร์และเมทอดของคลาส ดังนั้นหลังจัดการเมทอดคอลดังกล่าวด้วยแอสเป็ก จึงส่งผลให้การเข้าถึงฟิลด์คลาสระหว่างเมทอดและคอนสตรัคเตอร์เปลี่ยนแปลง หลังทำแอสเป็กรีแฟคทอริงค่ามาตรวัด LCOM ของคลาสจึงมีค่าเพิ่มขึ้น

#### 4.6 การอภิปรายผลและการศึกษาเพิ่มเติม

จากการทำแอสเป็กรีแฟคทอริงปรับปรุงซอร์สโค้ดของซอฟต์แวร์เจฮอตตรอว์ เวอร์ชัน 7.1 เพื่อศึกษาผลคุณภาพซอฟต์แวร์เมื่อจัดการจำนวนซ้ำของเมทอดคอลด้วยแอสเป็กในจำนวนซ้ำที่แตกต่างกัน โดยประเมินด้วยสองชุดมาตรวัด ได้แก่ มาตรวัดเชิงวัตถุและมาตรวัดเชิงแอสเป็ก สามารถอภิปรายผลได้ดังนี้

การเปรียบเทียบผลมาตรวัดเชิงวัตถุทั้ง 6 มาตรวัดของเจฮอตตรอว์ที่ปรับปรุงซอร์สโค้ดโดยการทำแอสเป็กรีแฟคทอริงเพื่อจัดการเมทอดคอลในจำนวนซ้ำที่แตกต่างกันด้วยแอสเป็ก มาตรวัดที่ได้รับผลกระทบโดดเด่นจากการทำแอสเป็กรีแฟคทอริงมีเพียงสองมาตรวัด ได้แก่

- คัพปลิงบิทวินอ็อบเจกต์คลาส (Coupling Between Object classes - CBO)

จากเจฮอตตรอว์ทั้งหมดมีเพียง 2 เวอร์ชันที่ค่ามาตรวัด CBO ของคลาสมีค่ามาตรวัดลดลง โดยจากการวิเคราะห์พบว่าปัจจัยที่ส่งผลให้ค่ามาตรวัดลดลงไม่ได้มีสาเหตุมาจากการจัดการเมทอดคอลในจำนวนซ้ำที่น้อยหรือมากด้วยแอสเป็ก แต่ปัจจัยที่ส่งผลให้ค่ามาตรวัด CBO ลดลงคือลักษณะเมทอดคอล โดยจากการทดลองในงานวิจัยนี้พบว่าลักษณะเมทอดคอลที่เรียกใช้งานเมทอดผ่านชื่อคลาสโดยตรงหรือเรียกใช้งานเมทอดผ่านตัวแปรอ็อบเจกต์ของคลาสแม่ ทั้งสองลักษณะเมทอดคอลเมื่อนำแอสเป็กมาใช้จัดการเมทอดคอลจะส่งผลให้ค่ามาตรวัด CBO ของคลาสมีค่าลดลง และจากความสัมพันธ์ระหว่างมาตรวัดและคุณภาพซอฟต์แวร์ พบว่าหากซอฟต์แวร์มีการขึ้นต่อกันระหว่างคลาสที่น้อยจะช่วยปรับปรุงคุณภาพด้านความสามารถในการทำความเข้าใจ ความสามารถการบำรุงรักษา ความสามารถการนำกลับมาใช้ใหม่ และความสามารถการทดสอบ ดังนั้นเมื่อพิจารณาด้วยมาตรวัด CBO การทำแอสเป็กรีแฟคทอริงเพื่อจัดการเมทอดคอลซ้ำกันด้วยแอสเป็ก การพิจารณาลักษณะเมทอดคอลที่เหมาะสมก่อนการทำแอสเป็กรีแฟคทอริงจะสามารถช่วยปรับปรุงคุณภาพของซอฟต์แวร์ได้ในหลายด้าน

- เรสปอนซ์ฟอร์อะคลาส (Response For a Class - RFC)

จากผลข้อมูลมาตรวัด RFC แสดงให้เห็นว่าการทำแอสเป็กรีแฟคทอริงเพื่อจัดการเมทอดคอลซ้ำกันด้วยแอสเป็กส่งผลโดยตรงต่อค่ามาตรวัด RFC เนื่องจากเจฮอตตรอว์ทั้ง 12 เวอร์ชัน มีคลาสที่มีค่ามาตรวัด RFC ลดลง โดยปัจจัยที่สามารถส่งผลให้ค่ามาตรวัด RFC มีค่าลดลงคือจำนวนซ้ำของเมทอดคอลและจำนวนคลาสที่สามารถจัดการเมทอดคอลซ้ำกันทั้งหมดด้วยแอสเป็ก โดยจากการทดลองในงานวิจัยนี้พบว่าค่าเฉลี่ยมาตรวัด RFC ของซอฟต์แวร์จะมีค่าลดลงมากหลังทำแอสเป็กรีแฟคทอริง หากมีจำนวนซ้ำของเมทอดที่ต้องการจัดการด้วยแอสเป็กในจำนวนซ้ำที่มากและเมทอดคอลที่ซ้ำกันมีตำแหน่งกระจายอยู่ภายในคลาสจำนวนที่มากด้วยเช่นกัน เมื่อจัดการเมทอดคอล

ทั้งหมดด้วยแอสเป็กต์จึงส่งผลให้มีคลาสจำนวนมากที่มีค่ามาตรวัด RFC ลดลง และทำให้ค่าเฉลี่ยมาตรวัด RFC ของซอฟต์แวร์ลดลงด้วย จากความสัมพันธ์ระหว่างมาตรวัดและคุณภาพซอฟต์แวร์ พบว่าหากสามารถลดการเรียกใช้งานเมทอดอื่นๆจากภายในคลาสได้มากจะช่วยปรับปรุงคุณภาพด้านความสามารถในการทำความเข้าใจและความสามารถการทดสอบของซอฟต์แวร์ ดังนั้นการทำแอสเป็กต์แพคทอริงโดยจัดการเมทอดคอลที่มีจำนวนซ้ำของเมทอดคอลมากและมีตำแหน่งเมทอดคอลกระจายอยู่หลายคลาส การนำแอสเป็กต์มาใช้พัฒนาจะสามารถช่วยปรับปรุงคุณภาพซอฟต์แวร์ทั้งสองด้านได้

การเปรียบเทียบค่ามาตรวัดเชิงแอสเป็กต์ทั้ง 10 มาตรวัดของเจฮอตตรอว์ที่ปรับปรุงซอร์สโค้ดโดยการทำแอสเป็กต์แพคทอริงเพื่อจัดการเมทอดคอลในจำนวนซ้ำที่แตกต่างกันด้วยแอสเป็กต์ มาตรวัดที่ได้รับผลกระทบโดดเด่นจากการทำแอสเป็กต์แพคทอริงมีดังนี้

- เวทเทตโอเปอร์เรชันอินมอดูล (Weighted Operations in Module - WOM)

ผลจากการทำแอสเป็กต์แพคทอริงไม่ส่งผลกระทบต่อค่ามาตรวัด WOM ของคลาส แต่จากการทำแอสเป็กต์แพคทอริงทำให้มีแอสเป็กต์เป็นส่วนที่สร้างขึ้นใหม่ ค่าเฉลี่ยมาตรวัด WOM ของซอฟต์แวร์จึงมีค่าเพิ่มขึ้นจากจำนวนแอดไวซ์ที่อิมพลีเมนต์ภายในแอสเป็กต์ ปัจจัยที่ส่งผลต่อค่ามาตรวัด WOM จึงไม่ใช่จำนวนซ้ำของเมทอดคอลแต่เป็นจำนวนแอดไวซ์ที่อิมพลีเมนต์ภายในแอสเป็กต์ จากผลค่ามาตรวัด WOM ของแอสเป็กต์อาจส่งผลต่อคุณภาพซอฟต์แวร์ทำให้มีความซับซ้อนภายในซอฟต์แวร์มากขึ้นและการบำรุงรักษาซอฟต์แวร์ทำได้ยากขึ้น

- คัพปลิงออนเมทอดคอล (Coupling on Method Call - CMC) และคัพปลิงบีทวินมอดูล (Coupling between Modules - CBM)

เนื่องจากทั้งสองมาตรวัดเป็นมาตรวัดที่เกี่ยวข้องกับคัพปลิง โดยมีส่วนของการพิจารณาความสัมพันธ์ระหว่างคลาสที่เหมือนกันคือ พิจารณาความสัมพันธ์ระหว่างคลาสที่เกิดจากการเรียกใช้งานเมทอด ดังนั้นผลจากการทำแอสเป็กต์แพคทอริงจึงกระทบต่อค่ามาตรวัดบางคลาสของเจฮอตตรอว์ โดยมีเพียงเจฮอตตรอว์ 4 เวอร์ชันเท่านั้นที่ค่ามาตรวัด CMC และ CBM ของบางคลาสนี้อาจลดลง ปัจจัยที่ส่งผลให้มาตรวัดมีค่าลดลงไม่ได้เกิดจากจำนวนซ้ำของเมทอดคอลที่แตกต่างกัน แต่ปัจจัยที่ส่งผลคือลักษณะเมทอดคอล โดยจากการทดลองของงานวิจัยนี้พบว่าลักษณะเมทอดคอลที่เรียกใช้งานเมทอดผ่านชื่อคลาสโดยตรง เมื่อจัดการเมทอดคอลด้วยแอสเป็กต์สามารถลดความสัมพันธ์ระหว่างคลาสได้ และส่งผลให้คุณภาพซอฟต์แวร์ด้านความสามารถการบำรุงรักษาและความสามารถการนำกลับมาใช้ใหม่ปรับปรุงดีขึ้น

- ครอสคัทดีกรีออฟแอสเป็กต์ (Crosscutting Degree of an Aspect - CDA) และคัพปลิงออนแอดไวซ์เอ็กซีคิวชัน (Coupling on Advice Execution - CAE)

เนื่องจากการทำแอสเป็กต์แพคทอริงของเจฮอตตรอว์แต่ละเวอร์ชันจะใช้แอสเป็กต์เพียง 1 แอสเป็กต์จึงทำให้ค่าเฉลี่ยระหว่างมาตรวัด CDA และมาตรวัด CAE มีค่าเท่ากันเมื่อเปรียบเทียบระหว่างเจฮอตตรอว์ทั้ง 12 เวอร์ชัน มาตรวัด CDA ใช้วัดแอสเป็กต์โดยพิจารณาจำนวนคลาสที่แอสเป็กต์สามารถเข้าไปขัดขวางการทำงาน ขณะที่มาตรวัด CAE ใช้วัดคลาสจากจำนวนแอสเป็กต์ที่เข้ามาขัดขวางการทำงาน และเนื่องจากเจฮอตตรอว์แต่ละเวอร์ชันจะสร้างแอสเป็กต์เพียง 1 แอสเป็กต์ ผลรวมค่ามาตรวัด CAE ของคลาสทั้งหมดในเจฮอตตรอว์จึงมีค่าเท่ากับค่ามาตรวัด CDA ของแอสเป็กต์ ทำให้

ปัจจัยที่ส่งผลต่อมาตรวัดทั้งสองมาตรวัดไม่ใช่จำนวนซ้ำของเมทอดคอล แต่เป็นจำนวนคลาสที่แอสเป็กสามารถเข้าไปขัดขวางการทำงาน จากการพิจารณาผลของการทำแอสเป็กรีแฟคทอริงด้วยมาตรวัด CDA และ CAE ต่อคุณภาพซอฟต์แวร์ เนื่องจากยังไม่พบงานวิจัยที่แสดงผลทั้งสองมาตรวัดต่อคุณภาพจึงไม่สามารถสรุปได้

- เรสปอนซ์ฟอร์อะมอดูล (Response For a Module - RFM)

ผลจากการทำแอสเป็กรีแฟคทอริงส่วนใหญ่พบว่าค่ามาตรวัด RFM ของคลาสที่จัดการเมทอดคอลด้วยแอสเป็กส่วนใหญ่มีค่ามาตรวัดเพิ่มขึ้น โดยปัจจัยที่ส่งผลต่อค่ามาตรวัด RFM ไม่ใช่จำนวนซ้ำของเมทอดคอล แต่เป็นจำนวนแอดไวซ์ที่สามารถเข้าไปขัดขวางการทำงานของคลาส ส่งผลให้หลังทำแอสเป็กรีแฟคทอริงค่าเฉลี่ยมาตรวัด RFM ของเจฮอตตรอว์มีค่าเพิ่มขึ้น จากผลค่ามาตรวัด RFM อาจส่งผลต่อคุณภาพซอฟต์แวร์ด้านความสามารถในการทำความเข้าใจและความสามารถทดสอบ

ดังนั้นจากผลการวิเคราะห์มาตรวัดเชิงวัตถุพบว่าการจัดการเมทอดคอลในจำนวนซ้ำที่แตกต่างกันด้วยแอสเป็ก มีปัจจัยอื่นๆเพิ่มเติมที่ส่งผลต่อค่ามาตรวัด โดยมาตรวัดคัพปลิงบิทวินอ็อบเจกต์คลาส (Coupling Between Object classes - CBO) พบว่าลักษณะเมทอดคอลเป็นปัจจัยที่ส่งผลต่อค่ามาตรวัด และมาตรวัดเรสปอนซ์ฟอร์อะคลาส (Response For a Class - RFC) พบว่าจำนวนคลาสที่สามารถจัดการเมทอดคอลทั้งหมดด้วยแอสเป็กเป็นปัจจัยนอกเหนือจากจำนวนซ้ำของเมทอดคอลที่ส่งผลต่อค่ามาตรวัด โดยทั้งสองมาตรวัดแสดงผลค่ามาตรวัดของคลาสที่มีค่าลดลงและปรับปรุงคุณภาพซอฟต์แวร์ ผู้วิจัยจึงนำมาศึกษาและอธิบายรายละเอียดเพิ่มเติม ขณะที่ผลการวิเคราะห์มาตรวัดเชิงแอสเป็กในการจัดการเมทอดคอลที่มีจำนวนซ้ำแตกต่างกันด้วยแอสเป็ก พบว่าปัจจัยที่ส่งผลต่อค่ามาตรวัดไม่ได้เกิดจากจำนวนซ้ำของเมทอดคอล และเนื่องจากมาตรวัดเชิงแอสเป็กเป็นชุดมาตรวัดที่ปรับปรุงมาจากมาตรวัดเชิงวัตถุ โดยในการทำแอสเป็กรีแฟคทอริง บางมาตรวัดของมาตรวัดเชิงแอสเป็กแสดงผลค่ามาตรวัดและคุณภาพซอฟต์แวร์สอดคล้องกับมาตรวัดเชิงวัตถุ และบางมาตรวัดของมาตรวัดเชิงแอสเป็กแสดงผลค่ามาตรวัดและคุณภาพซอฟต์แวร์ขัดแย้งกับมาตรวัดเชิงวัตถุ ดังนั้นผู้วิจัยจึงศึกษาและอธิบายรายละเอียดเพิ่มเติมเพื่อเปรียบเทียบผลค่ามาตรวัดและคุณภาพซอฟต์แวร์ระหว่างมาตรวัดเชิงวัตถุและมาตรวัดเชิงแอสเป็ก การศึกษาเพิ่มเติมมีรายละเอียดดังนี้

#### 4.6.1 ปัจจัยที่ส่งผลต่อค่ามาตรวัดเรสปอนซ์ฟอร์อะคลาสจากการทำแอสเป็กรีแฟคทอริง

จากผลการวิเคราะห์มาตรวัดเรสปอนซ์ฟอร์อะคลาส (Response For a Class - RFC) พบว่าการทำแอสเป็กรีแฟคทอริง โดยจัดการเมทอดคอลที่ซ้ำกันมากกว่า 29 ตำแหน่ง ค่าเฉลี่ยมาตรวัด RFC มีแนวโน้มลดลง นอกจากนี้ยังพบปัจจัยที่ส่งผลให้ค่าเฉลี่ยมาตรวัด RFC มีค่าลดลง โดยหากเมทอดคอลที่ซ้ำกันมีตำแหน่งของเมทอดคอลกระจายอยู่ภายในคลาสจำนวนมาก และสามารถจัดการเมทอดคอลทั้งหมดออกจากคลาสได้ในจำนวนคลาสที่มากขึ้น จะทำให้ค่าเฉลี่ยมาตรวัด RFC มีค่าลดลงมาก ดังนั้นอาจกล่าวได้ว่าค่าเฉลี่ยมาตรวัด RFC จะมีค่าลดลงมากหรือน้อยขึ้นอยู่กับจำนวนคลาสที่สามารถจัดการเมทอดคอลทั้งหมดด้วยแอสเป็กได้ ดังนั้นผู้วิจัยจึงตั้งสมมติฐานเพื่อพิสูจน์ข้อค้นพบดังกล่าวคือ การเปรียบเทียบค่ามาตรวัด RFC ของเจฮอตตรอว์ที่ปรับปรุงด้วยการทำแอสเป็กรีแฟคทอริงโดยมีจำนวนคลาสที่สามารถจัดการเมทอดคอลทั้งหมดด้วยแอสเป็กแตกต่างกัน

ผู้วิจัยจึงนำเวอร์ชันของเจฮอตตรอร์มาจัดเรียงตามจำนวนคลาสที่สามารถจัดการเมทีอดคอลทั้งหมดด้วยแอสเป็ก โดยเรียงจากจำนวนคลาสน้อยไปยังจำนวนมากดังตารางที่ 4.84

ตารางที่ 4.84 เวอร์ชันของเจฮอตตรอร์จัดเรียงตามจำนวนคลาสที่สามารถจัดการเมทีอดคอลซ้ำกันทั้งหมดด้วยแอสเป็ก

เจฮอตตรอร์	จำนวนซ้ำของเมทีอดคอล	จำนวนคลาสที่สามารถจัดการเมทีอดคอลทั้งหมด
เวอร์ชัน 9	21	0
เวอร์ชัน 1	4	2
เวอร์ชัน 4	12	4
เวอร์ชัน 2	5	5
เวอร์ชัน 6	13	5
เวอร์ชัน 5	12	8
เวอร์ชัน 3	9	9
เวอร์ชัน 7	15	10
เวอร์ชัน 8	18	12
เวอร์ชัน 10	29	14
เวอร์ชัน 11	37	21
เวอร์ชัน 12	44	43

การเปรียบเทียบค่ามาตรวัด RFC หลังทำแอสเป็กกรีแพคทอริงของเจฮอตตรอร์ที่มีจำนวนคลาสที่สามารถจัดการเมทีอดคอลทั้งหมดด้วยแอสเป็กแตกต่างกัน สามารถตั้งสมมติฐานได้ดังนี้ กำหนดให้

I และ J คือ จำนวนคลาสที่สามารถจัดการเมทีอดคอลด้วยแอสเป็กแสดงดังตารางที่ 4.84 ข้างต้น โดย  $I < J$  และ  $I \neq J$

$\mu_1$  คือค่ามาตรวัด RFC รายคลาสหลังทำแอสเป็กกรีแพคทอริงของเจฮอตตรอร์ที่สามารถจัดการคลาสทั้งหมด I คลาส

$\mu_2$  คือค่ามาตรวัด RFC รายคลาสหลังทำแอสเป็กกรีแพคทอริงของเจฮอตตรอร์ที่สามารถจัดการคลาสทั้งหมด J คลาส

$$H_0 : \mu_i \leq \mu_j$$

$$H_1 : \mu_i > \mu_j$$

ตารางที่ 4.85 สมมติฐานของการเปรียบเทียบค่ามาตรฐาน RFC หลังทำแอสเป็กทีฟทอริง  
ที่มีจำนวนคลาสที่สามารถจัดการด้วยแอสเป็กที่แตกต่างกัน

j i		จำนวนคลาสที่สามารถจัดการด้วยแอสเป็ก						
		0	2	4	5	5	8	9
จำนวนคลาสที่สามารถจัดการด้วยแอสเป็ก	0		$H_0 : \mu_i \leq \mu_j$ $H_1 : \mu_i > \mu_j$	$H_0 : \mu_i \leq \mu_j$ $H_1 : \mu_i > \mu_j$	$H_0 : \mu_i \leq \mu_j$ $H_1 : \mu_i > \mu_j$	$H_0 : \mu_i \leq \mu_j$ $H_1 : \mu_i > \mu_j$	$H_0 : \mu_i \leq \mu_j$ $H_1 : \mu_i > \mu_j$	$H_0 : \mu_i \leq \mu_j$ $H_1 : \mu_i > \mu_j$
	2			$H_0 : \mu_i \leq \mu_j$ $H_1 : \mu_i > \mu_j$	$H_0 : \mu_i \leq \mu_j$ $H_1 : \mu_i > \mu_j$	$H_0 : \mu_i \leq \mu_j$ $H_1 : \mu_i > \mu_j$	$H_0 : \mu_i \leq \mu_j$ $H_1 : \mu_i > \mu_j$	$H_0 : \mu_i \leq \mu_j$ $H_1 : \mu_i > \mu_j$
	4				$H_0 : \mu_i \leq \mu_j$ $H_1 : \mu_i > \mu_j$	$H_0 : \mu_i \leq \mu_j$ $H_1 : \mu_i > \mu_j$	$H_0 : \mu_i \leq \mu_j$ $H_1 : \mu_i > \mu_j$	$H_0 : \mu_i \leq \mu_j$ $H_1 : \mu_i > \mu_j$
	5					$H_0 : \mu_i \leq \mu_j$ $H_1 : \mu_i > \mu_j$	$H_0 : \mu_i \leq \mu_j$ $H_1 : \mu_i > \mu_j$	$H_0 : \mu_i \leq \mu_j$ $H_1 : \mu_i > \mu_j$
	5						$H_0 : \mu_i \leq \mu_j$ $H_1 : \mu_i > \mu_j$	$H_0 : \mu_i \leq \mu_j$ $H_1 : \mu_i > \mu_j$
	8							$H_0 : \mu_i \leq \mu_j$ $H_1 : \mu_i > \mu_j$
	9							
	10							
	12							
	14							
	21							
43								

ตารางที่ 4.85 สมมติฐานของการเปรียบเทียบค่ามาตรฐาน RFC หลังทำแอสเป็กกรีแพคทอริง  
ที่มีจำนวนคลาสที่สามารถจัดการด้วยแอสเป็กแตกต่างกัน (ต่อ)

		จำนวนคลาสที่สามารถจัดการด้วยแอสเป็ก				
		10	12	14	21	43
จำนวนคลาสที่สามารถจัดการด้วยแอสเป็ก	0	$H_0 : \mu_i \leq \mu_j$ $H_1 : \mu_i > \mu_j$	$H_0 : \mu_i \leq \mu_j$ $H_1 : \mu_i > \mu_j$	$H_0 : \mu_i \leq \mu_j$ $H_1 : \mu_i > \mu_j$	$H_0 : \mu_i \leq \mu_j$ $H_1 : \mu_i > \mu_j$	$H_0 : \mu_i \leq \mu_j$ $H_1 : \mu_i > \mu_j$
	2	$H_0 : \mu_i \leq \mu_j$ $H_1 : \mu_i > \mu_j$	$H_0 : \mu_i \leq \mu_j$ $H_1 : \mu_i > \mu_j$	$H_0 : \mu_i \leq \mu_j$ $H_1 : \mu_i > \mu_j$	$H_0 : \mu_i \leq \mu_j$ $H_1 : \mu_i > \mu_j$	$H_0 : \mu_i \leq \mu_j$ $H_1 : \mu_i > \mu_j$
	4	$H_0 : \mu_i \leq \mu_j$ $H_1 : \mu_i > \mu_j$	$H_0 : \mu_i \leq \mu_j$ $H_1 : \mu_i > \mu_j$	$H_0 : \mu_i \leq \mu_j$ $H_1 : \mu_i > \mu_j$	$H_0 : \mu_i \leq \mu_j$ $H_1 : \mu_i > \mu_j$	$H_0 : \mu_i \leq \mu_j$ $H_1 : \mu_i > \mu_j$
	5	$H_0 : \mu_i \leq \mu_j$ $H_1 : \mu_i > \mu_j$	$H_0 : \mu_i \leq \mu_j$ $H_1 : \mu_i > \mu_j$	$H_0 : \mu_i \leq \mu_j$ $H_1 : \mu_i > \mu_j$	$H_0 : \mu_i \leq \mu_j$ $H_1 : \mu_i > \mu_j$	$H_0 : \mu_i \leq \mu_j$ $H_1 : \mu_i > \mu_j$
	5	$H_0 : \mu_i \leq \mu_j$ $H_1 : \mu_i > \mu_j$	$H_0 : \mu_i \leq \mu_j$ $H_1 : \mu_i > \mu_j$	$H_0 : \mu_i \leq \mu_j$ $H_1 : \mu_i > \mu_j$	$H_0 : \mu_i \leq \mu_j$ $H_1 : \mu_i > \mu_j$	$H_0 : \mu_i \leq \mu_j$ $H_1 : \mu_i > \mu_j$
	8	$H_0 : \mu_i \leq \mu_j$ $H_1 : \mu_i > \mu_j$	$H_0 : \mu_i \leq \mu_j$ $H_1 : \mu_i > \mu_j$	$H_0 : \mu_i \leq \mu_j$ $H_1 : \mu_i > \mu_j$	$H_0 : \mu_i \leq \mu_j$ $H_1 : \mu_i > \mu_j$	$H_0 : \mu_i \leq \mu_j$ $H_1 : \mu_i > \mu_j$
	9	$H_0 : \mu_i \leq \mu_j$ $H_1 : \mu_i > \mu_j$	$H_0 : \mu_i \leq \mu_j$ $H_1 : \mu_i > \mu_j$	$H_0 : \mu_i \leq \mu_j$ $H_1 : \mu_i > \mu_j$	$H_0 : \mu_i \leq \mu_j$ $H_1 : \mu_i > \mu_j$	$H_0 : \mu_i \leq \mu_j$ $H_1 : \mu_i > \mu_j$
	10		$H_0 : \mu_i \leq \mu_j$ $H_1 : \mu_i > \mu_j$	$H_0 : \mu_i \leq \mu_j$ $H_1 : \mu_i > \mu_j$	$H_0 : \mu_i \leq \mu_j$ $H_1 : \mu_i > \mu_j$	$H_0 : \mu_i \leq \mu_j$ $H_1 : \mu_i > \mu_j$
	12			$H_0 : \mu_i \leq \mu_j$ $H_1 : \mu_i > \mu_j$	$H_0 : \mu_i \leq \mu_j$ $H_1 : \mu_i > \mu_j$	$H_0 : \mu_i \leq \mu_j$ $H_1 : \mu_i > \mu_j$
	14				$H_0 : \mu_i \leq \mu_j$ $H_1 : \mu_i > \mu_j$	$H_0 : \mu_i \leq \mu_j$ $H_1 : \mu_i > \mu_j$
	21					$H_0 : \mu_i \leq \mu_j$ $H_1 : \mu_i > \mu_j$
	43					

การทดสอบการแจกแจงข้อมูลเพื่อเลือกวิธีการทดสอบสมมติฐาน โดยทดสอบการแจกแจงข้อมูลค่ามาตรฐาน RFC ทั้ง 442 คลาสของเจฮอตตรอร์ว้แต่ละเวอร์ชัน สามารถเลือกสถิติทดสอบการแจกแจงข้อมูลได้จากขนาดตัวอย่าง หากขนาดตัวอย่างมากกว่า 50 หน่วย การทดสอบการแจกแจงของข้อมูลจะเลือกใช้สถิติทดสอบโคลโมโกรอฟ-สเมอร်นอฟ (Kolmogorov-Smirnov) แต่หากขนาดตัวอย่างน้อยกว่า 50 หน่วย การทดสอบการแจกแจงของข้อมูลจะเลือกใช้สถิติทดสอบชาปิโร-วิลค์ (Shapiro-Wilk) (กัลยา วานิชย์บัญชา, 2551a) เนื่องจากเจฮอตตรอร์ว้แต่ละเวอร์ชันมีจำนวนคลาสมากกว่า 50 คลาส จึงใช้สถิติทดสอบโคลโมโกรอฟ-สเมอร်นอฟสำหรับทดสอบการแจกแจงของข้อมูลและยอมรับสมมติฐาน  $H_0$  เมื่อค่า Sig. มีค่ามากกว่าค่า  $\alpha$  ซึ่งกำหนดให้เท่ากับ 0.05 สามารถตั้งสมมติฐานสำหรับทดสอบการแจกแจงของข้อมูลดังนี้

กำหนดให้ M คือ เจฮอตตรอว์ เวอร์ชัน 1-12

$H_0$  : ข้อมูลค่ามาตรฐาน RFC ทั้ง 442 คลาสของเจฮอตตรอว์ เวอร์ชัน M มีการแจกแจงแบบปกติ

$H_1$  : ข้อมูลค่ามาตรฐาน RFC ทั้ง 442 คลาสของเจฮอตตรอว์ เวอร์ชัน M ไม่ได้แจกแจงแบบปกติ

ตารางที่ 4.86 การทดสอบการแจกแจงของข้อมูลค่ามาตรฐาน RFC ของคลาส 442 คลาส จากเจฮอตตรอว์แต่ละเวอร์ชัน

เจฮอตตรอว์	จำนวนซ้ำ เมทีอดคอล	โคลโมโกรอฟ-สเมอรฺนอฟ		การแจกแจง ของข้อมูล
		ค่าสถิติ	Sig	
เวอร์ชัน 1	4	0.164	0.000	ไม่ปกติ
เวอร์ชัน 2	5	0.164	0.000	ไม่ปกติ
เวอร์ชัน 3	9	0.164	0.000	ไม่ปกติ
เวอร์ชัน 4	12	0.164	0.000	ไม่ปกติ
เวอร์ชัน 5	12	0.164	0.000	ไม่ปกติ
เวอร์ชัน 6	13	0.164	0.000	ไม่ปกติ
เวอร์ชัน 7	15	0.164	0.000	ไม่ปกติ
เวอร์ชัน 8	18	0.164	0.000	ไม่ปกติ
เวอร์ชัน 9	21	0.164	0.000	ไม่ปกติ
เวอร์ชัน 10	29	0.164	0.000	ไม่ปกติ
เวอร์ชัน 11	37	0.164	0.000	ไม่ปกติ
เวอร์ชัน 12	44	0.164	0.000	ไม่ปกติ

จากการทดสอบด้วยสถิติโคลโมโกรอฟ-สเมอรฺนอฟ ดังตารางที่ 4.86 พบว่าค่า Sig. ของข้อมูลค่ามาตรฐาน RFC ของเจฮอตตรอว์แต่ละเวอร์ชันมีค่าน้อยกว่า  $\alpha$  ซึ่งกำหนดให้เท่ากับ 0.05 จึงปฏิเสธสมมติฐาน  $H_0$  ดังนั้นข้อมูลค่ามาตรฐาน RFC รายคลาสของเจฮอตตรอว์ทุกเวอร์ชันไม่ได้แจกแจงแบบปกติ การตอบวัตถุประสงค์ผู้วิจัยจึงเลือกใช้วิธีการทดสอบสมมติฐานแบบไม่อิงพารามิเตอร์ (Nonparametric Test) โดยเลือกใช้สถิติทดสอบวิลคอกซัน ไซน์-แรนค์ เทสต์ (Wilcoxon signed-rank test) เป็นการทดสอบที่หาค่าผลต่างระหว่างค่าของตัวแปร โดยจับคู่พิจารณาเครื่องหมายและปริมาณผลต่างว่ามากหรือน้อย

จากการทดสอบสถิติทดสอบวิลคอกซัน ไซน์-แรนค์ เทสต์ (Wilcoxon signed-rank test) ของการจับคู่เจฮอตตรอว์ระหว่างเวอร์ชันเพื่อเปรียบเทียบผลต่างของค่ามาตรฐาน RFC รายคลาส สามารถแสดงค่า Asymp. Sig. (1-tailed) ทั้งหมดดังตารางที่ 4.87 การตอบสมมติฐานจะปฏิเสธ  $H_0$  หากค่า Asymp. Sig. (1-tailed) มีค่าน้อยกว่าระดับนัยสำคัญที่กำหนดคือ 0.05

ตารางที่ 4.87 ค่า Asymp. Sig. (1-tailed) ที่ได้จากสถิติทดสอบ

วิลคอกซัน ไซน์-แรนค์ เทสต์ ของค่ามาตรฐานวัด RFC

		จำนวนคลาสที่สามารถจัดการด้วยแอสเป็ก										
	0	2	4	5	5	8	9	10	12	14	21	43
0		0.079	0.023*	0.013*	0.017*	0.003*	0.002*	0.002*	0.001*	0.000*	0.000*	0.000*
2			0.207	0.129	0.051	0.029*	0.018*	0.006*	0.004*	0.002*	0.000*	0.000*
4				0.370	0.282	0.124	0.048*	0.017*	0.023*	0.009*	0.000*	0.000*
5					0.391	0.203	0.143	0.001*	0.045*	0.020*	0.001*	0.000*
5						0.309	0.234	0.054	0.090	0.044*	0.003*	0.000*
8							0.391	0.089	0.186	0.101	0.008*	0.000*
9								0.122	0.257	0.149	0.012*	0.000*
10									0.262	0.381	0.227	0.001*
12										0.328	0.042*	0.000*
14											0.010*	0.000*
21												0.003*
43												

\* มีความแตกต่างอย่างมีนัยสำคัญ

จากการทดสอบสถิติพบว่าเจฮอตตรอร์ เวอร์ชัน 9 ที่จัดการเมทีอดคอลที่เข้ากันทั้งหมด 21 ตำแหน่ง มีจำนวนคลาสที่สามารถจัดการเมทีอดคอลทั้งหมดเท่ากับ 0 คลาส เพราะหลังทำแอสเป็กรีแพคทอริงไม่มีคลาสที่มีค่ามาตรฐานวัด RFC ลดลง ดังนั้นเมื่อเปรียบเทียบกับเจฮอตตรอร์เวอร์ชันอื่นที่มีจำนวนคลาสที่สามารถจัดการเมทีอดคอลตั้งแต่ 4 คลาสขึ้นไปจึงแสดงให้เห็นว่าการทำแอสเป็กรีแพคทอริงหากมีจำนวนคลาสที่สามารถจัดการเมทีอดคอลภายในคลาสด้วยแอสเป็กได้ โดยส่วนใหญ่จะส่งผลให้ค่ามาตรฐานวัด RFC ของคลาสมีค่าลดลง ขณะที่เจฮอตตรอร์ เวอร์ชัน 11 และ 12 ที่จัดการเมทีอดคอลเข้ากันทั้งหมด 37 และ 44 ตำแหน่งตามลำดับ มีจำนวนคลาสจำนวนมากที่สามารถจัดการเมทีอดคอลด้วยแอสเป็ก โดยมีคลาสทั้งหมด 21 และ 43 คลาสตามลำดับ เจฮอตตรอร์ทั้งสองเวอร์ชันแสดงให้เห็นว่าหลังทำแอสเป็กรีแพคทอริงค่ามาตรฐานวัด RFC ของคลาสมีค่าลดลงอย่างมีนัยสำคัญ เมื่อเทียบกับเจฮอตตรอร์เวอร์ชันอื่นๆ จากผลดังกล่าวอาจกล่าวได้ว่าหากมีคลาสที่สามารถจัดการเมทีอดคอลทั้งหมดด้วยแอสเป็กในจำนวนคลาสที่มากจะส่งผลให้ค่ามาตรฐานวัด RFC ของคลาสมีค่าลดลงอย่างมีนัยสำคัญ และการทำแอสเป็กรีแพคทอริงหากมีคลาสจำนวนมากที่มีค่ามาตรฐานวัด RFC ลดลงจะส่งผลให้ค่าเฉลี่ยมาตรฐานวัด RFC ของซอฟต์แวร์ลดลงเช่นกัน

จากข้อค้นพบปัจจัยที่ส่งผลทำให้ค่ามาตรฐานวัด RFC มีค่าลดลงหลังทำแอสเป็กรีแพคทอริงคือจำนวนคลาสที่สามารถจัดการเมทีอดคอลทั้งหมดด้วยแอสเป็กได้ โดยจากผลของงานวิจัยแสดงให้เห็นว่าการจัดการเมทีอดคอลที่อยู่ภายในคลาสแตกต่างกันตั้งแต่ 21 คลาสขึ้นไปจะส่งผลให้ค่ามาตรฐานวัด RFC ของคลาสลดลงอย่างมีนัยสำคัญ จึงทำให้ค่าเฉลี่ยมาตรฐานวัด RFC ลดลงและช่วยปรับปรุงคุณภาพซอฟต์แวร์เช่นกัน ดังนั้นจากผลค่าเฉลี่ยมาตรฐานวัด RFC และผลการทดสอบสถิติจึงอาจกล่าวได้ว่าการทำแอสเป็กรีแพคทอริงโดยจัดการจำนวนซ้ำของเมทีอดคอลในจำนวนซ้ำที่มาก ซึ่งตำแหน่งของเมทีอดคอลกระจายอยู่ภายในคลาสจำนวนมาก สามารถส่งผลให้ค่าเฉลี่ยมาตรฐานวัด RFC ของ



ซอฟต์แวร์มีค่าลดลงและปรับปรุงคุณภาพซอฟต์แวร์ด้านความสามารถในการทำความเข้าใจและความสามารถทดสอบ

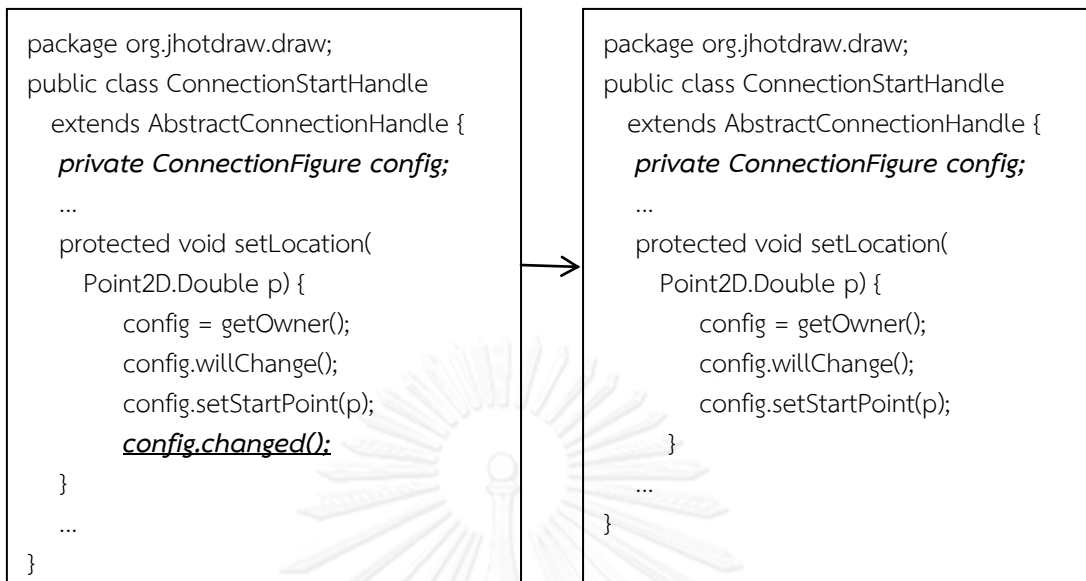
#### 4.6.2 ผลของรูปแบบลักษณะเมทอดคอลต่อค่ามาตรวัดจากการทำแอสเป็กทีฟคทอริง

จากการพิจารณาลักษณะเมทอดคอลของเมทอดคอลทั้งหมดในแต่ละจำนวนซ้ำทำให้ผู้วิจัยสามารถจำแนกรูปแบบของลักษณะเมทอดคอลได้ทั้งหมด 5 รูปแบบดังอธิบายเอาไว้ในตอนต้นของบทที่ 4 ดังนี้

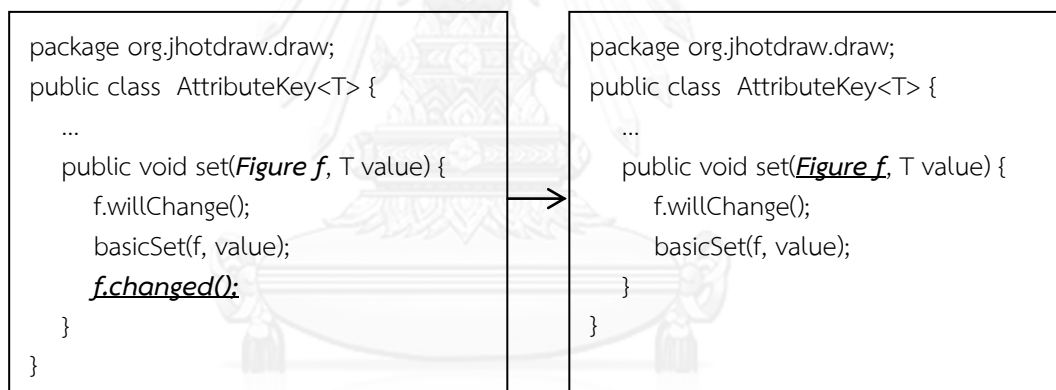
- (1) ลักษณะเมทอดคอลเป็นการเรียกใช้งานเมทอดจากภายในคลาสโดยตรง
- (2) ลักษณะเมทอดคอลเป็นการเรียกใช้งานเมทอดผ่านชื่อคลาสโดยตรง
- (3) ลักษณะเมทอดคอลเป็นการเรียกใช้งานเมทอดผ่านตัวแปรอ็อบเจกต์คลาส
- (4) ลักษณะเมทอดคอลเป็นการเรียกใช้งานเมทอดผ่านตัวแปรอ็อบเจกต์คลาสของคลาสแม่
- (5) ลักษณะเมทอดคอลเป็นการเรียกใช้งานเมทอดผ่านตัวแปรอ็อบเจกต์ที่เป็นพารามิเตอร์

จากการวิเคราะห์รูปแบบของลักษณะเมทอดคอลต่อผลมาตรวัด พบว่ารูปแบบลักษณะของเมทอดคอลทั้ง 5 รูปแบบส่งผลกระทบต่อค่ามาตรวัดที่เกี่ยวข้องกับคัพปลิงที่พิจารณาความสัมพันธ์ระหว่างคลาสที่เกิดจากการเรียกใช้งานเมทอด โดยมาตรวัดที่มีนิยามบางส่วนพิจารณาความสัมพันธ์ระหว่างคลาสที่เกิดจากการเรียกใช้งานเมทอด มาตรวัดเชิงวัตถุ ได้แก่ มาตรวัดคัพปลิงบีทวินอ็อบเจกต์คลาส (Coupling Between Object classes - CBO) มาตรวัดเชิงแอสเป็ก ได้แก่ มาตรวัดคัพปลิงอนเมทอดคอล (Coupling on Method Call - CMC) และมาตรวัดคัพปลิงบีทวินมอดูล (Coupling between Modules - CBM) โดยจากการพิจารณาคาสที่มีค่ามาตรวัดลดลงพบว่า ลักษณะเมทอดคอลที่จัดการด้วยแอสเป็กแล้วทำให้ค่ามาตรวัดของคาสลดลง คือลักษณะเมทอดคอลรูปแบบที่ 2 และ 4 เป็นการเรียกใช้งานเมทอดผ่านชื่อคลาสโดยตรงและการเรียกใช้งานเมทอดผ่านตัวแปรอ็อบเจกต์คลาสของคลาสแม่ หลังจากทำแอสเป็กทีฟคทอริงเพื่อจัดการเมทอดคอลทั้งสองรูปแบบด้วยแอสเป็ก มีโอกาสที่จะช่วยลดความสัมพันธ์ระหว่างคลาสได้ ทำให้ค่ามาตรวัดของคาสมีค่าลดลง

ขณะที่ลักษณะเมทอดคอลรูปแบบที่ 1 ที่เรียกใช้งานเมทอดจากภายในคลาสโดยตรง เนื่องจากการเรียกใช้งานเมทอดจากภายในคลาสได้ แสดงว่าเมทอดดังกล่าวอิมพลิเมนต์ไว้ภายในคลาสเดียวกันเลย หรือเมทอดอิมพลิเมนต์เอาไว้ภายในคลาสแม่ที่อยู่ลำดับชั้นคลาสเดียวกัน ดังนั้นถึงแม้จัดการเมทอดคอลที่เป็นเพียงคำสั่งหนึ่งคำสั่งในคาสออกมาไว้ในแอสเป็ก แต่ความสัมพันธ์ระหว่างคลาสแม่และคลาสลูกก็ไม่เปลี่ยนแปลง ค่ามาตรวัดของคาสจึงมีค่าคงเดิม ส่วนลักษณะเมทอดคอลรูปแบบที่ 3 และ 5 ที่เป็นการเรียกใช้งานเมทอดผ่านตัวแปรอ็อบเจกต์คลาสและการเรียกใช้งานเมทอดผ่านตัวแปรอ็อบเจกต์ที่เป็นพารามิเตอร์ เนื่องจากถึงแม้จะจัดการเมทอดคอลออกไปจากคาสได้ แต่ตำแหน่งอื่นภายในคาสยังคงมีการเข้าถึงหรือประกาศตัวแปรอ็อบเจกต์ของคาสเอาไว้ การทำแอสเป็กทีฟคทอริงจึงไม่สามารถลดความสัมพันธ์ระหว่างคาสได้ ค่ามาตรวัดของคาสจึงมีค่าคงเดิม แสดงตัวอย่างการทำแอสเป็กทีฟคทอริงเพื่อจัดการเมทอดคอลที่มีลักษณะเมทอดคอลรูปแบบที่ 3 และ 5 ดังรูปที่ 4.64 และ 4.65 ตามลำดับ



รูปที่ 4.64 ผลจากการจัดการเมทอดคอลที่มีลักษณะการเรียกใช้งานเมทอด  
ผ่านตัวแปรอ็อบเจกต์คลาส



รูปที่ 4.65 ผลจากการจัดการเมทอดคอลที่มีลักษณะการเรียกใช้งานเมทอดผ่าน  
ตัวแปรอ็อบเจกต์ที่เป็นพารามิเตอร์

#### 4.6.3 การเปรียบเทียบผลมาตรวัดระหว่างมาตรวัดเชิงวัตถุและมาตรวัดเชิงแอสเป็ก

การทำแอสเป็กรีแฟคทอริงเพื่อจัดการเมทอดคอลที่มีจำนวนซ้ำแตกต่างกันด้วยแอสเป็ก ในงานวิจัยนี้ได้ประเมินความแตกต่างของคุณภาพซอฟต์แวร์จากการเก็บรวบรวมค่ามาตรวัดของสองชุดมาตรวัด ได้แก่ มาตรวัดเชิงวัตถุของ Chidamber และ Kemerer (1993) มีทั้งหมด 6 มาตรวัด ได้แก่

- (1) เวทเทตเมทอดเปอคลาส (Weighted Method per Class - WMC)
- (2) เดพธออฟินเฮอริแทนทรี (Depth of Inheritance Tree - DIT)
- (3) นัมเบอร์ออฟซิลเดรน (Number of Children - NOC)
- (4) คัพปลิงบิทวินอ็อบเจกต์คลาส (Coupling Between Object classes - CBO)
- (5) เรสปอนซ์ฟอร์อะคลาส (Response For a Class - RFC)
- (6) แลคออฟโคฮีชันอินเมทอด (Lack of Cohesion in Methods - LCOM)

และมาตรวัดเชิงแอสเป็กของ Ceccato และ Tonella (2004) มีทั้งหมด 10 มาตรวัด ได้แก่

- (1) เวทเทตโอเปอเรชันอินมอดูล (Weighted Operations in Module - WOM)
- (2) เดพธออฟินเฮอริแทนทรี (Depth of Inheritance Tree - DIT)
- (3) นัมเบอร์ออฟซิลเดรน (Number Of Children - NOC)
- (4) คัพปลิงออนฟิลด์แอกเซส (Coupling on Field Access - CFA)
- (5) คัพปลิงออนเมทอดคอล (Coupling on Method Call - CMC)
- (6) คัพปลิงบิทวินมอดูล (Coupling between Modules - CBM)
- (7) ครอสคัทดีกรีออฟแอสเป็ก (Crosscutting Degree of an Aspect - CDA)
- (8) คัพปลิงออนแอดไวซ์เอ็กซิคิวชัน (Coupling on Advice Execution - CAE)
- (9) เรสปอนซ์ฟอร์อะมอดูล (Response For a Module - RFM)
- (10) แลคออฟโคฮีชันอินโอเปอเรชัน (Lack of Cohesion in Operations - LCO)

เนื่องจากมาตรวัดเชิงแอสเป็กของ Ceccato และ Tonella (2004) ทั้ง 10 มาตรวัด เป็นชุดมาตรวัดที่ปรับปรุงจากมาตรวัดเชิงวัตถุของ Chidamber และ Kemerer (1993) จึงทำให้บางมาตรวัดของมาตรวัดเชิงแอสเป็กมีนิยามคล้ายกันกับมาตรวัดเชิงวัตถุ แต่มาตรวัดเชิงแอสเป็กจะเพิ่มเติมนิยามสำหรับการพิจารณาแอสเป็ก จากตารางที่ 2.2 ที่กล่าวไว้ในบทที่ 2 แสดงการเปรียบเทียบนิยามระหว่างมาตรวัดเชิงวัตถุและมาตรวัดเชิงแอสเป็กที่มีนิยามคล้ายกัน ดังนั้นจากผลการทดลองสำหรับการทำแอสเป็กรีแฟคทอริงเพื่อจัดการเมทอดคอลซ้ำกันด้วยแอสเป็ก สามารถแสดงผลการทำแอสเป็กรีแฟคทอริงต่อค่ามาตรวัด โดยเปรียบเทียบผลระหว่างมาตรวัดเชิงวัตถุและมาตรวัดเชิงแอสเป็กที่มีนิยามคล้ายกัน แสดงได้ดังตารางที่ 4.88

ตารางที่ 4.88 การเปรียบเทียบผลการทำแอสเป็กรีแฟคทอริงต่อค่ามาตรวัด  
ระหว่างมาตรวัดเชิงวัตถุและมาตรวัดเชิงแอสเป็กรีแฟคทอริงที่มีนิยามคล้ายกัน

ลำดับ	มาตรวัดเชิงวัตถุ/มาตรวัดเชิงแอสเป็กรีแฟคทอริง	ผลการทำ แอสเป็กรีแฟคทอริงต่อค่ามาตรวัด	ปัจจัยที่ส่งผลต่อ ค่ามาตรวัด
1	Weighted Method per Class (WMC)	—	-
	Weighted Operations in Module (WOM)	↑	จำนวนแอตไควซ์ที่อิมพลีเม้นต์ภายในแอสเป็กรีแฟคทอริง
2	Depth of Inheritance Tree (DIT)	—	-
	Depth of Inheritance Tree (DIT)	—	-
3	Number of Children (NOC)	—	-
	Number Of Children (NOC)	—	-
4	Coupling Between Object classes (CBO)	↓	ลักษณะเมทอดคอล
	Coupling on Method Call (CMC) Coupling between Modules (CBM)	↓	ลักษณะเมทอดคอล
5	Response For a Class (RFC)	↓	จำนวนซ้ำของเมทอดคอล จำนวนคลาสที่สามารถจัดการ การเมทอดคอลทั้งหมด ด้วยแอสเป็กรีแฟคทอริง
	Response For a Module (RFM)	↑	จำนวนแอตไควซ์ที่เข้ามา ขัดขวางการทำงานคลาส
6	Lack of Cohesion in Methods (LCOM)	—	-
	Lack of Cohesion in Operations (LCO)	—	-

การเปรียบเทียบระหว่างมาตรวัดเชิงวัตถุและมาตรวัดเชิงแอสเป็กรีแฟคทอริงแสดงผลของมาตรวัดที่สอดคล้องไปในทางเดียวกันได้ดังนี้

- คู่มมาตรวัด DIT-DIT คู่มมาตรวัด NOC-NOC และคู่มมาตรวัด LCOM-LCO จากมาตรวัดเชิงวัตถุและมาตรวัดเชิงแอสเป็กรีแฟคทอริง เมื่อเปรียบเทียบผลการทำแอสเป็กรีแฟคทอริงต่อค่ามาตรวัดแสดงให้เห็นว่าจากเจสอตตรอว์ทั้งหมด 12 เวอร์ชันที่จัดการจำนวนซ้ำของเมทอดคอลแตกต่างกัน การทำแอสเป็กรีแฟคทอริงไม่ส่งผลให้ค่ามาตรวัดเกิดการเปลี่ยนแปลงเหมือนกันในทุกมาตรวัด ผลของมาตรวัดจึงมีความสอดคล้องกันระหว่างมาตรวัดเชิงวัตถุและมาตรวัดเชิงแอสเป็กรีแฟคทอริงในทั้งสามคู่มมาตรวัด

- คู่มাত্রวัด CBO-CMC และคู่มাত্রวัด CBO-CBM จากมาตรวัดเชิงวัตถุและมาตรวัดเชิงแอสเป็ก เนื่องจากเป็นมาตรวัดที่เกี่ยวข้องกับคัพพลิง และทั้งสามมาตรวัดมีส่วนของนิยามที่คล้ายกัน คือการพิจารณาความสัมพันธ์ระหว่างคลาสที่เกิดจากการเรียกใช้งานเมทอด การทำแอสเป็กกรีแพคทอริงเมื่อจัดการเมทอดคอลลอกจากคลาสจึงส่งผลให้ค่ามาตรวัดของคลาสมีค่าลดลง ผลของมาตรวัดจึงมีความสอดคล้องกันระหว่างมาตรวัดเชิงวัตถุและมาตรวัดเชิงแอสเป็กในทั้งสองคู่มাত্রวัด

นอกจากนี้การเปรียบเทียบระหว่างมาตรวัดเชิงวัตถุและมาตรวัดเชิงแอสเป็กในบางคู่มাত্রวัด ยังแสดงผลกระทบจากการทำแอสเป็กกรีแพคทอริงต่อค่ามาตรวัดในทิศทางที่ตรงข้ามกัน คู่มাত্রวัดที่ให้ผลมาตรวัดไม่สอดคล้องกันแสดงได้ดังนี้

- คู่มাত্রวัด WMC-WOM จากมาตรวัดเชิงวัตถุและมาตรวัดเชิงแอสเป็ก ผลจากการทำแอสเป็กกรีแพคทอริง เมื่อพิจารณาด้วยมาตรวัด WMC พบว่าค่ามาตรวัดของคลาสมีค่าคงเดิมไม่เปลี่ยนแปลงหลังทำแอสเป็กกรีแพคทอริง โดยการพิจารณาคลาสด้วยมาตรวัด WOM แสดงผลในทางเดียวกัน คือค่ามาตรวัด WOM ของคลาสมีค่าไม่เปลี่ยนแปลงเช่นกัน แต่ข้อแตกต่างที่เกิดคือค่าเฉลี่ยมาตรวัด WOM มีค่าเพิ่มขึ้นจากจำนวนแอดไวซ์ที่อิมพลิเมนต์ในแอสเป็ก เนื่องจากมาตรวัด WMC ไม่พิจารณาแอสเป็กแต่มาตรวัด WOM มีนิยามสำหรับพิจารณาแอสเป็กจึงทำให้ผลมาตรวัดบางส่วนจากการพิจารณาด้วยทั้งสองมาตรวัดแตกต่างกัน

- คู่มাত্রวัด RFC-RFM จากมาตรวัดเชิงวัตถุและมาตรวัดเชิงแอสเป็ก ผลจากการทำแอสเป็กกรีแพคทอริง เมื่อพิจารณาด้วยมาตรวัด RFC พบว่าหลังทำแอสเป็กกรีแพคทอริงค่ามาตรวัด RFC ของคลาสทั้งหมดมีค่ามาตรวัดลดลง ขณะที่หากพิจารณาด้วยมาตรวัด RFM พบว่าหลังทำแอสเป็กกรีแพคทอริงค่ามาตรวัด RFM ของคลาสทั้งหมดกลับมีค่ามาตรวัดเพิ่มขึ้น เนื่องจากมาตรวัด RFC ไม่ได้พิจารณาผลการทำงานที่มาจากแอดไวซ์ภายในแอสเป็ก ขณะที่มาตรวัด RFM มีนิยามที่เกี่ยวข้องกับแอสเป็กโดยการพิจารณาค่ามาตรวัด RFM ของคลาสจากจำนวนแอดไวซ์ที่เข้ามาขัดขวางการทำงานของคลาสด้วย ผลของมาตรวัดของคลาสหลังทำแอสเป็กกรีแพคทอริงจึงมีความขัดแย้งกันระหว่างมาตรวัด RFC และมาตรวัด RFM

การประเมินคุณภาพซอฟต์แวร์ด้วยมาตรวัดเชิงวัตถุและมาตรวัดเชิงแอสเป็กในการทำแอสเป็กกรีแพคทอริง โดยมาตรวัดเชิงวัตถุของ Chidamber และ Kemerer (1993) ทั้งหมด 6 มาตรวัดสามารถแสดงความสัมพันธ์กับคุณภาพซอฟต์แวร์ทั้ง 4 ด้าน ได้แก่ ความสามารถในการทำความเข้าใจ (Understandability) ความสามารถในการบำรุงรักษา (Maintainability) ความสามารถในการนำกลับมาใช้ใหม่ (Reusability) และความสามารถทดสอบ (Testability) อ้างอิงจากงานวิจัยของ Kulkarni, Kalshetty และ Arde (2010) ขณะที่มาตรวัดเชิงแอสเป็กของ Ceccato และ Tonella (2004) ทั้งหมด 10 มาตรวัด มีเพียงบางมาตรวัดคือ มาตรวัด WOM, CBM, RFM และ LCO ที่สามารถแสดงความสัมพันธ์กับคุณภาพทั้ง 6 ด้าน โดยมีคุณภาพสี่ด้านที่เหมือนกันกับมาตรวัดเชิงวัตถุ ได้แก่ ความสามารถในการทำความเข้าใจ ความสามารถในการบำรุงรักษา ความสามารถในการนำกลับมาใช้ใหม่ และความสามารถทดสอบ แต่มีคุณภาพอีกสองด้านที่พิจารณาเพิ่มเติม ได้แก่ ประสิทธิภาพ (Efficiency) และความซับซ้อน (Complexity) อ้างอิงจากงานวิจัยของ Sirbi และ Kulkarni (2013)

ผลการการทำแอสเป็กริแฟคทอริงเพื่อจัดการเมทอดคอลที่มีจำนวนซ้ำแตกต่างกันด้วยแอสเป็กริแฟคทอริงสามารถแสดงผลการทำแอสเป็กริแฟคทอริงต่อคุณภาพซอฟต์แวร์ได้ โดยเปรียบเทียบผลคุณภาพซอฟต์แวร์ระหว่างมาตรวัดเชิงวัตถุและมาตรวัดเชิงแอสเป็กริแฟคทอริงที่มีนิยามคล้ายกันดังตารางที่ 4.89

ตารางที่ 4.89 การเปรียบเทียบผลการทำแอสเป็กริแฟคทอริงต่อคุณภาพซอฟต์แวร์ระหว่างมาตรวัดเชิงวัตถุและมาตรวัดเชิงแอสเป็กริแฟคทอริงที่มีนิยามคล้ายกัน

ลำดับ	มาตรวัดเชิงวัตถุ/ มาตรวัดเชิงแอสเป็กริแฟคทอริง	Efficiency	Complexity	Understandability	Maintainability	Reusability	Testability	ผลการทำแอสเป็กริแฟคทอริงต่อคุณภาพซอฟต์แวร์
1	Weighted Method per Class (WMC)	-	-	-	✓	✓	-	—
	Weighted Operations in Module (WOM)	-	✓	-	✓	-	-	↓
2	Depth of Inheritance Tree (DIT)	-	-	✓	-	✓	-	—
	Depth of Inheritance Tree (DIT)	-	-	-	-	-	-	—
3	Number of Children (NOC)	-	-	-	-	✓	✓	—
	Number Of Children (NOC)	-	-	-	-	-	-	—
4	Coupling Between Object classes (CBO)	-	-	✓	✓	✓	✓	↑
	Coupling between Modules (CBM)	-	-	-	✓	✓	-	↑
5	Response For a Class (RFC)	-	-	✓	-	-	✓	↑
	Response For a Module (RFM)	-	-	✓	-	-	✓	↓
6	Lack of Cohesion in Methods (LCOM)	-	-	-	-	-	-	—
	Lack of Cohesion in Operations (LCO)	✓	-	-	-	✓	-	—

การเปรียบเทียบระหว่างมาตรวัดเชิงวัตถุและมาตรวัดเชิงแอสเป็กต์แสดงผลของมาตรวัดที่สอดคล้องไปในทางเดียวกันได้ดังนี้

- ผลคุณภาพซอฟต์แวร์จากการทำแอสเป็กต์ทอริง โดยพิจารณาจากคู่มือมาตรวัด DIT-DIT คู่มือมาตรวัด NOC-NOC และคู่มือมาตรวัด LCOM-LCO ไม่แสดงผลกระทบต่อคุณภาพซอฟต์แวร์ เนื่องจากการทำแอสเป็กต์ทอริงไม่ส่งผลกระทบต่อค่ามาตรวัด

- ผลคุณภาพซอฟต์แวร์จากการทำแอสเป็กต์ทอริง โดยพิจารณาจากคู่มือมาตรวัด CBO-CBM แสดงผลคุณภาพที่สอดคล้องกันคือ การทำแอสเป็กต์ทอริงเพื่อจัดการเม็ทอดคอลที่ซ้ำกัน ด้วยแอสเป็กต์ส่งผลให้คุณภาพซอฟต์แวร์ปรับปรุงดีขึ้น เนื่องจากการทำแอสเป็กต์ทอริงส่งผลให้ค่ามาตรวัดของคลาสลดลง โดยมาตรวัด CBO และ CBM สามารถชี้วัดคุณภาพด้านความสามารถบำรุงรักษาและความสามารถการนำกลับมาใช้ใหม่ทั้งสองด้านได้เหมือนกัน ขณะที่มาตรวัด CBO แสดงการปรับปรุงของคุณภาพสองด้านเพิ่มเติม ได้แก่ ความสามารถในการทำความเข้าใจและความสามารถการทดสอบที่ปรับปรุงดีขึ้นด้วยเช่นกัน

นอกจากนี้การประเมินคุณภาพจากการทำแอสเป็กต์ทอริงด้วยมาตรวัดเชิงวัตถุและมาตรวัดเชิงแอสเป็กต์ในบางคู่มือมาตรวัดให้ผลคุณภาพแตกต่างกัน ดังนี้

- ผลคุณภาพซอฟต์แวร์จากการทำแอสเป็กต์ทอริง โดยพิจารณาจากคู่มือมาตรวัด WMC-WOM แสดงผลคุณภาพในทิศทางตรงข้ามกัน โดยการพิจารณาด้วยมาตรวัด WMC แสดงให้เห็นว่าการทำแอสเป็กต์ทอริงไม่ส่งผลกระทบต่อคุณภาพ เนื่องจากหลังทำแอสเป็กต์ทอริงค่ามาตรวัด WMC ของคลาสมีค่าไม่เปลี่ยนแปลง ขณะที่การพิจารณาด้วยมาตรวัด WOM ถึงแม้หลังการทำแอสเป็กต์ทอริงค่ามาตรวัดของคลาสจะมีค่าไม่เปลี่ยนแปลงเช่นกัน แต่เนื่องจากค่ามาตรวัด WOM มีการพิจารณาจำนวนแอตไควซ์ที่อิมพลีเมนต์ภายในแอสเป็กต์เพิ่มเติม จึงส่งผลให้ซอฟต์แวร์มีความซับซ้อนมากขึ้นและความสามารถการบำรุงรักษาลดลง

- ผลคุณภาพซอฟต์แวร์จากการทำแอสเป็กต์ทอริง โดยพิจารณาจากคู่มือมาตรวัด RFC-RFM แสดงผลคุณภาพในทิศทางตรงข้ามกัน ทั้งสองมาตรวัดสามารถใช้ประเมินคุณภาพด้านความสามารถทำความเข้าใจและความสามารถการทดสอบเหมือนกัน โดยการพิจารณาด้วยมาตรวัด RFC แสดงให้เห็นว่าการทำแอสเป็กต์ทอริงส่งผลให้คุณภาพทั้งสองด้านปรับปรุงดีขึ้น เนื่องจากหลังทำแอสเป็กต์ทอริงค่ามาตรวัด RFC ของคลาสส่วนใหญ่มีค่ามาตรวัดลดลง ขณะที่การพิจารณาด้วยมาตรวัด RFM พบว่าการทำแอสเป็กต์ทอริงส่งผลให้คุณภาพทั้งสองด้านลดลง เนื่องจากการพิจารณานิยามของแอสเป็กต์ ทำให้มาตรวัด RFM มีการพิจารณาจำนวนแอตไควซ์ที่เข้ามาขัดขวางการทำงานคลาส จึงส่งผลให้ค่ามาตรวัด RFM ของคลาสส่วนใหญ่มีค่าเพิ่มขึ้น

## บทที่ 5

### สรุปผลการวิจัย

#### 5.1 บทนำ

ในบทนี้จะนำเสนอถึงการสรุปผลของงานวิจัยเพื่อตอบวัตถุประสงค์งานวิจัย ประกอบด้วย หัวข้อย่อยดังนี้ (1) สรุปผลการวิจัย (2) การนำงานวิจัยไปประยุกต์ใช้ และ (3) ข้อจำกัดของงานวิจัย และข้อเสนอแนะ เพื่อเป็นแนวทางสำหรับการศึกษางานวิจัยในอนาคตที่เกี่ยวข้องกับการโปรแกรมเชิงแอสเป็กและการทำแอสเป็กรีแฟคทอริง

#### 5.2 สรุปผลการวิจัย

จากการศึกษาการทำแอสเป็กรีแฟคทอริงโดยกรณีศึกษาที่เลือกใช้ในงานวิจัยคือเจฮอตตรอว์เวอร์ชัน 7.1 งานวิจัยนี้สนใจศึกษาผลคุณภาพซอฟต์แวร์จากการจัดการเมทอดคอลที่ซ้ำกันภายในซอร์สโค้ดด้วยแอสเป็กโดยมีจำนวนซ้ำเมทอดคอลที่แตกต่างกัน การประเมินคุณภาพซอฟต์แวร์พิจารณาจากมาตรวัดเชิงวัตถุของ Chidamber และ Kemerer (1993) ทั้งหมด 6 มาตรวัดและมาตรวัดเชิงแอสเป็กของ Ceccato และ Tonella (2004) ทั้งหมด 10 มาตรวัด ผลการทดลองสามารถสรุปผลแยกตามมาตรวัดเชิงวัตถุและมาตรวัดเชิงแอสเป็ก ดังตารางที่ 5.1 และ 5.2 ตามลำดับ

ตารางที่ 5.1 สรุปผลการทำแอสเป็กรีแฟคทอริงจากการพิจารณาด้วยมาตรวัดเชิงวัตถุ

มาตรวัดเชิงวัตถุ	ผลจากการทำแอสเป็กรีแฟคทอริง	ผลจากจำนวนซ้ำเมทอดคอล	ผลต่อคุณภาพซอฟต์แวร์	ปัจจัยที่ส่งผลต่อค่ามาตรวัด
Weighted Method per Class (WMC)	X	X	—	-
Depth of Inheritance Tree (DIT)	X	X	—	-
Number of Children (NOC)	X	X	—	-
Coupling Between Object classes (CBO)	✓	X	↑	ลักษณะเมทอดคอล
Response For a Class (RFC)	✓	✓	↑	จำนวนซ้ำเมทอดคอล จำนวนคลาสที่สามารถจัดการเมทอดคอลทั้งหมด
Lack of Cohesion in Methods LCOM)	✓	X	—	-



ตารางที่ 5.2 สรุปผลการทำแอสเป็กรีแฟคทอริงจากการพิจารณาด้วยมาตรวัดเชิงแอสเป็กร

มาตรวัดเชิงแอสเป็กร	ผลจากการทำแอสเป็กรีแฟคทอริง	ผลจากจำนวนซ้ำเม็ที่อดคอลล	ผลต่อคุณภาพซอฟต์แวร์	ปัจจัยที่ส่งผลต่อค่ามาตรวัด
Weighted Operations in Module (WOM)	✓	X	↓	จำนวนแอตไวัซ์ภายในแอสเป็กร
Depth of Inheritance Tree (DIT)	X	X	—	-
Number Of Children (NOC)	X	X	—	-
Coupling on Field Access (CFA)	✓	X	—	จำนวนการเข้าถึงแอตทริบิวต์ของคลาสอื่น
Coupling on Method Call (CMC)	✓	X	—	ลักษณะเม็ที่อดคอลล
Coupling between Modules (CBM)	✓	X	↑	ลักษณะเม็ที่อดคอลล
Crosscutting Degree of an Aspect (CDA)	✓	X	—	จำนวนคลาสที่แอสเป็กรสามารถเข้าไปขัดขวางการทำงาน
Coupling on Advice Execution (CAE)	✓	X	—	จำนวนคลาสที่แอสเป็กรสามารถเข้าไปขัดขวางการทำงาน
Response For a Module (RFM)	✓	X	↓	จำนวนแอตไวัซ์ที่เข้ามาขัดขวางการทำงานคลาส
Lack of Cohesion in Operations (LCO)	X	X	—	-

จากตารางที่ 5.1 และ 5.2 สามารถสรุปผลโดยแสดงมาตรวัดที่ได้รับผลกระทบจากการทำแอสเป็กรีแฟคทอริง มาตรวัดที่ได้รับผลกระทบจากการจัดการจำนวนซ้ำของเม็ที่อดคอลลที่แตกต่างกัน มาตรวัดที่ส่งผลต่อคุณภาพซอฟต์แวร์จากการทำแอสเป็กรีแฟคทอริง และปัจจัยที่ส่งผลให้ค่ามาตรวัดเปลี่ยนแปลง ข้อมูลสรุปผลดังกล่าวสามารถนำมาอธิบายเพื่อตอบวัตถุประสงค์ของงานวิจัย ได้แก่ (1) เปรียบเทียบมาตรวัดเชิงวัตถุของซอฟต์แวร์ที่ปรับปรุงด้วยการทำแอสเป็กรีแฟคทอริงจากจำนวนโค้ดโคลนที่แตกต่างกัน (2) เปรียบเทียบมาตรวัดเชิงแอสเป็กรของซอฟต์แวร์ที่ปรับปรุงด้วยการทำแอสเป็กรีแฟคทอริงจากจำนวนโค้ดโคลนที่แตกต่างกัน และ (3) วิเคราะห์คุณภาพซอฟต์แวร์จากการทำแอสเป็กรีแฟคทอริงด้วยจำนวนโค้ดโคลนที่แตกต่างกัน สามารถอภิปรายสรุปผลการวิจัยแยกตามประเด็นเพื่อตอบวัตถุประสงค์งานวิจัยได้ดังนี้

### 5.2.1 ผลการเปรียบเทียบมาตรวัดเชิงวัตถุของซอฟต์แวร์ที่ปรับปรุงด้วยการทำแอสเป็กริแพคทอริงโดยจัดการจำนวนซ้ำของเมทอดคอลแตกต่างกัน

จากผลการทำแอสเป็กริแพคทอริงทำให้ได้เจสอตตรอร์ ทั้งหมด 12 เวอร์ชัน ที่จัดการจำนวนซ้ำของเมทอดคอลแตกต่างกันด้วยแอสเป็กริ จำนวนซ้ำของเมทอดคอลที่ศึกษา ได้แก่ 4, 5, 9, 12, 12, 13, 15, 18, 21, 29, 37 และ 44 เมื่อพิจารณาเจสอตตรอร์ทั้ง 12 เวอร์ชันด้วยมาตรวัดเชิงวัตถุของ Chidamber และ Kemerer (1993) ทั้งหมด 6 มาตรวัด โดยนิยามมาตรวัดเชิงวัตถุพิจารณาเฉพาะคลาสภายในซอร์สโค้ดของซอฟต์แวร์ ผลการทดลองแสดงให้เห็นว่ามาตรวัดเวทเทดเมทอดเปอคลาส (Weighted Method per Class - WMC) มาตรวัดเดพออฟอินเฮริเทนทรี (Depth of Inheritance Tree - DIT) และมาตรวัดนัมเบอร์ออฟซิลเดรน (Number of Children - NOC) ทั้งสามมาตรวัดไม่ได้รับผลกระทบจากการทำแอสเป็กริแพคทอริง กล่าวคือค่ามาตรวัดของคลาสมีค่าไม่เปลี่ยนแปลงหลังจากจัดการเมทอดคอลซ้ำกันด้วยแอสเป็กริ

ขณะที่มาตรวัดคัพปลิงบิทวินอ็อบเจกต์คลาส (Coupling Between Object classes - CBO) และมาตรวัดแลคคอปโคฮีชันอินเมทอด (Lack of Cohesion in Methods - LCOM) ทั้งสองมาตรวัดได้รับผลกระทบจากการทำแอสเป็กริแพคทอริง คือหลังจัดการเมทอดคอลที่ซ้ำกันด้วยแอสเป็กริค่ามาตรวัดของคลาสมีค่าเปลี่ยนแปลง จากการวิเคราะห์ผลมาตรวัดพบว่าจำนวนซ้ำของเมทอดคอลไม่ใช่ปัจจัยที่ส่งผลต่อค่ามาตรวัด CBO และมาตรวัด LCOM ดังนั้นการจัดการจำนวนซ้ำของเมทอดคอลที่น้อยหรือมากแตกต่างกันจึงไม่ส่งผลให้ค่ามาตรวัด CBO หรือมาตรวัด LCOM มีค่าเพิ่มขึ้นหรือลดลง ค่าเฉลี่ยของทั้งสองมาตรวัดจึงไม่แสดงแนวโน้มหรือความแตกต่างจากการจัดการจำนวนซ้ำของเมทอดคอลที่ต่างกัน จากการวิเคราะห์ปัจจัยที่ส่งผลให้ค่ามาตรวัด CBO เปลี่ยนแปลงพบว่าลักษณะเมทอดคอลเป็นปัจจัยที่ส่งผลให้ค่ามาตรวัด CBO ของคลาสมีค่าลดลงหลังทำแอสเป็กริแพคทอริง โดยผลจากการทดลองในงานวิจัยนี้พบว่าลักษณะเมทอดคอลที่เรียกใช้งานเมทอดผ่านชื่อคลาสโดยตรงหรือลักษณะเมทอดคอลที่เรียกใช้งานเมทอดผ่านตัวแปรอ็อบเจกต์ของคลาสแม่ หลังจากจัดการเมทอดคอลลักษณะดังกล่าวด้วยแอสเป็กริสามารถลดความสัมพันธ์ระหว่างคลาสที่เกิดจากการเรียกใช้งานเมทอด ส่งผลให้ค่ามาตรวัด CBO ของคลาสมีค่าลดลง ส่วนมาตรวัด LCOM ของคลาสที่มีค่าเพิ่มขึ้นหลังจากทำแอสเป็กริแพคทอริง เนื่องจากหากเมทอดคอลที่จัดการมีการเข้าถึงแอตทริบิวต์ของคลาส หลังจากจัดการเมทอดคอลด้วยแอสเป็กริจึงทำให้การเข้าถึงแอตทริบิวต์คลาสระหว่างเมทอดเกิดการเปลี่ยนแปลง จึงส่งผลให้ความเกี่ยวข้องกันระหว่างเมทอดของคลาสลดลง

จากมาตรวัดเชิงวัตถุทั้งหมด 6 มาตรวัด มีเพียงมาตรวัดเดียวคือมาตรวัดเรสปอนซ์ฟอร์อะคลาส (Response For a Class - RFC) ที่ได้รับผลกระทบจากการทำแอสเป็กริแพคทอริงและปัจจัยส่วนหนึ่งที่ทำให้ค่ามาตรวัด RFC ของคลาสเปลี่ยนแปลงเกิดจากจำนวนซ้ำของเมทอดคอล โดยจากผลมาตรวัดแสดงแนวโน้มค่าเฉลี่ยมาตรวัด RFC ที่ลดลงจากการจัดการเมทอดคอลซ้ำกันมากกว่า 29 ตำแหน่ง สอดคล้องกับงานวิจัยของ Marin, Deursen, และ Moonen (2007) ที่แนะนำว่าโค้ดซ้ำกันมากกว่า 10 ตำแหน่งเหมาะสมเป็นครอสคัทตั้งคอนเซิร์นที่จะนำมาจัดการด้วยแอสเป็กริ และการจัดการเมทอดคอลในจำนวนซ้ำที่มากขึ้นก็แสดงผลมาตรวัด RFC ในแง่บวก โดยการจัดการจำนวนซ้ำของเมทอดคอล 37 และ 44 ตำแหน่งแสดงผลค่าเฉลี่ยมาตรวัด RFC ของซอฟต์แวร์ที่ลดลงมาก

จำนวนซ้ำเมทอดคอลดังกล่าวจึงให้ผลไปในทางเดียวกันกับงานวิจัยของ Hanenberg, Kleinschmager และ Walter (2009) ที่นำเสนอว่าการจัดการโค้ดซ้ำกันมากกว่า 36 ตำแหน่ง การใช้แอสเป็กจะให้ผลเวลาที่ใช้พัฒนาในแง่บวก นอกจากนี้จากผลมาตรวัด RFC ยังพบว่าหากเมทอดคอลที่ต้องการจัดการมีจำนวนซ้ำของเมทอดคอลมาก ตำแหน่งของเมทอดคอลก็อาจกระจายอยู่ภายในคลาสที่มากด้วยเช่นกัน ดังผลของเจฮอตตรอร์ เวอร์ชัน 12 ที่มีจำนวนซ้ำของเมทอดคอลสูงสุดเท่ากับ 44 ตำแหน่ง และมีตำแหน่งเมทอดคอลกระจายอยู่ภายในคลาสทั้งหมด 43 คลาส จึงมีค่าเฉลี่ยมาตรวัด RFC ลดลงมากที่สุด เนื่องจากภายในคลาสหนึ่งถึงแม้จะมีตำแหน่งของเมทอดคอลซ้ำกันมาก หากจัดการเมทอดคอลทั้งหมดด้วยแอสเป็กแล้วจะส่งผลให้ค่ามาตรวัดของคลาสดลดลงเท่ากับ 1 ดังนั้นจากผลการวิเคราะห์ ปัจจัยหลักที่ส่งผลต่อมาตรวัด RFC คือ จำนวนคลาสที่สามารถจัดการเมทอดคอลซ้ำกันทั้งหมดด้วยแอสเป็กหรือจำนวนคลาสที่ได้รับผลกระทบจากการทำแอสเป็กกรีแพคทอริง หากในซอฟต์แวร์หนึ่งมีจำนวนคลาสที่สามารถจัดการเมทอดคอลทั้งหมดด้วยแอสเป็กในจำนวนคลาสที่มากจะส่งผลให้ค่ามาตรวัด RFC ลดลงอย่างมีนัยสำคัญเมื่อเทียบกับการจัดการเมทอดคอลภายในจำนวนคลาสน้อย

### 5.2.2 ผลการเปรียบเทียบมาตรวัดเชิงแอสเป็กของซอฟต์แวร์ที่ปรับปรุงด้วยการทำแอสเป็กกรีแพคทอริงโดยจัดการจำนวนซ้ำของเมทอดคอลแตกต่างกัน

จากการทำแอสเป็กกรีแพคทอริงทำให้ได้เจฮอตตรอร์ ทั้งหมด 12 เวอร์ชัน ที่จัดการจำนวนซ้ำของเมทอดคอลแตกต่างกันด้วยแอสเป็ก จำนวนซ้ำของเมทอดคอลที่ศึกษา ได้แก่ 4, 5, 9, 12, 12, 13, 15, 18, 21, 29, 37 และ 44 เมื่อพิจารณาเจฮอตตรอร์ทั้ง 12 เวอร์ชันด้วยมาตรวัดเชิงแอสเป็กของ Ceccato และ Tonella (2004) ทั้งหมด 10 มาตรวัด โดยนิยามของมาตรวัดเชิงแอสเป็กพิจารณาทั้งคลาสและแอสเป็กภายในซอร์สโค้ดของซอฟต์แวร์ ผลการทดลองแสดงให้เห็นว่ามาตรวัดเดพออฟอินเฮริเทรนทรี (Depth of Inheritance Tree - DIT) มาตรวัดนัมเบอร์ออฟซิลเดรน (Number of Children - NOC) และมาตรวัดแลคคอปโคฮีชันอินโอเปอร์เรชัน (Lack of Cohesion in Operations - LCO) ทั้งสามมาตรวัดไม่ได้รับผลกระทบจากการทำแอสเป็กกรีแพคทอริง กล่าวคือค่ามาตรวัดของคลาสมีค่าไม่เปลี่ยนแปลงหลังจากจัดการเมทอดคอลซ้ำกันด้วยแอสเป็ก

ส่วนมาตรวัดเชิงแอสเป็กอีก 7 มาตรวัด ที่ได้รับผลกระทบจากการทำแอสเป็กกรีแพคทอริง โดยหลังทำแอสเป็กกรีแพคทอริงค่ามาตรวัดมีค่าเปลี่ยนแปลง จากการวิเคราะห์มาตรวัดเชิงแอสเป็กทั้ง 7 มาตรวัด การจัดการเมทอดคอลในจำนวนซ้ำเมทอดคอลที่น้อยหรือมากไม่ส่งผลต่อค่ามาตรวัดทั้ง 7 มาตรวัด ดังนั้นจำนวนซ้ำของเมทอดคอลจึงไม่ใช่ปัจจัยที่ทำให้ค่ามาตรวัดเกิดการเปลี่ยนแปลงในการทำแอสเป็กกรีแพคทอริง ดังนั้นจึงสามารถอธิบายปัจจัยที่ส่งผลต่อค่ามาตรวัดทั้ง 7 มาตรวัดได้ดังนี้

มาตรวัดเวทเทตโอเปอร์เรชันอินมอดูล (Weighted Operations in Module - WOM) จากผลการทดลองพบว่าปัจจัยที่ส่งผลให้ค่าเฉลี่ยมาตรวัด WOM ของเจฮอตตรอร์มีค่าเพิ่มขึ้น คือจำนวนแอตไวจ์ของแอสเป็กในเจฮอตตรอร์แต่ละเวอร์ชันที่สร้างหลังการทำแอสเป็กกรีแพคทอริง ดังนั้นหากภายในแอสเป็กมีการอิมพลีเมนต์แอตไวจ์ในจำนวนที่น้อยอาจส่งผลให้ค่าเฉลี่ยมาตรวัด WOM เพิ่มขึ้นไม่มากนัก

มาตรวัดคัพปลิงออนฟิลด์แอคเซส (Coupling on Field Access - CFA) จากผลการทดลองพบว่าส่วนใหญ่การจัดการเมทอดคอลซ้ำกันด้วยแอสเป็กไม่ส่งผลต่อค่ามาตรวัด CFA ของคลาส แต่หากพิจารณาแอสเป็กซึ่งเป็นส่วนที่สร้างขึ้นใหม่ดังในเจสอตตรอร์ เวอร์ชัน 9 เนื่องจากในแอสเป็กมีการเข้าถึงฟิลด์ของคลาสอื่นโดยตรงทั้งหมด 2 คลาส จึงส่งผลให้ค่าเฉลี่ยมาตรวัด CFA ของเจสอตตรอร์ เวอร์ชัน 9 มีค่าสูง ดังนั้นจำนวนการเข้าถึงแอตทริบิวต์ของคลาสอื่นเป็นปัจจัยที่ส่งผลต่อมาตรวัด CFA

มาตรวัดคัพปลิงออนเมทอดคอล (Coupling on Method Call - CMC) และมาตรวัดคัพปลิงบิทวินมอดูล (Coupling between Modules - CBM) ทั้งสองมาตรวัดเป็นมาตรวัดที่เกี่ยวข้องกับคัพปลิง และมีส่วนของนิยามที่เหมือนกันคือพิจารณาความสัมพันธ์ระหว่างคลาสที่เกิดจากการเรียกใช้งานเมทอด จากผลการทดลองจึงพบปัจจัยที่ส่งผลต่อมาตรวัดทั้งสองมาตรวัดเหมือนกันคือลักษณะเมทอดคอล โดยจากงานวิจัยนี้พบว่าลักษณะเมทอดคอลที่เรียกใช้งานเมทอดผ่านชื่อคลาสโดยตรง หากจัดการเมทอดคอลลักษณะดังกล่าวด้วยแอสเป็กจะสามารถลดความสัมพันธ์ระหว่างคลาสได้ ส่งผลให้ค่ามาตรวัดของคลาสมีค่าลดลง ผลการทดลองจึงแสดงในทิศทางเดียวกันคือเจสอตตรอร์ เวอร์ชัน 8 ที่จัดการเมทอดคอลทั้งหมด 18 ตำแหน่ง และเมทอดคอลทั้ง 18 ตำแหน่งมีลักษณะเมทอดคอลที่เรียกใช้งานเมทอดผ่านชื่อคลาสโดยตรงทั้งหมด หลังการทำแอสเป็กกรีแพคทอริงค่าเฉลี่ยมาตรวัด CMC และ CBM จึงมีค่าลดลงมากที่สุด

มาตรวัดครอสคัทตั้งดีกรีออฟแอสเป็ก (Crosscutting Degree of an Aspect - CDA) และมาตรวัดคัพปลิงออนแอดไวซ์เอ็กซีคิวชัน (Coupling on Advice Execution - CAE) พบว่าจากการทดลองปัจจัยที่ส่งผลต่อมาตรวัด CDA และ CAE คือจำนวนคลาสที่แอสเป็กสามารถเข้าไปขัดขวางการทำงาน โดยแสดงให้เห็นถึงความสามารถของแอสเป็กในการแทรกการทำงานของแอดไวซ์ไปยังคลาสต่างๆ ดังนั้นเจสอตตรอร์ เวอร์ชัน 12 ที่จัดการเมทอดคอลซ้ำกัน 44 ตำแหน่ง มีจำนวนคลาสที่แอสเป็กสามารถเข้าไปขัดขวางการทำงานมากที่สุดถึง 44 คลาส ส่งผลให้ค่าเฉลี่ยของมาตรวัด CDA และ CAE มีค่ามากที่สุดเหมือนกันเมื่อเทียบกับเจสอตตรอร์ เวอร์ชันอื่นๆ

มาตรวัดเรสปอนซ์ฟอร์อะมอดูล (Response For a Module - RFM) พบว่าจากการทดลองปัจจัยที่ส่งผลต่อค่ามาตรวัด RFM คือจำนวนแอดไวซ์ที่สามารถขัดขวางการทำงานของคลาส เนื่องจากการทำแอสเป็กกรีแพคทอริงสำหรับจัดการเมทอดคอลที่ซ้ำกันภายในคลาสหนึ่งคลาส จะส่งผลให้จำนวนเมทอดที่ทำงานตอบสนองต่อคลาสลดลงเพียงหนึ่งเมทอด ดังนั้นเมื่อพิจารณาด้วยมาตรวัด RFM ที่เพิ่มเติมนิยามการพิจารณาแอสเป็กเข้ามา จึงทำให้ค่ามาตรวัด RFM ของคลาสมีกรนับจำนวนแอดไวซ์ที่เข้ามาขัดขวางการทำงานคลาสด้วย ค่ามาตรวัด RFM ของคลาสส่วนใหญ่จึงมีค่าเพิ่มขึ้นหลังจากทำแอสเป็กกรีแพคทอริง

### 5.2.3 ผลการวิเคราะห์คุณภาพซอฟต์แวร์จากการทำแอสเปกทีฟคทอริงที่จัดการจำนวน ซ้ำของเมทอดคอลแตกต่างกัน

การวิเคราะห์คุณภาพของซอฟต์แวร์พิจารณาจากความสัมพันธ์ระหว่างคุณภาพซอฟต์แวร์และมาตรวัด โดยมาตรวัดที่พิจารณามีทั้งมาตรวัดเชิงวัตถุและมาตรวัดเชิงแอสเปกต์ แสดงรายละเอียดแยกตามชุดมาตรวัดได้ดังนี้

ความสัมพันธ์ระหว่างคุณภาพซอฟต์แวร์และมาตรวัดเชิงวัตถุทั้ง 6 มาตรวัดของ Chidamber และ Kemerer (1993) สามารถอ้างอิงจากงานวิจัยของ Kulkarni, Kalshetty และ Arde (2010) โดยคุณภาพซอฟต์แวร์ที่สามารถแสดงความสัมพันธ์กับมาตรวัด ได้แก่ ความสามารถในการทำความเข้าใจ (Understandability) ความสามารถในการบำรุงรักษา (Maintainability) ความสามารถในการนำกลับมาใช้ใหม่ (Reusability) และความสามารถการทดสอบ (Testability) จากการทำแอสเปกทีฟคทอริงสามารถแสดงผลคุณภาพซอฟต์แวร์ได้ดังตารางที่ 5.3 โดยจากมาตรวัดเชิงวัตถุทั้งหมด 6 มาตรวัด มีเพียงสองมาตรวัดแสดงผลคุณภาพซอฟต์แวร์ที่ปรับปรุง

ตารางที่ 5.3 ผลคุณภาพซอฟต์แวร์จากการทำแอสเปกทีฟคทอริงพิจารณาด้วยมาตรวัดเชิงวัตถุ

ลำดับ	มาตรวัดเชิงวัตถุ	Understandability	Maintainability	Reusability	Testability	ผลการทำแอสเปกทีฟคทอริงต่อคุณภาพซอฟต์แวร์
1	Weighted Method per Class (WMC)	-	✓	✓	-	—
2	Depth of Inheritance Tree (DIT)	✓	-	✓	-	—
3	Number of Children (NOC)	-	-	✓	✓	—
4	Coupling Between Object classes (CBO)	✓	✓	✓	✓	↑
5	Response For a Class (RFC)	✓	-	-	✓	↑
6	Lack of Cohesion in Methods (LCOM)	-	-	-	-	—

มาตรวัดคัพปลิงปีทวินอ็อบเจกต์คลาส (Coupling Between Object classes - CBO) เนื่องด้วยจากการวิเคราะห์ผลมาตรวัด CBO พบว่าจำนวนซ้ำของเมทอดคอลไม่ใช่งัจจัยที่ส่งผลให้ค่ามาตรวัด CBO เปลี่ยนแปลงหลังจากทำแอสเป็กริแพคทอริง ดังนั้นผลคุณภาพซอฟต์แวร์ที่ปรับปรุงทั้งสี่ด้านจึงไม่ได้เกิดจากการจัดการเมทอดคอลในจำนวนซ้ำที่มากหรือน้อยด้วยแอสเป็กริ โดยลักษณะเมทอดคอลที่จัดการด้วยแอสเป็กริเป็นปัจจัยที่สามารถส่งผลให้ค่ามาตรวัด CBO ของคลาสลดลง จากความสัมพันธ์ระหว่างมาตรวัด CBO และคุณภาพซอฟต์แวร์ แสดงให้เห็นว่าหากค่ามาตรวัด CBO ของคลาสลดลงจะส่งผลให้คุณภาพซอฟต์แวร์ทั้งสี่ด้านปรับปรุงดีขึ้น ได้แก่ ความสามารถในการทำความเข้าใจ ความสามารถการบำรุงรักษา ความสามารถการนำกลับมาใช้ใหม่ และความสามารถการทดสอบ เนื่องจากมาตรวัด CBO เป็นมาตรวัดที่เกี่ยวข้องกับคัพปลิงแสดงถึงการขึ้นต่อกันระหว่างคลาส ดังนั้นการทำแอสเป็กริแพคทอริงสามารถช่วยลดความสัมพันธ์ระหว่างคลาสได้เมื่อพิจารณา ลักษณะเมทอดคอลที่เหมาะสมและช่วยให้การขึ้นต่อกันระหว่างคลาสลดลง

มาตรวัดเรสปอนซ์ฟอร์อะคลาส (Response For a Class - RFC) จากการวิเคราะห์ผลมาตรวัด RFC พบว่าจำนวนซ้ำของเมทอดคอลและจำนวนคลาสที่สามารถจัดการเมทอดคอลทั้งหมดด้วยแอสเป็กริมีผลต่อมาตรวัด RFC กล่าวได้ว่าการจัดการเมทอดคอลในจำนวนซ้ำที่มากและมีตำแหน่งของเมทอดคอลที่กระจายอยู่ภายในคลาสจำนวนมากด้วย ส่งผลให้หลังทำแอสเป็กริแพคทอริงมีคลาสที่มีค่ามาตรวัดลดลงจำนวนมากและค่าเฉลี่ยมาตรวัด RFC จึงมีค่าลดลงมากเช่นกัน จากความสัมพันธ์ระหว่างมาตรวัด RFC และคุณภาพซอฟต์แวร์ หากค่ามาตรวัด RFC ของคลาสมีค่าลดลงจะส่งผลให้คุณภาพซอฟต์แวร์ทั้งสองด้านปรับปรุงดีขึ้น ได้แก่ ความสามารถในการทำความเข้าใจและความสามารถการทดสอบ ดังนั้นการทำแอสเป็กริแพคทอริงที่จัดการจำนวนซ้ำเมทอดคอลในจำนวนซ้ำที่มากและตำแหน่งของเมทอดคอลกระจายอยู่ในหลายคลาส การทำแอสเป็กริแพคทอริงสามารถช่วยปรับปรุงความสามารถในการทำความเข้าใจและความสามารถการทดสอบของซอฟต์แวร์ โดยช่วยลดจำนวนเมทอดที่ทำงานเพื่อตอบสนองต่อคลาส จำนวนเมทอดที่ต้องทำความเข้าใจการทำงานจะลดลง และช่วยลดจำนวนเมทอดที่ต้องทดสอบความถูกต้องของการเรียกใช้งานจากในคลาส

ความสัมพันธ์ระหว่างคุณภาพซอฟต์แวร์และมาตรวัดเชิงแอสเป็กริของ Ceccato และ Tonella (2004) โดยสามารถนำมาใช้ประเมินคุณภาพได้เพียงบางมาตรวัด ได้แก่ มาตรวัด WOM, RFM, CBM และ LCO สามารถอ้างอิงจากงานวิจัยของ Sirbi และ Kulkarni (2013) โดยคุณภาพซอฟต์แวร์ที่สามารถแสดงความสัมพันธ์กับมาตรวัด ได้แก่ ประสิทธิภาพ (Efficiency) ความซับซ้อน (Complexity) ความสามารถในการทำความเข้าใจ (Understandability) ความสามารถการบำรุงรักษา (Maintainability) ความสามารถการนำกลับมาใช้ใหม่ (Reusability) และความสามารถการทดสอบ (Testability) จากการทำแอสเป็กริแพคทอริงสามารถแสดงผลคุณภาพซอฟต์แวร์ได้ดังตารางที่ 5.4 โดยผลแสดงว่ามีเพียงสามมาตรวัดที่มีคุณภาพซอฟต์แวร์เปลี่ยนแปลงหลังทำแอสเป็กริแพคทอริง

ตารางที่ 5.4 ผลคุณภาพซอฟต์แวร์จากการทำแอสเป็กริแพคทอริงพิจารณาด้วยมาตรวัดเชิงแอสเป็กริ

ลำดับ	มาตรวัดเชิงแอสเป็กริ	Efficiency	Complexity	Understandability	Maintainability	Reusability	Testability	ผลการทำแอสเป็กริแพคทอริงต่อคุณภาพซอฟต์แวร์
1	Weighted Operations in Module (WOM)	-	✓	-	✓	-	-	↓
2	Coupling between Modules (CBM)	-	-	-	✓	✓	-	↑
3	Response For a Module (RFM)	-	-	✓	-	-	✓	↓
4	Lack of Cohesion in Operations (LCO)	✓	-	-	-	✓	-	—

มาตรวัดเวทเทคโอเปอร์เรชันอินมอดูล (Weighted Operations in Module - WOM) จากการวิเคราะห์ผลมาตรวัด WOM พบว่าจำนวนซ้ำของเม็ท้อดคอลลไม่ใช้ปัจจัยที่ส่งผลให้ค่ามาตรวัด WOM เพิ่มขึ้นหลังทำแอสเป็กริแพคทอริง ดังนั้นจำนวนซ้ำเม็ท้อดคอลลจึงไม่ได้ส่งผลต่อคุณภาพซอฟต์แวร์จากการพิจารณาด้วยมาตรวัด WOM โดยจำนวนแอดไวซ์ที่อิมพลีเมนต์ภายในแอสเป็กริแพคทอริงเป็นปัจจัยที่ส่งผลให้ค่ามาตรวัด WOM เพิ่มขึ้น จากความสัมพันธ์ระหว่างมาตรวัด WOM และคุณภาพซอฟต์แวร์ แสดงให้เห็นว่าหากค่ามาตรวัด WOM เพิ่มขึ้นจะส่งผลต่อคุณภาพซอฟต์แวร์ทั้งสองด้าน ได้แก่ ความซับซ้อนและความสามารถการบำรุงรักษา เนื่องจากหากมีการเปลี่ยนแปลงชื่อเม็ท้อดหรือลำดับของคำสั่งภายในคลาสอาจส่งผลกระทบต่อพอยท์คัทและแอดไวซ์ ได้แก่ การแก้ไขพอยท์คัทของแต่ละแอดไวซ์เพื่อระบุไปยังตำแหน่งของคลาสที่ต้องการให้โค้ดทำงานให้ถูกต้อง หรือการแก้ไขประเภทแอดไวซ์ เป็นต้น

มาตรวัดคัพปลิงบิพวินมอดูล (Coupling between Modules - CBM) จากการวิเคราะห์ผลมาตรวัด CBM พบว่าจำนวนซ้ำของเม็ท้อดคอลลไม่ใช้ปัจจัยที่ส่งผลให้ค่ามาตรวัด CBM เปลี่ยนแปลงหลังจากทำแอสเป็กริแพคทอริง ดังนั้นผลคุณภาพซอฟต์แวร์ที่ปรับปรุงจึงไม่ได้เกิดจากการจัดการเม็ท้อดคอลลในจำนวนซ้ำที่มากหรือน้อยด้วยแอสเป็กริ โดยลักษณะเม็ท้อดคอลลที่จัดการด้วยแอสเป็กริเป็นปัจจัยที่สามารถส่งผลให้ค่ามาตรวัด CBM ของคลาสลดลง จากความสัมพันธ์ระหว่างมาตรวัด CBM และคุณภาพซอฟต์แวร์ แสดงให้เห็นว่าหากค่ามาตรวัด CBM ของคลาสลดลงจะส่งผลให้คุณภาพซอฟต์แวร์ทั้งสองด้านปรับปรุงดีขึ้น ได้แก่ ความสามารถการบำรุงรักษาและความสามารถการนำกลับมาใช้ใหม่

มาตรวัดเรสปอนซ์ฟอร์อะมอดูล (Response For a Module - RFM) จากการวิเคราะห์ผลมาตรวัด RFM พบว่าจำนวนซ้ำของเมทอดคอลไม่ใช่ปัจจัยที่ส่งผลให้ค่ามาตรวัด RFM เปลี่ยนแปลง หลังจากทำแอสเป็กรีแพคทอริง ดังนั้นผลคุณภาพซอฟต์แวร์ที่ลดลงจึงไม่ได้เกิดจากการจัดการเมทอดคอลในจำนวนซ้ำที่มากหรือน้อยด้วยแอสเป็ก โดยจำนวนแอดไวซ์ภายในแอสเป็กที่เข้ามาขัดขวางการทำงานของคลาสเป็นปัจจัยที่ทำให้ค่ามาตรวัด RFM ของคลาสมีค่าเพิ่มขึ้น จากความสัมพันธ์ระหว่างมาตรวัด RFM และคุณภาพซอฟต์แวร์ แสดงให้เห็นว่าหากค่ามาตรวัด RFM เพิ่มขึ้นจะส่งผลต่อคุณภาพซอฟต์แวร์ทั้งสองด้าน ได้แก่ ความสามารถในการทำความเข้าใจและความสามารถทดสอบทำให้การทำความเข้าใจการทำงานของแต่ละคลาสยากขึ้น เนื่องจากต้องศึกษาการทำงานของแอดไวซ์ในแอสเป็กที่เข้ามาขัดขวางการทำงานของคลาส นอกจากนี้ยังส่งผลต่อการทดสอบทำให้ต้องตรวจสอบการทำงานระหว่างคลาสและแอสเป็กด้วย

จากการพิจารณาด้วยมาตรวัดเชิงวัตถุและมาตรวัดเชิงแอสเป็กพบว่า มาตรวัดที่เกี่ยวข้องกับคัพปลิง ได้แก่ มาตรวัดคัพปลิงปีทวินอ็อบเจกต์คลาส (Coupling Between Object classes - CBO) ของมาตรวัดเชิงวัตถุ และมาตรวัดคัพปลิงปีทวินมอดูล (Coupling between Modules - CBM) ของมาตรวัดเชิงแอสเป็ก แสดงผลคุณภาพซอฟต์แวร์ที่ปรับปรุงหลังจากการทำแอสเป็กรีแพคทอริงในทิศทางเดียวกัน โดยคุณภาพซอฟต์แวร์ที่ปรับปรุงเหมือนกัน ได้แก่ ความสามารถการบำรุงรักษา และความสามารถการนำกลับมาใช้ใหม่ โดยปัจจัยที่ส่งผลให้สามารถลดจำนวนการขึ้นต่อกันระหว่างคลาสคือลักษณะเมทอดคอล จากการทดลองในงานวิจัยนี้การจัดการเมทอดคอลที่มีลักษณะการเรียกใช้งานเมทอดผ่านชื่อคลาสโดยตรงสามารถช่วยลดความสัมพันธ์ระหว่างคลาสได้มาก และจากผลคุณภาพด้านความสามารถการบำรุงรักษาและความสามารถการนำกลับมาใช้ใหม่ที่ปรับปรุงขึ้นหลังจากการนำแอสเป็กเข้ามาใช้จัดการเมทอดคอลที่ซ้ำกัน จากผลดังกล่าวแสดงผลสอดคล้องกับงานวิจัยในอดีตที่แสดงให้เห็นว่าการนำแอสเป็กเข้ามาใช้ปรับปรุงซอร์สโค้ดสามารถช่วยปรับปรุงคุณภาพซอฟต์แวร์ด้านความสามารถการบำรุงรักษา (Kulesza et al., 2006 ; Kumar et al., 2007 ; Mguni and Ayalew, 2013) และความสามารถการนำกลับมาใช้ใหม่ (Sant'Anna et al., 2003)

นอกจากนี้ยังพบว่าจากการพิจารณาด้วยมาตรวัดเรสปอนซ์ฟอร์อะคลา (Response For a Class - RFC) ที่พิจารณาแต่เพียงนิยามของคลาส โดยถึงแม้การทำแอสเป็กรีแพคทอริงเพื่อจัดการเมทอดคอลที่ซ้ำกันด้วยแอสเป็กจะสามารถช่วยลดจำนวนเมทอดที่ทำงานตอบสนองต่อคลาสได้ แต่เมื่อพิจารณาผลจากการใช้แอสเป็กด้วยมาตรวัดเรสปอนซ์ฟอร์อะมอดูล (Response For a Module - RFM) กลับพบจำนวนแอดไวซ์ที่เข้ามาขัดขวางการทำงานของคลาสในจำนวนที่มากกว่าเมื่อเทียบกับจำนวนเมทอดที่ลดลง ดังนั้นการนำแอสเป็กมาใช้จัดการโค้ดโคลนจึงส่งผลให้คุณภาพด้านความสามารถการทำความเข้าใจและความสามารถทดสอบลดลง เพราะต้องใช้ความพยายามในการทำความเข้าใจการทำงานของแอสเป็กเพิ่มขึ้น และต้องเพิ่มการตรวจสอบการทำงานระหว่างคลาสดับกับแอสเป็ก



### 5.3 การนำงานวิจัยไปประยุกต์ใช้

ข้อค้นพบจากการศึกษาในงานวิจัยนี้สามารถช่วยต่อยอดองค์ความรู้สำหรับการนำการโปรแกรมเชิงแอสเป็กมาประยุกต์ใช้กับซอฟต์แวร์ที่พัฒนาด้วยการโปรแกรมเชิงวัตถุ โดยปรับปรุงซอร์สโค้ดจากการทำแอสเป็กรีเฟกทอริง ผลจากการทดลองอาจสามารถบอกเพียงแนวทางของการนำแอสเป็กมาใช้กับลักษณะของโค้ดที่เหมาะสมเพื่อให้ได้คุณภาพซอฟต์แวร์ที่ดีขึ้น มีรายละเอียดดังนี้

1. จากการจัดการปัญหาโค้ดกระจายโดยเลือกจัดการเมที่อดคอลล็อกซ์กันด้วยแอสเป็ก ผู้วิจัยพบว่าถึงแม้เมที่อดคอลล็อกซ์กันจะมีตำแหน่งที่ซ้ำภายในซอร์สโค้ดจำนวนมาก การนำแอสเป็กเข้ามาจัดการเมที่อดคอลล็อกซ์กันเหล่านี้ส่วนใหญ่ไม่ส่งผลกระทบต่อทั้งมาตรวัดเชิงวัตถุและมาตรวัดเชิงแอสเป็ก ยกเว้นมาตรวัดเรสปอนซ์ฟอร์อะคลาส (Response For a Class - RFC) ของมาตรวัดเชิงวัตถุที่ทั้งจำนวนซ้ำของเมที่อดคอลล็อกซ์กันและจำนวนคลาสทั้งหมดที่สามารถจัดการเมที่อดคอลล็อกซ์กันมีผลต่อมาตรวัด RFC ทำให้คุณภาพซอร์สโค้ดด้านความสามารถในการทำความเข้าใจและความสามารถทดสอบปรับปรุงดีขึ้น ดังนั้นการเลือกปรับปรุงซอร์สโค้ดที่มีโค้ดซ้ำกันในหลายตำแหน่งซึ่งกระจายอยู่ภายในคลาสจำนวนมาก การปรับปรุงด้วยแอสเป็กสามารถส่งผลให้คุณภาพดีขึ้น

2. จากมาตรวัดที่เกี่ยวข้องกับคัพปลิงทั้งในมาตรวัดเชิงวัตถุและมาตรวัดเชิงแอสเป็ก ได้แก่ มาตรวัดคัพปลิงปีทวินอ็อบเจกต์คลาส (Coupling Between Object classes - CBO) และมาตรวัดคัพปลิงปีทวินมอดูล (Coupling between Modules - CBM) ตามลำดับ ผลจากการวิเคราะห์การจัดการเมที่อดคอลล็อกซ์กันด้วยแอสเป็กจากทั้งสองมาตรวัด พบว่าลักษณะของเมที่อดคอลล็อกซ์กันจัดการด้วยแอสเป็กมีผลต่อคัพปลิงของซอฟต์แวร์ โดยจากการทดลองในงานวิจัยนี้พบว่า การเลือกจัดการเมที่อดคอลล็อกซ์กันที่มีลักษณะเมที่อดคอลล็อกซ์กันเป็นการเรียกใช้งานเมที่อดผ่านชื่อคลาสโดยตรง การจัดการเมที่อดคอลล็อกซ์กันนี้สามารถช่วยลดความสัมพันธ์ระหว่างคลาสที่เกิดจากการเรียกใช้งานเมที่อดได้ ซึ่งเหมาะสมต่อการนำแอสเป็กเข้ามาใช้ปรับปรุงซอร์สโค้ด ช่วยปรับปรุงคุณภาพของซอฟต์แวร์ด้านความสามารถการบำรุงรักษา และความสามารถการนำกลับมาใช้ใหม่ให้มีคุณภาพดีขึ้น

3. ผลจากการวิเคราะห์มาตรวัดเชิงแอสเป็ก พบว่าจำนวนแอตไวซ์ภายในแอสเป็กเป็นปัจจัยที่กระทบในหลายมาตรวัด ได้แก่ มาตรวัดเวทเทตโอเปอเรชันอินมอดูล (Weighted Operations in Module - WOM) และมาตรวัดเรสปอนซ์ฟอร์อะมอดูล (Response For a Module - RFM) ส่งผลให้มีค่ามาตรวัดเพิ่มขึ้นหลังทำแอสเป็กรีเฟกทอริงเพื่อปรับปรุงซอร์สโค้ด ดังนั้นการปรับปรุงซอร์สโค้ดโดยการใช้แอตไวซ์ภายในแอสเป็กจำนวนน้อย และมีจำนวนแอตไวซ์เข้าไปขัดขวางการทำงานของคลาสในจำนวนที่น้อยเช่นกัน สามารถช่วยให้การนำแอสเป็กเข้ามาปรับปรุงซอร์สโค้ดไม่ส่งผลให้ความซับซ้อนภายในซอร์สโค้ดเพิ่มมาก และอาจช่วยปรับปรุงคุณภาพซอฟต์แวร์ได้

#### 5.4 ข้อจำกัดของงานวิจัยและข้อเสนอแนะ

1. การศึกษานี้เป็นการศึกษาการจัดการโค้ดโคลนด้วยแอสเป็ก โดยงานวิจัยนี้สนใจเมทีอดคอลซ้ำกันภายในซอร์สโค้ดของซอฟต์แวร์ เพื่อแสดงคุณลักษณะของการแก้ไขโค้ดจัดกระจาย ดังนั้นเมทีอดคอลที่ซ้ำกันอาจยังไม่สะท้อนถึงลักษณะของครอสคัทตั้งคอนเซิร์นนอย่างแท้จริง ซึ่งงานวิจัยต่างๆได้นำเสนอการใช้แอสเป็กสำหรับจัดการครอสคัทตั้งคอนเซิร์นน ดังนั้นการศึกษาลักษณะของครอสคัทตั้งคอนเซิร์นนอื่นๆที่เหมาะสมต่อการนำแอสเป็กมาใช้เพื่อปรับปรุงคุณภาพซอฟต์แวร์จึงเป็นข้อเสนอแนะสำหรับการศึกษาในอนาคต

2. จากความซับซ้อนของโค้ดในเจสอตตรอร์ เวอร์ชัน 7.1 ซึ่งเป็นซอฟต์แวร์ขนาดใหญ่และข้อจำกัดของการใช้ภาษาแอสเป็กเจ ทำให้ไม่สามารถจัดการเมทีอดคอลซ้ำกันทั้งหมดที่มีด้วยแอสเป็กได้ และไม่สามารถกำหนดพอยท์คัทได้ครอบคลุมทุกตำแหน่งของเมทีอดคอลที่ซ้ำกัน อาจทำให้ผลมาตรวัดที่ได้ไม่สะท้อนต่อผลคุณภาพซอฟต์แวร์อย่างแท้จริง จึงอาจเลือกกรณีศึกษาที่มีความซับซ้อนของโค้ดน้อยและเลือกใช้ภาษาโปรแกรมเชิงแอสเป็กอื่นๆที่รองรับสำหรับการเขียนแอสเป็ก เพื่อให้สามารถสะท้อนผลคุณภาพซอฟต์แวร์จากการทำแอสเป็กรีแฟคทอริง รวมถึงสามารถแนะนำภาษาโปรแกรมเชิงแอสเป็กสำหรับเป็นทางเลือกการเลือกใช้ภาษาที่เหมาะสมต่อการทำแอสเป็กรีแฟคทอริง

3. การศึกษานี้เป็นการทดลองกับกรณีศึกษาเพียงกรณีเดียวคือเจสอตตรอร์ เวอร์ชัน 7.1 เพื่อศึกษาข้อมูลเบื้องต้น (Exploratory Research) ผลการทดลองจึงอาจไม่สามารถอ้างอิงต่อการนำไปใช้จริงกับการปรับปรุงซอร์สโค้ดของซอฟต์แวร์ในเชิงธุรกิจ ดังนั้นการศึกษาโดยใช้หลายกรณีศึกษาเพิ่มขึ้นอาจให้ผลการทดลองที่สามารถนำมาประยุกต์ใช้จริงได้

## รายการอ้างอิง

- Abreu, F. B. (1995). Design Metrics for Object-Oriented Software Systems. Paper presented at the ECOOP'95 Quantitative Methods Workshop.
- Aggarwal, K. K., Singh, Y., Kaur, A., and Malhotra, R. (2006). Empirical Study of Object-Oriented Metrics. Journal of Object Technology, 5, 149-173.
- Ahuja, R., and Goel, A. (2008). A Study Of Applications Of Aspect Oriented Programming. Paper presented at the 2nd National Conference on Challenges & Opportunities in Information Technology, Mandi Gobindgarh.
- Al-Jamimi, H. A., Alshayeb, M., and Elish, M. O. (2011). Investigating the Effect of Aspect-Oriented Refactoring on Software Maintainability. Springer-Verlag Berlin Heidelberg.
- Almasri, A., and Albayouk, I. (2006). Experiences In Migrating An Industrial Application To Aspects. (Master), Vrije Universiteit Brussel.
- Bhatti, M. U. (2008). Object Identification and Aspect Mining in Procedural Object-Oriented Code. (Doctoral dissertation), Universite Paris.
- Binkley, D., Ceccato, M., Harman, M., Ricca, F., and Tonella, P. (2006). Tool-Supported Refactoring of Existing Object-Oriented Code into Aspects. IEEE TRANSACTIONS ON SOFTWARE ENGINEERING, 32, 698-717.
- Boehm, B. W., Brown, J. R., and Lipow, M. (1978). Quantitative Evaluation of Software Quality. Paper presented at the the 2nd international conference on Software engineering.
- Breu, S., and Krinke, J. (2004). Aspect mining using event traces. Paper presented at the Automated Software Engineering (ASE 2004).
- Bruntink, M., Deursen, A. V., Engelen, R. V., and Tourw'e, T. (2004). An evaluation of clone detection techniques for identifying crosscutting concerns. Paper presented at the the IEEE International Conference on Software Maintenance (ICSM).
- Cavallaro, L., and Miraz, M. (2010). Refactoring object oriented software: cross-cutting concerns identification and isolation.
- Ceccato, M., et al. (2006). Applying and Combining Three Different Aspect Mining Techniques. Delft University of Technology.
- Ceccato, M., and Tonella, P. (2004). Measuring the Effects of Software Aspectization. Paper presented at the 1st Workshop on Aspect Reverse Engineering (WARE).
- Chidamber, S. R., and Kemerer, C. F. (1993). A Metrics suite for Object oriented design. M.I.T. Sloan School of Management.
- Elish, K. O., and Alshayeb, M. (2012). Using Software Quality Attributes to Classify Refactoring to Patterns. Journal of Software, 7, 408-419.

- Fenton, N. E., and Pfleeger, S. L. (1998). Software Metrics: A Rigorous & Practical Approach (2nd Ed.): PWS Publishing Company.
- Filman, R. E., Elrad, T., Clarke, S., and Mehmet, A. (2005). Aspect-Oriented Software Development. Boston: Addison-Wesley.
- Fitzpatrick, R. (1996). Software Quality: Definitions and Strategic Issues. Staffordshire University.
- Garvin, D. (1984). What does Product Quality Really Mean? Sloan Management Review, 25-43.
- Grady, R., and Caswell, D. L. (1987). Software Metrics: Establishing a Company-wide Program: Prentice Hall.
- Griswold, W., Kato, Y., and Yuan, J. (1999). Aspect browser: Tool support for managing dispersed aspects. Paper presented at the Multi-Dimensional Separation of Concerns in Object-oriented Systems.
- Hanenberg, S., Kleinschmager, S., and Walter, M. J. (2009). Does Aspect-Oriented Programming Increase the Development Speed for Crosscutting Code? An Empirical Study. Paper presented at the the 2009 3rd International Symposium on Empirical Software Engineering and Measurement.
- Hannemann, J., and Kiczales, G. (2001). Overcoming the prevalent decomposition of legacy code. Paper presented at the Workshop on Advanced Separation of Concerns at the International Conference on Software Engineering (ICSE).
- He, L., Bai, H., Zhang, J., and Hu, C. (2005). Amuca algorithm for aspect mining. Paper presented at the SEKE.
- Hilliard, R. (2002). IEEE Recommended Practice for Architectural Description of Software-Intensive Systems. IEEE Computer Society, 1-23.
- Immonen, M. (2009). Software Product Quality Analysis System. (Master's Thesis), TAMK University of Applied Science.
- Ince, D. (1994). ISO 9001 and software quality assurance. England McGraw-Hill.
- ISO/IEC9126-1. (2001). ISO/IEC 9126-1 Software engineering Product quality Part 1: Quality Model.
- Kamiya, T., Kusumoto, S., and Inoue, K. (2002). CCFinder: A Multilinguistic Token-Based Code Clone Detection System for Large Scale Source Code. IEEE TRANSACTIONS ON SOFTWARE ENGINEERING, 654-670.
- Kan, S. H. (2002). Metrics and Models in Software Quality Engineering (Second ed.). USA: Addison-Wesley Longman Publishing.
- Kapsner, C. J. (2009). Toward an Understanding of Software Code Cloning as a Development Practice. (Doctoral dissertation), the University of Waterloo.

- Kaur, A., and Johari, K. (2009). Identification of Crosscutting Concerns: A Survey. International Journal of Engineering Science and Technology, 166-172.
- Kellens, A., Mens, K., and Tonella, P. (2007). A Survey of Automated Code-Level Aspect Mining Techniques. Transactions on aspect-oriented software development IV, 143-162.
- Kiczales, G., et al. (2001). An Overview of AspectJ. Paper presented at the European Conference on Object-Oriented Programming.
- Kiczales, G., et al. (1997). Aspect-Oriented Programming. Paper presented at the the European Conference on Object-Oriented Programming (ECOOP), Finland.
- Kulesza, U., et al. (2006). Quantifying the Effects of Aspect-Oriented Programming:A Maintenance Study. Paper presented at the In 22nd IEEE International Conference on Software Maintenance.
- Kulkarni, U. L., Kalshetty, Y. R., and Arde, V. G. (2010). Validation of CK metrics for Object-Oriented Design Measurement. Paper presented at the Third International Conference on Emerging Trends in Engineering and Technology.
- Kumar, A., Grover, P. S., and Kumar, R. (2009). A Quantitative Evaluation of Aspect-Oriented Software Quality Model (AOSQUAMO). ACM SIGSOFT Software Engineering Notes, 34, 1-9.
- Kumar, A., Kumar, R., and Grover, P. S. (2007). An Evaluation of Maintainability of Aspect-oriented Systems : a Practical Approach. International Journal of Computer Science and Security, 1-9.
- Kumar, P. (2012). Aspect-oriented software quality model: The AOSQ Model. Advanced Computing: An International Journal (ACIJ), 3, 105-118.
- Laddad, R. (2003a). Aspect-oriented refactoring Series Retrieved 15 May, 2013, from <http://www.theserverside.com/news/1366873/Part-1-Overview-and-Process>
- Laddad, R. (2003b). AspectJ in Action. Bruce Park Avenue Greenwich: CT: Manning Publications.
- Laukkanen, J. (2008). Aspect-Oriented Programming. University of HELSINKI.
- Marin, M., Deursen, A. V., and Moonen, L. (2007). Identifying Crosscutting Concerns Using Fan-in Analysis. ACM Transactions on Software Engineering and Methodology (TOSEM), 1-34.
- McCall, J. A., Richards, P. K., and Walters, G. F. (1977). Factors In Software Quality - Concept and Definitions of Software Quality: Rome Air Development Center.
- Mguni, K., and Ayalew, Y. (2013). An Assessment of Maintainability of an Aspect-Oriented System. ISRN Software Engineering, 1-11.
- Mills, E. E. (1988). Software Metrics. Carnegie Mellon University.

- Ordonez, M. J., and Haddad, H. M. (2008). The state of metrics in software industry. Paper presented at the the Fifth International Conference on Information Technology: New Generations.
- Panovski, G. (2008). Product Software Quality. (Master's Thesis), Eindhoven University of Technology.
- Pawlak, R., Seinturier, L., and Retaillé, J. P. (2005). Foundations of AOP for J2EE Development. Springer-Verlag.
- Robillard, M. P., and Murphy, G. C. (2002). Concern graphs: Finding and describing concerns using structural program dependencies. Paper presented at the the 24th International Conference on Software engineering.
- Rosenberg, L. H., and Hyatt, L. E. (1996). Software Quality Metrics for Object-Oriented Environments. Crosstalk Journal, 1-6.
- Roy, C. K., and Cordy, J. R. (2007). A Survey on Software Clone Detection Research. School of Computing Queen's University.
- Roy, C. K., Uddin, M. G., Roy, B., and Dean, T. R. (2007). Evaluating Aspect Mining Techniques: A Case Study. Paper presented at the 15th IEEE International Conference on Program Comprehension.
- Sant'Anna, C., Garcia, A., Chavez, C., Lucena, C., and Staa, A. V. (2003). On the Reuse and Maintenance of Aspect-Oriented Software:An Assessment Framework. Paper presented at the XVII Brazilian Symposium on Software Engineering.
- Shepherd, D., Gibson, E., and Pollock, L. (2004). Design and evaluation of an automated aspect mining tool. Paper presented at the International Conference on Software Engineering Research and Practice.
- Shepherd, D., and Pollock, L. (2005). Interfaces, aspects and views. Paper presented at the Linking Aspect Technology and Evolution (LATE) Workshop.
- Singh, N., and Gill, N. S. (2012). The Early Identification of Functional and Non-Functional Crosscutting Concerns. International Journal of Computer Applications, 25-32.
- Sirbi, K., and Kulkarni, P. J. (2013). AOP and its impact on software quality. Elixir Computer Science and Engineering.
- Srivisut, K., and Muenchaisri, P. (2006). Determining Threshold of Aspect-Oriented Software Metrics. Chulalongkorn University.
- Stamelos, I. G., and Sfetsos, P. (2007). Agile Software Development Quality Assurance: IGI Global publishing.
- Sutton, S. M., and Rouvellou, I. (2002). Modeling of Software Concerns in Cosmos. Paper presented at the the 1st International Conference on Aspect-Oriented Software Development.

- Tonella, P., and Ceccato, M. (2004). Aspect mining through the formal concept analysis of execution traces. Paper presented at the 11th IEEE Working Conference on Reverse Engineering.
- Tourwe, T., and Mens, K. (2004). Mining aspectual views using formal concept analysis. Paper presented at the Source Code Analysis and Manipulation Workshop (SCAM).
- Vidal, S., Abait, E. S., Marcos, C., Casas, S., and Pace, J. A. P. (2009). Aspect Mining meets Rule-based Refactoring. Paper presented at the the 1st workshop on Linking aspect technology and evolution.
- Yuen, I. (2009). Improve Software Modularity through Crosscutting Concern Extraction. (Master's Thesis), McGill University.
- Zhao, J. (2002). Towards A Metrics Suite for Aspect-Oriented Software. Information Processing Society of Japan, 1-7.
- กัลยา วานิชย์บัญชา. (2551a). การใช้ SPSS for Windows ในการวิเคราะห์ข้อมูล (11 ed.). กรุงเทพมหานคร: ธรรมสาร.
- กัลยา วานิชย์บัญชา. (2551b). หลักสถิติ (10 ed.). กรุงเทพมหานคร: ธรรมสาร.

### ประวัติผู้เขียนวิทยานิพนธ์

นางสาวธนาภรณ์ กังพานิชกุล เกิดวันที่ 7 มกราคม พ.ศ.2531 สำเร็จการศึกษา  
วิทยาศาสตรบัณฑิต สาขาวิชาวิทยาการคอมพิวเตอร์ จากภาควิชาคณิตศาสตร์ คณะวิทยาศาสตร์  
มหาวิทยาลัยศรีนครินทรวิโรฒ ในปี พ.ศ.2553 จากนั้นได้เข้าศึกษาต่อในระดับปริญญาโทวิทยา  
ศาสตรมหาบัณฑิต สาขาการพัฒนซอฟต์แวร์ด้านธุรกิจ ภาควิชาสถิติ คณะพาณิชยศาสตร์และการ  
บัญชี จุฬาลงกรณ์มหาวิทยาลัย



จุฬาลงกรณ์มหาวิทยาลัย  
CHULALONGKORN UNIVERSITY